

368

**ПЕТРОЛОГИЯ  
И МЕТАМОРФИЗМ  
ДРЕВНИХ  
ОФИОЛИТОВ**

**НА ПРИМЕРЕ  
ПОЛЯРНОГО УРАЛА  
И ЗАПАДНОГО САЯНА**

АКАДЕМИЯ НАУК СССР  
СИБИРСКОЕ ОТДЕЛЕНИЕ  
ТРУДЫ ИНСТИТУТА ГЕОЛОГИИ И ГЕОФИЗИКИ

Выпуск 368

МЕЖДУНАРОДНАЯ ПРОГРАММА  
ГЕОЛОГИЧЕСКОЙ КОРРЕЛЯЦИИ  
ПРОЕКТ «ОФИОЛИТЫ КОНТИНЕНТОВ  
И СРАВНИМЫЕ С НИМИ ПОРОДЫ ОКЕАНОВ»

ACADEMY OF SCIENCES OF THE USSR  
SIBERIAN BRANCH  
TRANSACTIONS OF THE INSTITUTE  
OF GEOLOGY AND GEOPHYSICS

Issue 368

INTERNATIONAL GEOLOGICAL  
CORRELATION PROGRAMM  
PROJECT «OPHIOLITES»

17-59/3 1190889  
Институт геологии и  
геофизики СО  
трудах. Вып. 368.  
1971-05 Выставка 2-

1190889

PETROLOGY  
AND METAMORPHISM  
OF ANCIENT OPHIOLITES

(as example of Polar Ural  
and West Sayan)

Responsible editors  
Acad. V. S. Sobolev, Prof. N. L. Dobretsov

ПЕТРОЛОГИЯ  
И МЕТАМОРФИЗМ  
ДРЕВНИХ ОФИОЛИТОВ

(на примере Полярного Урала  
и Западного Саяна)

Ответственные редакторы  
акад. В. С. Соболев,  
д-р геол.-мин. наук проф. Н. Л. Добрецов



PUBLISHING HOUSE «NAUKA»  
SIBERIAN BRANCH  
Novosibirsk-1977



ИЗДАТЕЛЬСТВО «НАУКА»  
СИБИРСКОЕ ОТДЕЛЕНИЕ  
Новосибирск-1977

## ПРЕДИСЛОВИЕ

Дается подробная характеристика вещественного состава и строения древних оphiолитов и ассоциирующих с ними метаморфических пород Поллярного Урала и Западного Саяна. На Поллярном Урале на протяжении 400 км в массивах Сыум-Кеу, Харче-Рузь, Рай-Из и Войкаро-Сынынском охарактеризованы дунит-гарпургитовая, дунит-верлит-клино-широксепит-эвкристовая и дунит-пердолит-вебстерит-метагаббро-порфитовая формации (включая метаморфические аналоги), а также западный метаморфический пояс, содержащий гранатовые перидотиты, эклогиты и глаукофановые сланцы, относящиеся, возможно, к докембрийской оphiолитовой ассоциации. Оphiолиты восточной полосы представлены полным стратифицированным разрезом (включая дайковые комплексы, тоналит-плагиограниты и вулканиты) и служат фундаментом археосинклинальной зоны уралид.

В Западном Саяне охарактеризован Куртусибиский пояс, содержащий полный разрез докембрийских оphiолитов океанического типа, полосу моланика и зону глаукофановых сланцев, а также Борусский оphiолитовый пояс, тектонически сильно нарушенный и отличающийся от Куртусибисского по составу и условиям образования. Обсуждаются общие особенности и типизация оphiолитов земной коры и вероятные модели их формирования.

Книга представляет интерес для широкого круга геологов, тектонистов, петрографов и минералогов.

## Коллектив авторов:

Н. Л. Добрецов, Ю. Е. Молдаванцев, А. П. Казак, И. Г. Пономарева, Г. Н. Савельева, А. А. Савельев

Проблему оphiолитов в последние годы чаще обсуждают на примерах относительно молодых комплексов в Алтайском поясе или Тихоокеанском обрамлении (Кицшер, 1975; Мариков, 1975; Богданов, 1975; Брин, 1969; Moores, Vine, 1971; Rossi e. a., 1975; Miyashiro, 1973, 1975; и др.). Древние оphiолитовые комплексы в докембрийских и нижнекембрийских толщах с точки зрения их возможной аналогии с океанической корой изучены гораздо меньше. Между тем, как подчеркнул А. В. Пейве (1969; Пейве и др., 1971, 1972), Урал и Аппалачи являются уникальными областями, в которых оphiолиты широко распространены и где разрезы их порой сохраняются даже лучше, чем в Алтайском поясе, хотя древние оphiолиты обладают некоторой спецификой. По мнению Н. Л. Добрецова, аналогичная ситуация имеется и во многих других рифейско-нижнепалеозойских складчатых областях, в частности в Западном Саяне, где наблюдаются полные не нарушенные разрезы докембрийских оphiолитов. Как отмечено в программе Международного проекта «Ophiolites континентов» (Научная программа..., 1974, с. 12), «в качестве конечной цели предполагается дать ответ на вопрос, существовали ли палеозойские океанические структуры (Протоатлантика, Протоурал и т. д.)... и взаимосвязано развивались ли они?».

Наша работа, как нам кажется, поможет ответить на эти вопросы, а также на общие вопросы образования оphiолитовых серий. При этом, в соответствии с названием работы, главное внимание уделено первично-кристаллизации и метаморфизму оphiолитов; максимально используются петрохимические и минералогические данные.

Как отмечено в «Научной программе...» (с. 1), «решение проблемы первичного образования оphiолитов остается, главным образом, за петрологами и океанологами». Конечно, без использования геологического-структурных данных решение проблемы оphiолитов невозможно, поэтому они полностью учтены в книге, но обсуждены по возможности кратко.

Работа выполнена в соответствии с вышеупомянутым Международным проектом «Ophiolites континентов» коллективом петрографов трех институтов — Института геологии и геофизики СО АН СССР (Н. Л. Добрецов, И. Г. Пономарева), Геологического института АН СССР (Г. Н. Савельева, А. А. Савельев) и Всесоюзного геологического института Министерства геологии СССР (Ю. Е. Молдаванцев, А. П. Казак). Она посвящена памяти нашего товарища, безвременно скончавшегося Юрия Евграфовича Молдаванцева. Главы и разделы, в которых он является соавтором, написаны отчасти его помощником А. П. Казаком на основе совместных работ. Многие проблемы, освещенные в этой книге, все соавторы неоднократно обсуждали с Ю. Е. Молдаванцевым и друг с другом, так что представляемая монография — коллективный труд и одновременно последняя работа Ю. Е. Молдаванцева. Конечно, некоторые разногласия остались, и они оговорены специально в примечаниях или обсуждены в обобщающих главах 4 и 7. Главное, что нас объединяет, — это современный взгляд на проблему оphiолитов, т. е. признание субслоистого строения оphiолитов и возможной их аналогии с некоторыми типами океанической коры. Авторство глав и разделов указано в оглавлении.

Мы благодарны академикам В. С. Соболеву и А. В. Пейве за критические замечания и доброжелательную поддержку исследований.

15  
ПФ088920805-893  
II 055(02)-77 266-77

© Издательство «Наука», 1977.



БИБЛИОТЕКА  
Академии наук СССР  
С. Э.

Часть I

**ПОЛЯРНЫЙ УРАЛ**

**СПИСОК СОКРАЩЕНИЙ, ПРИНЯТЫХ В КНИГЕ**

Аб — альбит	Пр — пренит
Акт — актинолит	Пум — пумпеллит
Аи — аиортит	
Амф — амфибол	Ро, Рог — роговая обманка
Ант — антигорит	Ри — ромбический пироксен
Ап — апатит	Руди — рудный минерал
Гл — глаукофан	Рут — рутил
Гр — гранат	
Грос — гроссуляр	
Ди — диопсид	Сал — салит
Ди-жд — диопсид-жадеит	Серп — серпентин
Жд — жадеит	Сос — соссюрит
Ильм — ильменит	Сл — слюда
К — край (или кайма) зональных кристаллов	Сф — сфен
Ка — кальцит	Ст, Стиль — стильшомелан
Кв — кварц	Ставр — ставролит
Кр — кроссит	
Кум — куммингтонит	Та — тальк
Кцо — клиноцизит	Тр, Трем — tremолит
Мэт — магнезит	Фа, Fa — фаялит
Ми — моноклинный пироксен	Фл — флогопит
Мт — магнетит	Фо — форстерит
Му — мусковит	Хд — хлоритоид
Лав — лавсонит	Хл — хлорит
Лейк — лейкоксен	Хлм — хлоромеланит (эгирин-диопсид-жадеит)
Ол — оливин	Хр — хромшипелид
Пи — пироксен	Ц — центр зональных кристаллов
Пл — плагиоклаз	Цо — цоизит
	Шп — шпинель
	Эг — эгирин
	Эи — энстатит
	Эп — эпидот

$$f \text{ (железистость пород)} = \frac{\text{FeO} + \text{Fe}_2\text{O}_3}{\text{MgO} + \text{FeO} + \text{Fe}_2\text{O}_3} \cdot 100 \text{ (атм. колич.)}$$

## Глава 1

### СТРУКТУРНАЯ ПОЗИЦИЯ ОФИОЛИТОВЫХ МАССИВОВ ПОЛЯРНОГО УРАЛА

Полярный Урал представляет северную меридиональную часть складчатой системы Урала (см. врезку на рис. 1), которая традиционно относится к герцинидам, но фактически представляет более сложное сооружение.

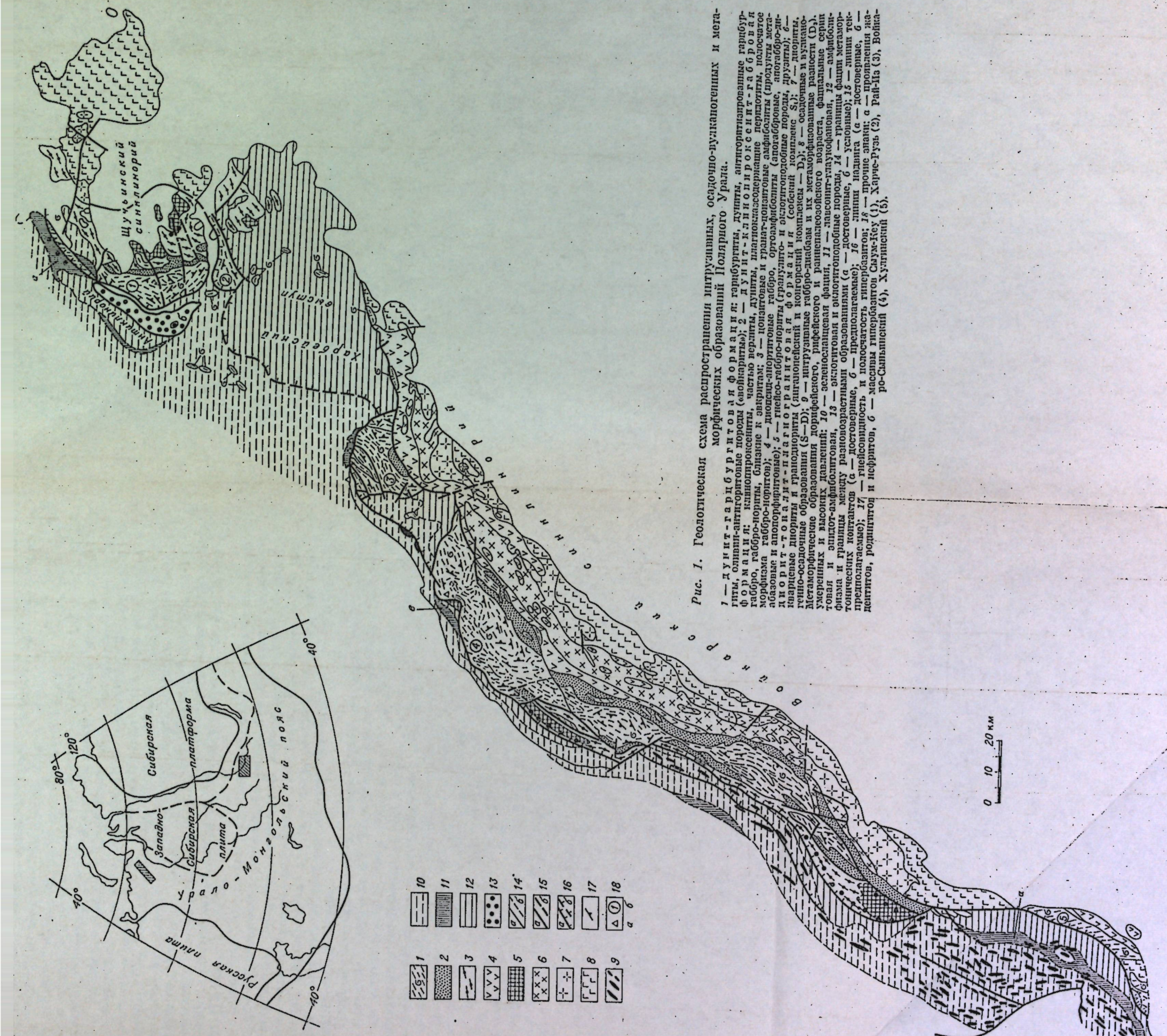
Офиолиты Полярного Урала образуют два сопряженных офиолитовых пояса — Хадатинский на севере и Войкаро-Сынынинский на юге (рис. 1). В Хадатинский пояс входят гипербазитовые массивы Сыум-Кеу, Харче-Рузь, Ниро-Пэ и малыкский комплекс гнейсовидных габбро-норитов. В Войкаро-Сынынинский пояс входят гипербазитовый массив Рай-Из и огромный Войкаро-Сынынинский массив гипербазитов и габбро-амфиболитов протяженностью около 250 км при ширине до 30 км. Общая протяженность обоих поясов выше 600 км, это один из самых протяженных и обширных поясов не только на Урале, но и вообще на территории СССР.

Названные офиолитовые пояса приурочены к структурно-формационной зоне, получившей в литературе по Уралу наименование Главного Уральского глубинного разлома (Молдаванцев, Перфильев, 1972). Эта зона является важнейшим продольным тектоническим элементом (линейментом), разграничающим мио- и эвгесинклинальную области Уральской складчатой системы, и сама представляет западную краевую часть эвгесинклинальной области.

Гипербазиты, габбро и амфиболиты, а также плагиограниты и диориты, развитые в пределах зоны Главного Уральского глубинного разлома, традиционно относились, начиная с работы А. Н. Заваридского (1932), к единой дунит-габбро-плагиогранитной формации. При этом предполагалось, что названная формация слагает крутопадающие интрузивные (или интрузивно-метасоматические) тела. Многочисленные исследования формации в таком плане проводили Е. П. Молдаванцев (1944), Г. П. Софронов (1956), а в течение двух последних десятилетий (1949—1971) — Н. А. Сирик, Ю. Е. Молдаванцев, В. Ф. Морковкина и многие другие. В более поздних работах уточнения касались роли метасоматических процессов в формировании габброидов и амфиболитов, а также метасоматических и метаморфических пород западного обрамления офиолитовых поясов (Морковкина, 1962, 1964, 1967; Молдаванцев, Перфильев, Херасков, 1960; Молдаванцев, Перфильев, 1962, 1963; Добрецов, Пономарева, 1965; Добрецов, 1974; Удовкина, 1971; Кейльман и др., 1973; Бутин, 1974, 1975).

Только в последние годы появились доказательства, что структурную позицию и происхождение гипербазитов, габбро и амфиболитов можно трактовать иначе, причем они аналогичны таковым в офиолитовых поясах Аппалачей, Альпийско-Средиземноморской области и других регионов (Пейве и др., 1971а, б; Иванов и др., 1973; Перфильев, Руженцев, 1973; Савельева, 1973; Добрецов, 1974; Буртман и др., 1974; Савельев, 1974).

Структурная позиция офиолитов определяется преимущественно субширотной их ориентировкой, которая почти перпендикулярна к общему суб-



Геологические и геофизические исследования свидетельствуют, что габбро-гипербазитовые массивы в современном структурном плане Полярного Урала представляют собой пологопадающие альлохтонные пластины (часто с меланжем в основании), надвинутые на палеозойские образования западного склона Урала. Доказательства альлохтонного залегания гипербазитов подтверждаются как геологическими, так и геофизическими исследованиями. Геологическими доказательствами являются повсеместные их тектонические контакты и наличие в подошве пластин серпентинитового меланжа (Дергунов, Казак, Молдаванцев, 1975), а также обрамление массивами эвгеосинклинальных прогибов. Внутренняя структура (прототектоника) массивов во многих местах несогласна с обычно линейно-вытянутыми структурами вмещающих толщ. Мощность альлохтонных пластин в пределах офиолитового пояса Полярного Урала различна. Минимальная мощность гипербазитов характерна для северного (Хадатинского) пояса, где наиболее широко развиты антигоритизированные породы. Так, массив Сыум-Кеу, представляющий собой пологопадающую на восток пластину (под углом 30—45°), имеет мощность 1,0—1,5 км (Молдаванцев, Берлянд, Казак, 1976). Для Войкаро-Сынинского массива рассчитанная мощность в среднем составляет 4—6 км (по другим данным 8—10), и гипербазитовая пластина наклонена на восток под углом 10—40° (Савельева, 1973).

Офиолиты Хадатинского пояса обрамляют с запада зеленокаменные породы Щучинского синклиниория, офиолиты Войкаро-Сынинского — Войкарского. Согласно современной структурной интерпретации, они представляют краевые альлохтоны (Перфильев, Руженцев, 1973), подстилающие выпеназванные крупные синклипорные структуры эвгеосинклинали и частично надвинутые на миогеосинклинальные образования западного склона Урала.

Наиболее полный типовой разрез офиолитовой ассоциации обнажается в пределах крупнейшего Войкаро-Сынинского массива. Здесь с запада на восток и снизу вверх прослеживается следующая генеральная стратиграфия: гипербазиты — габбро-амфиболиты — существенно плагиоклазовые гранитоиды — вулканогенные образования. Эти ассоциации составляют фундамент эвгеосинклинальных варисцид (Пейве и др., 1971). Нижняя часть разреза выделяется в дунит-гарцбургитовую формацию, которая надстраивается дунит-клинопироксенит-габбровой. Ранее они объединялись в габбро-перидотитовую формацию (Морковкина, 1967, и др.). Однако дунит-клинопироксенит-габбровая формация (полосчатый комплекс) обнаруживает несогласные соотношения с породами дунит-гарцбургитовой формации и отличается по составу, внутренней структуре и характеру метаморфизма. Некоторые исследователи выделяли их и раньше в качестве самостоятельных комплексов (под названием кэршорский, лагортинский, погурейский и др.). В обеих формациях широко проявились пликативные деформации, но они имеют различный структурный план. В пределах дунит-гарцбургитового комплекса полосчатость гарцбургитов очерчивает воронко- и желобообразные структуры, несогласные с линейными структурами дунит-клинопироксенит-габбрового комплекса (Савельева, 1973; Савельев, 1974, см. также гл. 3). Детальное картирование полосы, примыкающей к дунит-гарцбургитовой формации с востока, по данным А. П. Казака, обнаружило сложное складчатое строение слагающих ее пород. Вырисовываются крутонаклоненные сильно сжатые изоклинальные складки различного порядка с амплитудой 150—300 м. Эти складки, в свою очередь, осложнены многочисленными тектоническими нарушениями. В зонах стыка субмеридиональных и поперечных разломов наблюдаются складки овальной формы, напоминающие микрокупола (р. Мал. Лагорта, руч. Кэршор и др.). В западной части полосы развития пликативных структур преобладает преимущественно субширотная их ориентировка, которая почти перпендикулярна к общему суб-

меридиональному простиранию офиолитового пояса. Этой своеобразные структурные деформации, сопровождаемые явлениями перекристаллизации, метаморфизма и пластического течения, являются одной из отличительных черт пород дунит-клинопироксенит-габбровой формации. Пока нет четкого представления о природе этих своеобразных складчатых структур. Вполне возможно, что они проявились в условиях преобладающего смещения масс с востока на запад, вызванного воздействием субширотного сжатия в пределах геосинклиналии. С другой стороны, это могли быть структуры течения, образовавшиеся на глубине одновременно с перекристаллизацией и метаморфизмом.

Отмеченная последовательность в распределении дунит-гардбургитовой и дунит-клинопироксенит-габбровой формаций устойчиво сохраняется вдоль Войкарского синклиниория на расстоянии около 300 км (см. рис. 1). По направлению к югу ширина полосы выходов нижнего дунит-гардбургитового комплекса постепенно уменьшается, и он полностью выклинивается. Еще южнее выклинивается и дунит-пироксенитовая часть полосчатого комплекса. Это выклинивание определяется тем, что офиолиты слагают пакет из трех крупных и сложно построенных покровов (Хулгинский, Пайерский, Лагортийский). Нижний (и западный) Хулгинский покров сложен в основном гранатовыми и цоизитовыми амфиболитами, содержит в подошве глаукофиловые сланцы, происхождение которых дискуссионно (см. гл. 3 и 4). В составе Пайерского покрова прослеживается наиболее полный разрез нижней части офиолитов — дунит-гардбургитовый комплекс, породы полосчатой серии, а также толща (дайковая серия) диабазов и габбро-диабазов.

В юго-восточной части Войкаро-Сынинского массива, в составе Лагортийского покрова получили развитие метабазиты амфиболитовой и отчасти эпидот-амфиболитовой фации. Среди них широко распространены плагиоклазовые амфиболиты шлирово-полосчатого сложения и реже — разности, сохранившие реликты структур гипабиссальных и вулканогенных (?) пород (диабазовых, порфировых и габброофитовых). Иногда ортоамфиболиты обнаруживают эруптивные соотношения с габброидами дунит-клинопироксенит-габбрового комплекса.

Непосредственно юго-восточнее (и структурно выше) охарактеризованного габбро-амфиболитового комплекса в западной и центральной частях Войкарского синклиниория прослеживается широкая полоса диорит-тоналит-плагиогранитовой ассоциации. Они выделены в собский комплекс (Сергиевский, Молдаванцев, 1968), который тесно ассоциирует с габбро и диоритами более молодого конгорского комплекса. Гранитоиды этого комплекса часто включают различные по величине неперемещенные отторженцы (скиалиты) в разной степени переработанных метабазитов, слагающих часть разреза, залегающую ниже. Подобные особенности строения комплекса могут свидетельствовать о его параавтохтонной природе. На отдельных участках можно наблюдать эруптивные соотношения лейкогранитов с метабазитами.

Строение, подобное Войкаро-Сынинскому массиву, имеют массив Рай-Из и часть Хадатинского пояса в обрамлении Щучинского синклиниория (массив Харчё-Рузь, восточная часть массива Сым-Кеу). Во всех этих районах дунит-гардбургитовая и дунит-пироксенит-габбровая (полосчатая) ассоциации слагают нижний структурный этаж офиолитовой ассоциации. Верхний структурный этаж сложен стратифицированными вулканогенными и вулканогенно-осадочными сериями, возраст которых соответствует ордовику или чаще силуру — нижнему девону, а также интрузивными образованиями, в число которых входят: диорит-тоналит-плагиогранитовая ассоциация (собский комплекс); габбро-грапподиорит-диоритовая (янганопейский и конгорский комплексы соответственно в пределах Щучинского и Войкарского синклиниориев); комплекс небольших интрузий среднего и основного состава (войкарский комплекс Вой-

карского синклиниория); габбро-долеритовый эреншорский комплекс в южной части Войкарского синклиниория и др. Габбро и амфиболиты нижнего этажа обнажаются иногда в ядрах частных внутренних антиклиналей среди вулканитов и тоналитов и, судя по гравиметрическим данным, подстилают их.

В пределах Щучинского синклиниория тоналиты и плагиограниты собского комплекса получили подчиненное развитие и не обнаруживают столь четкой приуроченности к верхней части разреза фундамента эвгеосинклиналии, которая устанавливается в Войкарском синклиниории. Они распространены на незначительных по площади участках, лишь северо-восточнее горы Масло прослеживается тело плагиоклазовых гранитоидов размером  $8 \times 1,5$  км. Возможно, формирование огромного батолитоподобного параавтохтонного тоналит-плагиогранитового комплекса в пределах Войкарского синклиниория соответствует глубокому погружению фундамента эвгеосинклиналии уралит, где на фоне метаморфизма амфиболитовой фации, по мнению Ю. Е. Молдаванцева, происходила начальная стадия формирования «гранитного слоя».

Возраст собского комплекса (наиболее древнего из интрузивных) — ордовикский, как и древнейших вулканогенно-осадочных толщ зеленокаменных синклиниориев. Это подтверждается определениями возраста тоналитов Войкарского синклиниория по биотиту (430—440 млн. лет) и находкой их галек, как и галек гипербазитов, габбро и амфиболитов в отложениях эйфеля и живета (Волков, 1960; Лупанова, Маркин, 1964). В южнее расположенных районах Урала продукты разрушений гипербазитов, габбро и амфиболитов известны в силурийских и ордовикских отложениях, а наложенные преобразования датируются, как и в Хадатинском поясе, цифрами 440 млн. лет и более. Предположительно возраст нижнего структурного этажа разреза офиолитов можно считать доордовским, при этом не исключено, что возраст хотя бы части гипербазитов и габбро (в западном контакте Войкаро-Сынинского массива и в массиве Сым-Кеу) докембрийский.

Это подтверждается сложным строением указанных частей офиолитового пояса, наличием метагаббро и эклогитоподобных пород, отличающихся по составу от «восточных» габбро Войкаро-Сынинского массива, древними цифрами абсолютного возраста метагаббро малынского комплекса в массиве Сым-Кеу и широким развитием метаморфических пород дискуссионного возраста (включая эклогиты и глаукофиловые сланцы) вдоль западных контактов Войкаро-Сынинского и Сым-Кеусского массивов. В западном обрамлении Войкаро-Сынинского массива метаморфизованные габбро и метаморфические сланцы входят в состав западного Хулгинского покрова, а также Молюшорской параавтохтонной пластины, подстилающей Хулгинский покров, но возраст этих метаморфических пород дискуссионный (см. гл. 3 и 4).

Более определенно древний возраст метагаббро и метаморфических пород устанавливается в Хадатинском поясе и западнее его. В этом поясе, обрамляющем Щучинский синклиниорий, выделяется малынский комплекс габбро-гнейсов и гнейсовидных габбро-поритов, который еще Н. П. Херасковым был отнесен к докембрийским образованиям. Определения K-Ar методом подтверждают это предположение (табл. 1).

Судя по геологическим и геофизическим данным, малынский комплекс гнейсо-габбро-поритов представляет собой часть фундамента Щучинского синклиниория, а гипербазиты Сым-Кеу, возможно, надвинуты на этот габбровый «фундамент». Следовательно, гипербазиты Сым-Кеу и гнейсо-габбро-пориты малынского комплекса могут оказаться разновозрастными образованиями. Площадь Малынского массива, по данным геофизики (Молдаванцев, Берлянд, Казак, 1976), около  $2000 \text{ км}^2$ , в то время как обнаженная его часть составляет только  $800 \text{ км}^2$ . Возраст малынского комплекса до настоящего времени является дискуссионным, так как вза-

Таблица 1

Абсолютный возраст орбифолитов и ассоциирующихся с ними пород Полигорного Урала

Образец	Минерал	Место взятия образца	Содержание K <sub>2</sub> O	Аг <sup>40</sup> , мг/год	Аг <sup>40</sup> /K <sup>40</sup>	Возраст млн. лет	Лаборатория; № анализа; литературный источник
<i>Бойкаро-Сынинский массив и собеский комплекс</i>							
530A/1	Роговая обманка из биотит-тиоритен-рого-вообманкового кварцевого диорита	Правый берег верховья р. Хулга	0,79	1,11	—	345	РГИ АН СССР; 1944
530A/2	Биотит из биотит-роговообманкового кварцевого диорита	То же	1,19	1,92	—	380	РГИ АН СССР; 1944
2056	Биотит из биотит-роговообманкового тоннита	Р. Собь, ст. Порогорной	6,44	—	0,0275	436	УФ АН СССР; 1946
149-В	Биотит из биотитового топаллитта	р. Колокольни, вблизи устья	4,91	9,46	—	440	РГИ АН СССР; 1946
47/73	Гранатовый амфиболит из западной зоны Бойкаро-Сынинского массива	р. Мокрая Сыни	0,24	8,63	0,0295	467±15	ВСЕГЕИ Министерства геологии СССР
<i>Гипербацититовый массив Рай-Из</i>							
K-2Ц	Рубипсодоркацичий метасоматит среди дунитов	Массив Рай-Из, р. Макар-Рузь	0,91	22,2	0,0201	330±7	То же
6194	Гранитный исхематит среди габбронодлов	Южнее массива Рай-Из	3,92	106	0,0228	370±10	ВСЕГЕИ
6178	Амфиболовое габбро, секущее эпистратиты зоны наложенного метаморфизма	Массив Рай-Из, зона наложенного метаморфизма	0,37	13,0	0,0288	457±8	»
<i>Марукеуский эклогит-энтейско-мезомагматический комплекс</i>							
157/53	Мусковит из кварц-мусковитовой жилы в эклогитах	Марук-Кей	7,12±0,05	275±42	82—85	500±25	Башкирский ФАН СССР; Гаррис, 1964 г.
471/414	Биотит из мигматизированного гранодиорита	Верховье р. Иштар-Нео-Шор	8,0±0,06	328±5	—	525±20	То же
280	Карнитин из эклогитов	Слюдянная горка	0,47±0,04	23,4±0,05	—	615±60	»
65/44	»	Гора Рыжая	0,63±0,05	32,1±0,60	—	635±60	»
400/151	Мигматит (порода)	P. Нягар-Нео-Шор	2,04(2)	0,0841	—	814	»
287/105	»	Слюдянная горка	6,86	0,2195	—	671	»
206/73	Перидотит (порода)	Гора Рыжая	0,12	8,0±0,3	—	800	Афанасьев, 1966 г.
351/136	Оливиново габбро (порода)	Слюдянная горка	0,11	5,9±0,5	—	600	»
327/423	Кварцитовый эклогит	Гора Рыжая	0,25	11,0±0,4	—	550	»
<i>Малинский гнейско-габбро-порфитовый комплекс</i>							
133/73	Гранатовый амфиболит (порода)	P. Малыко	0,10	3,61	0,0295	468±24	ВСЕГЕИ Министерства геологии СССР
-256/73	Амфиболизированный гнейско-табброборнит	Правый берег р. Малыко	0,82	6,88	0,0688	951±27	То же
257/73	Цоллитизированный гнейско-табброборнит	P. Малыко	0,82	7,67	0,0766	1035±80	»
259/73	Измененный габбро-порфит	»	—	1,36	0,112	1350	»

П р и м е ч а н и е. Образцы 530A/1, 530A/2 — данные Г. Н. Савельевской, 2056 — Ю. Е. Молдаванщика, 149-В — И. Б. Грановицера, 47/73, 133/73, 257/73. образцы K-2Ц, 6194, 6178 — С. В. Шербаковой, 157/53, 47/44, 280 — Ю. Г. Удовичикова. Константы распада:  $\lambda_x = 5,57 \cdot 10^{-10}$  лет,  $\lambda_D = 4,72 \cdot 10^{-10}$  лет.

имоотношения с окружающими его на севере осадочно-вулканогенными образованиями сидайской свиты не вполне отчетливы. В пределах малыкского комплекса по петрографическим данным достаточно определено устанавливается многоэтапность и длительная история позднейшей метаморфической эволюции исходных гнейсо-габбро-норитов, выразившейся в глубинном их дифференциации (регressiveвой последовательности) в условиях амфиболитовой и эпидот-амфиболитовой фаций.

Непосредственно западнее Хадатинского (Сыум-Кеусского) гипербазитового пояса относительно более широко (по сравнению с обрамлением Войкаро-Сынинского массива) распространены и метаморфические образования альбит-эпидот-амфиболитовой, амфиболитовой и эклогитовой фаций (фациальные серии умеренных и высоких давлений), слагающие здесь сложно построенную блоково-чешуйчатую структуру хр. Марун-Кеу и соответствующие эклогит-гнейсо-мigmatитовой формации. Возраст субстрата метаморфитов, по мнению ряда исследователей, доордовикский (позднепротерозойский). По последним данным, возраст пород марункеусского метаморфического комплекса дорифейский (нижнепротерозойский) по аналогии с другими метаморфическими комплексами Урала и Балтийского щита. Возраст эклогитов, по данным Н. Г. Удовкиной (1966, 1971), 650–850 млн. лет, и в последнее время получена цифра 1500 млн. лет. Возраст амфиболизированных габбро-гнейсов малыкского комплекса 1035–1350 млн. лет (см. табл. 1). Стратиграфически выше гнейсо-мigmatитовой толщи хр. Марун-Кеу, так же как и южнее — в пределах харбейского метаморфического комплекса, залегают гнейсо-амфиболитовая (или хамейхойская свита) и высокоглиноземистая толщи (париковашорская свита), метаморфизованные соответственно в условиях амфиболитовой и дистен-мусковитовой фаций. Общая схема сопоставления метаморфизованных толщ приведена в табл. 2. Возраст многих из этих толщ дискуссионен, однако, по нашему мнению, имеются бесспорные палеонтологические доказательства среднерифейского возраста немурюганской и щекурьинской свит, сопоставимых с саткинской свитой бурзянской серии Южного Урала (Салоп, 1973). В обеих свитах найдены руководящие формы *Migondavia magna* Vol. Кроме того, в парапородах и мигматитах в марункеусском комплексе выполнены многочисленные определения абсолютного возраста, показывающие рифейский возраст одного из этапов регионального метаморфизма.

На западе дорифейские метаморфические образования обычно текtonически контактируют с рифейскими вулканогенно-осадочными толщами няровской и немурюганской свит, испытавшими метаморфизм от зеленосланцевой до эпидот-амфиболитовой фации. В северной части антиклинальной структуры хр. Марун-Кеу появляются альбит-эпидот-глаукофановые сланцы с пачками кварцитовых сланцев (Добрецов, 1974а). В пределах рассматриваемого метаморфического пояса (западнее гипербазитов Хадатинского пояса) широко проявлены более поздние наложенные процессы гранитизации (Молдаванцев, 1971).

Таким образом, строение метаморфического пояса, вмещающего гипербазитовые массивы, оказывается достаточно сложным и, по-видимому, полиметаморфическим. Практически все метаморфизованные породы являются доордовикскими. В частности, галька — наиболее специфических пород — сланцев с голубым амфиболом (по данным О. А. Кондиайн и А. Г. Кондиайн) — найдена в базальных конгломератах нижнего ордовика в районе горы Саурея к северо-западу от Марун-Кеу. Имеются древние цифры абсолютного возраста, но большинство K-Ar определений соответствует силуре.

Аналогичные метаморфические ассоциации распространены к западу от Войкаро-Сынинского оливинитового пояса, где они слагают отдельные чешуи или нижние периферические части крупных пластин. Кроме того, они развиты среди автохтонных образований миогеосинклиналии, в ча-

Таблица 2

Возраст	Метаморфические образования Поларного и Приморского Урала		Приполлярный Урал (свита)	Габброндунит-клино-нироксенит-габброруны
	Осадочные и метаморфические формации	Поларный Урал (свита)		
Палеозой (р-дниг)	Моллодпорская, грубенинская, погурецкая, маштанчирская	Тельносская	Байдаратская	Дунит-нейстерит-метаборро-иоритовая II метафиллитовая формация
Венд-кембрий			Саблегорская	Саблегорская, моронинская, хобенинская
Рифей	Вулканогенит (с кислыми метавулканитами)	Хуутинская (оранговая)	Пуйинская	Щекуринская
		Бедамельская, сингапейская		Маньхобинская
		Немурюганская		Нюргасская
		Ирновская		Птиколайшорская
		Париковашорская		
		Хамейхойская харбейского антиклиниория		
		Верхний марункеуский антиклиниорий		
Дорифей	Гнейсо-мigmatитовая эклогитовая	Гнейсо-мigmatитовая эклогитовая		Нижний марункеуский комплекс

стности, между массивами Рай-Из и Войкаро-Сынинским и между Рай-Изом и Хадатинским поясом в ядре Харбейского антиклиниория.

Метаморфиты в обрамлении офиолитовых поясов представлены различными порфиритоидами основного состава, кристаллическими и глаукофановыми сланцами, амфиболитами, гнейсами, эклогитоподобными породами и эклогитами (Молдаванцев, Перфильев, 1962; Добрецов, Пономарева, 1965; Молдаванцев, 1969, 1972, 1973).

В пределах офиолитовых поясов Севера Урала устанавливается многоэтапность и интенсивность в проявлении регионального метаморфизма. Вырисовывается метаморфическая зональность, которая в пространстве совпадает с определенными структурами и формациями офиолитовой ассоциации, однако трактовка взаимоотношения разных зон (комплексов) остается дискуссионной (Кельман и др., 1973; Добрецов, 1974б).

В самой западной части Войкаро-Сынинского офиолитового пояса фиксируются породы метаморфических фаций высоких давлений (гранатовые амфиболиты, эклогитоподобные породы, эклогиты, жадеититы и др.). В непосредственной близости к гипербазитам и вмещающим породам (эпидот-амфиболитовой и амфиболитовой фаций) отмечаются участки синкинематической плагиомигматизации (реки Мокрая Сыня, Мал. Лагорта).

Исходным субстратом для рассматриваемых метаморфитов явились осадочные и изверженные горные породы (спилиты, диабазы, базальтовые порфириты, их туфы, габбро-диабазы и габбро-пориты) ордовикского и (или) докембрийского возраста. Однако в отличие от обрамления Хадатинского пояса бесспорные доказательства докембрийского возраста метаморфитов отсутствуют. Абсолютный возраст одного из этапов метаморфизма по слюдам 430—446 млн. лет. Характерные особенности горных пород, выразившиеся в линейной и плоскопараллельной ориентировке метаморфических минералов, спиралевидном расположении включений в порфиробластах, тонкостольном (полосчатом) метаморфогенном перераспределении минеральных компонентов, разномасштабном тектоническом различии и в развитии скжатых изоклинальных складок, указывают на интенсивные стрессовые напряжения, синкинематическую кристаллизацию и повышение степени пластичности.

В Харбейском антиклиниории структурные соотношения и возраст метаморфических пород трактуются различно (Молдаванцев, Перфильев, 1962; Молдаванцев, 1971; Кельман и др., 1973). По последним данным подтверждается наиболее ранняя точка зрения Н. П. Хераскова и других о докембрийском возрасте амфиболитов и гнейсов ханмейхойской и кристаллических сланцев парквасьшорской (харбейской) свиты, при этом ханмейхойская свита предполагается более древней, доверхепротерозойской (Кельман и др., 1973), как и марункеуский комплекс к западу от Хадатинского пояса.

Подробнее вопросы происхождения метаморфического пояса и возможность выделения разновозрастных офиолитов на Полярном Урале обсуждены в заключительной части главы 4. Здесь мы можем констатировать, что офиолиты Полярного Урала принимают участие в двух типах структурных и петрогенетических ассоциаций. Большая часть офиолитов Войкаро-Сынинского и Хадатинского поясов образует относительно хорошо стратифицированную последовательность и подстилает зеленокаменные ордовик-нижнедевонские зеленокаменные прогибы Войкарского и Щучинского синклиниориев. Другая (западная) часть офиолитов находится в сложных структурных соотношениях, отличается по составу и ассоциирует с метаморфическими толщами, которые хотя бы частично (марункеуский и харбейский комплексы) представляют фундамент палеозойской мио-геосинклиналии западного склона Урала. Именно здесь прослеживается эклогит-глаукофан-сланцевая ассоциация (пояс), происхождение которой дискуссионно (см. гл. 4).

## Глава 2

### ХАДАТИНСКИЙ ОФИОЛИТОВЫЙ ПОЯС

Хадатинский гипербазитовый пояс — самый северный пояс на Полярном Урале. По направлению с юга на север могут быть названы массивы: Харче-Рузь, Сыум-Кеу, Пусь-Ерка и Няро-Пэ, а также группа относительно небольших массивов в районе оз. Байто (бассейн р. Большая Щучья). Общая протяженность Хадатинского пояса гипербазитов около 75 км. Ниже рассмотрены особенности геологического строения габбро-гипербазитовых массивов Сыум-Кеу и Харче-Рузь.

#### МАССИВ СЫУМ-КЕУ

Массив Сыум-Кеу имеет в плане неправильные трапецидальные очертания и вытянут в меридиональном направлении почти на 25 км при ширине около 10—12 км (рис. 2).

Характерной чертой орографии массива Сыум-Кеу, как и ряда других гипербазитовых массивов Полярного Урала, является его хорошо выраженная платообразная форма. Наибольшие высоты массива (абс. отм. 1017; 932,0 м и др.) расположены в западной его части. К востоку массив постепенно понижается и незаметно переходит в увалистую зону предгорий правобережья р. Большая Щучья. Непосредственно к западу от гипербазитового массива Сыум-Кеу развиты рифейские метаморфические образования, относимые к пяровской свите\*. В их составе преобладают альбитовые, цоизитовые и гранатсодержащие амфиболиты с характерными округлыми порфиробластами альбита и граната (часто нацело хлоритизированного). Среди альбитовых амфиболитов встречаются пачки (до 10—12 м) слюдяно-графитоидно-кварцевых сланцев, а также ассоциирующих с ними кварцитовидных биотит-альбитовых гнейсов с гранатом.

В более северной части массива Сыум-Кеу (в бассейне р. Большая Щучья) среди метаморфических пород преобладают глаукофановые сланцы, «очковые» альбитовые амфиболиты и эклогиты.

Вся толща перечисленных горных пород интенсивно смята в асимметричные складки, осложненные микроскладчатостью. Общее простижение складок северо-западное (340—350°), близкое к меридиональному, углы падения 45—50° и более.

Непосредственно южнее гипербазитового массива Сыум-Кеу развиты полосчатые эпидот-циозитовые амфиболиты (пяровской свиты), узкая полоса которых (до 2,5 км) отделяет массив от выступающего южнее массива Харче-Рузь.

\* Во многих предыдущих работах (Г. В. Шмакова и др.; Ю. Е. Молдаванцев, 1969—1972 гг., см.: Добрецов, 1974а, с. 209, 210) метаморфические породы объединялись в зональный марункеуский комплекс, а пяровской свите назывались слабо метаморфизованные сланцы, относимые теперь к хуттицкой свите, см. табл. 2. (Прим. ред.).

## Характер контактов массива с вмещающими породами

Западный контакт гипербазитового массива Сыум-Кеу с вмещающими породами изучался в ряде участков западного склона его от оз. Байто на севере до юго-западной оконечности по правобережью руч. Харч-Рузь. Геологическое строение южного участка западного контакта гипербазитов с вмещающими толщами изображено на рис. 3. Непосредственно к западу от массива Сыум-Кеу развиты метаморфические породы пяровской свиты верхнего протерозоя, образующие узкую полосу, вытянутую в субмеридиональном направлении почти на 50 км. Здесь породы пяровской свиты по характеру и степени метаморфизма могут быть подразделены на две подзоны, границей между которыми является крупный разлом или крутой надвиг. В зоне разлома к северу от оз. Игги-Лор развиты тела разgneйсованных метасоматических гранитов и микроклинизированные мусковит-альбитовые сланцы, где мощность прослоев гранитоидов составляет от нескольких метров до 10–12 м.

К югу от оз. Игги-Лор среди альбитовых амфиболитов обнажается линзовидное тело антигоритизированных гарцбургитов, прослеженное в меридиональном направлении на 800 м. Ширина его в плаще 350 м. Энстатит, обычно куммингтонизированный, находится в сближенных субпараллельных плоскостях и обуславливает гнейсовидное сложение породы. Кроме того, наблюдается чередование полос гарцбургита и дунита. Ширина последних 30–40 см (реже 60 см и более). Простирание гнейсовидности и полосчатости выдержанное северо-западное ( $340^{\circ}$ ), падение юго-западное под углами  $50–60^{\circ}$  и более. В крайних западных и юго-западных выходах обнажаются интенсивно рассланцованные и антигоритизированные гипербазиты. Простирание сланцеватости в них СЗ  $320–340^{\circ}$ , падение крутое на СВ до вертикального. Контакты гипербазитов с амфиболитами скрыты от наблюдения.

К югу от охарактеризованного тела гипербазитов среди сильно перемятых цоизитовых амфиболитов и графитоидно-кварцевых сланцев встречены различные по величине линзовидные тела (будины?) амфиболизированных эклогитов, неотличимых от тех же пород, развитых западнее в составе эклогит-амфиболит-гнейсового марункеусского метаморфического комплекса. Такие же тела (блоки, будины) эклогитов распространены повсеместно в подошве гипербазитового массива Сыум-Кеу (реки Красный Урал, Герд-Из, Большая Хадата, руч. Игги-Лор и др.).

Небольшие тела серпентинизированных гипербазитов, а также интенсивно тектонически переработанные метаморфические образования, прослеживающиеся также севернее и северо-восточнее оз. Игги-Лор, трассируют таким образом крупное тектоническое нарушение в обрамлении гипербазитового массива Сыум-Кеу. Сильно переработанное тело гипербазитов, превращенное в листоватые серпентиниты (серпентинитовые сланцы), обнажается в обрыве правого борта руч. Игги-Лор к югу от одноименного озера. Здесь встречен блок ( $50 \times 300$  м) эклогитов среди сильно дислоцированных графитоидных сланцев.

Породы пяровской свиты, развитые в западной зоне, представлены цоизитовыми, эпидот-цоизитовыми, гранатовыми амфиболитами с прослоями графитоидных, мусковит-биотит-гранатовых кристаллических сланцев и кварцитов (с гранатом). Все породы смяты в довольно крупные изоклинальные складки (амплитудой 15–20 м) с погружением оси шарниров на юго-восток. Среди гранатовых амфиболитов вблизи разлома встречаются эклогитовые породы, сложенные гранатом, омфацитом, керсунитом, барруизитом и рутилом. Породы западной пяровской свиты имеют тектонический контакт с марункеусским гнейсо-метаморфическим комплексом, четко выраженный полосой бластомилонитов. Углы падения пород пяровской свиты  $60–65^{\circ}$  на запад-юго-запад под гнейсы Марун-Кеу.

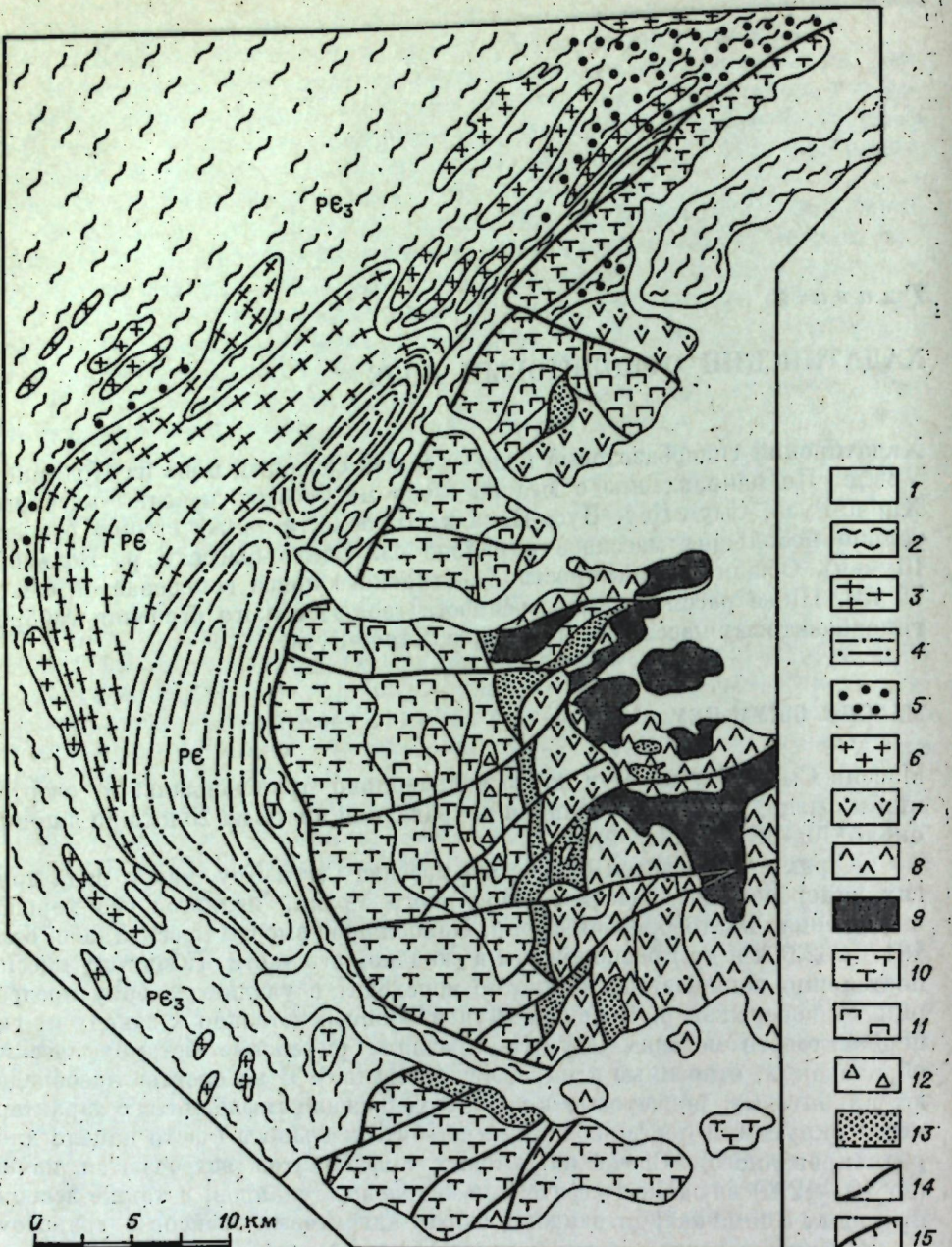


Рис. 2. Схематическая геологическая карта Сыумкеуского гипербазитового массива.  
1 — четвертичные отложения; 2 — пяровская серия: апопуланогенные зеленые сланцы, графитоидно-кварцевые сланцы, порфиритоиды, альбит-апидот-глаукофановые сланцы, 3 — амфиболиты, переслаивающиеся со слюдянными гнейсами; 4 — эклогиты среди биотитовых парагнейсов; 5 — область максимального распространения глаукофановых сланцев; 6 — гранитоидодобные породы; 7 — гранат-цоизитовые амфиболиты (апогаббро-поритовые); 8 — цоизит-амфиболитовые (апогаббро-поритовые) породы; 9 — дуппирексовые гнейсовидные габбро-пориты; 10 — гарцбургиты, частично антигоритизированные, включающие жиллообразные тела дунитов; 11 — мелкозернистые гарцбургиты и дуниты; 12 — дуниты; 13 — клинопироксениты и верлиты с телами шпинельсодержащих вестеритов; 14 — разрывные нарушения; 15 — линия надвига.

На востоке гипербазиты массива Сыум-Кеу контактируют с образованиями малыкского комплекса, представленного габбро-поритами и продуктами их метаморфического преобразования — гранат-цоизит-амфиболитовыми и цоизит-амфиболитовыми породами (амфиболитами).

Характер контакта и его очертания здесь намного сложнее, чем на западе.

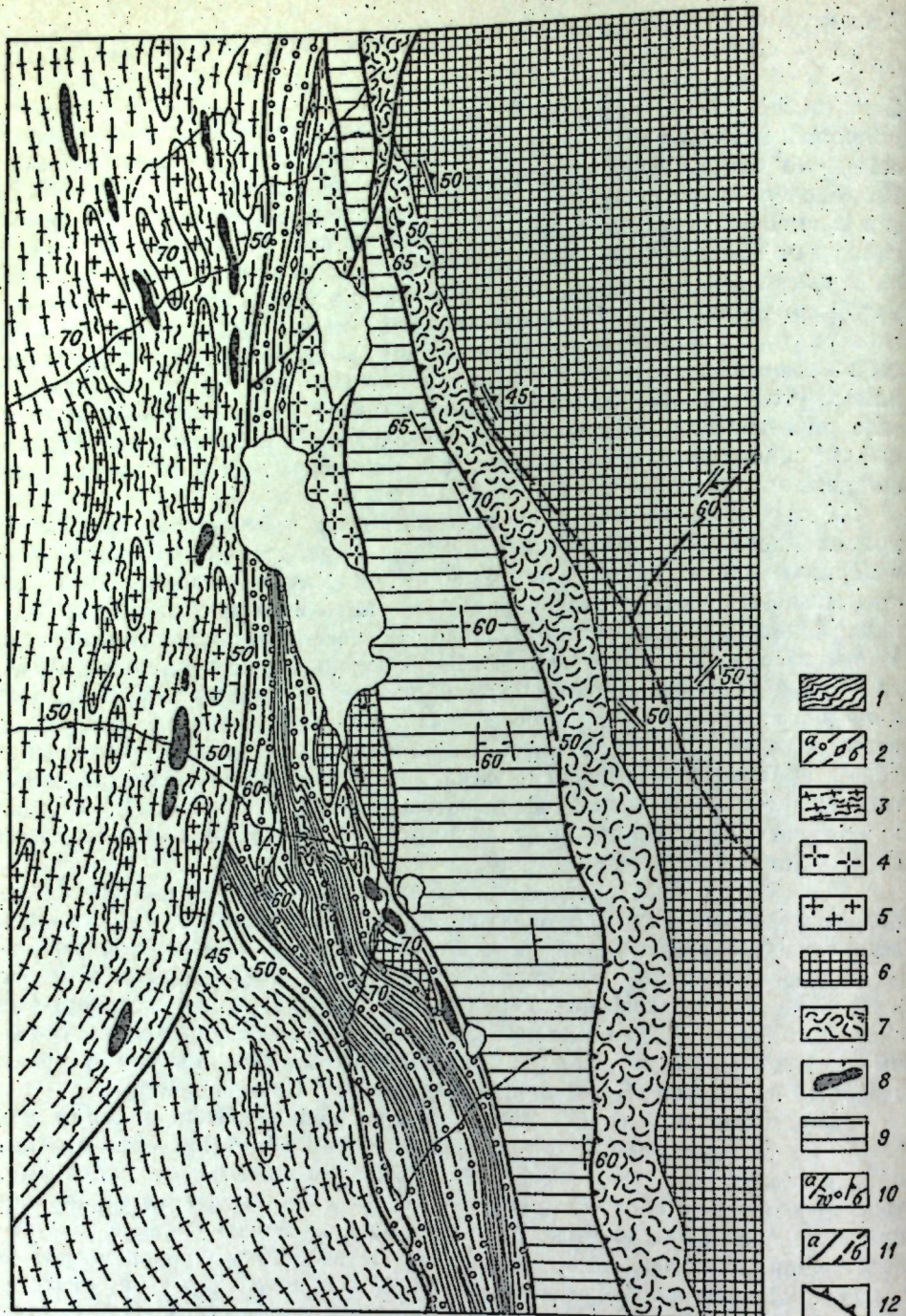


Рис. 3. Схематическая геологическая карта юго-западной части гипербазитового массива Сум-Кеу на широте оз. Игги-Лор.

1 — кварцево-графитистые сланцы; 2 — амфиболиты (а — гранатовые, б — цеплюстевые); 3 — биотитовые гнейсы, частично мигматизированные; 4 — микроклиновые граниты; 5 — плагиоклазовые граниты; 6 — антигоритизированные гарцибургиты; 7 — серпентиниты; 8 — эклогиты; 9 — альбит-хлоритовые сланцы (диафториты); 10 — элементы залегания (а — сланцеватости, б — гнейсовидности и полосчатости гипербазитов); 11 — разрывные нарушения (а — установленные, б — предполагаемые); 12 — линия надвига.

Для восточной подзоны, примыкающей к гипербазитовому массиву, характерно широкое развитие диафторитов, представленных альбитовыми амфиболитами, амфиболитовыми сланцами с характерными округлыми порфиробластами альбита и реже хлоритизированного (реликтового) граната и глаукофана. В этой зоне среди альбитовых амфиболитов также

встречаются пачки (до 10—12 м) слюдяно-графитоидно-кварцевых сланцев, а также ассоциирующих с ними кварцитовидных биотит-альбитовых гнейсов. Непосредственные взаимоотношения гипербазитов с образованиями нижнекарской свиты можно наблюдать к востоку и юго-востоку от оз. Игги-Лор в бортах многочисленных временных протоков западного склона массива.

В нижней части склона здесь преобладают сильно рассланцованные, хлоритизированные и карбонатизированные альбитовые амфиболиты. В контакте с гипербазитами они превращены в светло-зеленые с шелковистым оттенком альбит-хлоритовые сланцы, содержащие переменные количества амфиболя, карбоната и минералов группы эпидот-циозита. Диафториты по альбитовым амфиболитам прослеживаются почти непрерывно вдоль западного края массива в виде полосы шириной в 1,5—2 км.

Среди альбит-хлоритовых сланцев в нижней части склона встречены пачки графитоидно-слюдяно-кварцитовидных сланцев и кварцево-слюдяно-альбитовых гнейсов мощностью 50—100 м. Простижение пород несколько изменчиво в пределах СЗ 330—360°, падение на СВ 55—70°. Породы пронизаны согласными обычно маломощными прожилками и жилами кварца иногда с карбонатом и эпидотом. Встречаются и крупные жилы (до 2,5—3 м), сложенные гранатом (грессуляр-андрадитового состава), эпидотом и магнетитом.

Выше по склону пачки графитоидно-слюдяно-кварцитовидных сланцев, уменьшаясь в мощности, постепенно выклиниваются. Коренные выходы вмещающих пород заканчиваются сильно смятыми и сплоенными альбит-хлоритовыми сланцами без каких-либо контактowych воздействий. На контакте с гипербазитами можно наблюдать изоклинальные стоячие (с амплитудой между крыльями до 2,5 м) и реже лежачие складки (с амплитудой 1,2—1,5 м). Здесь же встречаются многочисленные складки волочения, свидетельствующие об интенсивных тектонических перемещениях вышележащих гипербазитов.

От выступающих выше по склону коренных выходов озимеевикованных гипербазитов амфиболовые сланцы обычно отделены полосой серпентинитов шириной от 20 до 100 м. В глыбовых развалих среди них встречаются шариры густовкрашенного хромита мощностью до 10—15 см и протяженностью до 1,2 м. В непосредственной близости от контакта с альбит-хлоритовыми сланцами имеются выходы брекчиевидных и интенсивно разлинованных антигоритовых серпентинитов с многочисленными зеркалами и бороздами скольжения. Ориентировка глыб серпентинитов совпадает главным образом с общим субмеридиональным простиранием контакта гипербазитов. Они также сильно смяты в сложные асимметричные складки, разлинованы в субмеридиональном направлении и круто падают на восток. В контакте по амфиболиту участками развивается хлорит-актинолитовая порода. По трещинкам отдельности озимеевикованных гипербазитов обнаружены жилки зеленовато-серой крупночешуйчатой породы существенно хлоритового состава. Такие образования повсеместны вдоль контакта с гипербазитами. Линзовидное включение хлоритизированного амфиболита (50—70 м) встречено среди серпентинизированных гипербазитов краевой части массива к востоку от оз. Игги-Лор. Вероятно, глыбы амфиболовых сланцев среди разлинованных серпентинитов свидетельствуют о наличии слабо выраженного меланжа.

Несколько в стороны от контакта (200—300 м) гипербазиты представлены в основном в различной степени антигоритизированными разностями гарцибургитов, содержащими псевдоморфозы куммингтонита (?) по энстатиту, а также оливин-антогоритовыми (апогарцибургитовыми) породами сланцеватого сложения типа войкаритов, описанных ниже в ВойкароСынинском массиве. Для них характерна зеленовато-серая, оранжевобурая и иногда белесая корка выветривания. С различной степенью совершенства выражена планпараллельная ориентировка антигорита

(гнейсовидность), обуславливающая господствующую отдельность пород, переходящую в сланцеватость. Падение гнейсовидности преимущественно в восточных румбах под углами от 10–20 до 40–60°, реже более крутое. Изменчивость элементов залегания в пределах одного обнажения или ряда сближенных выходов позволяет говорить о своего рода пликативной дислоцированности антигоритизированных гипербазитов.

Западный контакт массива Сыум-Кей заметно выражен в рельфе перегибом профиля склона, более кругого в верхней части, сложенной гипербазитами, и пологого в нижней, где обнажаются хлоритизированные и рассланцованные альбитовые амфиболиты, а также графитоидно-кварцитовые сланцы. При этом линия контакта плавно огибает массив, примерно следя в плане горизонтам рельефа и тем самым подчеркивая относительно пологий характер поверхности контакта или подошвы гипербазитового массива. Этот вывод подтверждается геофизическими данными (Молдавацев, Берлянд, Казак, 1976).

Выводы, которые можно сделать из приведенных выше сведений, относящихся к западному ограничению массива, сводятся к следующему. Западный контакт гипербазитов с метаморфическими образованиями нижней свиты тектонический надвигового характера. Поверхность контакта, исходя из соотношения ее с рельефом и геофизических данных, полого (40–45°) погружается в восточном направлении. Тектонические нарушения типа надвигов, фиксируемые мелкими телами гипербазитов, участками разлинования и будниажа метаморфических горных пород, прослеживаются и в пределах западного обрамления массива.

Соотношения гипербазитов с вмещающими образованиями в южной оконечности массива можно наблюдать по правобережью руч. Харче-Рузь. Здесь в нижней части склона массива обнажаются рассланцованные мелкозернистые плагиоклазовые амфиболиты, обильно инъецированные по сланцеватости гранитовым материалом. Выше по склону мелкозернистые амфиболиты сменяются среднезернистыми массивными и рассланцованными цоизитовыми амфиболитами. Простирание сланцеватости и господствующей отдельности в амфиболитах ЮВ 100°, падение кругое на север-северо-восток до вертикального. Вслед за цоизитовыми амфиболитами в россыпи появляются озмееvikованные гардбургиты. Для них очень характерна ноздреватая и шероховатая с поверхности красновато-бурая корочка выветривания. Господствующая отдельность в гардбургитах совпадает со сланцеватостью вмещающих амфиболитов. В полосе контакта в россыпи наблюдаются скопления глыб среднезернистого амфиболизированного клиноцироксена.

К юго-востоку от описываемых выходов непосредственный контакт гипербазитов массива с вмещающими породами (цоизитовыми амфиболитами) скрыт от наблюдения. Однако он хорошо прослеживается по смене цвета россыпей даже на расстоянии. Оранжевые-бурые гипербазиты сменяются в основании склона темными амфиболитами. Простирание контакта ЮВ 110°.

Южный склон массива Сыум-Кей орографически расчленен значительно лучше западного. В верхнюю его часть врезаны небольшие карообразные ниши, из которых берут начало ручьи, впадающие в группу озер Харче-Лор. В скалистых ущельях ручьев можно наблюдать особенности строения этой части массива.

Основная масса гипербазитов южного склона массива представлена серпентинизированными гардбургитами линзовидно (шилово)-полосчатого и иногда тонкослоистого или очкового сложения. Плаппаралльная текстура обусловлена чередованием участков (полос) относительно слабо серпентинизированных пород с участками (полосами) той же породы, но в большей степени серпентинизированной. Серпентин, представленный чешуйчатой разновидностью антигорита, образует ту характеристику ноздреватую и шероховатую с поверхности корочку выветривания,

которая отмечена выше. Полосы антигоритизированных гардбургитов шириной, как правило, не более 10–15 см нередко плохо выдержаны и часто выклиниваются. По облику рассматриваемые породы неотличимы от бластомилонитов линзовидного, слоистого и отчасти очкового сложения. Иногда отдельные полосы содержат шлиры хромита мощностью до 3–4 см. Главная система трещин отдельности в породе совпадает с разбитой в ней полосчатостью.

По элементам залегания плаппаралльных текстур гипербазитов в юго-западной части массива вырисовывается как бы антиклинальный перегиб (антиформа) юго-восточного, близкого к широтному, простирания.

К юго-востоку от охарактеризованного разреза полосчатость антигоритизированных гардбургитов сохраняет выдержанное юго-восточное (ЮВ 100°) простирание и падает на северо-восток под углами 35–60° (иногда 15–20°). Вблизи юго-восточной оконечности массива она еще более уклоняется к северо-востоку под углами 55–60° и иногда обнаруживает юго-восточное падение под углом около 40°.

Системе трещин, совпадающей с полосчатостью, следуют многочисленные жилки клиноцироксена мощностью от нескольких миллиметров до 4–5 см. Жилки сложены среднезернистым клиноцироксенитом, но иногда размеры зерен достигают в них 1–2 см в поперечнике. Около более мощных жилок часто можно наблюдать сеть мелких и мельчайших. Последние по простиранию иногда переходят в цепочки отдельных зерен клиноцироксена.

Другая система трещин отдельности перпендикулярна к полосчатости и к первой (господствующей) системе. Она простирается в меридиональном, а также в близком к нему северо-восточном направлении (СВ 10–30°) и круто падает на запад-северо-запад до вертикального. Этой системе трещин следуют жилки клиноцироксена, достигающие иногда мощности 60–70 см. В дунитах развиты также и другие многочисленные, но менее выдержаные системы трещин. Вдоль них обычно следуют более поздние тонкие жилки змеевика, налеты белого эмалевидного магнезита. Система трещин отдельности часто разбивает гипербазиты на глыбы правильной параллелепипедальной формы.

Очевидно, охарактеризованный тип вторичной полосчатости связан с проявлением интенсивных сквозных дифференцированных тектонических деформаций, захвативших значительные по объему массы гипербазитов. Исходя из минерального состава и структурно-текстурных особенностей образовавшихся при этом горных пород, можно допустить, что эти синкинематические деформации, происходившие в термодинамических условиях зеленосланцевой ступени метаморфизма, вызвали регressiveную бластомилонитацию гипербазитов (главным образом гардбургитов). Они привели к образованию своего рода апогипербазитовых кристаллических сланцев в основном оливин-антigorитового состава.

Интересные соотношения гипербазитов с вмещающими породами, трактуемые как интрузивные, зафиксированы по данным В. Н. Охотникова и др., 1970 г., И. Е. Кузнецова и др., 1971 г., в северной части рассматриваемого пояса в районе горы Няро-Пэ. Здесь, на северо-восточном склоне массива Няро-Пэ, как среди серпентинитов приконтактовой его части, так и в некотором удалении от них в гардбургитах встречены блоки или «ксенолиты» (Охотников, 1975) полосчатых эпидот-цоизитовых, а также плагиоклазовых амфиболитов, иногда тонко инъецированных плагиоаплитами. Размеры включений в плане 7–10×15–20 м. По составу они идентичны метабазитам, развитым непосредственно к северу от гипербазитов, где, кроме того, встречаются также гранатодержащие разности амфиболитов.

Важно отметить соответствие элементов залегания полосчатости амфиболитов (аз. простирания 140°,  $\angle 70$ – $80$ ) как в обрамлении гипербази-

того массива, так и в «ксенолитах» (блоках), трактуемое как доказательство неперемещенного характера последних. В. Н. Охотников и др., 1970 г., наряду с приконтактовой серпентинизацией наблюдали развитие на отдельных участках оторочки актинолитов, содержащих хлорит и тальк, а также брекчирование и милонитизацию, сопровождающиеся развитием глиники трения. Деформации, отчетливые проявления которых зафиксированы в специально пройденной канаве, захватили и гипербазиты с продуктами их преобразования, и вмещающие амфиболиты. Видимая мощность вскрытой зоны тектонитов не менее 1 м.

На основании изложенного, нам кажется, есть все основания рассматривать охарактеризованный контакт гипербазитов с вмещающими амфиболитами как тектонический. Вероятно, как и в юго-западной части массива (исходя из соотношений с рельефом), на рассматриваемом участке мы имеем дело с относительно полого залегающей поверхностью контакта, что подтверждается геофизическими данными. Можно думать, что метаморгование подошвы гипербазитового тела и появление своего рода тектонических включений подстилающих его пород — результат горизонтальных перемещений. Предположение о наличии последних не лишено оснований, поскольку юго-западнее горы Ниро-Пэ, по данным В. Н. Охотникова и др., 1970 г., в рассланцованных антигоритовых серпентинитах краевой части массива гипербазитов (в его подошве?) встречены окружной формы (до 50—70 см в поперечнике) включения массивных серпентинитов, а также линзовидные (0,7 до 1—2 м) «ксенолиты» метаэфузивов, сходные, судя по описанию, с образованиями из зоны серпентинитового меланжа, прослеживающейся в северной части массива Рай-Из (см. ниже). Это предположение подтвердились новыми исследованиями, проведенными в северной части массива Сым-Кеу, где были обнаружены аналогичные эпидот-циозитовые, плагиоклазовые и гранатовые амфиболиты пяровской свиты.

Небольшие тела гипербазитов, расположенные севернее горы Ниро-Пэ, как с востока, так и с запада окаймляются теми же метаморфическими образованиями пяровской свиты. Выходы метаморфических пород в виде тектонических включений среди гипербазитов свидетельствуют лишь о малой мощности гипербазитов в северной части массива Сым-Кеу.

#### Малыкский комплекс гнейсо-габбро-поритов

Малыкский комплекс — самый крупный выход гнейсо-габброидного фундамента на Полярном Урале. Обнаженная его площадь 800 км<sup>2</sup>, а под чехлом четвертичных отложений, по геофизическим данным, — более 2000 км<sup>2</sup>.

На востоке гипербазиты массива Сым-Кеу контактируют с гнейсо-габбро-амфиболитами малыкского комплекса, представляющими собой продукты преобразования габбро-поритов. Гипербазиты краевой части массива представлены здесь образованиями полосчатого дунит-верлит-клинопироксенитового комплекса (см. табл. 3). Прежде всего обращают внимание гораздо более сложные (по сравнению с западным) очертания в плане восточного контакта, обусловленные наличием клиновидных выступов гипербазитов (см. рис. 2). Породы полосчатого дунит-клинопироксенит-габброидного комплекса в краевой части массива по всему обнажению отчетливо признаки пластических деформаций и спикинematических преобразований, выразившиеся в разлиновании и будиаже полос клинопироксенитов и габброидов, а также в развитии по ним и продуктам их метаморфизма бластомилонитов.

В обрамлении гипербазитового массива на востоке широкой (до 3,5—4,5 км) полосой прослеживаются гранатовые и эпидот-гранат-циозитовые амфиболиты гнейсовидного и реже полосчатого облика. В их со-

ставе преобладают цоизит, эпидот и амфибол; среди них выделяются округлые, иногда четко ограниченные порфиробласты розовато-бурового граната (альмандин). Распределение граната в породе неравномерное, наблюдается общая тенденция повышения его содержания в непосредственной близости к контакту с гипербазитами, где одновременно увеличивается и его размерность. Встречаются разности, где порфиробласты граната достигают в диаметре 10—15 см. Такие крупнопорфиробластические амфиболиты имеются в верховьях правого притока р. Малыко в ущелье вблизи контакта с клинопироксенитами и в других местах. Иногда можно наблюдать, как гранат в своем распределении подчинен отчетливо выраженной гнейсовидности и отчасти секущей последнюю системе трещиноватости. Встречаются прожилковидные скопления граната, секущие гнейсовидную полосчатость. Размеры этих прожилков колеблются от нескольких миллиметров до 15—25 см; местами они образуют мономинеральные гранатиты. Полосчатость гранат-циозитовых амфиболитов обусловлена чередованием меланократовых, состоящих почти нацело из амфиболя, и мезократовых, сложенных цоизитом. Ширина полос часто выдержана и достигает 4—8 см.

По мере передвижения к востоку от контакта с гипербазитами гранатовые амфиболиты сменяются цоизитовыми, цоизит-эпидотовыми и цоизитизированными габбро-амфиболитами.

Метаморфизм этих пород проявился при частичной перестройке исходной габбровой структуры, однако еще во многих участках сохраняются первичные минералы габброидов. Здесь плагиоклаз почти целиком замещен агрегатом мелкозернистого цоизита с характерным для него чернильно-синим аномальным интерференционным цветом. Местами наблюдаются реликты уцелевшего плагиоклаза. Роговая обманка выделяется в виде крупных идиобластов размером 2,5—3,0 мм в поперечнике. По ее краям обычно отмечаются мелкие скопления магнетита (рис. 4).

Образования, не испытавшие последующего метаморфизма в составе рассматриваемого комплекса, представлены довольно однообразными двупироксен-плагиоклазовыми породами — габбро-поритами или габбро-гнейсами, в которых отчетливо выраженные гнейсовидность и полосчатость обнаруживаются сложную пликативную дислоцированность. В них картируются складки разной амплитуды. Среди габбро-поритов встречаются будиажированные жилы состава роговообманкового габбро. Существующие пироксены разгнейсованных габбро-поритов по химизму близки к таковым гранулитовой фации (Добрецов, Пономарева, 1964). Плагиоклазы по составу изменяются от битовит-апортита до андезина. При этом более кислые их разности тяготеют к восточной части «малыкского блока», как бы намечая его внутреннюю зональность.

Внутренняя структура габбро-гнейсов исключительно сложная. Исходная структура габбро-гнейсов обладает главным образом субширотным (не уральским) простиранием и пологими углами падения (35—55°), в то время как у амфиболизированных разностей преобладают субмеридиональные направления и более крутые углы падения (35—70°). Как впервые было отмечено Н. П. Херасковым (Херасков, Перфильев, 1963), наличие в габбро-гнейсах субширотных первичных структур, резко отличных от субмеридиональных простираний амфиболитов, свидетельствует, возможно, о значительно более древнем их возрасте, чем наложенного метаморфизма амфиболитов. По нашему мнению, габбро-гнейсы представляют собой «уцелевшие» блоки докембрийских пород мафического фундамента доуралид. Геофизические расчеты (Молдаванцев, Берлинг, Казак, 1976) показывают, что «базальтовый» слой и на Полярном Урале максимально приподнят именно в пределах малыкского комплекса габбро-гнейсов и залегает на глубине 2—3 км. По существу, мы можем говорить о выходе этого «слоя» на поверхность. О его древнем возрасте также свидетельствуют и некоторые геохронологические определения амфиболи-



Рис. 4. Цоизитизированный габбро-норит (зарисовка шлифа). В основной массе (мелкозернистый агрегат цоизита) погружены реликты ромбического и моноклинного пироксена, а также плагиоклаза, обрастающие роговой обманкой. Черное — срастание магнетита и ильменита. Среднее течение р. Малыко.

цированных габбро-гнейсов, полученные калий-аргоновым методом. Возраст амфиболизированных габбро-норитов правобережья р. Малыко (5 проб) 1035—1350 млн. лет. Возраст метаморфизма гранатовых амфиболитов 468 млн. лет. В зонах контакта с вмещающими зелеными сланцами и гипербазитами массива Сым-Кей, а также во внутренних частях блоков габбро-нориты испытали неоднократное наложение метаморфизма.

Неизмененные габбро-нориты представлены массивными розоватыми, розовато-серыми, темно-серыми до почти черного цвета породами иногда с отчетливым гнейсовидным строением. Они содержат в среднем плагиоклаза 50—65%, гиперстена 25—35, клинопироксена 15—30 и буровато-зеленой роговой обманки 5—10%. Плагиоклаз относится к битовиту

(№ 80). Он полисинтетически сдвойникован по периклиновому или альбитовому закону с характерными для них «висячими» двойниками. Часто плагиоклаз содержит тончайшие игольчатые включения рутила и других трудно определимых минералов. Соотношения между ортопироксеном и клинопироксеном варьируют. В некоторых разностях наблюдается преобладание моноклинного пироксена над ортопироксеном, в других — наоборот. Ортопироксен образует изометричные неправильной формы зерна размером 0,2—0,5 мм, с ярко выраженным плеохроизмом в розоватых тонах. Повсеместно наблюдается замещение ортопироксена диопсидом. При переходе от габбро-норитов к амфиболизированным разностям вокруг пироксена развивается реакционная кайма, состоящая из буровато-зеленой роговой обманки. Нередко она присутствует в виде самостоятельных зерен в основной массе. Структура породы переходная от габбровой к габбро-келифитовой. В связи с преобразованием габбро-норитов меняется и минеральный состав породы. Основность плагиоклазов при этом резко снижается от битовита до лабрадора или андезина (№ 30—50). Буровато-зеленая (богатая титаном) роговая обманка замещается сине-зеленой, более магнезиальной, но бедной титаном разностью (рис. 5).

Свежие габбро-нориты обычно обогащены титаномагнетитом — от 1,5 до 7,0% основной массы. Рудные минералы распределены в породе неравномерно, в виде неправильных зерен, иногда обуславливая участки сидеронитовой структуры.

В габбро-гнейсах правобережья р. Малыко часто присутствует голубоватый кварц, разъедающий плагиоклаз и пироксен. Такие кварцодержащие гиперстеновые гнейсы встречаются в виде узких полос субширотного простирания. Структура этих пород полосчатая, гнейсовидная, иногда гранулитоподобная. Гнейсовидность пород обусловлена линейным расположением грубозернистого опаловидного («голубоватого») высокотемпературного кварца и буровато-розового гиперстена. Голубоватый кварц содержит обычно многочисленные игольчатые, волосовидные включения рутила и весьма сходен с пластинчатым («струйчатым») кварцем со структурой распада (с выделением рутила) в гранулитах основного состава Кольского полуострова (Казак, 1971). Более поздний (низкотемпературный) кварц, как правило, лишен рутила и обладает светло-серым цветом. Наряду с голубоватым кварцем, в гранулитоподобных «габбро-гнейсах» отмечается плагиоклаз с тонкими кристаллами рутила. Наличие опало-видного кварца в гнейсовидных «габбро-норитах» свидетельствует о высокой температуре образования этих пород. По мнению В. С. Соболева (1968), голубоватый кварц устойчив при температуре выше 800°C. Существующие пироксены, наличие граната (альмандин-пиропового ряда) в гиперстеновых породах отвечают гранулитам. Вероятно, гранулитоподобные породы образуются в условиях, близких гранулитовой фации.

В целом для габбро-гнейсов малыкского комплекса выделяются четыре стадии (этапа) метаморфического преобразования. Первая наиболее высокотемпературная соответствует гранулитовой фации (двукирексиновые габбро-гнейсы, гиперстеновые и альмандин-гиперстеновые гнейсы с голубоватым кварцем; характерно сохранение (или новообразование?) магматогенных габбровых структур).

Вторая стадия метаморфизма характеризуется частичной перестройкой исходной габбровой структуры, однако еще во многих участках сохраняются первичные минералы. На данном этапе проявлено либо локальная амфиболизация и цоизитизация, либо плагиоклаз почти полностью замещен агрегатом мелкозернистого цоизита.

Третья стадия метаморфизма характеризуется образованием нового парагенезиса минералов: сине-зеленой роговой обманки, эпидота, цоизита и рутила. Концентрация последнего обуславливает наличие рутиловых гранатовых амфиболитов, в которых содержание рутила составляет

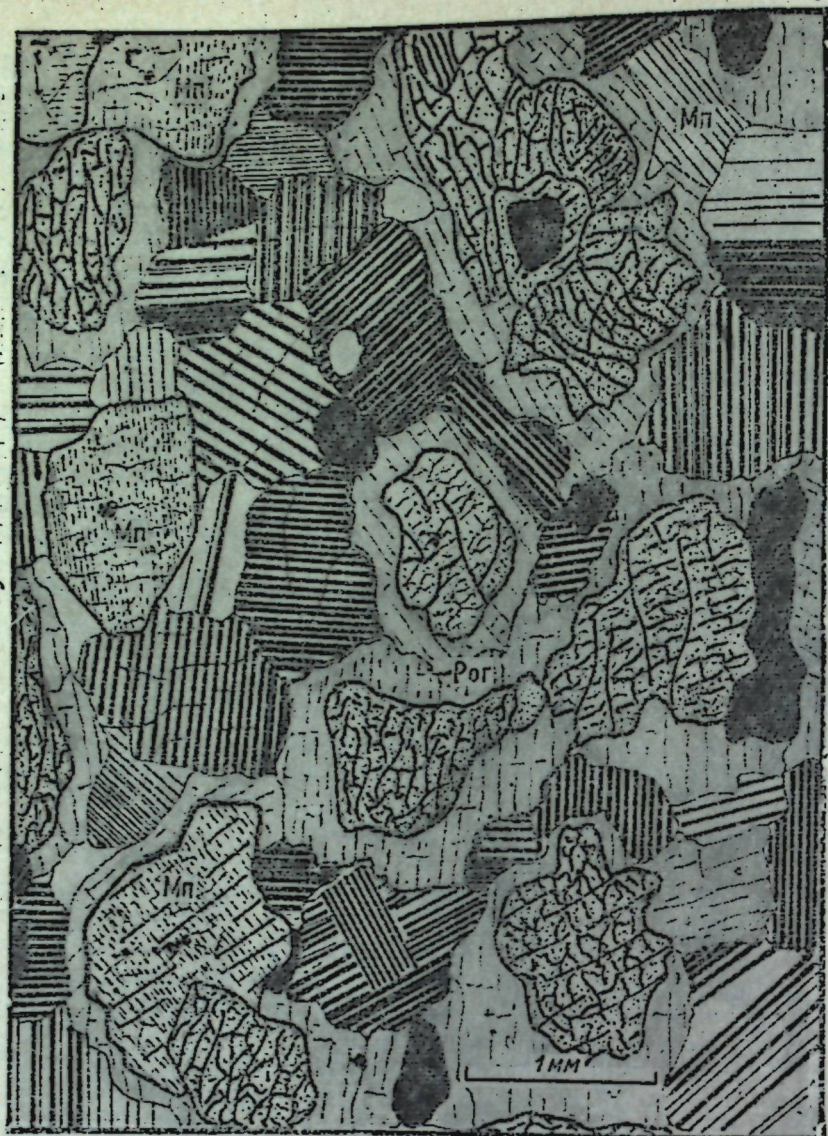


Рис. 5. Частично амфиболизированный габбро-норит. Зеленая роговая обманка (Рог) развивается вокруг ромбического широксена (более высокий рельеф) за счет реакции с основной тканью, сложенной плагиоклазом (лабродор-битовит), клинопироксеном (частая тонкая штриховка, Ми) и рудным минералом. Правый берег р. Малыко. Шл. 239.

2,5—3,5%. Вероятно, к третьему этапу следует отнести и образование пегматитовых жил и жил альпийского типа (размером до 3,5 м), сложенных крупнокристаллической роговой обманкой (от 10 до 30 см), цоизитом, эпидотом, крупнокристаллическим рутилом и шлирами магнетита и ильменита.

К последней, четвертой, стадии метаморфизма относятся диафторические превращения амфиболитов, которые выразились в появлении вторичного (низкотемпературного) кварца, вторичного эпидота, альбита, актинолита, мусковита, хлорита и других минералов. При этом рутил и ильменит замещаются или обрастают мелкозернистым агрегатом («рубашкой») сфена. В результате диафтореза породы осветляются и приобретают четко выраженную сланцеватость.

Среди амфиболизированных габбро-норитов можно наблюдать многочисленные тела гипербазитов мощностью от нескольких десятков до пер-

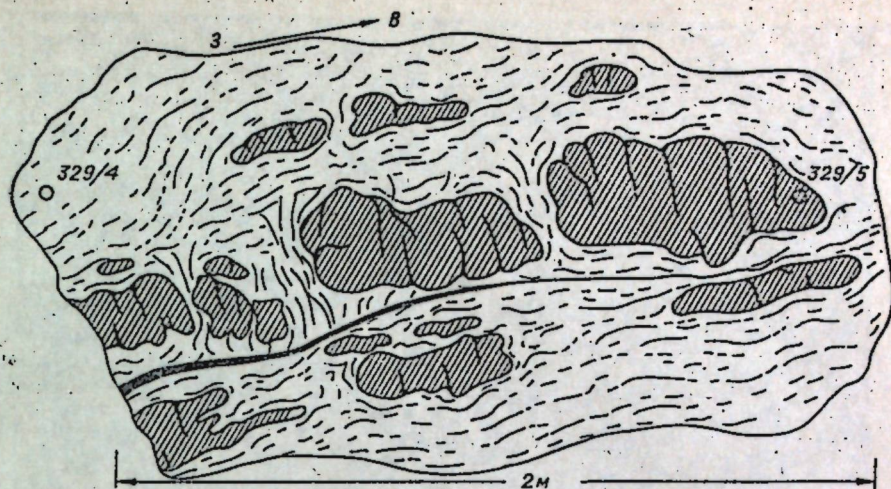


Рис. 6. Разлинование (будниаж) жил клинопироксенитов среди рассланцованных дунитов. Восточная окраина гипербазитового массива Сыум-Кеу. Левый берег р. Малыко (обр. 329). Зарисовка с фотографии.

вых сотен метров, иногда группирующиеся в цепочки, вытянутые на несколько километров. Эти тела сложены дунитами, верлитами, лердлитами, оливиновыми клинопироксенитами и вебстеритами, частично амфиболизированными и цоизитизированными. Нередки шпинель- и гранатсодержащие вебстериты (часто с оливином). Вместе с гранатовыми метагабброй они образуют дунит-пироксенит-метагаббройдный комплекс, аналогичный западному в Войкаро-Сычынском массиве (см. гл. 3, 4). Наиболее часто встречаются широксениты, залегающие среди гранатовых амфиболитов в виде пластообразных тел. При более интенсивном метаморфизме наблюдаются разлинование и будниажирование прослоев пироксенитов (рис. 6). Вероятно, в результате пластических деформаций в некоторых местах буднины широксенитов ориентированы в разные стороны или смещены относительно друг друга на значительные расстояния.

В периферической части массива паряду с оливиновыми клинопироксенитами развиты оливиновые вебстериты, нередко шпинельсодержащие (рис. 7). Вместе с жилообразными телами габбройдов, согласными с полосчатостью дунит-клинопироксенитового комплекса, пироксениты частично пацело амфиболизированы, цоизитизированы, гранатизированы (рис. 8) и превращены в пироповые амфиболиты, гранатсодержащие горнблендиты и лейкократовые цоизит-рогообманковые породы. Эти породы иногда обладают гнейсовидностью и образуют частое чередование с меланократовыми широксенитами. Мощность лейкократовых цоизит-рогообманковых пород варьирует от 10—15 см до 1—1,5 м. Наиболее широко проявлены они в верховых правого притока р. Малыко. В левом борту рек обнажаются цоизит-рогообманковые породы, образующие зону шириной до нескольких сот метров. Здесь же встречены своеобразные брекчии-видные породы, сложенные «бломками» серовато-зеленых широксенитов, заключенных в массе, состоящей из светлого агрегата цоизита.

Следует отметить, что шпинельсодержащие вебстериты, слагающие участки в периферической части массива, вместе с их амфиболизованными различиями всегда отделены от основной полосы образований восточного дунит-пироксенитового комплекса массива Сыум-Кеу разрывными нарушениями. Амфиболиты и пироксениты разделены здесь линзовидным телом лейкогаббро-плагиоклазита мощностью до 3—3,5 м в раздуве, превращенным местами в хлоритизированную амфибол-цоизитовую породу. По гранат-цоизитовым амфиболитам, шпинель- и гранатсодержа-

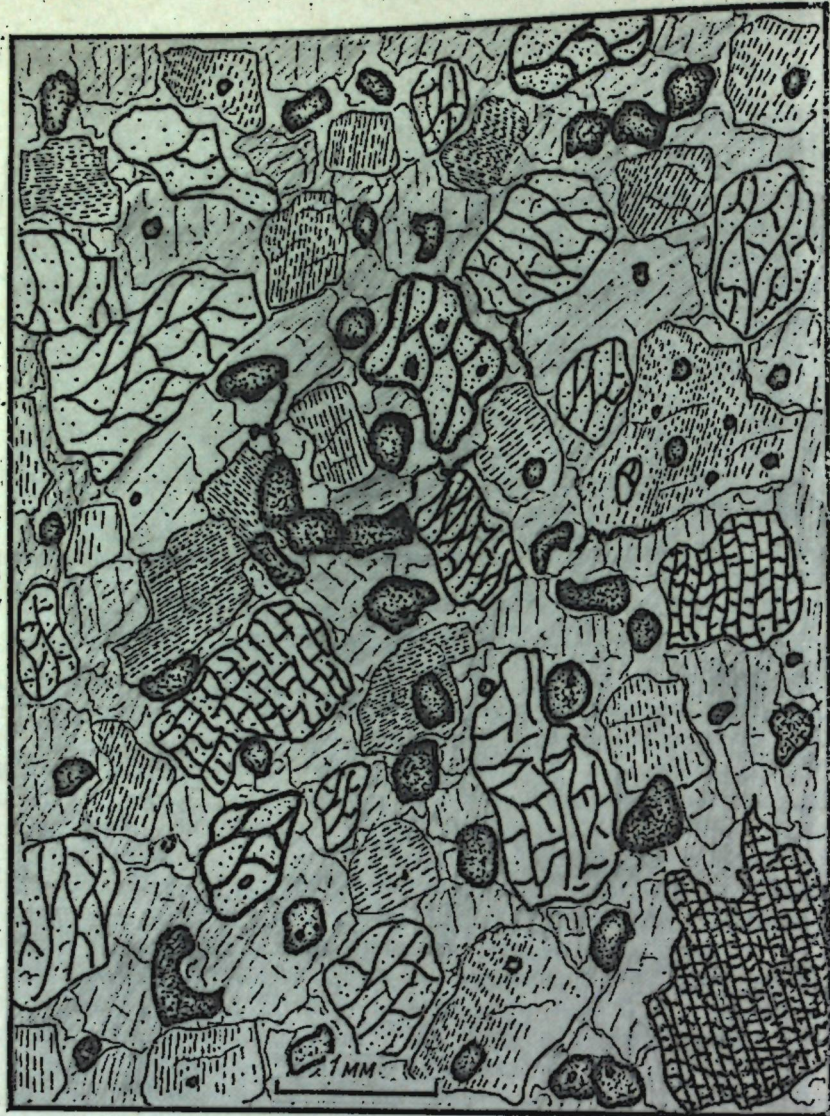


Рис. 7. Шишельовый вебстерит. Порода насыщена неправильными зернами зеленой шишельи. В основной массе клинопироксен (тонкая штриховка) и ромбический широксен (более высокий рельеф). Между зернами широксена выделяется светло-зеленый амфибол (серое). Верховья р. Малыко. Шл. 212.

жащим вебстеритам (см. рис. 8), частично амфиболизированным и хлоритизированным, развиты бластомилониты очкового и линзовидно-полосчатого сложения. Мощность зоны бластомилонитов около 20–30 м. Простирание полосчатости бластомилонитов, подчеркнутое отдельностью, переходящей в сланцеватость, здесь субмеридиональное, падение на запад под углами 40–50°.

Вслед за бластомилонитами клинопироксенитов и верлитов, содержащими линзовидные участки антигоритовых серпентинитов, выступают чередующиеся между собой полосами массивные пироксениты, верлиты и дуниты. Простирание их полосчатости также субмеридиональное. Падение к западу несколько более крутое, вплоть до вертикального. Среди клинопироксенитов встречаются маломощные прослои соссюритизированных диопсидовых габбро. Реликты дунитов, уцелевшие при замещении, попадаются в виде выдержаных полос, линз, будин или пластообразных тел.



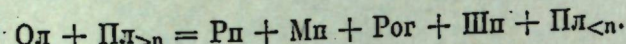
Рис. 8. Гранат-шишельовый вебстерит. Видны неправильные прожилковидные выделения граната (крупные точки) и скопления червеобразной зеленой шишельи (мелкие) преимущественно в роговой обмашке. Верховья р. Малыко. Шл. 213.

На основании вышеизложенного можно отметить, что шишель- и гранатсодержащие оливиновые вебстериты (реже лерцолиты) отдельных участков восточной периферии гипербазитового массива Сыум-Кеу идентичны по составу различным по величине линзовидным телам гипербазитов, получившим распространение в пределах непосредственного восточного обрамления массива среди гранат-диопсидовых амфиболитов. Кроме того, в зоне непосредственного контакта элементы залегания амфиболитов соответствуют элементам залегания вторичной полосчатости, развитой в бластомилонитах по гипербазитам, и, очевидно, фиксируют положение контактовой поверхности.

В стороне от зоны контакта полосчатость габбро-поритов малыкского комплекса и полосчатость образований дунит-пироксенитового комплекса восточной части гипербазитового массива обнаруживают несогласные соотношения.

В восточной, противоположной части габбро-поритового комплекса части плагиоклазсодержащие гипербазиты (перидотиты). Они образуют

линовидные тела мощностью 250—350 м и протяженностью до 1,5—2 км. Порода темно-зеленого, почти черного цвета, со светлыми «очковыми» выделениями плагиоклаза. Наряду с плагиоклазом (лабрадор-апортитом) отмечаются оливин, пироксен, амфибол, цоизит, антигорит и зеленая шпинель. В результате метаморфических преобразований между минералами возникли сложные взаимоотношения, что отразилось на их структуре. Различные формы структур обусловлены реакционным взаимоотношением оливина, пироксена, амфибала и плагиоклаза. Характерная особенность этих пород — наличие келифитовых каемок (корон) вокруг оливина, которые обладают зональным строением. Обычно наблюдается обратление оливина каемкой из ромбического пироксена (гиперстена), который, в свою очередь, окаймляется клинопироксеном и светло-зеленой роговой обманкой. На границе между роговой обманкой и плагиоклазом обычно развивается агрегат зеленой шпинели. Таким образом, реакция имеет вид



Плагиоклазодержащие эклогитоподобные гипербазиты отличаются обильным содержанием зеленой шпинели (местами от 2 до 3% основной массы).

Форма выделения плагиоклаза в гипербазитах весьма различна. Наблюдаются таблитчатые полисинтетически сводниковые зерна, по составу отвечающие лабрадору или битовиту. Нередко они образуют мелкозернистый агрегат или участки с четкой офтитовой структурой.

Местами плагиоклазодержащие гипербазиты по составу приближаются к троктолитам, где обычно на «реликтах» зерен оливина нарастают агрегаты зерен гиперстена и клинопироксена. Образующаяся корона окаймляется амфиболовом с включениями шпинели и плагиоклаза.

### Внутреннее строение массива Сым-Кей

В пределах массива Сым-Кей среди антигоритизированных гардбургитов в относительно подчиненных количествах развиты дуниты и лерцолиты. Морфология тел дунитов и характер их залегания наиболее достоверно устанавливаются в пределах площадей распространения гардбургитов с сохранившимся энстатитом. В зависимости от количества дунитов и лерцолитов выделяются лерцолит- и дунит-гардбургитовый комплексы (табл. 3).

Гардбургиты развиты на относительно небольшой площади в верховых руч. Езенги-Шор. В северном направлении к р. Малая Хадата их распространение несколько расширяется. С окружающими антигоритизированными разностями гардбургиты связаны постепенными переходами. Кроме того, первые слагают среди вторых отчетливо наложенные зоны и участки, иногда ветвящиеся; мощность их от нескольких десятков и сотен метров до 1—2 км. В таких участках и зонах вторичная гнейсовидность, как правило, обнаруживает крутые до субвертикальных падения на запад и юго-запад. Макроскопически обычные гардбургиты отличаются прежде всего более светлой буровато-желтой с зеленоватым оттенком коркой выветривания. Гардбургиты среднезернистые как массивного, так и полосчатого сложения. Последнее обусловлено разрежениями и сгущениями зерен энстатита по одиобразно ориентированным плоскостям. Участки породы, обогащенные пироксеном, образуют вытянутые скопления, цепочки, шлиры и иногда полосы. С окружающей породой они связаны постепенными переходами на коротком расстоянии. Изредка имеют резкие ограничения.

В районе южнее горы Сэр-Гай наиболее выдержанная полосчатость гардбургитов простирается в направлении СЗ 340° и падает на северо-

Таблица 3

Олик- сес	Химические анализы гипербазитов массива Сым-Кей										Дунит-верлит-пироксенитовый комплекс					
	Гардбургит-лерцолитовый комплекс	Дунит-гардбургитовый комплекс					Дунит-верлит-пироксенитовый комплекс									
	H-3324a	H-3324b	H-3324c	H-3324d	H-3324e	V-5216	V-5316	V-5317	V-5318	V-5319	V-5320	V-5321	V-5322	V-5323	V-5324	
SiO <sub>2</sub>	35,51	37,42	37,79	40,05	40,15	41,49	41,65	40,78	35,40	35,89	39,20	41,43	42,76	34,61	37,42	34,57
TiO <sub>2</sub>	0,48	0,55	0,82	1,32	2,48	2,62	1,81	3,12	0,41	1,24	0,96	0,90	1,24	0,67	0,67	0,55
Al <sub>2</sub> O <sub>3</sub>	5,04	3,38	3,98	4,96	2,97	1,88	5,61	5,78	5,44	4,68	4,14	2,87	1,76	5,38	2,46	6,47
Fe <sub>2</sub> O <sub>3</sub>	4,35	6,01	3,84	3,98	3,84	3,98	5,61	5,78	6,33	5,23	5,21	4,03	5,57	6,70	4,92	10,83
MnO	0,15	0,15	0,41	0,41	0,66	0,13	0,13	0,13	0,08	0,11	0,14	0,13	0,13	0,15	0,24	0,16
MgO	41,65	44,86	40,41	38,35	37,57	39,61	40,37	41,18	44,51	41,47	40,72	42,01	43,00	41,45	43,30	40,21
CaO	0,42	0,56	2,25	2,24	0,42	2,10	1,68	2,49	0,56	0,56	1,12	1,12	1,40	0,42	1,08	0,65
Na <sub>2</sub> O	0,09	0,05	0,11	0,11	0,03	0,25	0,21	0,15	0,04	0,04	0,07	0,07	0,08	0,11	0,06	0,12
K <sub>2</sub> O	0,11	0,02	0,11	0,02	0,11	0,02	0,02	0,02	0,07	0,02	0,11	0,11	0,02	0,11	0,04	0,11
Cr <sub>2</sub> O <sub>3</sub>	0,92	0,62	0,30	0,47	0,34	0,40	0,30	0,35	0,65	0,80	0,50	0,40	0,32	0,91	0,05	0,19
NiO	0,33	0,35	0,30	0,29	0,30	0,30	0,30	0,30	0,29	0,30	0,31	0,34	0,35	0,32	0,14	0,07
CoO	0,014	0,013	0,013	0,013	0,010	0,010	0,011	0,011	0,013	0,013	0,014	0,014	0,014	0,014	0,01	0,016
П.п.п	10,80	5,67	9,93	8,02	12,32	4,44	4,65	4,15	10,21	9,26	8,67	5,21	2,26	10,24	3,13	9,00
Сумма	99,81	99,65	99,92	99,95	99,87	99,99	99,75	100,56	100,18	99,74	100,41	99,83	99,72	99,82	99,24	100,57
																100,40
																99,80

Числовые характеристики по И. Д. Соболеву																
S	33,3	33,1	35,1	36,7	38,8	36,6	36,8	32,4	33,2	36,1	36,3	36,5	32,5	32,3	40,3	
SiO <sub>2</sub>	0,9	0,8	1,0	2,9	4,1	0,6	2,8	0,7	1,4	1,3	1,4	1,1	1,1	0,8	0,3	
Al <sub>2</sub> O <sub>3</sub>	65,6	66,1	63,9	60,3	59,5	60,5	61,1	65,1	62,5	62,5	61,9	65,8	65,8	66,9	67,1	42,1
FeO	34,4	20,2	32,1	30,0	53,6	19,6	17,3	46,7	28,7	31,7	17,9	10,5	33,3	35,4	24,7	
CaO	8,2	8,6	9,3	9,0	10,6	8,2	8,5	10,4	7,7	9,1	9,0	9,0	7,4	5,3	5,5,2	
Na <sub>2</sub> O	98,8	98,4	91,0	78,7	70,3	79,2	79,8	98,4	98,3	84,7	80,7	82,6	98,8	90,6	99,9	
K <sub>2</sub> O	1,2	1,6	6,9	7,3	1,4	6,6	5,2	1,6	1,7	3,5	4,1	4,1	1,2	4,0	0,4	
Cr <sub>2</sub> O <sub>3</sub>	—	—	2,1	14,0	28,8	14,2	15,0	—	16,6	11,8	13,3	13,3	13,3	13,6	5,4	
Gr/Al	37,5	26,7	11,1	5,6	7,2	5,7	5,3	33,3	16,6	12,0	—	—	—	—	0,7	

восток под углами 40–45°. В верховых руч. Езенги-Шор и р. Малая Хадата сохраняются субмеридиональные и северо-западные простирации, в то время как преобладающие падения становятся юго-западными с углами от 20–30 до 40–60° и более.

Дуниты, встречающиеся среди гарцбургитов, помимо того, что в них отсутствует пироксен, отличаются от последних несколько более светлой окраской корочки выветривания. На поверхности отдельных глыб дунита иногда рельефно выделяются шлирообразные скопления и отдельные зерна буроватого хромшипелида.

Дуниты встречаются среди полосчатых гарцбургитов обычно в виде обособлений и полос (мощностью от нескольких до десятков сантиметров), чаще всего вытянутых совершенно согласно с полосчатостью гарцбургитов. Реже наблюдаются секущие полосчатость жилки и иногда неправильной формы жилообразные тела дунитов. Последние достигают в мощности нескольких метров.

В истоках р. Малая Хадата в глыбовых развалих и отдельных коренных выходах среди гарцбургитов и лерцолитов отчетливо прослеживается неправильной формы тело дунитов, вытянутое в направлении СЗ 350°. Его размеры 200–250×50–75 м. В участке контакта дунитового тела с перidotитами среди последних часты многочисленные согласные и иногда секущие жилки и жилы дунита. Тела дунитов, подобные охарактеризованному, встречаются в бортах р. Малая Хадата и руч. Езенги-Шор и ниже по течению. Их размеры чаще всего порядка нескольких десятков и реже первых сотен метров по удлинению.

Переходы от дунитов к гарцбургитам обычно постепенные, редко более или менее резкие. В контакте явлений закалки и других изменений не отмечается. Все отличие состоит в том, что в дунитах отсутствует ромбический пироксен и появляется небольшое количество хромита иногда в виде шлир.

Перidotиты и дуниты не отличаются по характеру соотношений от тех, что подробно описаны в массивах Рай-Из и Войкаро-Сыныпском. Можно отметить все же меньшие масштабы проявления дунитов среди гарцбургитов массива Сым-Кеу и наличие значительного количества лерцолитов по сравнению с массивами, названными выше. Кроме того, в дунитах здесь повышенная вкраpledность и шлиры хромшипелида наблюдаются реже. Лишь в единичных случаях были встречены грубозернистые разности дунитов.

С полосчатостью гарцбургитов обычно совпадает и господствующая система трещин отдельности, которой иногда следуют жилки вебстерита и клинопироксена. Мощность их чаще всего от нескольких миллиметров до 10–15 см. Редко они достигают 0,5–1 м.

Жилки и жилы пироксена характеризуются теми же особенностями, которые отмечены для них при описании южного склона массива. Помимо согласных жил, нами встречены жилы, секущие полосчатость гипербазитов. В верховых руч. Малая Хадата одна из жил мощностью около 1 м протягивается в направлении СЗ 290° и круто падает на СВ.

Среди гипербазитов к югу от горы Сэр-Гай, на западном склоне вершины с абс. отм. 1010,0 м и в других местах встречены участки (зоны) смятия и рассланцевания, сложенные преимущественно антигоритовыми серпентинитами. Они имеют северо-восточное (СВ 30–45°) и близкое к меридиональному простирание. Падение на юго-восток под углами 50–65° и более крутое. Видимая мощность таких участков, сложенных рассланцованными змеевиками, до 10–20 м, по простирации они прослежены до 100 м и более. На аэрофотоснимках дополнительно дешифрируются линейные зоны разломов в гипербазитах, ориентированные в субширотном и северо-западном направлении. Вероятно, их природа аналогична только что описанным. Характер обнаженности массива не всегда позволяет прослеживать их на местности.

Ближе к восточной окраине гипербазитового массива Сым-Кеу (в 6,5–7 км восточнее вершины с абс. отм. 1010,0 м) обнаруживается широкая (до 2–3 км), вытянутая в субмеридиональном направлении полоса, сложенная мелко- и среднезернистыми гарцбургитами с размерами зерен 0,2–0,3 мм. Внешне они неотличимы от дунитов, и лишь в некоторых разностях можно наблюдать мелкие удлиненные зерна энстатита (розовые или белесые на поверхности выветривания и бледно-зеленые в свежем сколе). Впервые особенности состава и строения рассматриваемых гарцбургитов и дунитов отметили сотрудники петрографической экспедиции МГУ И. Е. Кузнецова, Г. Л. Кашица и В. И. Ваганов в 1970–1973 гг. Они выделили их в восточный дунит-гарцбургитовый комплекс. Породы этого комплекса как бы разделяют широкую (до 9–10 км в плане) зону преобладающего развития антигоритизированных и обычных гарцбургитов (частью лерцолитов) на западе от узкой (1–2 км редко более) зоны, составляющей восточную периферическую часть массива и сложенную образованием полосчатого дунит-пироксенитового комплекса.

В дунитах, образующих согласные жилообразные тела среди рассматриваемых мелко- и среднезернистых гарцбургитов, иногда встречаются маломощные (до 4–5 см) шлиры вкраpledного хромита. Они обычно следуют господствующей отдельности в дунитах, которая совпадает с полосчатостью гарцбургитов, не всегда отчетливо выраженной. В разрезах по рекам Малая Хадата и Езенги-Шор последняя в западной части характеризуемой полосы имеет близкое к меридиональному (СЗ 350°) простирание и круто падает к юго-западу. Восточнее полосчатость и господствующая отдельность, сохраняя субмеридиональное простирание, нередко изменяют падение на крутое северо-восточное, до почти вертикального. Из многих других систем трещин отдельности по р. Малая Хадата хорошо выражена система с аз. пад. 325–330°,  $\angle 65^\circ$ .

Среди образований рассматриваемого восточного комплекса мелко-, среднезернистых дунит-гарцбургитов прослеживаются зоны и участки антигоритизации мощностью до нескольких сотен метров, имеющие субмеридиональное простирание и круто падающие на запад. Одна из таких зон (шириной до 1 км) разграничивает полосу образований восточного дунит-гарцбургитового комплекса и лерцолит-гарцбургиты, составляющие большую часть площади массива на западе, что затрудняет выяснение характера их соотношений.

В 1,5–2,5 км от восточной окраины массива среди гарцбургитов и дунитов охарактеризованного комплекса появляются многочисленные шлиры, жилки и жилы клинопироксена (без шпинели) мощностью от долей сантиметра до нескольких десятков сантиметров. Дуниты вблизи пироксенитовых жилок приобретают в свежем изломе почти черный цвет, что, очевидно, связано с серпентинизацией породы. Развитие клинопироксенитовых жилок на отдельных участках следует близко расположенным субпараллельным плоскостям, что придает породе полосчатый облик. Участки таких полосчатых пород имеют мощность около 10–15 м. Восточнее появляются более мощные и шлирообразные тела клинопироксенитов. Они чередуются с согласными телами дунитового (перidotитового) состава такой же мощности. Характер контакта обычный для пироксенитов, встреченных в других местах массива. Иногда в пироксенитовых телах появляются шлирообразные и неправильные участки, где зерна клинопироксена достигают в поперечнике нескольких сантиметров. Часто тела пироксенитов и дунитов связаны между собой переходами через охарактеризованные выше полосчатые породы перidotитового состава.

Почти меридиональное простирание полосчатости дунит-клинопироксенитового комплекса в разрезе руч. Езенги-Шор и непосредственно к северу от него в долине р. Малая Хадата постепенно сменяется северо-восточным (20–40°), сохрания, однако, везде крутое, близкое к вертикальному, падение.

В 0,5 км от восточного края массива по р. Малая Хадата среди полосчатых гипербазитов встречены отдельные глыбы и скопления глыб циозитизированного и амфиболизированного габбро-норита. Размеры отдельных глыб 1—1,5 м. По внешнему облику габбро-нориты представляют полосчатую светло-серую породу, иногда обнаруживающую полосы среднезернистую светло-серую породу, иногда обнаруживающую полосчатое сложение. По-видимому, габбро-нориты слагают небольшое тело среди гипербазитов. Однако размеры и форму этого тела установить не удалось. В русле реки гипербазиты рассечены жилкой среднезернистого амфиболизированного и сассюритизированного габбро мощностью до 10—15 см. Жила следит по вертикальной трещине, простирающейся в направлении СВ 20°. В зальбандах ее отмечается обогащение амфиболом.

Общая ширина полосы, сложенной образованиями полосчатого дунит-клинопироксенитового комплекса, по восточной окраине гипербазитового массива Сыум-Кеу достигает 1,5—2,5 км.

Несколько отлична по составу группа небольших массивов, расположенных к северу от горы Ниро-Пэ, в бассейне р. Большая Щучья. Здесь отсутствует столь резко выраженная зональность, как в массиве Сыум-Кеу. Массивы сложены главным образом однородными массивными гарцбургитами с маломощными (1—2 м) жилами дунитов. Крайний северный массив в районе оз. Байто включает, помимо гарцбургитов, также маломощные тела мелкозернистых дунитов. В целом массивы разбиты сетью взаимопересекающихся тектонических трещин, что исключительно усложняет их внутреннюю структуру. В отличие от основного массива Сыум-Кеу здесь отсутствуют антигоритовые разности гарцбургитов и более широко развиты серпентиниты, которые развиваются обычно по тектоническим трещинам или по краям массива. Об относительно малой мощности гипербазитовых тел свидетельствуют геологические и геофизические данные. По Н. Г. Берлянд, они вообще не отражаются в геофизических полях.

## МАССИВ ХАРЧЕ-РУЗЬ

В плане массив Харче-Рузь имеет неправильно-серпообразную форму с вытянутым на восток окончанием.

Вмещающие массив метаморфические образования представлены: на севере и северо-западе — альбитовыми и альбит-циозитовыми амфиболитами с подчиненным развитием (шъекционных?) альбитовых гнейсов с мусковитами; подстилающими гипербазиты и, по-видимому, слагающими их подушку. Эти образования сходны с метаморфическими породами нижнерейской свиты; на юге — тонкополосчатыми мелкозернистыми плагиоклазовыми, частично пироксенсодержащими амфиболитами, составляющими кровлю массива.

Характер контактов гипербазитов с окружающими породами, очевидно, тектонический, хотя их непосредственные соотношения не всегда можно проследить. Гипербазиты в зоне контакта обычно озмееvikованы и рассланцованны. При этом сланцеватость, соответствующая поверхности контакта, в северо-западной части массива несогласно срезает полосчатость вмещающих амфиболитов.

С юго-востока к гипербазитам массива Харче-Рузь непосредственно примыкают гнейсовые и тонкополосчатые (передко мелкозернистые) амфиболизированные и сассюритизированные диопсидовые габбро, представляющие, по существу, бластомилониты амфиболитовой фации по габбро. По лосчатость последних, следующая очертаниям поверхности контакта с гипербазитами, имеет субширотное простижение и круто падает к югу. Взаимоотношения габбро и гипербазитов очень напоминают таковые на отдельных участках южной окраины массива Рай-Из (см. ниже). Среди измененных габбро (габбро-амфиболитов) юго-восточной окраинности массива Харче-Рузь встречены линзовидные включения сильно

измененных гипербазитов (клинопироксенитов, верлитов), а также пла-гиоклазовых амфиболитов.

Массив Харче-Рузь в основном сложен антигоритизированными гарцбургитами и оливин-антигоритовыми (апогарцбургитовыми) породами («войкаритами»), среди которых весьма подчиненное развитие получили жилообразные тела дунитов. Как уже отмечалось, совершенно аналогичный набор пород распространен в западной преобладающей части расположенного севернее массива Сыум-Кеу. Так же, как и там, в центральной части массива Харче-Рузь на небольших по площади участках встречаются обычные разности гарцбургитов с сохранившимся энстатитом.

В целом для пород, слагающих рассматриваемый массив, весьма характерен интенсивно проявленный динамометаморфизм, выразившийся в смятии пород, развитии в них тонкоплитчатой отдельности; переходящей участками в сланцеватость. В составе пород, помимо антигорита, широко развиты хлорит и tremolit. Зоны и участки отчетливо сланцеватых оливин-антигоритовых пород и антигоритовых серпентинитов обычно слагают краевые части массива. Кроме того, они как бы разграничивают в пределах массива различные по величине (чаще линзовидной формы) блоки пород относительно более массивного сложения.

Вдоль северной окраины массива Харче-Рузь вблизи контакта гипербазитов с циозитовыми амфиболитами в небольших масштабах развиты клинопироксениты. Они слагают здесь жилообразные тела различной мощности, которые в основном следуют господствующей субширотной крутопадающей на юг системе трещин отдельности в антигоритизированных гарцбургитах. Клинопироксениты частично преобразованы в породы карбонат-амфиболового состава. В змеевиках северо-западной оконечности массива встречены относительно маломощные линзовидные участки тальково-карбонатных пород.

Жильная серия пород в массиве развита слабо. Она представлена мелкими жилками оливиновых клинопироксенитов и клинопироксенитов, частью значительно амфиболизированных.

Таким образом, восточная периферическая часть охарактеризованного гипербазитового пояса в полосе шириной до 2,5 км на значительном отрезке сложена образованиями полосчатого дунит-клинопироксенитового комплекса, в пределах которого подчиненное развитие имеют согласные и секущие жилообразные тела габбро- и габбро-норитов, обычно превращенных в циозит (сассюрит)-амфиболовые, передко гранатсодержащие метагаббро. От гарцбургитов и их антигоритизированных разностей, слагающих западную большую часть площади пояса (массива Сыум-Кеу, горы Пусь-Ерка), образования дунит-пироксенитового комплекса отделены полосой мелко-, среднезернистых гарцбургитов и дунитов, составляющих восточный дунит-гарцбургитовый комплекс.

## Гла́ва 3

## **ВОЙКАРО-СЫНЬИНСКИЙ ОФДОЛИТОВЫЙ ПОЯС**

Войкаро-Сыныинский пояс офиолитов — самый крупный на Полярном Урале. Его общая протяженность почти 400 км. Орографически массивы этого пояса на значительном отрезке слагают наиболее возвышенную часть горного хребта в южной части Полярного Урала, частично составляя его водораздел. С севера на юг в составе пояса могут быть названы массивы: горы Ниравече, Герд-Из, Рай-Из, Войкаро-Сыныинский и Хулгицкий. Наиболее крупные имеют следующие площади: Рай-Из — 380 км<sup>2</sup>, Войкаро-Сыныинский — 2050 км<sup>2</sup> и Хулгинский — 121 км<sup>2</sup>.

Ниже рассматриваются особенности геологического строения и структурной позиции гипербазитовых массивов Рай-Из и Войкаро-Сынинского.

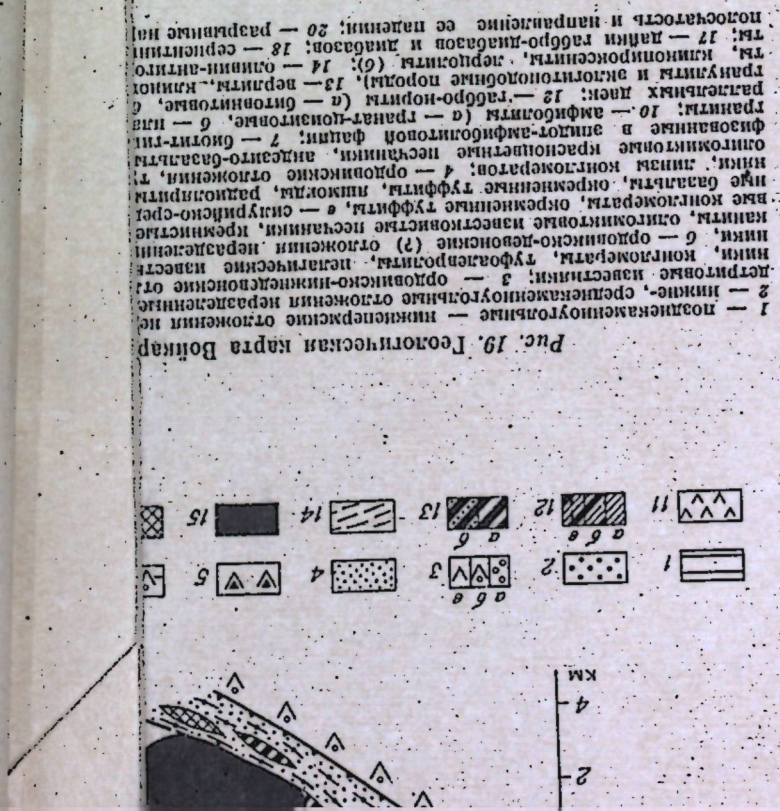
## МАССИВ РАЙ-ИЗ

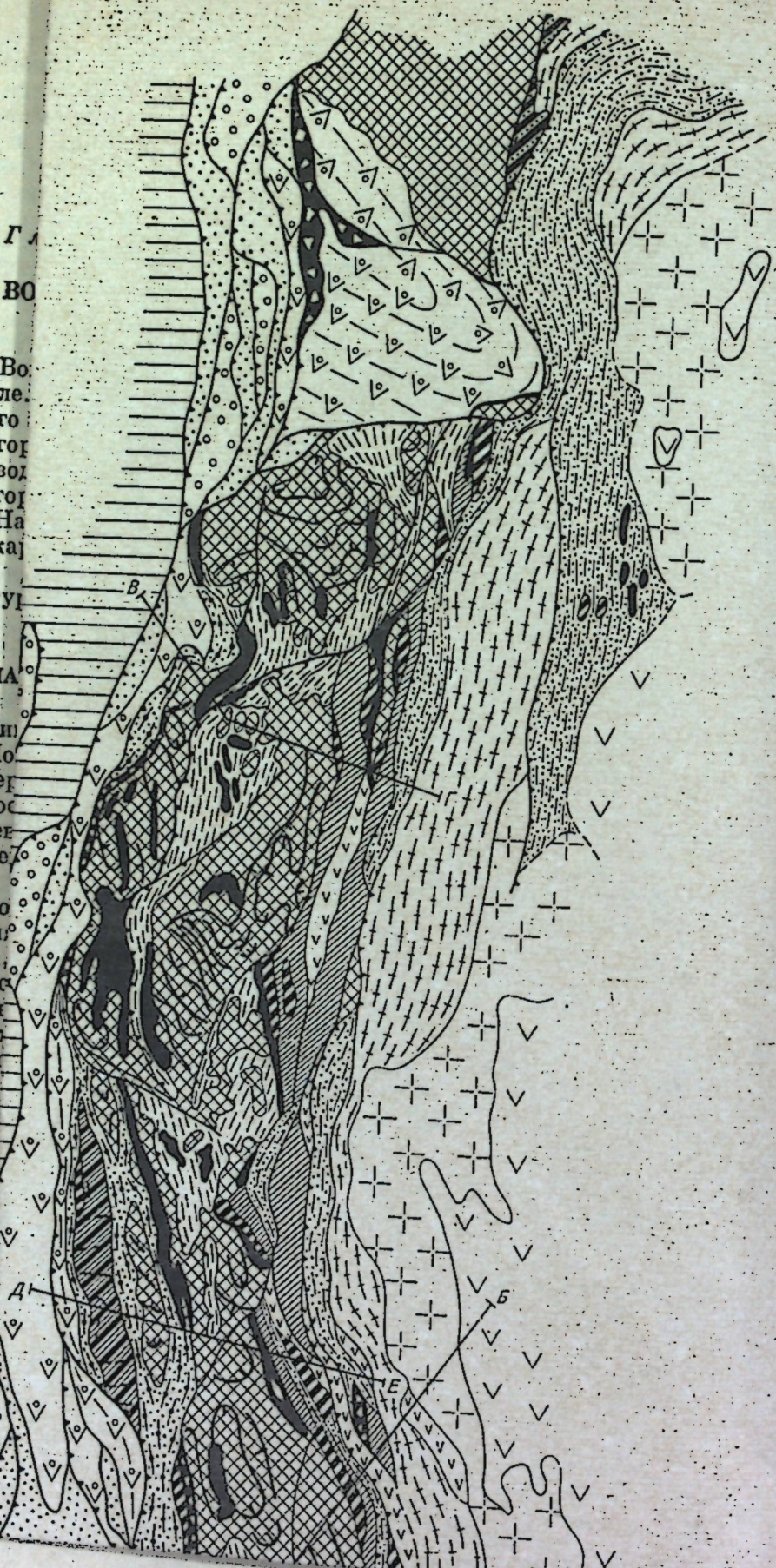
Гипербазитовый массив Рай-Из расположен на Полярном Урале севернее Полярного круга и непосредственно восточнее линии водораздела (район верхнего течения рек Собь и Макар-Рузь). В плаще массив имеет характерное серповидное очертание, а его площадь составляет около 380 км<sup>2</sup>. Особенности геологического строения массива Рай-Из достаточно полно освещены в известной монографии А. Н. Заварицкого (1932).

Позднее изучением гипербазитового массива Рай-Из и окружающих его толщ занимались многие исследователи. Следует отметить исследование сотрудников МГУ Г. Л. Кашиццева, И. Е. Кузнецова и Г. Б. Рудника, которые выявили главные особенности внутреннего строения массива и сложную историю его формирования, а также открыли ряд рудопроявлений хромитов (Рудник, Кашиццев, Кузнецов, 1971). Поэтому ниже будут кратко изложены основные особенности его геологии и петрографии, дополненные нашими новыми данными.

Непосредственно к северу от массива развиты относительно слабоизмененные, но сланцеватые осадочные горные породы среднепалеозойского возраста. Западнее и восточнее распространены метаморфизованные осадочные и вулканогенные образования яровейской свиты, отвечающие по степени метаморфизма зеленосланцевой и альбит-эпидот-амфиболитовой фациям, а южнее — горным породам собского диорит-тоналит-плагиогранитового комплекса. Контакты гипербазитов с окружающими породами, как будет показано ниже, всюду тектонические (рис. 9).  
Вдоль северной окраины массива Рай-Из прослеживаются

Вдоль северной окраины массива Рай-Из почти на всем протяжении прослеживаются своеобразные брекчиивидные образования, в которых разные по величине и часто округлые блоки и глыбы различных горных пород скементированы рассланцованными и перемятыми серпентинитами. Впервые их наблюдал А. Н. Заварницкий, отмечавший «... в массе змеевика огромные глыбы, имеющие вид включений посторонних пород» (1932, с. 35). Данные исследований последних лет состава, строения и структур-





ого положения этих образований позволили высказать соображения об их меланжевой природе, а также по-новому оценить тектоническую позицию гипербазитового массива (Дергунов, Казак, Молдаванцев, 1975).

Брекчиевидные образования, состоящие из округлых блоков и глыб гипербазитов, диабазов и базальтовых порфиритов, скементированных развалцованными серпентинитами, идентичные встреченным в северной периферической части массива Рай-Из, прослежены также на запад от него. Они приурочены здесь к протяженной зоне разлома и рассматриваются как эруптивные брекчии — продукты неоднократного внедрения базитов и гипербазитов в эту зону (Шляхова, 1965; Волович, Дембовский, 1972).

#### Характер контактов гипербазитов массива с вмещающими породами

Наибольший интерес представляет строение северной окраины массива Рай-Из, где нацело серпентинизированные гипербазиты контактируют с толщей, сложенной кремнисто-глинистыми, углисто-глинистыми и филлитовидными сланцами, алевролитами и песчаниками с редкими линзами известняков. В разных горизонтах этой толщи отмечены находки каменноугольных фораминифер (Войновский-Кригер, 1933) и конодонт верхнего девона (Пучков, 1973). При этом по одному из первых притоков р. Собь последние встречены в 300 м от контакта с гипербазитами. Осадочные горные породы очень слабо метаморфизованы (не выше метагенеза или фации аспидных сланцев), а вблизи гипербазитов иногда лишь слабо хлоритизированы. Обычно они смяты в крутые, нередко опрокинутые на северо-запад изоклинальные складки восток-северо-восточного простирания, поэтому преобладающее направление падения слоистости юго-восточное под углами 40—60°.

По мере приближения к гипербазитовому массиву заметно увеличивается степень рассланцевания горных пород, появляется мелкая плойчатость. Так, в основании левой цокольной террасы руч. Нырдомен-Шор углисто-кремнистые и углисто-глинистые сланцы с прослоями песчаников интенсивно сплоены и расклиниважированы, причем осевые плоскости складок волочения и плоскости кливажа почти параллельны и падают на восток-юго-восток под углами 70—80°. Можно предположить, что они образовались при субгоризонтальном движении гипербазитов с юго-востока на северо-запад по поверхности сланцев. Более массивные пласти кремнистых пород сплоены и сохраняют кротое и иногда относительно пологое (45—50°) падение на юг под гипербазиты.

Северная периферическая часть массива Рай-Из доступна для изучения в ущельях ручьев Нырдомен-Шор и Хребет-Шор и их притоков, текущих с юга на север, а также в промоинах на склонах гор Шлем и Нырдомен-Из (рис. 10). Здесь установлено сложное пластинчато-чешуйчатое строение окраины массива, причем плоскости разломов, разделяющих пластины (чешуи), обычно круто (40—60°) падают на юг под гипербазиты. В контакте с толщей осадочных образований прослеживается зона полимиктового серпентинитового меланжа, выше располагается пластина существенно амфиболовых (часто глаукофанодержащих) сланцев, далее на юг и выше по склону идут рассланцованные, местами раздробленные серпентиниты, которые постепенно сменяются сначала массивными и отчасти разлинованными серпентинитами, а потом слабо серпентинизированными гипербазитами.

Следует отметить, что в большинстве случаев пластина существенно амфиболовых сланцев залегает согласно со структурами осадочных толщ обрамления массива, но местами ограничивающие ее поверхности срезают эти структуры. Очертания линии контакта в плане осложнены поперечными разломами.



Рис. 10. Общий вид северного склона гипербазитового массива Раи-Из. В основании — кремнисто-терригенные сланцы палеозоя, выше — зона серпентинитового меланжа существенно амфиболовые сланцы, в восточной части — глаукофильные сланцы и тела жадеититов, выше — гипербазиты основной части массива. (Зарисовка с натурьи)

Зона полимиктового серпентинитового меланжа прослеживается почти без перерыва вдоль северной окраины массива от горы Шлем на западе до долины р. Собь на востоке. Мощность ее изменчива и составляет от 15—20 до 300—350 м (например, в ущелье руч. Нырдомен-Шор). В полимиктовом меланже, развитом в северной периферийской части массива, цементом является сильно расланцованный и перемятый существенно антигоритовый серпентинит. В нем заключены как бы «плавающие» различные по величине и форме, но чаще округлые глыбы и валуны горных пород разного состава. Их размеры варьируют от нескольких сантиметров и дециметров до нескольких метров. Залегание включений хаотическое. Признаков сортировки не отмечено (рис. 11).

Рассматриваемые глыбы и валуны представлены массивными, иногда полностью серпентинизированными гарцбургитами и дунитами, изредка хромитовыми рудами. Встречены также зеленокаменно измененные базальты, их туфы, диабазы, существенно амфиболовые сланцы, кремнистые породы, углисто-кремнистые сланцы, кварциты, клинопироксениты, жадеититы, хлорит-амфибол-клинопироксеновые, гроссуляр-широксеновые и оливин-широксеновые породы. Гроссуляр-клинопироксеновые породы близки к родиллитам, были описаны еще А. Н. Заварицким. Следует отметить, что на долю гипербазитов приходится не менее 80% общего чис-

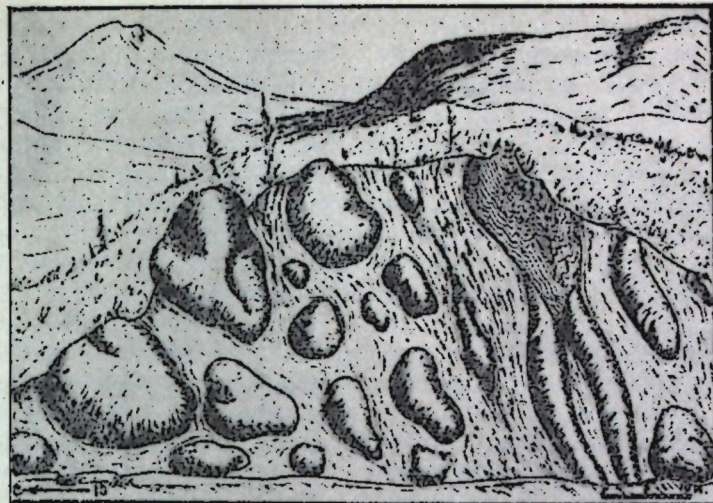


Рис. 11. Выход полимиктого серпентинитового меланжа на правом берегу руч. Нырдомен-Шор. Крупные глыбы серпентинизированных гарцбургитов, жадеититов, родиллитов и кристаллических сланцев, «плавающие» в серпентинитовом цементе.

ла включений. Преобладающие среди включений гарцбургиты, дуниты и их серпентинизированные разности аналогичны горным породам гипербазитового массива.

Петрографическое изучение других характерных разновидностей горных пород, слагающих глыбы и валуны, показало следующее. В различной степени зеленокаменно измененные базальты, их субшелочные (?) разности и туфы, а также диабазы и диабазовые порфириты встречаются в виде эллипсоидальных, круглых и иногда узловатых с округленными поверхностями валунов и «окатышей» размерами в поперечнике обычно не менее 5—10 см. Они нередко заключены в тонкую серпентинитовую рубашку, на отполированной поверхности которой видны многочисленные разнонаправленные борозды скольжения. Все это свидетельствует о перемещении названных включений и их истирании в движущейся массе меланжа.

По внешнему облику диабазы и базальты представляют собой темно-серые с буроватым и зеленоватым оттенком тонкозернистые породы обычно афирового сложения. Под микроскопом в редких порфировых выделениях встречены клинопироксен и оливин; основная масса обнаруживает микропойкилитовое строение и состоит в основном из лейстовидного альбита, хлорита и лейкоксена.

Горные породы гроссуляр-широксенового (родиллиты) и оливин-широксен-широксенового состава встречены в зоне меланжа в виде крупных эллипсоидальных и шарообразных валунов в поперечнике до 2 м. Внешние родиллиты — мелкозернистые светло-серые с зеленоватым и розоватым оттенком породы, освещенные с поверхности и нередко также одетые в серпентинитовую рубашку. Главными пордообразующими минералами этих пород обычно являются клинопироксен и гроссуляр. Структура гранобластовая неравномернозернистая. Интерстиции между зернами гроссуляра и клинопироксена выполнены агрегатом хлорита. Отдельные несколько меньшие по размерам валуны целиком состоят из клинопироксена, представленного таблитчатыми или призматическими зернами, участками образующими спутанно-волокнистый агрегат. Часто наблюдается замещение названных выше минералов карбонатом и хлоритом. Особый интерес представляют широксеновые пироксениты из глыб в меланже.

Повсеместно в составе серпентинитового меланжа в виде крупных угловатых глыб, а также лизовидных блоков мощностью до 10—15 м (гора Нырдомен-Из) встречаются метаморфические сланцы и кварциты. Ориентировка уплощенных глыб почти всегда совпадает с общим субширотным простиранием зоны меланжа. Метаморфические сланцы зачастую плотные, неровно-сланцеватого сложения. В своем составе, помимо кварца и альбита, они содержат омфацит, кроссит, гранат (альмандин) и крупнопеччатый мусковит; сланцы нередко интенсивно окварцованны и пиритизированы. Кварциты имеют массивную текстуру и часто интенсивно трещиноваты. Они содержат идиобластовые выделения и споновидные сростки кроссита, а также скопления мелких зерен граната. В зоне меланжа, в непосредственной близости от примыкающей к ней с юга и перекрывающей ее пластине существенно амфиболовых сланцев, встречаются крупные линзо- и каплевидные тела жадеититов, везувианитов, родинитов, диопсидитов и нефритов (Казак, Добрецов, Молдаванцев, 1976).

Пластини существенно амфиболовых сланцев, иногда выклиниваясь и достигая в раздувах мощности 1000—1500 м, прослеживаются вдоль всего северного края гипербазитового массива Рай-Из (см. рис. 9, 10). Почти всюду она подстилается зоной серпентинитового меланжа. В западной части пластини преобладают актинолитовые, эпидот-актинолитовые, альбит-кварц-актинолитовые и альбит-эпидот-циозитовые актинолитсодержащие сланцы. В восточной части появляются альбит-эпидот-глаукофановые, альбит-эпидот-хлорит-глаукофановые, эпидот-глаукофановые (часто стильномелансодержащие) сланцы с участками почти мономинеральных глаукофановых пород. В кровле пластини вблизи контакта ее с гипербазитами местами прослеживается зона светло-зеленых клинопироксенсодержащих пород мощностью до 15—20 м, обнаруживающих на коротком расстоянии переходы к глаукофансодержащим сланцам. Эти клинопироксенсодержащие породы слагают, например, большую часть горы Нырдомен-Из. В них развиты отдельные порфиробласти (размером 0,1—0,5 мм), сростки и лизовидные обособления клинопироксена (хлоромеланита), реакционно развивающиеся за счет основной ткани породы. Изредка встречаются маломощные прослои, состоящие из спутанно-волокнистых агрегатов того же клинопироксена (диопсид-жадеита).

Пластини амфиболовых сланцев перекрывают рассланцованные, местами перемятые серпентиниты (мощность около 200 м), содержащие включения брусита, граната и прожилки клинопироксена. Они, по существу, составляют единое целое с основным телом гипербазитов, которое они подстилают. В нижней части на контакте с амфиболовыми сланцами в серпентинитах наблюдаются участки оталькования и карбонатизации. Выше преобладают крупные угловатые, часто лизовидные блоки серпентинизированных дунитов и гарцбургитов размером до 5—10 м и более. Ориентировка этих блоков соответствует общему юго-восточному падению поверхности контакта, причем нередко они плотно притерты друг к другу (соприкасаются по идеально отполированым зеркалам скольжения). Местами глыбы разделены и окаймлены сильно рассланцованным, листоватым и мионитизированным антигоритовым серпентинитом. Южнее, вверх по разрезу и в глубь массива, количество цементирующего серпентинита уменьшается, происходит постепенный переход от гипербазитов, испытавших интенсивную тектоническую переработку, к массивным гипербазитам внутренней части массива Рай-Из.

В верхнем течении руч. Нырдомен-Шор строение краевой части массива гипербазитов несколько более сложно. Здесь вблизи abs. отм. 380,0 (в месте слияния трех составляющих ручья) непосредственно южнее и выше пластини существенно амфиболовых сланцев в виде тектонического блока мощностью около 250—300 м выступают сильно переработанные серпентиниты, возможно, представляющие отложение от главной зоны меланжа, развитой севернее. В этой зоне раздробленные серпентиниты цементируют

крупные округлые очертаний блоки и валуны, состоящие преимущественно из массивных габбро-диабазов, метадиабазов, диабазовых порфириев и их туфов. По левому притоку руч. Нырдомен-Шор встречаются крупные глыбы нефритов, нефритоподобных пород и мраморовидных белых жадеититов (Казак, Добрецов, Молдаванцев, 1976).

Далее на юг после перерыва в обнажениях (~250 м) на расстоянии около 500—600 м в глыбовых развалих и коренных выходах прослеживаются аповулканогенные зеленые сланцы с лизовидными участками метавулканитов и глаукофансодержащих сланцев. Сланцеватость этих образований простирается в субширотном направлении и падает на юг под углами 40—50°.

Рассланцованные метавулканиты через зону разлинованных и брекчированных серпентинитов (около 30—40 м) контактируют с породами дунит-гарцбургитового комплекса, слагающими северную часть массива Рай-Из. Вероятно, в рассматриваемом разрезе в верховьях руч. Нырдомен-Шор вместо единой пластины существенно амфиболовых (аповулканогенных) сланцев мы имеем дело с пакетом, состоящим, по крайней мере, из двух пластин (чешуй), разделенных зоной серпентинитового меланжа.

Таким образом, тектонические (падигового характера) соотношения гипербазитов с толщами осадочных и осадочно-вулканогенных горных щород в пределах северного контакта массива Рай-Из можно считать достаточно очевидными. Наличие глубинных метаморфических пород (пирровых, эклогитовых, жадеитовых и др.), отсутствующих в теле массива Рай-Из, свидетельствует, вероятно, о значительной амплитуде падиговых перемещений.

Тектонический характер западного контакта массива Рай-Из впервые был отмечен А. И. Заварницким и позднее подтвержден многими исследователями. Так, Е. В. Воловичем и В. И. Дембовским (1972) к западу от массива Рай-Из в районе хараматалоуской депрессии был откартирован крупный разлом, который является не чем иным, как продолжением северной зоны меланжа. Здесь зона меланжа прослежена более чем на 50 км (при ширине от 250 до 2—4 км) от горы Шлем на севере до северной окраины гипербазитового массива Пай-Ер на юге. В меланже присутствуют глыбы различных пород, размеры которых в поперечнике варьируют от 0,2—0,3 до 300—400 м. Отмечаются остроугольные глыбы плагиоклазовых и плагиоклаз-пироксеновых порфиритов, диабазов и различных туфов основного состава, «плавающие» в серпентинитовом цементе. В зоне меланжа в различных местах встречены глыбы гипербазитов (гарцбургитов, крупнозернистых дунитов с шлирами хромитов). Одна из наиболее крупных глыб в зоне меланжа представляет гипербазитовый «массив» Степ-Руз (4,5 × 1,5 км), сложенный крупнозернистыми дунитами (Щербакова, 1975). Здесь же в составе меланжа отмечаются породы, близкие к эклогитам. Наиболее хорошо вскрыта зона меланжа в руч. Лек-Вож на широте горы Шлем. Здесь среди сильно рассланцованных и листоватых серпентинитов выступают глыбы совершенно округлой и шаровидной формы, сложенные, по данным К. Л. Шмелевой, диабазами, габбро-диабазами, базальтовыми порфиритами и их туфами, реже родигритами и пироксенитами (жадеититами?). Изредка в составе брекчий встречаются кристаллические сланцы и кислые эффузивы (кварцевые порфиры и альбитофиры). Как и для северной части массива Рай-Из, в нижней пластине встречены глаукофановые сланцы (часто с турмалином). На западе и востоке гипербазиты граничат с метаморфическими образованиями относительно более высоких (по сравнению с породами северного обрамления) ступеней метаморфизма, отвечающими зеленосланцевой и альбит-эпидот-амфиболовой фациям. Обычно это разнообразные парагенетические сланцы, а также альбититовые амфиболиты и мусковит-альбитовые гнейсы с эпидотом и иногда гранатом (см. рис. 9).

Субмеридиональный разлом, ограничивающий гипербазитовый массив с запада, характеризуется почти вертикальной или крутопадающей на восток под гипербазиты плоскостью смесятеля. Его строение осложнено поперечными разрывными нарушениями с амплитудой от первых сотен метров до 1 км. Ширина полосы нацело серпентинизированных гипербазитов вблизи разлома не превышает 20–30 м. Фиксируется относительно слабая тектоническая переработка (разлинование, рассланцевание) как гипербазитов, так и вмещающих метаморфических горных пород. Последние иногда включают мелкие линзы амфиболизированных клинопироксенитов. Можно предполагать, что в результате движений по рассматриваемому вертикальному разлому гипербазиты были подняты относительно метаморфических сланцев и сдвинуты в направлении с юга на север.

Восточный контакт массива скрыт под аллювиальными отложениями долины р. Собь и делювиальными развалами склона гипербазитового массива. На его тектонический характер указывает наличие крутых уступов в рельфе, отделяющих гипербазиты от вмещающих метаморфических сланцев. При этом вмещающие горные породы круто падают на запад под гипербазиты.

К югу от гипербазитов массива Рай-Из широкой неровной полосой прослеживаются гнейсовидные роговообманиковые габбро и габбро-диориты, частью окварцованные и биотитсодержащие, а также биотит-рогообманиковые тоналиты, плагиограниты и кварцевые диориты собского комплекса (Молдаванцев, 1973). В непосредственной близости от гипербазитов прослеживается неровная относительно узкая (от первых сотен метров до 1,5–2 км) полоса бластомилонитов и бластокатаклазитов амфиболитовой и частью эпидот-амфиболитовой фации. Весьма характерно отчетливое гнейсовидное, шлирово-полосчатое, очковое и, иногда брекчевидное сложение горных пород.

Бластомилонитизация в пределах рассматриваемой полосы в основном подверглись разнообразные габбро и габбро-диориты. В результате синкинематических преобразований они превращены в амфиболиты, текстура и весьма неоднородные. В амфиболитах в виде различных по величине линз и будни заключены как относительно слабо переработанные роговообманиковые габбро-диориты и биотит-рогообманиковые тоналиты собского комплекса, так и породы верлит-клинопироксенит-габброидной ассоциации, развитые в южной периферической части массива Рай-Из. Последние представлены амфиболизированными аортитовыми габбро, клинопироксенитами и верлитами, а также гориблендитами, нередко шлировсодержащими.

Гипербазиты в контакте с бластомилонитами там, где это удается наблюдать, обычно серпентинизированы, разлинованы и нередко превращены в серпентинитовые сланцы. Поверхность контакта срезает полосчатость бластомилонитов под острыми углами.

Таким образом, гипербазиты массива Рай-Из повсеместно обнаруживают тектонические соотношения с окружающими породами. Наблюдаются как приповерхностный тектогенез в разломах (зоны и участки рассланцевания) и надвигах (развитие серпентинитового полимиктового меланита), так и следы, возможно, неоднократных глубинных деформаций, выраженных зонами метаморфитов с глаукофаном и жадеитом (фациальные серии высоких давлений), а также бластомилонитов амфиболитовой и эпидот-амфиболитовой фации, возникших в условиях умеренных и низких давлений.

В целом приведенные данные о характере соотношения гипербазитов массива Рай-Из с вмещающими образованиями достаточно определенно указывают на аллохтонную его природу. Можно предположить, что преобладающие в составе массива породы дунит-гарцбургитовой ассоциации вместе с тесно связанными с ними образованиями верлит-клинопирокс-

енит-габброидного состава были в виде мощного пластикообразного тела выведены из глубинных зон эвгеосинклиналии варисцид и выдвинуты (шарированы) в верхние горизонты земной коры на миогеосинклинальные образования западного склона.

В подошве выдигающейся аллохтонной гипербазитовой пластины и в подстилающих ее аллохтонных образованиях могли сформироваться метаморфические минеральные ассоциации с глаукофаном и жадеитом, указывающие на повышенные давления и относительно низкие температуры. Вероятно, в иных условиях на гипербазиты были выдвинуты габбро-диориты и тоналиты, в результате чего в зоне сопряжения сформировались, охарактеризованные выше бластомилониты, составы которых отвечают высоким температурам и низким давлениям.

Протяженные зоны полимиктового серпентинитового меланита, прослеживающиеся вдоль северной окраины массива Рай-Из, могут свидетельствовать о существенных горизонтальных перемещениях. Эти перемещения и сопровождающие их деформации носили, очевидно, уже приповерхностный характер. Они происходили после формирования жадеита и глаукофана содержащих ассоциаций метаморфических пород, поскольку последние вместе с гипербазитами встречаются в виде включений в составе меланита.

### Особенности внутреннего строения гипербазитового массива Рай-Из

В пределах массива Рай-Из можно выделить следующие главные ассоциации горных пород (или комплексы), слагающие различные по величине площади: существенно гарцбургитовую, ассоциацию сетчато-полосчатого дунит-гарцбургитового комплекса и тесно с ним связанных неравномерно- и грубозернистых (вплоть до пегматоидных) дупитов, шлирово-полосчатую дунит-клинопироксенит-габброидную идиобластовых (вторичных) гарцбургитов, включающую жилообразные тела энстатититов и сагванитов, а также антигоритизированных гарцбургитов (иногда с куммингтонитом) и оливин-антigorитовых пород («войкаритов»). Названия ассоциаций перечислены в последовательности их проявления (от наиболее ранних к поздним).

Дизьюнктивные нарушения, фиксируемые линейно-вытянутыми участками и зонами озмееvikованных, рассланцеванных и брекчированных гипербазитов обусловили современное блоковое или чешуйчато-блоковое строение массива (см. рис. 9).

В северо-западной части гипербазитового массива, охватывающей верховья р. Собь и частью ее правобережье в верхнем течении, обособляется блок, сложенный преимущественно гарцбургитами. Последние нередко обнажают достаточно четко выраженное плашпараллельное сложение, напоминающее гнейсовидность, обусловленное тем, что распределение энстатита в породе подчинено, как правило, одному директивному направлению.

Участками среди равномернозернистых гарцбургитов прослеживаются жилообразные (согласные и нередко секущие) тела также однородных среднезернистых дунитов с характерной песочно-желтой коркой выветривания, составившие полосчатый дунит-гарцбургитовый комплекс.

Особенности соотношений дунитов и гарцбургитов в таких комплексах неоднократно и подробно описаны (Заварицкий, 1932; и др.). Мощность жилообразных дунитовых тел нередко достаточно выдержана по простирации и обычно составляет 10–30 см. В участках сгущения сети дунитовых жилообразных тел мощность последних увеличивается до нескольких метров. Образуются довольно значительные поля преобладающего развития песочно-желтых дунитов. Иногда отмечаются грубозер-

нистые разности дунитов и вместе с тем широко развитые маломощные шлирообразные тела и жилы энстатитов, передко крупнозернистых. Характерно повышенное содержание акцессорного хромшипинелла в дунитах, часто группирующегося в шлиры.

Широкое развитие гардбургитов, как и участки их полосчатого чередования с дунитами, отмечено также в восточной части массива Рай-Из. Здесь, наряду с генеральным плашпараллельным распределением энстатита в породе, в отдельных выходах отмечена его приуроченность к двум или трем пересекающимся плоскостям. Здесь же И. Е. Кузнецовой и Г. Л. Кашиццеву удалось выявить по элементам залегания гнейсовидности и полосчатости гардбургитов дугообразные более или менее концентрические поверхности большого радиуса, как бы намечающие открытое на восток воронкообразное или более сложное строение этой части массива. Подобные структуры выявлены А. А. Савельевым и Г. Н. Савельевой в пределах южнее расположенного Войкаро-Сынинского гипербазитового массива (см. ниже).

Гигантозернистые дуниты образуют жилообразные и неправильные по форме тела мощностью от нескольких до первых сотен метров. Среди грубозернистых и пегматоидных дунитов сохранились различные по величине и форме неперемещенные участки (скиалиты) образований относительно более раннего полосчатого дунит-гардбургитового комплекса. При этом если для плашпараллельных текстур последнего характерно преобладающее юго-восточное падение под углами от 50—60° до 70—80°, то для жилообразных тел неравномерно- и гигантозернистых дунитов, сохраняющих северо-восточное простирание, в большинстве случаев — крутое падение к северо-западу (рис. 12).

С полосой максимального развития гигантозернистых дунитов в пределах массива Рай-Из связано подавляющее большинство выявленных к настоящему времени хромитовых рудных тел.

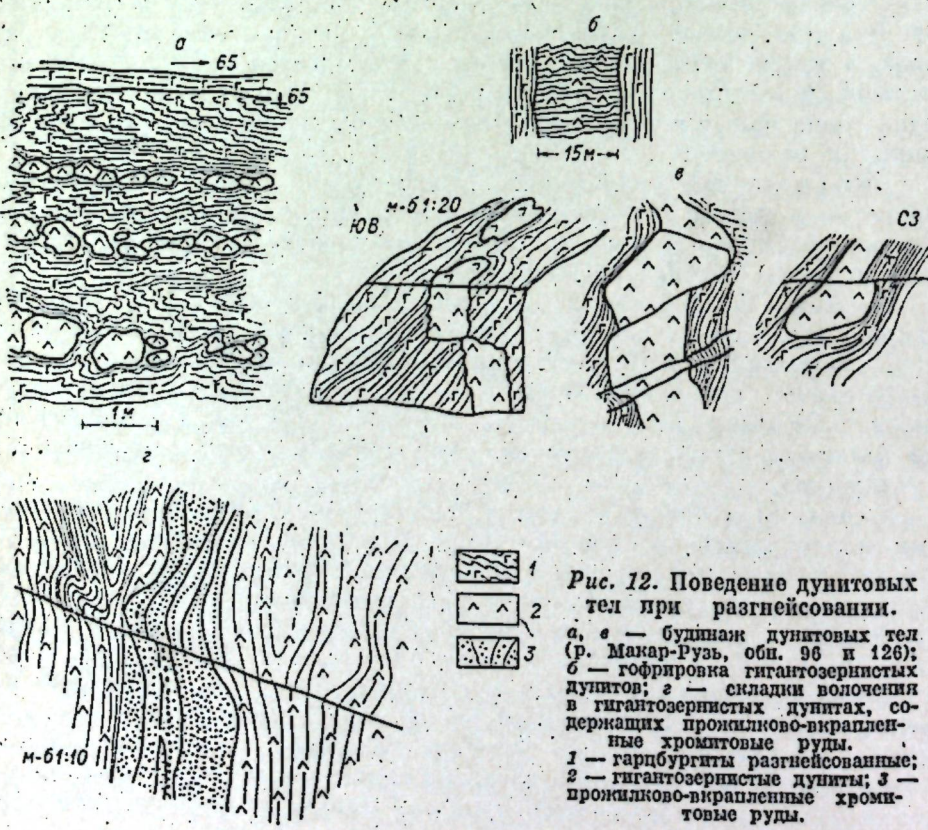


Рис. 12. Поведение дунитовых тел при разгнейсовании.

а, в — будинах дунитовых тел (р. Макар-Рузь, обн. 96 и 126); б — гофрировка гигантозернистых дунитов; г — складки волочения в гигантозернистых дунитах, содержащих прожилково-вкрашенные хромитовые руды.

1 — гардбургиты разгнейсованные; 2 — гигантозернистые дуниты; 3 — прожилково-вкрашенные хромитовые руды.

Химические анализы гипербазитов массива Рай-Из \*

Описел	Первичные породы				Вторичные породы				9
	1*	2	3	4	5	6	7	8	
SiO <sub>2</sub>	38,0	0,80	40,90	1,10	41,05	51,17	39,57	39,53	36,48
TiO <sub>2</sub>	0,03	0,01	0,03	0,02	0,05	0,12	0,04	0,03	—
Al <sub>2</sub> O <sub>3</sub>	1,17	0,80	1,06	0,31	1,46	2,42	0,96	0,95	0,62
Fe <sub>2</sub> O <sub>3</sub>	3,89	0,63	3,70	1,04	3,60	1,57	2,05	2,64	4,37
FeO	4,32	4,01	5,14	0,60	4,48	3,29	5,35	4,85	3,93
MnO	0,45	0,01	0,14	0,01	0,15	0,11	0,14	0,10	0,13
MgO	43,45	1,03	42,32	1,03	39,55	20,35	42,82	45,65	43,97
CaO	0,35	0,10	0,71	0,20	1,55	19,00	0,55	0,42	0,36
Na <sub>2</sub> O	0,05	0,01	0,08	0,02	0,17	0,17	0,05	0,03	0,03
K <sub>2</sub> O	0,02	0,01	0,02	0,01	0,03	0,03	0,02	0,03	0,02
Cr <sub>2</sub> O <sub>3</sub>	0,69	0,09	0,46	0,10	0,47	0,42	0,38	0,35	1,79
NiO	0,31	0,03	0,31	0,02	0,29	0,06	0,38	0,46	0,34
CoO	0,015	0,002	0,013	0,002	0,013	0,008	0,012	0,022	0,014
P <sub>2</sub> O <sub>5</sub>	0,02	—	0,02	—	0,02	—	0,02	—	—
П. п. п.	7,85	1,50	6,68	1,45	7,26	1,25	7,55	4,67	8,21
Сумма . . .	—	—	—	—	—	—	—	—	100,43
Число анализов	8	23	3	2	2	3	4	3	1

\* 1 — обычные дуниты; 2 — гиппоморфно-зернистые гардбургиты; 3 — лернолиты; 4 — бериллиты; 5 — дуниты со спайным оникном; 6 — дуниты сорнентиты. Данные И. Е. Кузнецова, В. В. Боровского, Т. Л. Кашиццева.

Особенности состава «первичных» пород гарцбургитового и сетчато-полосчатого дунит-гарцбургитового комплекса охарактеризованы в табл. 4. Дуниты со спайным оливином, трактуемые Е. И. Кузнецовым и другими исследователями как первичные породы, очень сходны по составу с гигантозернистыми дунитами (в частности, в отношении пониженного содержания  $\text{Cr}_2\text{O}_3$ ) и отнесены к продуктам метаморфизма, т. е. к вторичным породам (см. ниже).

### Шлирово-полосчатый дунит-клинопироксенит-габброидный комплекс

В южной части массива Рай-Из северо-западнее горы Черной в виде полосы протяженностью 6—7 км и шириной до 1,5—2 км развит шлирово-полосчатый дунит-клинопироксенит-габброидный комплекс пород. Он представлен многократно чередующимися верлитами, клинопироксенитами и диопсид-анортитовыми габбро, связанными между собой постепенными переходами и в различной степени амфиболизированными и отчасти циозитизированными. Реже здесь встречаются тылаиты, оливин-диопсидовые габбро, фореленштейны и аиортозиты.

Дуниты обычно обнаруживаются в виде вытянутых полос, линз или будин, расположенных линейно, согласных с полосчатостью клинопироксенитов. Нередко наблюдается частое чередование дунит-клинопироксенитов с габбро-амфиболитами. Ширина полос варьирует от 20—30 см до 3—5 м. Постепенные переходы между дунитами, верлитами и клинопироксенитами обусловливают проявления своего рода зональности. Так, в крутом обрыве к северо-западу от горы Черной можно проследить все взаимопередачи. Во внешней зоне появления клинопироксена дуниты интенсивно тектонизированы и обнаруживают бластомилонитовую структуру. Далее они переходят в верлиты (см. табл. 4), состоящие из переменного количества оливина, клинопироксена и амфиболя. Верлиты, в свою очередь, сменяются мономинеральными клинопироксенитами. В результате этих преобразований среди клинопироксенитов обнаруживаются «реликты» дунитов в виде шлирообразных участков или линз неправильной формы. Такие тела или «останцы» нередко принимались за жильные дуниты. При микроскопическом изучении устанавливаются все стадии постепенного замещения оливина дунитов клинопироксеном. Пироксен возникает сначала в виде мелких агрегатов или неправильных отдельных зерен, которые характеризуются ксеноморфными лапчатыми очертаниями, уходящими от основного зерна по многочисленным трещинкам.

В верлитах клинопироксен обладает резко ксеноморфными очертаниями и образует зерна неправильной прихотливой формы между зернами оливина. В дальнейшем, в процессе перекристаллизации, клинопироксен приобретает тенденцию образовывать более крупные порфироблести. При полном замещении и перекристаллизации исходные дуниты через верлиты переходят в клинопироксениты (рис. 13). В новообразованных клинопироксенитах устанавливаются две генерации пироксена. Пироксен первой генерации образует крупные зерна размерами в поперечнике 1,0—2,5 мм. Как правило, он обладает тонкой дияллаговой отдельностью по второму пинакоиду и спайности (по 010). Пироксен первично был авгитом, так как содержит повышенное количество  $\text{Al}_2\text{O}_3$ , включения или мелкую вкрашенность магнетита, расположенную вдоль, поперек или под углом к основной спайности пироксена. Пироксен второй генерации соответствует диопсиду, лишен включений магнетита, отличается прозрачностью и меньшими размерами зерен (от 0,02 до 0,3 мм). Обычно наблюдается развитие его по краям более раннего пироксена. По показателям преломления пироксены не отличаются между собой.

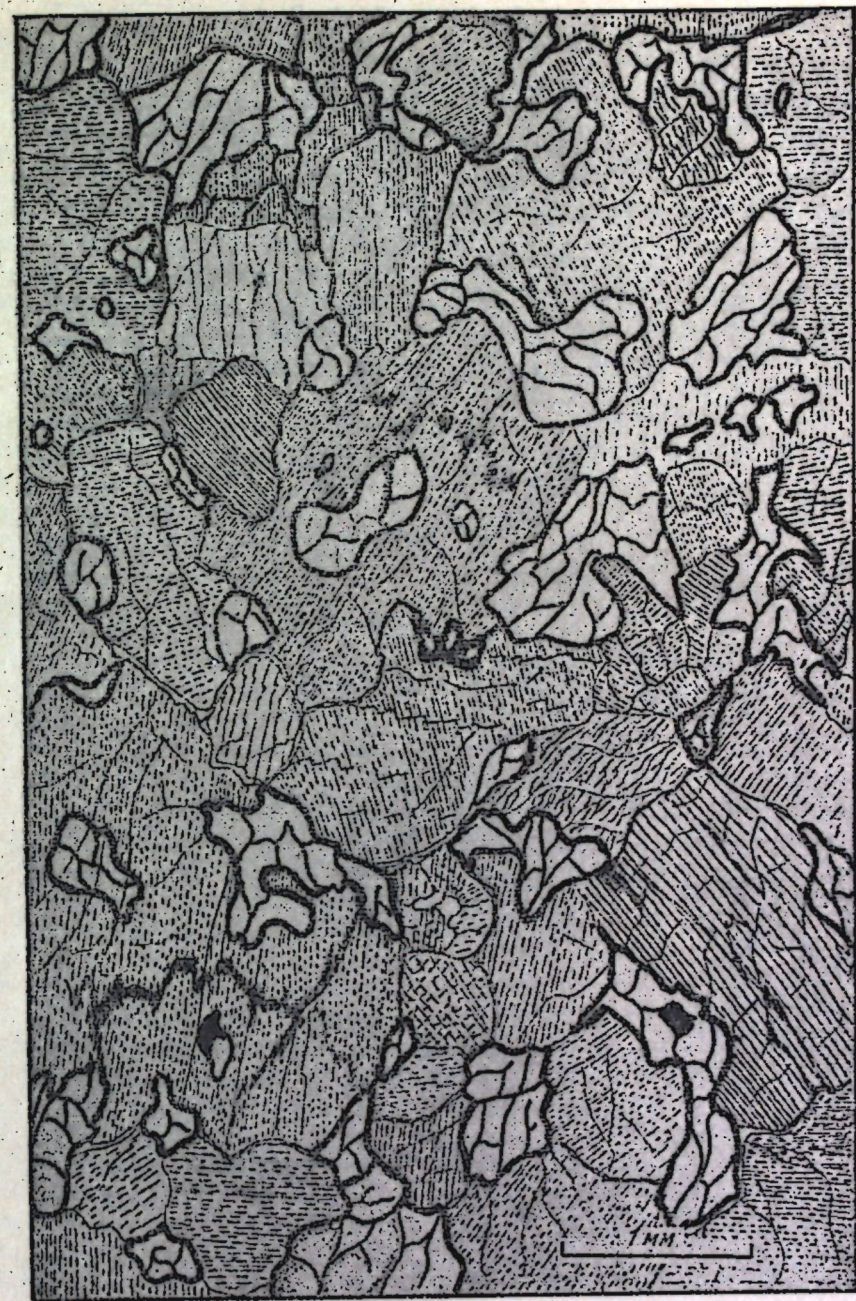


Рис. 13. Пироксенизированный дунит (верлит). Порода сложена таблитчатыми зернами клинопироксена (частая штриховка) и оливином. Южная часть массива Рай-Из. Шл. 145.

В отдельных участках этой зоны, вблизи контакта с габбро-амфиболитами, пироксениты испытали пластическую деформацию с образованием бластокластических структур (рис. 14). В краевых частях этих участков в виде узких линейных полос прослеживаются «спорифробластические» пироксениты с четкой «очковой» структурой, обусловленные крупными выделениями «бломков» клинопироксена или отдельных их порфиробласт. Крупные зерна пироксена, имеющие «бломочную» форму, цементируются мелкозернистой существенно пироксеновой основной массой, среди которой присутствуют и округлые изометричные зерна, возможно, новообразованного оливина. Такой совершенно прозрачный свежий оливин мог

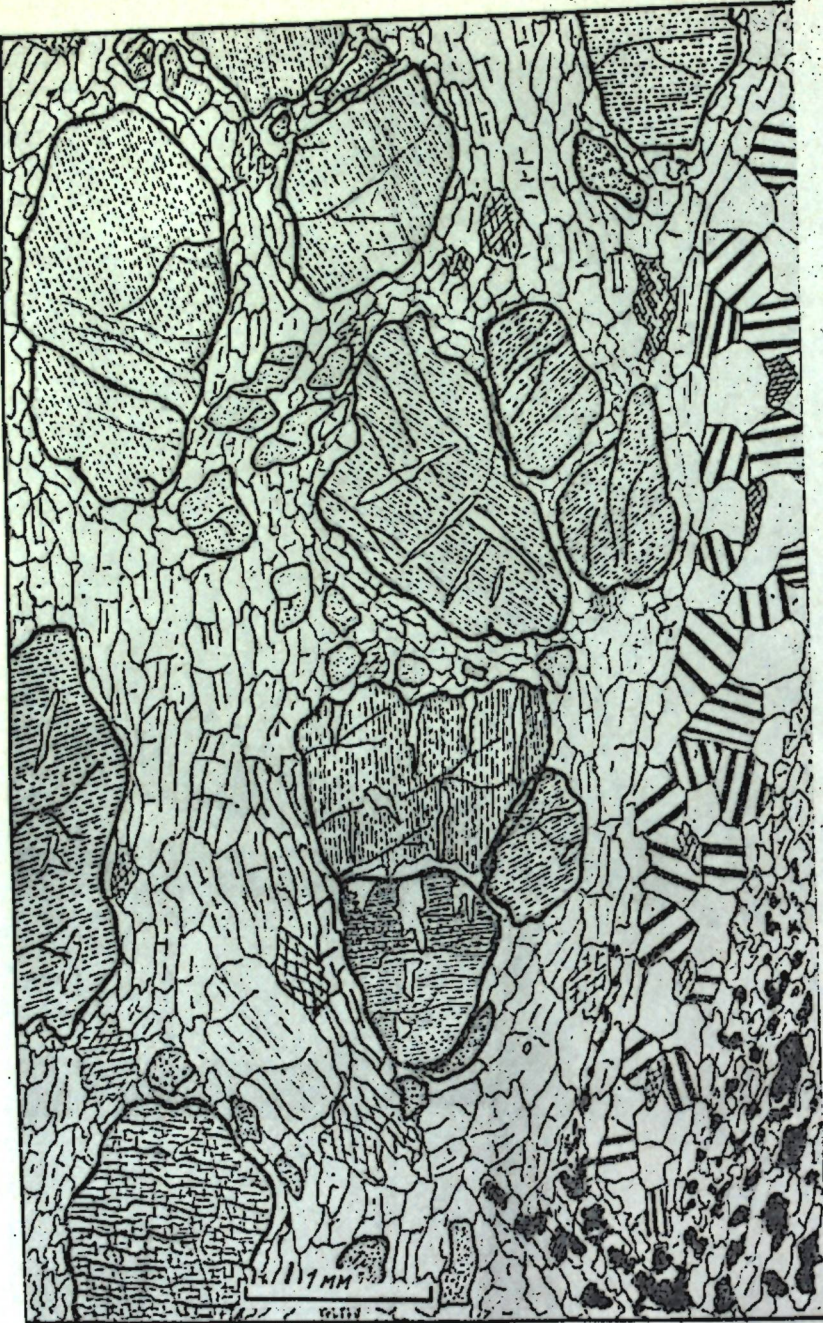


Рис. 14. Бластомилитизированный клинопироксенит. Две генерации клинопироксена. Крупные порфиробласти (частая штриховка) сложены клинопироксеном первой генерации, более мелкие зерна (точки) — клинопироксен второй генерации в основной амфиболовой массе. В нижнем правом углу — выделения зеленой шпинели. Южная часть массива Рай-Из. Шл. 146.

формироваться в результате метаморфической перекристаллизации. Наибольшей выразительности бластомилитовые структуры достигают в амфиболизированных разностях пироксенитов. В результате метаморфического преобразования габброидов образуются различные модификации габро-амфиболов, отличающихся между собой по составу и оптическим свойствам. В связи с этими превращениями выделяется несколько разновидностей роговых обманок, куммингтонита, актинолита и корсутита.

Роговая обманка обычно образует таблитчатые зерна или отдельные порфиробласти, чаще с каемками роста. Ее железистость, судя по  $Ng$  (1,678—1,680) и химанализу, около 40%.

Куммингтонит представлен длинными игольчатыми кристаллами, которые окаймляют зерна пироксена, а передко слагают радиально-лучистые агрегаты в тесной ассоциации с магнетитом. В габброидной части комплекса наблюдаются все переходы от частично амфиболизированных пироксенитов через амфиболиты до габброподобных пород, которые содержат мономинеральные плагиоклавовые породы — плагиоклазиты. Часто в амфиболизированных и фельдшпатизированных пироксенитах наблюдаются линзовидные обособления, гломеробласти и сростки клинопироксена, погруженные в основную массу амфиболя. Плагиоклаз представлен в виде отдельных изометрических порфиробластов, линзовидных скоплений, располагающихся в виде полос и придающих породе гнейсо- или мигматитоподобную текстуру. В плагиоклавовых полосах иногда содержатся включения клинопироксена и реликтового оливина. Последний присутствует в виде вrostков в пойкилобластах плагиоклаза, отвечающего по составу олигоклаз-андезингу. Пироксен обычно обрастается зеленоватой и синевато-зеленой роговой обманкой. В шлифах отражены все последующие стадии замещения пироксена амфиболом. Иногда наблюдается роговая обманка с полным сохранением форм клинопироксена. В амфиболитизированных пироксенитах плагиоклаз деформирован и мелко раздроблен, обычно его деформация происходит на стыке зерен амфиболя и пироксена. Плагиоклаз, как правило, полисинтетически сдвойникован по альбитовому закону. Характерно выклинивание двойниковых полос к центру зерна. Плагиоклаз содержит иногда реликтовые пойкилитовые включения оливина и пироксена. Наличие таких пойкилобластических включений, расположенных в центре зерна, характерно исключительно для метаморфических образований. Совместно с плагиоклазом в небольшом количестве присутствует цоизит (рис. 15).

В краевой части верлит-клинопироксенитового комплекса амфиболиты переходят в «габброподобные» породы. Эти породы сложены на 60—65% из обычновенной роговой обманки и на 30—40% — из плагиоклаза. Плагиоклаз резко ксеноморфен по отношению к амфиболу и обычно присутствует в интерстициях между зернами. Следует отметить, что в габброподобных породах резко увеличиваются содержания магнетита, апатита и зеленой шпинели. Скопления шпинели обычно тяготеют к плагиоклавовым полосам.

Наличие мощных зон бластомилонитов и образование габброподобных амфиболитов в верлит-клинопироксенит-амфиболитовом комплексе следует рассматривать как результат пластического течения в условиях амфиболитовой фации, где метаморфические процессы сыграли исключительно важную роль.

В текстурном облике, строении и составе рассматриваемого шлирово-полосчатого комплекса гипербазитов и габброидов зафиксирован ряд проявленных с различной интенсивностью разновременных стадий тектонических деформаций и связанных с ними метасоматических и метаморфических превращений. В ряде мест картируются, например, крутонаклоненные и стоячие скатые складки различной амплитуды и интенсивный будираж, свидетельствующие о достижении породами высокой степени пластичности.

Характер распределения скоплений клинопироксена и плагиоклаза в гипербазитах и в тесно связанных с ними габбро говорит в основном о синкинематических условиях проявления процессов перекристаллизации. Сопутствовавшие минералообразованию тектонические движения различались по интенсивности.

В морфологическом отношении многие разновидности пород в рассматриваемом комплексе весьма напоминают различные типы мигматитов,



Рис. 15. Амфиболизированный клиношироксенит. Клиношироксен (частая штриховка) замещает светло-зеленой роговой обманкой. Наблюдаются скопления плагиоклаза. В правой части рисунка — мелкозернистый плагиоклаз и цоцит. Южная часть массива Рай-Из. Шл. 147.

получивших развитие в пределах глубинных сечений земной коры, например, в амфиболитовых и чарнокитовых сериях (линзовидные ленточно-полосчатые, сетчатые, пластично-брекчевидные, жильно-«порфиробластические» и др.). На отдельных участках фиксируются относительно более поздние бластокатаклизиты и бластомилониты (брекчевидного, линзовидного, очкового и тонкослоистого сложения). Наложение процессов бластомилонитизации иногда затушевывает более ранние текстуры.

Образования дунит-клиношироксенит-габброидного комплекса отделены от дунитов и гарцбургитов остальной части массива Рай-Из зоной

относительно равномернозернистых дунитов, имеющей в плане ширину до 0,5 км. Характер распределения антигорита в антигоритизированных разностях дунитов подчеркивает их передко интенсивную пликативную дислоцированность.

### Зона наложенного метаморфизма центральной части массива Рай-Из

В центральной части массива Рай-Из с юго-запада на северо-восток в виде неровной полосы шириной от 0,5—1 до 4—6 км прослеживается зона развития идиобластовых (вторичных) гарцбургитов. Переходы к вмещающим образованиям полосчатого дунит-гарцбургитового комплекса, в том числе и к грубозернистым дунитам, чаще всего постепенные, однако в северо-западной части полосы фиксируется резкий тектонический контакт (рис. 16).

Характерный внешний облик рассматриваемых гарцбургитов обусловлен прежде всего наличием крупных идиобласт энстатита длиной от 5—10 до 15—20 мм и их сростков, погруженных в мелкозернистый светло-зеленый агрегат оливиновых зерен, обнаруживающий под микроскопом своеобразное мозаично-гранобластовое строение (рис. 17). Энстатит обнаруживает плашпараллельную и передко линейную ориентированность. При этом по залеганию гнейсовидности фиксируется сложная пликативная дислоцированность вторичных гарцбургитов (скатые изоклинальные и иногда асимметричные, опрокинутые на северо-запад складки). В осевой части полосы распространения идиобластовых гарцбургитов располагается узкая зона, сложенная породами, резко выделяющимися по составу, структуре и степени метаморфизма от вмещающих гипербазитов. Породы осевой части представлены разнообразными амфиболитами с телами энстатитов и представляют древнюю зону разлома, что подтверждается геологическими и геофизическими наблюдениями. По данным геофизики (Молдаванцев, Берлянд, Казак, 1976), полоса наложенного метаморфизма совпадает с зоной глубинного разлома, разграничитывающего область максимального поднятия «базальтов» от докембрийского фундамента.

В плане зона древнего разлома в теле гипербазитов образует узкий сильно вытянутый дугообразный пояс протяженностью более 20 км при ширине от первых десятков метров на юго-западе до 2,5—3 км на северо-востоке. Он начинается у западного контакта гипербазитов с метаморфическими осадочно-вулканогенными породами пяровской свиты (см. рис. 16). Почти на протяжении 8—9 км пояс сохраняет устойчивое северо-северо-восточное простиранье, далее к северу поворачивает на восток, и в районе р. Левый Макар-Рузь простиранье его меняется на субширотное. К востоку метаморфический пояс выклинивается.

В целом, судя по элементам залегания и геофизическим подсчетам, отмечается юго-восточное падение зоны (под углами 45—35°). Возможно, что зона метаморфизма разделяет гипербазитовый массив на два крупных блока. При этом допущении юго-юго-западная часть массива (южный блок), включая его южное рудное поле с участками «Центральный» и «Западный», в пределах которых сконцентрирована главная масса выявленных тел хромитов, располагается как бы над зоной или в висячем ее крыле (Молдаванцев, Берлянд, Казак, 1976). Подтверждением подобного предположения может служить появление в пределах названной площади полосы пегматоидных дунитов шириной около 3 км, включающих хромитовое оруденение. Полоса пегматоидных дунитов по мере передвижения к востоку также постепенно выклинивается.

Ориентировочно более древний возраст метаморфического пояса центральной части массива Рай-Из по сравнению с вмещающими породами пяровской свиты устанавливается по геологическим наблюдениям и

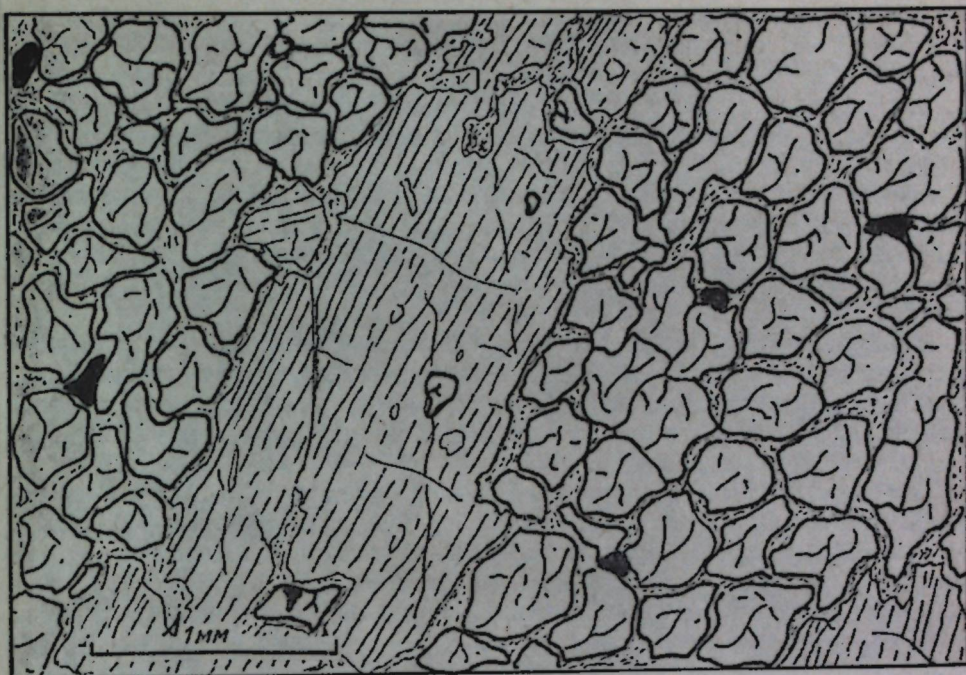
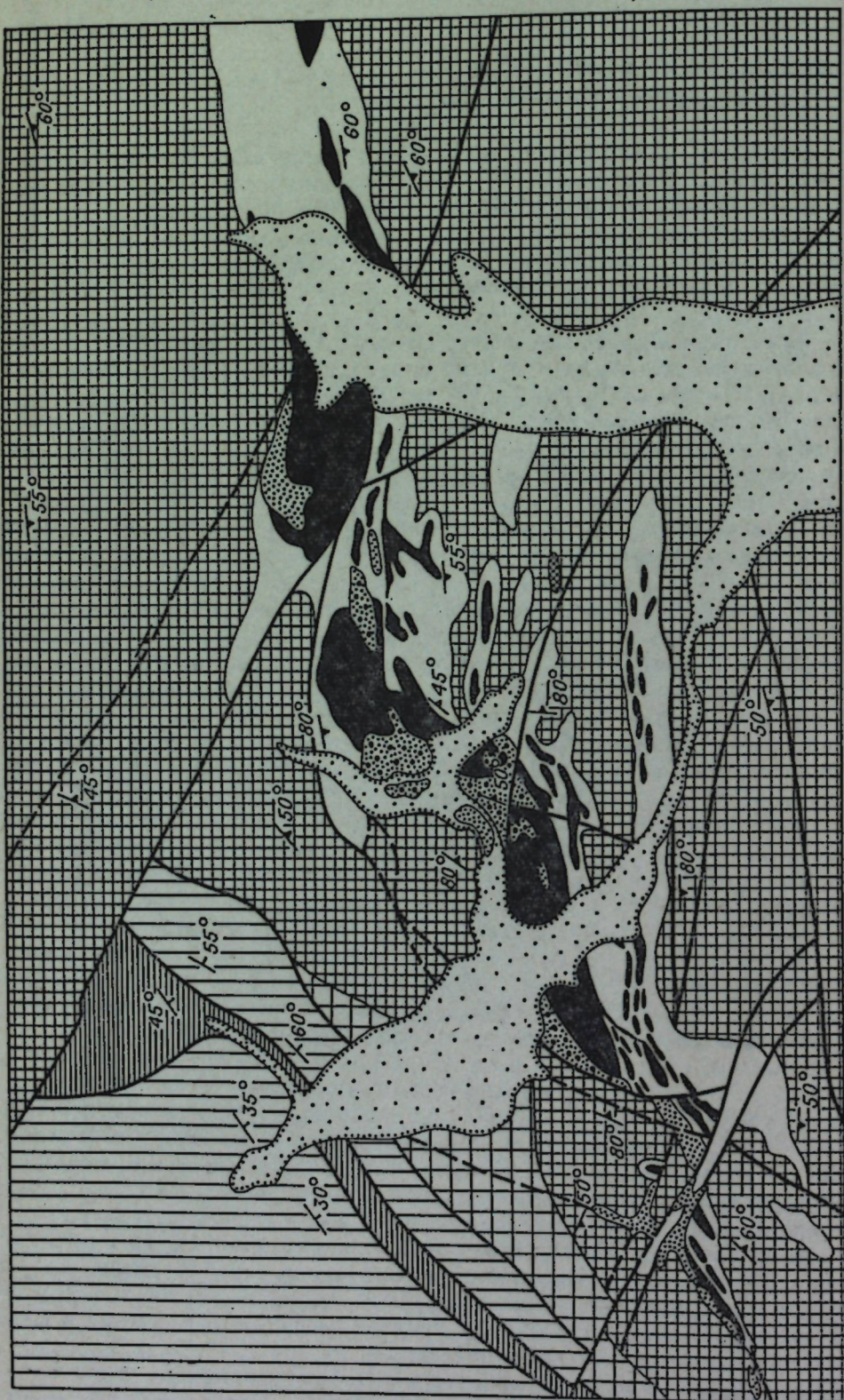


Рис. 17. Идиобластовый гарпбургит (вторичный). Массив Рай-Из. Правый берег руч. Кузты-Вис. Шл. 29.

цифрам определения абсолютного возраста. В пределах пояса степень метаморфизма отвечает высокотемпературной части амфиболитовой фации, в то время как вмещающие их вулканогенно-осадочные породы — зеленосланцевой и эпидот-амфиболитовой фациям. По данным С. В. Щербаковой (1975), амфиболовые габбро из зоны наложенного метаморфизма, секущие энстатититы, имеют возраст 457—465 млн. лет (К-Аг метод), что соответствует времени последнего метаморфизма этих пород.

Ниже приводится краткая геолого-петрографическая характеристика осевой части зоны наложенного метаморфизма. Здесь метаморфические образования представлены серией сближенных кулисообразно расположенных линз энстатититов и сагванитов среди вмещающих идиобластовых (вторичных) гарпбургитов, а также габбро, габбро-амфиболитов, амфиболитов, горнблендитов и сопровождающих их редкие жилы габбро-пегматитов.

Тела энстатититов характеризуются различной протяженностью, в среднем прослеживаясь от 10 до 750 м при мощности от 10 до 400 м. Как правило, тела энстатититов залегают согласно с вмещающими их породами. Азимут падения их на протяжении всей зоны юго-восточный под углами 60—70°. Наиболее крупные тела энстатититов тяготеют к центральной части пояса, в то время как по периферии они более мелкие, интенсивно различаются, буднированы, цепочками протягиваются на несколько десятков метров.

Рис. 16. Схематическая геологическая карта юго-западной части зоны наложенного метаморфизма гипербазитового массива Рай-Из (по данным С. В. Щербаковой).  
 1 — четвертичные отложения; 2 — кварц-графитистые сланцы; 3 — альбит-эпидот-хлоритовые и эпидот-циансит-амфиболитовые сланцы; 4 — диабазы; 5 — цианситовые и плагиоклаз-цианситовые амфиболиты; 6 — гранатовые амфиболиты; 7 — энстатититы и сагваниты; 8 — оливин-энстатититовые породы; 9 — идиобластовые гарпбургиты (вторичные); 10 — серпентинизированные гарпбургиты; 11, 12 — разрывные нарушения (11 — установленные, 12 — предполагаемые); 13 — элементы залегания: а — сланцеватости метаморфических пород, б — гнейсовидности и полосчатости гарпбургитов.

Энстатитовые породы по составу подразделяются на существенно энстатитовые, оливин-энстатитовые, магнезит-энстатитовые (сагвандиты), куммингтонит-хлорит-энстатитовые разности. Существенно энстатитовые породы почти целиком сложены крупнокристаллическими радиально-лучистыми сростками ортопироксена, размеры которого достигают 15–20 см. Под микроскопом видно, что ортопироксен образует широкие расходящиеся лучистые таблицы, бесцветные или со слабым розоватым отливом. В прямоугольных призматических кристаллах хорошо развита спайность по призме (110) и пинакоиду (100). Показатели преломления:  $N_g = 1,677 - 1,682$ ;  $N_p = 1,663 - 1,670$ ;  $2V = +83^\circ$ ;  $N_g - N_p = 0,012$ .

В интерстициях между таблицами энстатита встречаются вторичные (?) хлорит (клинохлор), бесцветная слюда, куммингтонит и карбонат. Последний образует неправильной формы агрегаты, включающие призмы энстатита, и диагностируется как магнезит. Он также развивается по трещинкам спайности широксена.

В мономинеральных энстатитах оливин сохраняется лишь в виде реликтов округлой формы или агрегатов неправильной конфигурации. Обычно наблюдаются крупные таблицы энстатита, включающие мелкие пойкилитовые вrostки оливина (рис. 18). Более крупные реликты его часто раздроблены, сильно трещиноваты и по краям несут серпентиновую кайму.

В оливин-энстатитовых породах пироксен тесно ассоциирует с оливином, который отличается от оливина вмещающих гарцибургитов более высокой магнезиальностью (3,5–5%). Он иногда составляет значительную часть породы (30–50%) и образует таблитчатые бесцветные зерна. При замещении оливина энстатитом происходит обильное выделение магнетизированного хромита, разбросанного неравномерно по всему зерну.

Размещение энстатититов среди вторичных гарцибургитов, наличие реликтовых участков дупитов в энстатититах, замещение оливина энстатитом и обильное выделение хромита при процессах энстатитизации позволяют однозначно говорить об образовании этих пород за счет исходных гарцибургитов.

Как было отмечено, тела энстатититов тесно взаимосвязаны с габбро-амфиболитами, амфиболитами и гориблендитами. Среди них, исходя из характера залегания и соотношения с энстатититами, С. В. Щербакова выделяет три группы тел: жильные северо-восточного простирания с юго-восточным пологим падением (аз. пад. 30–40°) и протяженностью 75–500 м при мощности от 2 до 150 м, согласные по простиранию с телами энстатититов и размещающиеся со стороны их висячего бока; жильные тела субширотного простирания (аз. пад. 160–180° <35–40°) размером до 350 м и мощностью до 30 м, приуроченные к разломам соответствующего направления и секущие мелкие тела энстатититов. Габбро-амфиболиты, амфиболиты и гориблендиты этих двух групп пород фиксируются либо в виде отдельных выходов, либо образуют цепь «лестничных» жил. Наиболее хорошо вскрыты они на крутом склоне правого борта руч. Кузьты-Вис; тела неправильной формы в плане с видимой мощностью до 250 м и протяженностью 300–400 м, обнаруживающие сложное строение, часто смятые в изоклинальные складки и куполовидные и веерообразные структуры. Падение пород пологое и составляет 25–45°.

По составу эти породы могут быть подразделены на следующие разновидности: габбро-амфиболиты, очковые, плагиоклазовые, эпидотовые, эпидот-клиноопицитовые, цоизитовые, эпидот-гранатовые и гранатовые амфиболиты и гранатиты.

В амфиболизированных габбро, развитых в юго-западной части зоны, местами видны сохранившаяся габбровая структура и реликты первично-горного пироксена. Реликтовый пироксен образует изометричные аллотриоморфные разноориентированные таблицы слабо-зеленоватого цвета с еле заметным плеохроизмом и по оптическим свойствам относится к пижони-

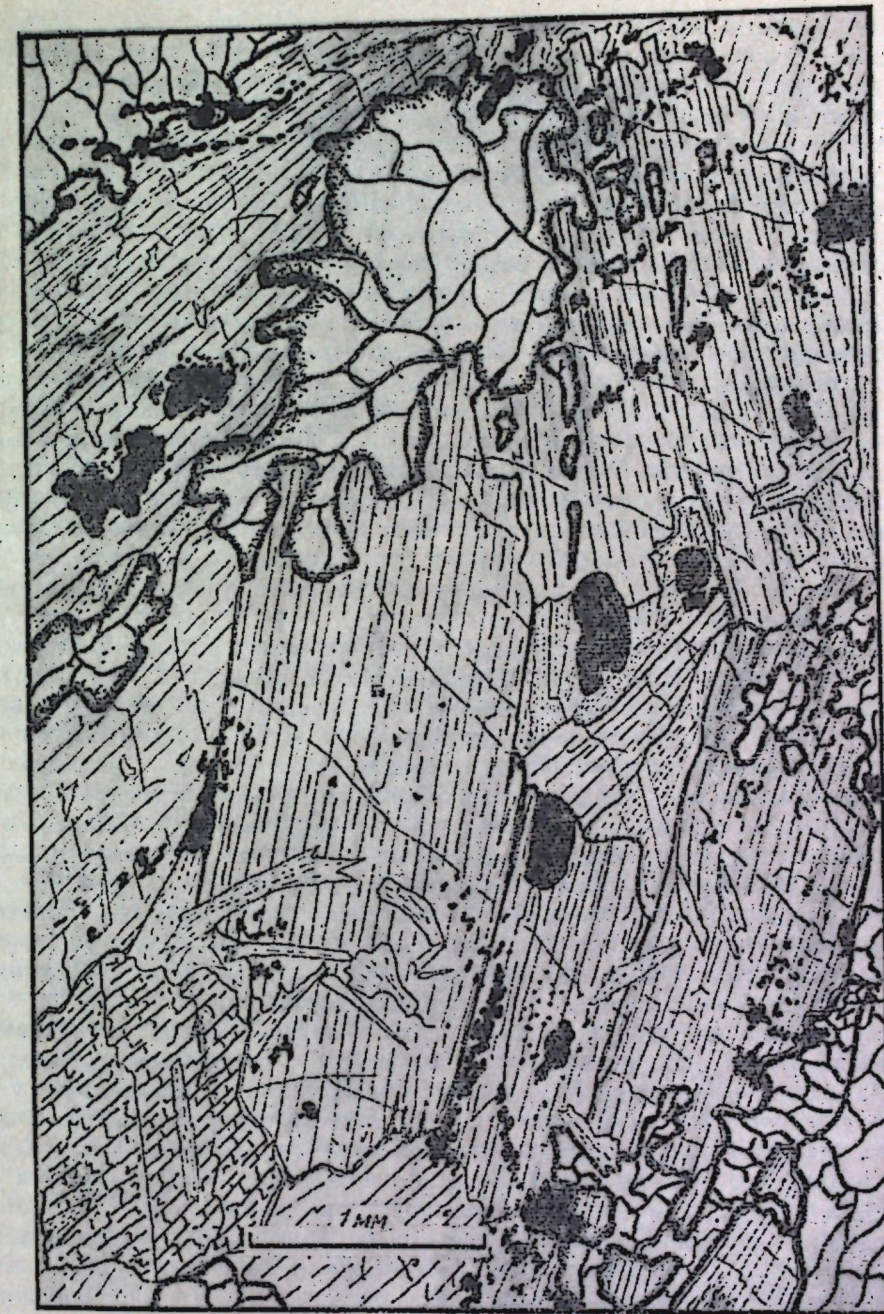


Рис. 18. Оливин-энстатитовая порода, состоящая из крупных призм энстатита с пойкилитовыми вростками оливина и магнетизированного хромита. Зона наложенного метаморфизма. Массив Рай-Иа. Руч. Кузьты-Вис. Шл. 1121.

ту (Щербакова, 1975). Плагиоклаз сильно замутнен и соссюритизирован, частично альбитизирован по краям, по составу отвечает битовиту и анортиту. Альбит также образует самостоятельные ксеноморфные зерна с зубчатыми ограничениями. В качестве второстепенных минералов отмечается цоизит, развивающийся в виде короткопризматических зерен в межзерновом пространстве вместе с альбитом и среди зерен роговой обманки. Аксессорные минералы представлены сфеном, апатитом, магнетитом. Сфен наблюдается в виде агрегатов веретенообразной формы, частично

лойкоксенизированных, развивающихся на стыке плагиоклаза с роговой обманкой. Его количество резко увеличивается в гориблендитах и амфиболитах. Апатит образует овальные и округлые неправильной формы зерна либо мелкие призмы.

Остальные разновидности амфиболитов повсеместно распространены в пределах всей описываемой метаморфической полосы. Каких-либо закономерностей в их пространственном размещении не обнаруживается. Наблюдается частое чередование массивных амфиболитов с полосчатыми гранатовыми амфиболитами и эпидотовыми разностями, которые отличаются между собой лишь количественным соотношением породообразующих минералов. Так гранатовые амфиболиты сложены на 45—50% из обыкновенной роговой обманки, плагиоклаза и граната. Содержание последнего также резко варьирует: от 15 до 30% в гранатовых амфиболитах до 75—85% в гранатитах. Он чаще всего образует неправильные изометрические зерна, содержащие включения сфена, имеющие тенденцию концентрироваться субпараллельно кристаллизационной сланцеватости. Иногда гранат включен в роговой обманку. По составу относится к альмандину. Роговая обманка в амфиболитах отличается по окраске и оптическим свойствам. Преобладает буровато-зеленая с показателями преломления от 1,648 до 1,678. По виду это короткопризматические таблички размерами в поперечнике 0,2—2,0 мм.

Плагиоклаз присутствует в разных количествах: от 30% в плагиоклазовых до 10—12% в эпидотовых разностях. В некоторых амфиболитах плагиоклаз обнаруживает реакционные соотношения с роговой обманкой. Часто можно наблюдать пойкилитовые включения различных минералов (в том числе и роговой обманки) в плагиоклазе.

Кроме описанных разностей амфиболитов, в более восточной части метаморфического пояса на побережье р. Левый Макар-Рузь обнаруживаются порфиробластические цоизитовые и эпидот-циозитовые амфиболиты часто с гранатом и цоизитом. Гранат составляет 5—20% основной массы породы, образуя крупные порфиробласти с сечениями ромбической и лапчатой формы; размеры их в поперечнике от 0,1—0,5 см. В некоторых разностях амфиболитов его крупные порфиробласти обладают зональным строением, обусловленным развитием каймы клиноцинита.

Кроме описанных выше минералов, в амфиболитах присутствуют в повышенных количествах сфен, рутил и ортит. Последний преобладает в эпидотовых разностях, где обычно окаймляется оторочкой эпидота. Высокое содержание рутила (до 2,5%) отмечается в гранатовых амфиболитах, развитых на левобережье руч. Кузьты-Вис. Он представлен призматическими, короткопризматическими зернами или неправильными агрегатами ярко-красного цвета. Часто рутил включен в роговой обманку или образует мелкие скопления вдоль микротреции. В более крупных зернах рутила наблюдаются двойниковая отдельность. В амфиболах весьма часто встречаются и магнетит в виде неправильных зерен с пластинчатыми вростками ильменита. Имеет место и частичная его мартитизация.

Гориблендиты тесно ассоциируют с амфиболитами и обычно тяготеют к периферии описываемого пояса, образуя линзы размерами 20×50 и 25×100 м, сложенные почти целиком светло- и темно-буровой роговой обманкой, единичными зернами плагиоклаза и минералами группы эпидота. Часто присутствуют мелкие зерна граната, в повышенных количествах — сфен, апатит, магнетит, рутил, ильменит и зеленая шинель. Аксессорных 3,5—4%.

Роговая обманка образует вытянутые длиннопризматические и таблитчатые зерна размерами 1,5—2,0 см, плотно сдемонтированные между собой.

По мнению С. В. Щербаковой (1975), наличие в эпистатититах зон куммингтонизации, хлоритизации и флогопитизации следует связывать с широким проявлением наложенных метасоматических процессов, про-

исходивших вдоль ослабленных зон и носящих локальный характер. Обнаружение таких участков интенсивно переработанных эпистатититов на Полярном Урале интересно с точки зрения выявления их рубиноносности. Эти метасоматиты резко выделяются крупнозернистостью и бластопорфировой структурой, обусловленной реликтовым эпистатититом, окаймленным тальком. Наряду с тальком встречаются слабо-зеленый клинохлор и карбонат двух генераций: магнезит и кальцит, разъедающие ромбический пироксейн.

В слюдистых разностях метасоматитов отмечаются редкие шестиугольные кристаллы коруида. Наличие этих пород свидетельствует о том, что в процессе реометаморфизма эпистатититов приносилось некоторое количество Al, источником которого могли быть жильные габброиды, контактирующие с эпистатититами. В результате частичной десилификации основных пород и образовались рубинсодержащие метасоматиты массива Рай-Из (Щербакова, 1975).

В пределах полосы распространения идиобластовых гарцбургитов столь обычные для остальной части массива жилы клиноцирконоситов (диаллагитов) встречены не были. Это может указывать либо на разновозрастность метаморфических пород и клиноцирконоситов, либо на разные условия их формирования.

Эпистатититы, а также гранатсодержащие цоизитовые амфиболиты и гориблендиты, получившие распространение в пределах зоны наложенного метаморфизма массива Рай-Из, характеризуют условия, отвечающие фации гранатовых амфиболитов. Во вмещающих гипербазитах породах (к западу от массива) эта зона не прослеживается. Здесь распространены образования зеленосланцевой фации. Вместе с наличием зоны полимиктового серпентинитового меланжа вдоль северной окраины массива, а также повсеместным тектоническим характером его контактов это может служить дополнительным доводом в пользу аллохтональной природы гипербазитов.

Наиболее поздние преобразования охарактеризованных выше ассоциаций горных пород гипербазитового массива Рай-Из проявились в их антигоритизации. Они захватили как образования дунит-гарцбургитового и дунит-клиноцирконоситового комплексов, так и вторичные идиобластовые гарцбургиты. Антигоритизированные гарцбургиты (иногда с куммингтонитом), дуниты с антигоритом, как правило, состоящие из оливина с хорошо выраженной спайностью по одному или двум направлениям, и антигорит-оливиновые породы («войкариты») слагают в пределах массива круто- и иногда пологозалогающие, нередко ветвящиеся и протяженные участки, а также зоны мощностью от нескольких десятков до сотен метров (редко около 1—1,5 км, как например в северо-восточной части массива). Эти участки и зоны как бы разграничивают отдельные части (блоки, пластины, линзы) внутри массива, сложенные породами, не испытавшими заметной антигоритизации.

Полосчатое и гнейсовидное (иногда сланцеватое) сложение рассматриваемых горных пород, обусловленное распределением антигорита и различием в относительном содержании оливина и антигорита в разных прослоях, позволяют наблюдать в них проявления тектонического разлинования (см. рис. 12) и сложной или катактической дислокированности вплоть до сильно сжатых складок.

Антигоритизированные гарцбургиты и войкариты, очевидно, представляют своего рода тектониты (зеленосланцевой или эпидот-амфиболовой фации), фиксирующие, как и при формировании вторичных идиобластовых гарцбургитов, зоны и участки проявления пластических деформаций внутри гипербазитов в процессе их выдавливания (шадинга в твердоизластичном состоянии) в верхнюю горизонты земной коры.

Резюмируя вышеизложенное, приходим к следующим выводам.

1. Контакты гипербазитов массива Рай-Из, как и тесно с ними связанных габброидов (дунит-клиноцирконосит-габброидный комплекс),

с вмещающими образованиями повсеместно тектонические. Вдоль северной окраины массива прослеживается мощная зона полимиктового серпентинитового меланжа, свидетельствующая в пользу его аллохтонного залегания.

2. Устанавливается следующая последовательно сформированная ассоциация горных пород в пределах массива: а) сетчато-полосчатый дунит-гарцбургитовый комплекс; б) неравномерно- и грубозернистые (вплоть до пегматоидных) дуниты; в) идиобластовые (вторичные) гарцбургиты и эпистатититы; г) дунит-клиноштоксенит-габброидный комплекс; д) антигоритизированные гарцбургиты и оливин-антигоритовые породы (войкариты). Взаимоотношения групп в) и г) однозначно не установлены; возможно, они одновозрастные.

3. По сравнению с севернее расположенными гипербазитовыми массивами Хадатинского (Сыумкеуского) пояса в пределах массива существенно большее распространение в системе сетчато-полосчатого дунит-гарцбургитового комплекса получили дуниты, в том числе также неравномерно- и грубозернистые (пегматоидные), с которыми ассоциируют наиболее интересные проявления хромитового оруденения.

4. Характерно повышенное содержание акессорного хромшипелида в гранобластовых и пегматоидных дунитах массива Рай-Из.

5. Преобладающее развитие гарцбургитов отмечается в северо-западной и восточной частях массива. Возможно, здесь имеются блоки или пластинки, представляющие относительно выше залегающую зону общего разреза дунит-гарцбургитовой формации Полярного Урала.

Антигоритизированные гарцбургиты и оливин-антигоритовые породы (войкариты) в пределах массива Рай-Из распространены менее, чем в других гипербазитовых массивах Полярного Урала.

## ВОЙКАРО-СЫНЬИНСКИЙ МАССИВ

В пределах Войкаро-Сыньинского массива на Полярном Урале область выходов офиолитов и обрамляющих толщ Уральского складчатого пояса палеозойд занимает территорию протяженностью около 200 км и шириной 50–80 км; наибольшая глубина эрозионного вскрытия достигает в хребтах массива 1 км.

Главные элементы региональной геологической позиции офиолитового пояса, которые отмечались в главе 1 и отражены на прилагаемой карте (рис. 19), заключаются в следующем. Область, расположенная к западу от офиолитов, относится к окраинной зоне палеозойд \*. Принадлежность ее толщ к миогеосинклинальным формациям, надвинутым в виде покровов на палеозойский чехол окраины Восточно-Европейской платформы, показана в работах К. Г. Войновского-Кригера (1945, 1967 и др.), Н. П. Хераскова (1967), А. С. Перфильева (1968) и других исследователей. Развивая их представления, В. Н. Пучков (1975) высказал мнение о том, что на ранних стадиях формирования герцинид эта зона характеризовалась некомпенсированным осадконакоплением в глубоководной части шельфа и у подножия континентального склона перед вулканически активной областью океанической впадины.

Вертикальный формационный ряд разреза палеозоя западной части зоны начинается с терригенно-кремнисто-сланцевой формации ( $O_1 - D_1$ ). Ее низы слагают толща (300 м) псаммитовых полимиктовых известковистых осадков ( $O_1$ ) с редкими пропластками метадиабазов, перекрываемая толщей ( $O_{1-3}$ ) туфогенных алевросланцев (до 500 м). Завершается разрез формацией маломощной толщей (до 200 м) пелагических известняков, фтанитов, яшмоидов и турбидитов с редкими пропластками вулканитов.

\* В фундаменте этой зоны присутствует докембрий (см. гл. 1). (Прим. ред.).

( $O_3$  —  $D_1$ ). Выше располагается кремнисто-терригенная олигомиктовая формация ( $D_2$ ) мощностью в первые сотни метров. Ее сменяет известняко-кремнисто-глинисто-сланцевая формация ( $D_2 - C_2$ ), в низах более глубоководная. Она имеет мощность до 500 м и скользящий возраст верхней границы с востока на запад за счет замещения ее с востока мощной (до 1500 м) граувакковой формацией ( $C_1 - C_2$ ). Завершается разрез толщей (более 1 км) терригенного флиша ( $C_3 - P_1$ ).

В восточной части зоны, прилегающей к офиолитам, по данным геологических съемок, проводившихся в 1966—1973 гг. А. А. и Г. Н. Савельевыми и другими геологами, разрез нижней формации существенно меняется: выше туфогенико-алевросланцевой толщи ( $O_1$ ) располагаются андезит-базальтовые вулканиты (до 500 м) с пачками олигомиктовых известковистых песчаников, кремнисто-углистых, углистых алевросланцев, туфосланцев и вулканомиктовых конгломератов ( $O_1 - D^?$ ). Выше лежащая часть разреза, перекрываемого офиолитами, сложена толщей (до 600 м) олигомиктовых алевропесчаников, часто известковистых, с пропластками диабазовых и кератофировых вулканитов и окремненных туффитов. По положению в разрезе и составу толща увязывается с олигомиктовой формацией ( $D_2$ ) западных разрезов зоны. По набору и последовательности формаций восточная часть зоны аналогична западным разрезам Тагильского синклиниория Урала.

Весь этот разрез вскрывается в Лемвинской группе тектонических покровов, подошвы которых наклонены к юго-востоку (5—60°). Покровы деформированы в линейные складки северо-восточного простирания, часто опрокинутые к северо-западу. Нижний, самый западный, Пагинский покров сложен толщами осадков ( $O_1 - C_2$ ) западных фаций разреза зоны и надвинут на флишевые отложения ( $C_3 - P_1$ ). Следующий восточный Грубецинский покров сложен толщами восточных фаций разреза ( $O - D^?$ ). Он перекрывает почти повсеместно Пагинский покров и надвинут на флиш, а на южном фланге — на терригенно-олигомиктовые и карбонатные толщи платформенного нижнего — среднего палеозоя. Верхний, крайний восточный, покров Лемвинского пакета — Молюшорский сложен терригенно-фтанит-спилитовыми толщами ( $O_1 - D^?$ ). Подстилая офиолиты, он перекрывает нижележащие западные покровы и местами надвинут на флиш или граувакки. В подошве покрова участками базальтоиды превращены в массивные или грубополосчатые сланцы с субщелочными амфиболами, стильтшомеланом и эпидотом, а пелиты — в тонкополосчатые хлорит-серпент-кварц-альбитовые сланцы. На южном фланге покрова, в его подошве располагаются Яротинское и Хосаятское тела серпентинитов, а на северном — Монтылорская зона меланжа \*.

Офиолиты, строение которых рассмотрено ниже, в северной части массива перекрывают Лемвинские покровы. Восточнее офиолитов располагается разрез толщ, близкий по типу к Магнитогорской зоне Урала. В нем подушечные базальтоидные лавы, полосчатые окремненные туффиты с линзами яшмоидов, радиоляритов и известняков ( $S - D_1$ ) перекрываются толщами андезито-базальтовых вулканитов с пачками алевропелитов и линзами рифовых известняков ( $D_2$ ); среди верхних вулканитов встречаются линзы конгломератов с обломками офиолитов и пород досреднедевонских толщ (Волков, 1948; Лупанова, Маркин, 1964).

Таким образом, в отложениях раннегеосинклинального этапа палеозойд района отражено заложение и оформление на крае континента впадины с некомпенсированным накоплением пелагических толщ и вулканических активных областей, располагавшихся вдоль окраины океанической впадины. К среднедевонскому времени офиолиты уже слагали фундамент вулканических поднятий. Накопление отдаленной кремнистой формации

\* Метаморфические сланцы этого пакета, по мнению многих исследователей (см. гл. 1), относятся к докембрию. (Прим. ред.).

(D<sub>2</sub> — C<sub>2</sub>) на предорогенном этапе и граувакковых и флишевых толщ (C<sub>2</sub> — P) на орогенном, захоронивших впадину с востока на запад, по-видимому, было вызвано тектоническим сближением поднятий с краем континента. Скучивание тектонических фрагментов этих структур на орогенном этапе с перекрытием части флишевых толщ и развитием меланжа, вероятно, связано с гравитационным сокальзыванием пластин с фронтальной части орогенного поднятия. Сонахождение пород офиолитовой ассоциации и формаций вулканического поднятия окраины океанической области, вероятно, свидетельствует об общности условий их формирования и эволюции.

### Строение офиолитовых покровов

Гипербазиты, габбро, метабазиты и тоналиты, вскрывающиеся в приводораздельных хребтах массива и его восточных отрогах, рассматривались на ранних этапах их изучения (Алецков, 1929; Заварицкий, 1932; и др.) как разновозрастные интрузивные формации длительно существовавшей унаследованной глубинной зоны магматической активности на границе между мио- и эвгесинклиноподиумом Урала (Молдавицев, 1960). В. Ф. Морковкина (1967) считала верлиты, пироксениты, габбро и габбротиамбиты в этой группе пород продуктами сложных реакционных взаимодействий между протрузивным телом гипербазитов и более молодой интрузией гранитоидов. Петролого-тектонический анализ этой группы пород выявил ее принадлежность к офиолитовой ассоциации, слагающей наклоненный к востоку моноклинальный разрез коры океанического типа. В нем гарпургиты сменяются вверх породами дунит-верлит-кипопироксенит-габбровой (полосчатой) серии и затем тоналитами (Савельева, 1973а, б; Буртман и др., 1974; Савельев, 1974; Пейве 1974). Толща метабазитов, подстилающих этот разрез, рассматривалась как продукт динамометаморфизма, образование которого сопровождало надвигание офиолитов на край континента. Н. Л. Добрецов (1974б) в составе ассоциации выделил три типа офиолитов, формировавшихся при разных давлениях: западные части разреза, испытавшие наибольший метаморфизм, — при высоких и средних, а восточная, менее метаморфизованная, — при низких.

В геологической структуре офиолитов массива выделяются три крупных и сложно построенных покрова (Войкарский пакет), отделенных четкими структурными границами и сложенными различными сериями пород. Нижний, самый западный, покров Хулгинский сложен в основном гранатовыми и цоизитовыми амфиболитами, средний — Пайерский — гипербазитами, габбро и диабазами; а верхний — Лагортинский — амфиболитами и тоналитами, перекрытыми формациями вулканического поднятия окраины океанической области. Подошвы покровов наклонены на юго-восток (5—60°). Ниже приводится их характеристика.

### Хулгинский покров

Описываемый покров полюс вскрывается в средней ( хр. Хордьюс) и южной (верховья р. Хулга) частях массива, где наибольшая его мощность достигает, по геофизическим данным, 3—4 км. Он подстилается эфузивными толщами Лемвийских покровов, превращенных в подошве в катаклазиты и хлорит-актинолит-альбитовые очковые сланцы. В кровле покрова на протяжении значительной части границы располагаются черные серпентиниты и серпентинитовые милониты, подстилающие вышележащий Пайерский покров.

В основании Хулгинского покрова имеется толща хлорит-лавсонитовых, глаукофановых и гранат-глаукофановых сланцев мощностью до 1200 м (Добрецов, 1974а; Савельева, 1974), которая сменяется вверх гранатовыми, цоизит-гранатовыми и цоизитовыми амфиболитами, участками

насыщенных пропластками плагиомигматитов, плагиогранит-гнейсов и жилами плагиогранитов (Савельева, Шляхова, 1970). Выходы толщи амфиболитов и границы метаморфических фаций повторяют в целом изгибы контакта гипербазитового тела и как будто пересекают реликтовую слоистость пара- и ортоамфиболитов\*. Полосчатость амфиболитов, падающая к юго-востоку, имеет устойчивые северо-восточные простирания и вместе с тем очерчивает многопорядковые линейные складки течения, наклоненные или опрокинутые к северо-западу. Разрез нижней части Хулгинского покрова хорошо сохранился на севере массива (реки Средняя и Левая Кечпель), где устанавливается пологое (10—20 до 40°) погружение метаморфических пород под гипербазиты. По левому притоку р. Средняя Кечпель вкрест простирания вскрывается снизу вверх (по реке) следующий разрез:

1. Сланцы филлитовидные темно-серые с подчиненными прослоями (30—80 см) зеленых, лиловых и черных углисто-кремнистых. Породы смяты в изоклинальные складки, с падением слоистости на крыльях по азимуту 150—180°  $\angle$  70—80°. 350 м.

2. Алевролиты светло-зеленые (70 м), сменяющиеся сланцами углисто-кремнистыми с подчиненными прослоями алевропесчаников серо-зеленых (60 м). Азимут падения слоистости 160—170°  $\angle$  70—80°. 130 м.

3. Пачка переслаивания темных углисто-кремнистых, глинисто-кремнистых, тонколистоватых филлитовидных сланцев и серо-зеленых алевролитов. Мощность прослоев 0,8—20 м; преобладают углисто- и глинисто-кремнистые сланцы. Породы смяты в изоклинальные складки с падением слоистости на крыльях по азимуту 130—160°  $\angle$  60°. 260 м.

4. Алевролиты, постепенно сменяющиеся алевропесчаниками и песчаниками серо-зелеными, с прошлаками (1,5—2 м) миндалекаменных диабазовых порфиритов и порфиритоидов. Через пологие (до 30°) разрывные нарушения, выраженные зонами дробления и окварцевания с юго-восточным падением, эти породы сменяются чередованием лавсонит-хлоритовых и альбит-хлорит-актинолитовых сланцев. Среди них, в конце 40-метрового интервала, появляются пласти порфиритоидов (до 2 м), содержащих глаукофан. Азимут падения слоистости пород 160°  $\angle$  70°; часты зоны дробления и окварцевания. 50 м.

5. Альбит-эпидот-глаукофановые сланцы с реликтовыми структурами эфузивов — миндалинами, актинолитовыми цеевдоморфозами по вкралиникам, чередующиеся с тонкозернистыми (0,02 мм) микрошлосчатыми кварц-эпидот-глаукофановыми породами, сохранившими реликты обломочной структуры. Падение полосчатости 160—170°  $\angle$  70°. 420 м.

6. Постепенно структура пород становится более кристаллической, появляются тонкоигольчатые альбит-эпидот-глаукофановые сланцы синевато-серого цвета, переслаивающиеся с тонкозернистыми, очень плотными кварц-эпидот-глаукофановыми породами, содержащими тонкую вкралинистость бурого граната, и мусковит-эпидот-глаукофановыми сланцами с порфиробластами мусковита (анализы минералов см. в табл. 21, гл. 4). Крупность зерен в гранобластовом агрегате основной массы не превышает 0,05 мм. Мощность пачек различного состава колеблется от 3—5 до 10—20 м. Азимут падения слоистости меняется от 170°  $\angle$  30° в начале интервала до 210°  $\angle$  20—40° — в конце. В этой части разреза Н. Л. Добрецовым (1974а) были описаны липзовидные тела глаукофанизированных эклогитов (см. ниже табл. 21, обр. 344В). 340 м.

7. По разрыву (аз. пад. 170°  $\angle$  30°) их сменяют полосчатые среднезернистые кристаллические сланцы гранат-диопзит-роговообманкового, гранат-мусковит-роговообманкового, мусковит-диопзит-роговообманкового состава с прослоями (5—10 см) более светлых цоизит-кварц-альбитовых

\* Происхождение и возраст метаморфической «зональности» — вопрос дискуссионный (см. гл. 4). (Прим. ред.).

гнейсовидных пород, также нередко с мусковитом и гранатом. Слюдистые амфиболиты резко преобладают в середине интервала, слагая пачку мощностью около 60 м. Азимут падения полосчатости этих пород  $210^\circ \angle 30-40^\circ$ . 430 м.

8. Массивные крупнозернистые цоизитовые амфиболиты с гранатом и альбитом (до 5%), слагающие 20-метровый прослой в лежачем боку пачки плагиогнейсов (около 100 м). Плагиогнейсы сложены в основном кварцем и альбитом с небольшой примесью цоизита, мусковита, граната и роговой обманки. В их висячем боку количество мусковита и роговой обманки увеличивается, и они переходят в мусковит-альбит-рогообманковые сланцы. Падение полосчатости  $220^\circ \angle 150^\circ$ . 200 м.

9. Массивные и полосчатые крупнозернистые цоизитовые амфиболиты часто с гранатом. Полосчатость обусловлена чередованием существенно цоизитовых или рогообманковых прослоев мощностью до 1,5 см. Роговая обманка плеохроирует в сине-зеленых тонах,  $cNg = 19^\circ$ ;  $Ng = 1,652$ ;  $Np = 1,627$ . Падение полосчатости пород  $220^\circ \angle 20^\circ$ .

10. Лейкократовые «плагиогнейсы» гранат-кварц-альбитового, мусковит-кварц-альбитового состава с небольшой примесью цоизита и роговой обманки. Среди них 1,0—1,5-метровые пачки меланократовых игольчатых амфиболитов, нередко окварцованных по сланцеватости. Перекатые и будинированные прожилки голубовато-серого кварца придают породе очковую текстуру. Амфиболиты и гнейсы смяты в пологие складки с падением полосчатости на крыльях по азимуту  $210^\circ \angle 30-60^\circ$ . 120 м.

11. Чередующиеся пачки лейкократовых «плагиогнейсов» и меланократовых цоизитовых амфиболитов. Мощность пачек 1,5—2 м, границы между ними в основном резкие; при постепенном переходе в меланократовых амфиболитах наблюдается увеличение количества альбита, появляется кварц. В конце интервала на контакте крупнозернистых гранат-кварц-альбитовых пород и цоизитовых амфиболитов видны отчетливые инъекции кварц-полевошпатового состава, косо секущие полосчатость амфиболитов. Далее мусковит-кварц-альбитовые, гранат-циозит-кварц-альбитовые гнейсы приобретают мигматитоподобный характер, пропитывая меланократовые амфиболиты согласно с их полосчатостью или располагаясь косо к ней. Иногда среди пород кварц-полевошпатового состава можно наблюдать угловатые блоки — включения мелкозернистых меланократовых амфиболитов. Азимут падения полосчатости пород  $210^\circ \angle 50^\circ$ . 160 м.

12. Тонкополосчатые амфиболиты гранат-циозит-рогообманкового состава. Меланократовые и лейкократовые разновидности образуют пачки мощностью от 1,5 до 5 м. В лейкократовых амфиболитах присутствуют кварц и альбит. Азимут падения полосчатости  $200^\circ \angle 50^\circ$ . 65 м.

13. Тонкополосчатые и брекчийные породы альбит-амфибол-циозитового состава, катакластической структуры. В конце интервала — выходы плотных зеленовато-серых милонитов альбит-циозит-актинолитового состава. Все породы пронизаны тонкими (1—3 мм) прожилками кварца, согласными со сланцеватостью и полосчатостью, иногда — ветвящимися. Азимут падения сланцеватости и полосчатости  $210-220^\circ \angle 50^\circ$ . 18 м.

14. Через 1,5 м развал милонитов и катаклазитов — выходы серпентинитов рассланцованных хризотил-антогоритового состава, с волокнисто-листоватой структурой. Серпентиниты пересекают тонкие прожилки кальцита.

15. Через 1,5-метровую пачку тонко рассланцованных серпентин-амфиболитов породы серпентиниты сменяются вначале тонкополосчатыми амфиболитами, а через 2 м — крупнозернистыми цоизитовыми амфиболитами, насыщенными обмытыми, будинированными лиззоморфными телами серпентинизированных дунитов, апогардбургитовых серпентинитов и адиагностических серпентинитов.

Амфиболиты имеют полосчатую, очково-гнейсовидную структуру, обусловленную тем, что скопления табличек белого и светло-серого цоизита обтекаются длинными призмами зеленого амфиболя. Состав породы очень выдержан: цоизит — 30—40%, амфибол — 60—70%, иногда появляется лилово-розовый гранат. Под микроскопом цоизит бесцветен, образует широкотаблитчатые кристаллы (1—2 мм) с тонким полисинтетическим двойникование. Амфибол, развивающийся в широких призмах (1—3 мм), с ровными четкими гранями, также совершенно бесцветен. Оптические константы:  $cNg = 20^\circ$ ;  $Ng = 1,650$ ;  $Np = 1,627$ ;  $2V = -80$ . Он близок магнезиальному роговому обманке. Бледноокрашенный лилово-розовый гранат образует скопления (1,0—1,5 см) из мелких идиоморфных кристаллов или развивается в виде кайм на границе амфиболя и цоизита. Судя по показателю преломления  $N(1,748-1,750)$  и окраске, гранат относится к альмандин-пироповому ряду.

Лизы серпентинитов в амфиболитах имеют размеры от  $0,8 \times 0,2$  до  $5,0 \times 1,2$  м, причем мелкие, кулисообразно или четковидно расположенные представляют собой части будинированных крупных тел. Реже встречаются угловатые блоки серпентинитов, приуроченные к зонам интенсивного рассланцевания в амфиболитах. Амфиболиты в экзоконтакте приобретают тонкоигольчатую структуру, цоизит в них исчезает; серпентиниты рядом с ними тонко рассланцованны и в зоне шириной 3—5 см превращены в серпентин-хлоритовые и серпентин-амфиболовые сланцы. В серпентинитах часто сохраняется апогардбургитовая структура: среди петельчатого лизардит-хризолитового агрегата, последующего форму оливиновых зерен, наблюдаются крупные таблички бастита; иногда в ядрах петель сохраняется оливин. Реже встречаются хризотил-антогоритовые, антигоритовые адиагностические серпентиниты или серпентинизированные дуниты. Во всех разновидностях серпентинитов развивается амфибол, образующий гломеропорфировые скопления призматических зерен, тяготеющих к границам тел. Иногда гломеробласты, порфиробласты амфиболя настолько насыщают серпентиниты, что среди полосчатых, гнейсовидных амфиболитов возникают участки пегматоидных амфиболовых пород с небольшой примесью серпентинита. Залегание линз серпентинитов совпадает с полосчатостью и сланцеватостью амфиболитов. Азимут падения  $210^\circ \angle 70^\circ$ . 135 м.

16. Серпентиниты черные. У контакта с цоизитовыми амфиболитами рассланцованны и участками имеют скорлуповатую отдельность. В них сохранилась гардбургитовая структура: на корке выветривания и в свежем сколе хорошо различимы коричневатые таблички бастита ( $>20\%$ ). Вокруг крупных (2—4 мм) таблиц бастита развиты скопления мелкопластичных псевдоморфоз серпентина с реликтами бесцветного амфиболя в центре некоторых из них. В 120 м от контакта с амфиболитами в апогардбургитовых серпентинитах видна реликтовая полосчатость, обусловленная сгущениями баститовых агрегатов; азимут падения полосчатости  $200-220^\circ \angle 10-20^\circ$ . Согласно с ней прослеживаются прожилки амфиболя (3—5 мм), иногда слабо ветвящиеся или круто секущие полосчатость. 150 м.

17. На интервале 150—160 м от контакта с амфиболитами апогардбургитовые серпентиниты сменяются серпентинизированными гардбургитами (до 50% хризотила). В этом интервале среди гардбургитов постоянно встречаются участки черных серпентинитов (метры — десятки метров). Граница между этими породами извилистая, нерезкая — смена окраски на корке выветривания происходит в зоне 3—5 см мощностью, через сильно серпентинизированные гардбургиты. Одновременно можно наблюдать, как при переходе прожилков амфиболя из серпентинита в гардбургит его окраска меняется с красно-буровой на ярко-зеленую. При изучении шлифов устанавливается, что в серпентинитах бесцветный амфибол псевдоморфно замещается пластинчатым и волокнистым серпен-

тином, тогда как в гардбургитах этот же амфибол совсем свежий, и только по периферии его зерен развивается листоватый антигорит. Одновременно наблюдается пересечение призмами амфибола хризотиловых прожилков, разбивающих оливиновые зерна.

Таким образом, интенсивная серпентинизация, приведшая к полной баститизации энстатита и образованию черных серпентинитов, произошла после амфибилизации гардбургитов. В то же время эта амфибилизация была, вероятно, наложена на раннюю — петельчатую — хризотиловую серпентинизацию \*.

Описанные взаимоотношения пород в бассейне р. Средняя Кечель характерны для всего северо-западного контакта метаморфитов Хулгинского покрова. В южной его части непосредственно к гипербазитам подходит гранат-циозит-роговообманковые и альбит-циозит-роговообманковые амфиболиты. Граница метаморфических фаций ориентирована на р. Погурей под углом 40—50° к простиранию вулканогенно-осадочных толщ, следя контакту с гипербазитами.

Толща амфиболитов Хулгинского покрова содержит ксеногенные тела двупироксеновых кристаллосланцев — гранулитов, наиболее крупные из которых имеют размеры выходов  $5 \times 20$  и  $10 \times 20$  км; форма их приближается к линзовидной. Удлинение тел согласное с простиранием полосчатости амфиболитов, а контакты наклонены на юго-восток. Полосчатость гранулитов в южной части Хулгинского покрова согласна с полосчатостью вмещающих амфиболитов, тогда как в хр. Хордьюс она, очерчивая складки течения, имеет устойчивые северо-западные простирания и круто сечется простирациями границ и полосчатости амфиболитов.

В верховых р. Хулга среди гранулитов сохранились участки ( $2-4 \text{ км}^2$ ), сложенные массивными лабрадор-битовитовыми ( $\text{A}_{\text{II}}_{58-77}$ ) габбро-поритами с крупно- и среднезернистыми порфировидными структурами. От массивных габбро-поритов к очково-полосчатым гранулитам наблюдаются постепенные переходы. При этом переходе плагиоклаз частично замещается (образует) гранатом с образованием эклогитоподобных пород \*\*. Резкие границы с габбро-поритами имеют породы, которые образуют среди них секущие зоны роговико-подобных, тонко- и среднезернистых линзовидно-полосчатых бластомилонитов. Они состоят из гиперстена, клинопироксена, плагиоклаза ( $\text{A}_{\text{II}}_{60-80}$ ) и граната и могут быть названы гранатовыми гранулитами. Вероятно, эти породы, как и крупнозернистые гранулиты, образовались по габбро-поритам. Среди гранулитов содержатся редкие тела дунитов, с оторочкой апотротолитовых (?) пород гранат-шипиль-широксепового состава.

Габбро-пориты и гранулиты по химическому составу близки к океаническому толенту (рис. 20) и отличаются от габбро Пайерского покрова большей железистостью и титанистостью. Переход этих пород во вмещающие амфиболиты выражается в первую очередь сменой моноклинного пироксена и плагиоклаза ( $\pm$  ранний гранат) парагенезисом роговая обманка + гранат<sub>2</sub> + кварц.

В южной части Хулгинского покрова, среди гранат-роговообманковых амфиболитов, содержащих тектонические блоки гранатовых гранулитов, встречено линзовидное тело мраморизованных известняков ( $10 \times 600$  м), вытянутое согласно с простиранием полосчатости амфиболитов. В эндоконтактах мраморизованные известняки полосчато обогащены оливином, диопсидом и гроссуляром или апатитом и магнетитом. Образова-

ния такого рода широко известны среди метабазитов гранулитовой и амфиболитовой фаций метаморфизма Урала, Прибайкалья, Кольского полуострова и рассматриваются нами, вслед за многими исследователями, как известияки, метаморфизованные изофикально с вмещающими породами.

В целом в составе пород и структуре Хулгинского покрова, как и в маликском комплексе, отражены стадии высокотемпературных пластических деформаций массивных габбро-поритов с образованием полосчатых гранатовых гранулитов и дробление их на блоки, сопровождавшееся преобразованием габбро и гранулитов в полосчатые амфиболиты со структурами пластического течения. Приуроченность узкой зоны (или пластин?) глаукофановых сланцев к подошве покрова, наличие в них реликтовых структур эффузивов и обрастание глаукофаном роговой обманки амфиболитов указывают, на наш взгляд, на связь глаукофанового метаморфизма с надвиганием Хулгинского покрова на эффузивные толщи при скучивании покровов, а не на происхождение его в краевом глубоководном желобе *in situ*, как полагает Н. Л. Добрецов (1974б).

### Пайерский покров

Пайерский покров, расположенный восточнее Хулгинского, перекрывает его на значительных участках, соприкасаясь местами с эффузивами Моллюшорской пластины. В северной части массива породы покрова почти вплотную подходят к флишевым толщам, а в массиве Рай-Из, как было описано выше, гипербазиты северного фланга покрова надвинуты на граувакковые толщи. В ненарушенных разрезах амфиболиты Хулгинского покрова обогащаются к кровле будинами амфибилизованных гипербазитов (см. описание разреза по р. Кечель); выше они сменяются амфибилизованными гипербазитами передко с очково-полосчатыми текстурами и затем гардбургитами Пайерского покрова, т. е. в этих разрезах оба покрова оказываются «спаянными» амфиболитами. Чаще всего в подошве Пайерского покрова, где этот переход сорван, на границе располагаются серпентинитовые милониты (до 200 м), которые в подошве массива Рай-Из сменяются серпентинитовым мелажем (Дергунов, Казак, Молдаванцев, 1975).

Выше располагаются гардбургиты, дуниты, породы полосчатой серии, а также толща диабазов с редкими дайками альбитофирами. В такой последовательности парализуются к востоку наиболее полные разрезы этого покрова. Разрывные нарушения вызывают повторение или выпадение отдельных его частей. Верхняя граница покрова проходит в подошве амфиболитовых или тоналитовых бластомилонитов, залегающих в основании вышележащей Лагортинской пластины. Общая мощность покрова по геологическим и геофизическим данным составляет 0,5—6 км.

Большую часть покрова слагают гардбургиты, дуниты и образовавшиеся по ним метаморфиты ультраосновного состава. Эти породы образуют цепь сообщающихся линзовидных тел ( $20-60 \times 10-18 \times 0,5-6$  км), вытянутых в северо-восточном направлении. Их контакты наклонены к юго-востоку под углами 5—60°.

Гардбургиты резко преобладают среди гипербазитов северной половины покрова; в южной они сохранились в виде небольших разрозненных толщ среди замещающих их ультраосновных метаморфитов (рис. 21). Наиболее полные разрезы гардбургитов вскрыты в северной части массива, в верховых р. Харота, руч. Харота-Шор, на восточном склоне горы Географов, на р. Хойла, а также по ручьям Пайты-Вис и Лагорта-Егарт. Высота скальных обрывов гардбургитов достигает 500—600 м; максимальная доступная наблюдению мощность гардбургитов 800—900 м. Учитывая, что ее верхние горизонты уничтожены эрозией, а подошва не всегда вскрыта, можно полагать, что общая мощность гардбургитов значительно превышала 1000 м.

\* Трактовка этих соотношений дискуссионна. (Прим. ред.).

\*\* По данным Ю. Е. Молдаванцева и Н. Л. Добречова, для эклогитоподобных пород хр. Хордьюс характерны каскады граната на контакте широксепса и плагиоклаза с сохранением первичной габбровой, иногда габбро-офитовой структуры. На каскады граната и первичного плагиоклаза накладываются ассоциации с циозитом, зеленой роговой обманкой и вторичным гранатом. В целом вся западная полоса сходна с маликским комплексом. Общие проблемы их генезиса обсуждены в главе 4.

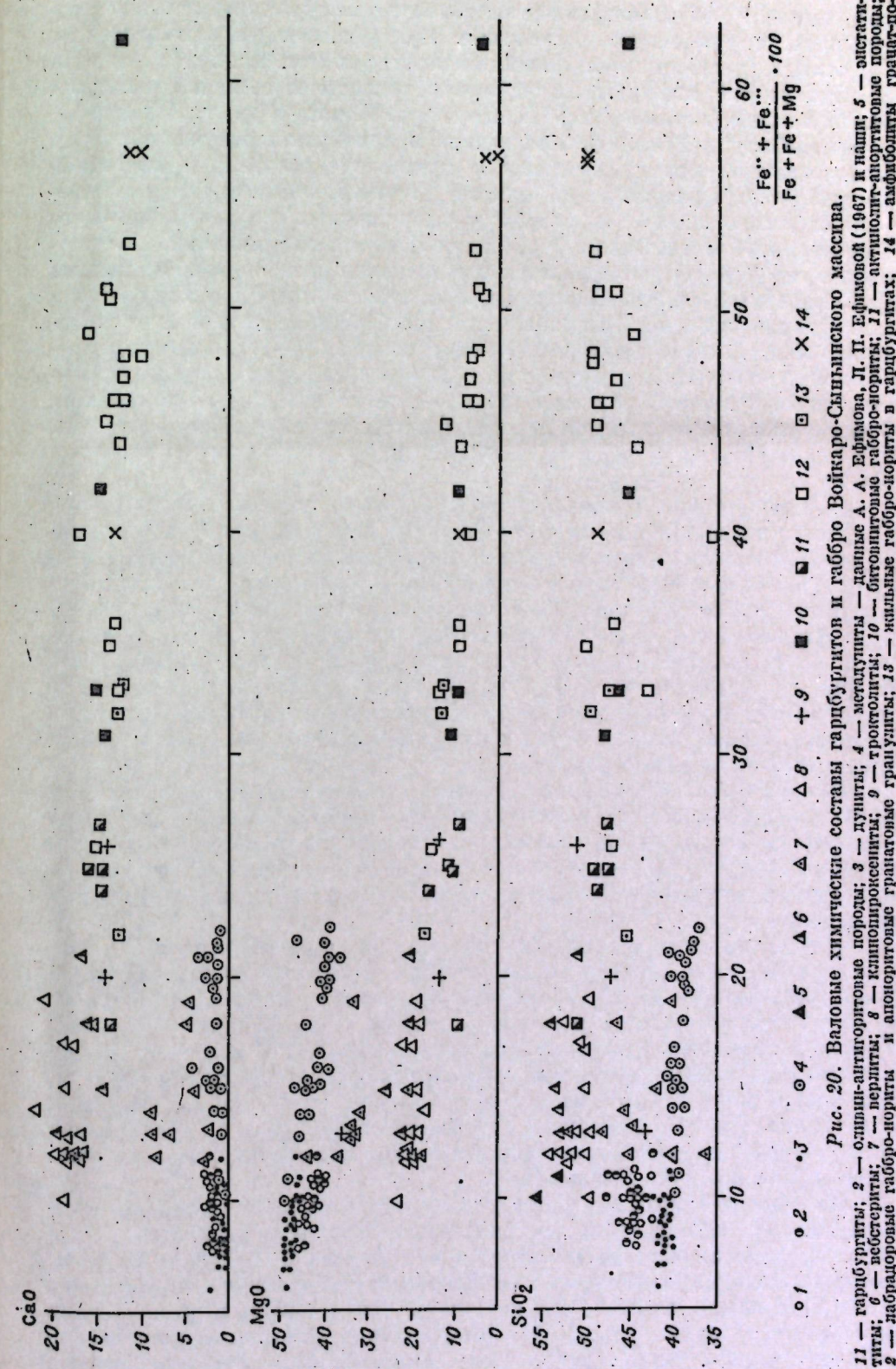
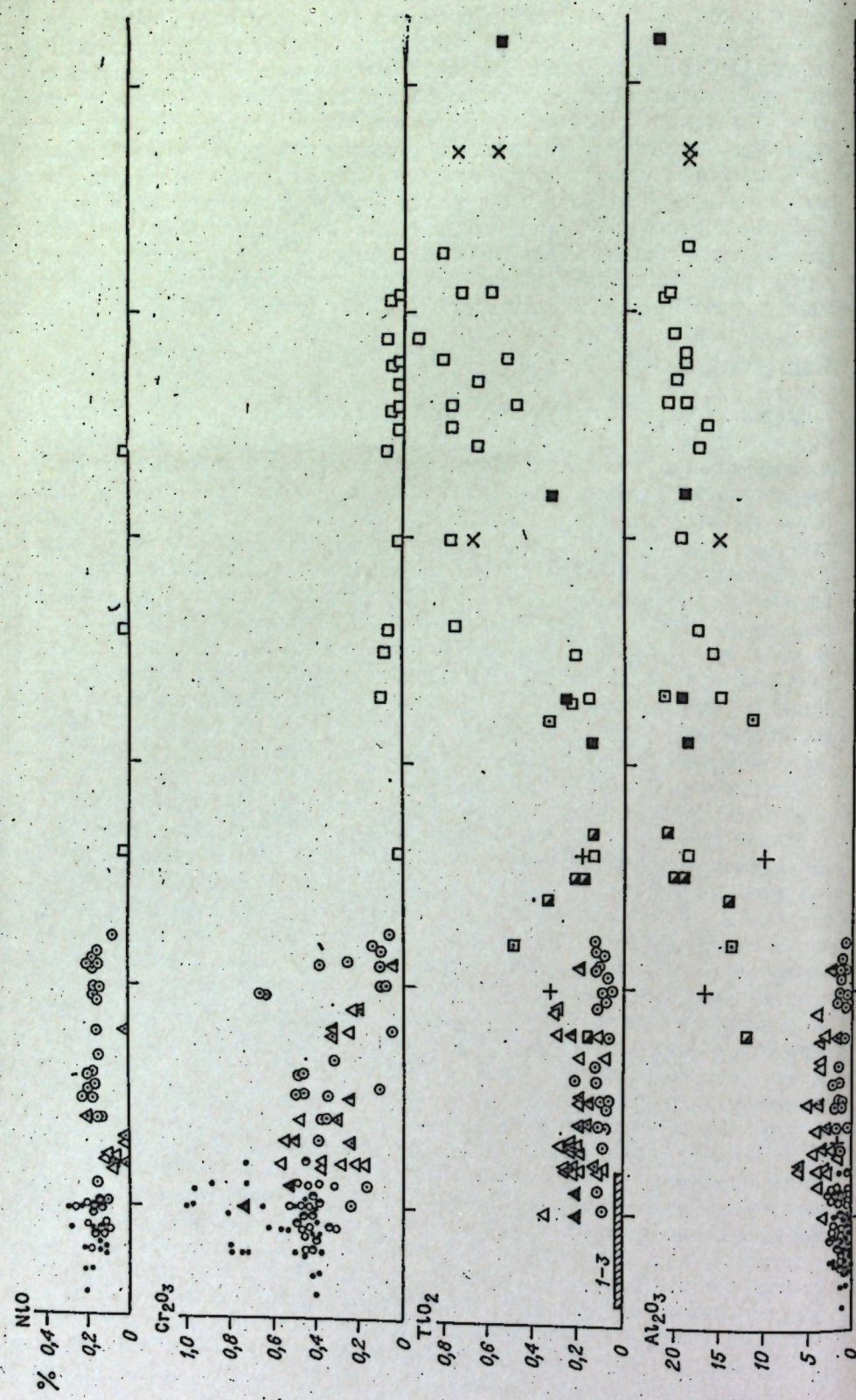


Рис. 20. Валовые химические составы гардебургитов и габбро Войкаро-Сылынского массива.

1 — гардебургиты; 2 — оливин-антigorитовые породы; 3 — лупиты; 4 — магматуиты; 5 — эпистатиты; 6 — пебстериты; 7 — перлиты; 8 — клинопироксениты; 9 — гранулиты; 10 — троктолиты; 11 — биотитогранитовые габбро-нориты; 12 — амфиболиты-анортитовые породы; 13 — лабradorитовые габбро-нориты в гардебургитах; 14 — албифолиты гранитоидов.

Гардбургиты представляют собой массивные грубошлифованные крупнозернистые породы с зеленовато-желтой коркой выветривания, на которой видны темные зеленовато-коричневатые таблички пироксена. Его распределение обуславливает разнообразие текстур гардбургитов: однородных, с равномерно рассеянным неориентированным пироксеном, полосчатых, линейных или линейно-полосчатых (см. прил., фото 2).

Однородные текстуры гардбургитов развиты в северной и средней частях массива (перевал Арка-Маталоу, руч. Харота-Шор, р. Лагорта-Ю, ручи Лабогей и Виль-Ю). Полосчатые и линейно-полосчатые текстуры распространены преимущественно в приосевой (средней) и восточной (верхней) частях разреза гардбургитов. Четкие линейные текстуры встречаются на севере массива и большей частью развиты вдоль западного его контакта (р. Левая Кечпель до р. Малая Лагорта, р. Пожемаю). Полосчатость в гардбургитах определяется чередованием разностей, обогащенных или обедненных энстатитом, энстатитовых дунитов и почти мономинеральных ортопироксенитов. Ширина полос колеблется от нескольких сантиметров до десятков сантиметров, достигая иногда 1,0—1,5 м. Самые широкие полосы сложены гардбургитами с 20—40% энстатита, более узкие — энстатитовым дунитом и самые узкие — оливиновым ортопироксенитом. Общее количество энстатита в породе, при подсчете на единицу ее объема, сохраняется по всему массиву постоянным и не выходит за пределы 15—20%.

В гардбургитах с линейными текстурами энстатит группируется в агрегаты размерами 15—18 × 3—4 мм, ориентированные субпараллельно плоскости полос, вместе с единичными зернами диопсида и хромшипилита. Погружение линейности в средней и верхней частях разреза гардбургитов бывает обычно более крутым, чем падение полосчатости. Ориентировка зерен энстатита либо безразлична к направлению линейности, либо ось «с» энстатита согласна с ним. В подошве гардбургитов (истоки рек Левая Кечпель, Правая и Средняя Лагорта) четкие линейные текстуры обусловлены наличием веретенчатых агрегатов мелкозернистого энстатита, равномерно рассеянных или сгущающихся в полосы и ориентированных по падению полосчатости.

Во всех наблюдавшихся полосчатых текстурах границы между собственно гардбургитовыми и существенно оливиновыми или энстатитовыми полосами довольно ровные и четкие, но нерезкие: в пределах узкой зоны шириной от 0,5 до 1,5 см в дунитовой полосе рядом с гардбургитовой или существенно энстатитовой содержатся рассеянные таблицы энстатита или их агрегаты.

В северной части покрова (см. рис. 19) полосчатость очерчивает крупные желобовидные структуры, вытянутые с северо-восточным простиранием (рис. 22). В их юго-восточных крыльях полосчатость наклонена к северу и северо-западу под углами 30—60°, а на западных она более крутая и наклонена к востоку под углами 70—85°. С севера и северо-востока полосчатость обычно не замыкает структуры, и, таким образом, они оказываются открытыми к северо-востоку. В том же направлении, под углами 70—85°, наклонена линейность гардбургитов, проявленная особенно четко на южном и юго-восточном крыльях структур (реки Хойла, Правая Пайера, руч. Ямботы-Вис).

На фоне этих крупных структур, шарнир которых погружается к северо-востоку, наблюдаются многочисленные изгибы и развороты полосчатости, которые очерчивают мульдо- и желобовидные структуры более высокого порядка, вытянутые в северо-восточном направлении (верховья р. Левая Кечпель, правый борт долины р. Левая Пайера и др.). Местами (правый борт долины руч. Хойла-Вис) рисунок полосчатости имеет сигмоидную форму. Такие усложнения крупных структур полосчатости тяготеют к подошве и кровле разреза гардбургитов, а также к участкам сужения их полосы (водораздел Средняя Кечпель — Левая Пайера).

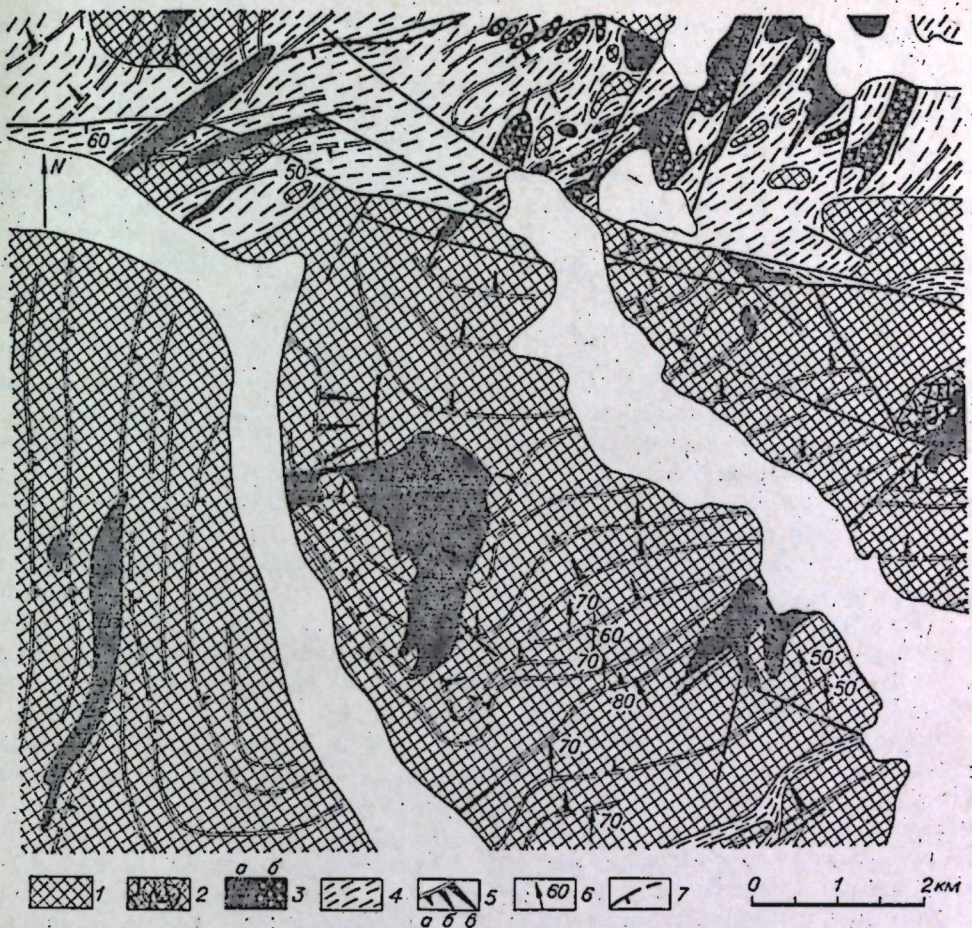
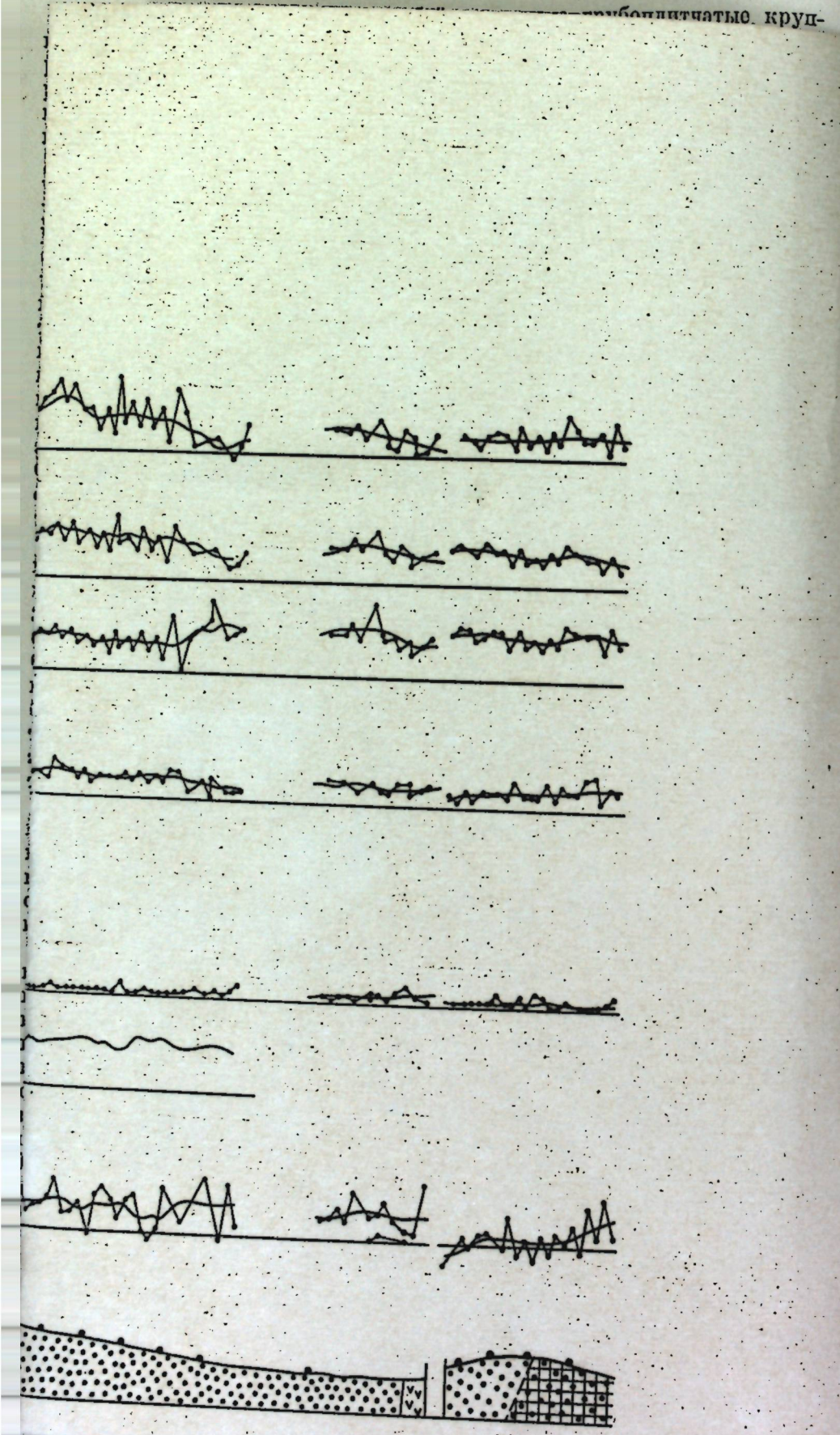


Рис. 22. Геологическая карта участка Войкаро-Сылынского массива.  
 1 — гарцбургиты; 2 — дунитовые жилы в гарцбургитах; 3 — дуниты серпентинизированные (а) и десерпентинизированные (б); 4 — оливин-антигоритовые породы и простирание их сланцеватости; 5 — ориентировка и углы падения полосчатости: а — 90—80°, б — 60—30°, в — 30—0°; 6 — ориентировка линейности; 7 — разрывные нарушения и их падение.

В средней части покрова полосчатость очерчивает крупную желобовидную структуру, которая повторяет общие контуры тела гарцбургитов и одновременно является дисконформной к его границам. От северной она отличается более простым строением. Центр структуры, вытянутой в северо-восточном направлении, расположен на водоразделе верховий ручьев Лабогей и Лагорта-Егарт. На ее восточном крыле полосчатость падает к западу под углами 40—60°, на западном — к востоку под углами 70—80°. Плавные южные замыкания полосчатости с падением к северу наблюдались в верховых р. Вылью и на левом берегу долины р. Погурей; редкие элементы залегания полосчатости фиксируют замыкание воронки с севера.

В южной части покрова полосчатость гарцбургитов имеет исключительно северо-восточные простирации, подчеркивая линейный характер структур и самого гипербазитового тела на этом участке. Будучи субсогласной с очертаниями контактов массива, полосчатость очерчивает сильно скатую изоклиналь. Как и в остальной части массива, полосчатость ее юго-восточного крыла падает на северо-запад, а у северо-западного — на юго-восток, но здесь характерны крутые (70—85°), нередко вертикальные залегания полосчатости.

Петрографически гарцбургиты представляют собой крупнозернистые породы, в которых содержание энстатита меняется от 10 до 20%, а степень серпентинизации — от 20 до 80%, составляя обычно около 60%. Их ха-

рактерная черта — четко проявленная разнозернистость главных минералов. Количество  $\text{Cr}_2\text{O}_3$  в энстатите и диопсиде уменьшается с повышением их железистости. Состав акцессорного хромшипелида меняется наиболее сильно вблизи дунитовых тел (см. гл. 4).

Дуниты окаймляют гардбургиты по периферии, где ширина их выходов, протягивающихся вдоль контактов на десятки километров, колеблется от 0,3 до 1,5 км, а глубина вскрытия достигает 350 м. Дуниты краевых зон проникают глубоко внутрь полей гардбургитов и вскрываются среди них в виде различной формы тел с крутыми контактами. Эти тела приурочены, как правило, к приосевым зонам мульдо- и жёлобовидных складок, фиксируемых по полосчатости гардбургитов, и пересекают ее своими границами (см. рис. 22). Крупные тела дунитов ( $0,5-2 \text{ км}^2$ ) часто окружены ореолами дунитовых жил мощностью  $0,1-0,2$  и  $1,5-2,5 \text{ м}$  и различной протяженности. Существует два типа распределения этих жил: неупорядоченные ветвящиеся и пересекающиеся жилы, образующие в пространстве сложную решетку, и полосчато-чередующиеся дуниты и гардбургиты с субпараллельной ориентировкой дунитовых жил и орто-шприкеновых агрегатов.

Первые распространены в основном на севере массива — ручьи Харота-Шор, Ямботы-Вис, р. Лагорта-Ю, т. е. там, где встречаются гардбургиты с неориентированными структурами. Вторые наблюдаются у ручьев Пайты-Вис, Лабогей, р. Правая Пайера, в бассейне правых притоков р. Лаптапай — там, где в гардбургитах четко выражены директивные структуры.

Жилообразные дунитовые обособления ветвящегося, сетчатого типа пронизывают гардбургиты, разбивая их на блоки сначала угловатой формы, которая по мере увеличения количества и мощности жил становится округлой. Ни в одном случае на контакте дунитовых прожилков с гардбургитами не было отмечено изменения зернистости пород, их рассланцевания или катаклаза. Характер контактов этих пород аналогичен границам полосчатости в гардбургитах: в дуните у контакта встречаются отдельные кристаллы, агрегаты энстатита, а в самом дуните энстатит как бы растворяется, замещаясь оливиновой массой. Иногда гардбургит вдоль контакта с дунитом приобретает пятнистую текстуру, вызванную крайне неравномерным распределением крупно- и гигантозернистого энстатита: на одних участках он полностью сохраняется, на других его отдельные зерна или сгустки «плавают» в дуните, тяготея к зальбандам жил. Общая картина более позднего образования дунитовых жил в гардбургите не вызывает сомнения.

Кроме жилообразных обособлений среди гардбургитов встречаются линзовидные тела дунитов протяженностью от десятков до сотен метров. Контакты крупных тел дунитов с гардбургитами обычно четкие и довольно резкие, но также без рассланцевания и катаклаза. Переход иногда осуществляется через энстатитовые дуниты с разубоживанием и перераспределением энстатита в гардбургитах. В ряде случаев (р. Левая Пайера) в секущих жилообразных апофизах от крупных тел дунитов сохраняются реликтовые ориентированные структуры гардбургитов, несогласно с простиранием апофиз.

На периферии ореолов дунитовые жилы сопровождаются жилами разнозернистых пегматоидных энстатитов и вебстеритов, также секущих гардбургиты. Во внешней зоне ореолов изредка встречаются жилы габбро-поритов и пегматоидных бронзит-апортитовых пород. Рассмотренные морфоструктурные особенности жил, к которым также относятся большая крупность зерна даже в тонких волосовидных жилках, образование в центральной части жил цепочек хромшипелида, а иногда сохранение следов пересеченной полосчатости и, наконец, раздувы дунитовых жил при пересечении существенно энстатитовых полос, свидетельствуют об их метасоматической, инфильтрационной природе (Заварицкий,

1932; Савельева, 1973а, б). Метасоматический процесс образования дунитов рассматривается нами как последовательный вынос кремния, кальция и алюминия из гардбургитов с дальнейшим частичным переотложением этих компонентов в виде пироксенитов \*.

Петрографический облик дунитов из крупных тел и маломощных жил одинаков.

Дуниты представляют крупнозернистые породы массивного сложения с гладкой ярко-желтой коркой выветривания, на которой видны цепочки и рассеянные зерна хромшипелида. В изломе порода зеленовато-чёрного цвета, а ее структура кажется равномерно-мелкозернистой, почти сливной из-за петельчатой серпентинизации, дезинтегрирующей крупные зерна оливина. Степень серпентинизации примерно та же, что у гардбургитов — в среднем 50—70%; серпентин представлен разновидностями хризотила, реже — серрофитом. Помимо них термоанализом устанавливается присутствие брусита (7—12%).

Оlivин образует зерна размерами от 8—10 до 15 мм. В подчиненном количестве присутствуют мелкие индивиды (около 2 мм). Крупные зерна неправильной формы, иногда изометрической, с причудливыми, неровными, извилистыми, ломанными и зубчатыми контурами. Часть выступов перекристаллизована с образованием тонкозернистого агрегата оливина. Для оливина характерно мозаичное скользящее угасание, обычно наблюдаются также четкие вытянутые двойниковые пластинки. Мелкие зерна с полигональным сечением, имеющим ровные прямые грани, несут следы деформаций в виде мозаичного угасания. Стойкость в оливинах, как правило, отсутствует и только редко наблюдаются ровные трещины, параллельные (010). Хромшипелид (1,0—1,5%) встречается в нескольких генерациях. Обычно представлен мелкими (0,03—0,05 мм) непрозрачными зернами с высокой степенью идиоморфизма, включенными в оливин. Можно наблюдать цепочки округлых, овальных зерен хромшипелида, пересекающих оливиновый агрегат, при этом форма и очертания зерен хромшипелидов на границах оливинов не изменяются. Реже присутствуют сравнительно крупные зерна хромшипелида (от 0,3—0,5 до 2,0 мм) неправильной или субгедральной формы, занимающие интерстиции между оливиными и просвечивающие красно-бурым цветом. Разнообразие структурных соотношений хромшипелида с оливином, по-видимому, свидетельствует о том, что образование хромшипелида было неодноактным и связано также с перекристаллизацией дунита. Редкие таблички бесцветного клинопироксена тяготеют к хромшипелиду, подчиняясь его контурам и очертаниям оливиновых зерен. По оптическим константам ( $Ng = 1,700$ ;  $Np = 1,672$ ;  $Ng - Np = 0,028$ ;  $(+2V = 55^\circ, cNg = 36-34^\circ)$  соответствуют диопсиду.

Состав оливина  $\text{Fa}_{6,8-11,5}$  варьирует шире, чем в гардбургитах. Статистический максимум приходится на  $\text{Fa}_{8,5}$ . В магнезиальную сторону от этого состава уклоняются оливины крупных тел; в дунитах краевых зон железистость нарастает до  $\text{Fa}_{9,5-10,5}$ ; в дунитах мелких тел железистость оливина близка к железистости оливина гардбургитов.

Акцессорный хромшипелид отличается от акцессорных гардбургитов широкими вариациями состава при относительно высоких хромистости и железистости (см. гл. 4, табл. 11). Самая высокая хромистость достигается в хромшипелидах, существующих с наибольшей магнезиальной оливином, наибольшая железистость хромшипелидов устанавливается в дунитах краевых зон.

По валовому химическому составу (см. рис. 20, табл. 5) и составу минералов гардбургиты и дуниты рассмотренной серии хорошо сопоставляются с их петрографическими аналогами во многих оливиновых полях.

\* Возможные альтернативные предположения обсуждены ниже, в главе 7. (Прил. ред.).

Таблица 5

Химические анализы пород дунит-гарцбургитовой серии и ультраосновных метаморфитов \*

Описание	Гарцбургиты серпентинизированные			Дуниты серпентинизированные		Гарцбургит регенерированный	Оливин-антигоритовые породы	Куммингтонит-оливиновая порода	Дунит регенерированный
	3340	1118	1228	155-В	33				
SiO <sub>2</sub>	39,58	43,36	41,06	36,32	35,88	44,00	40,60	40,60	40,47
TiO <sub>2</sub>	0,01	0,02	0,02	0,04	0,01	0,02	0,02	0,02	0,06
Al <sub>2</sub> O <sub>3</sub>	0,48	0,94	0,95	0,03	0,53	1,42	0,90	0,61	0,54
Cr <sub>2</sub> O <sub>3</sub>	0,31	0,41	0,40	0,37	0,55	0,39	0,39	0,41	0,31
Fe <sub>2</sub> O <sub>3</sub>	4,99	2,18	3,86	4,53	4,01	1,28	2,34	4,10	3,28
FeO	3,74	6,26	4,46	4,03	4,10	8,14	6,40	4,60	4,90
MnO	0,11	0,13	0,11	0,10	0,11	0,14	0,13	0,12	0,11
MgO	41,26	41,67	42,19	43,88	44,13	41,11	41,28	41,63	47,87
CaO	0,57	0,67	0,51	0,28	0,06	2,02	1,23	1,05	0,67
Na <sub>2</sub> O	0,10	0,04	0,10	0,02	0,10	0,06	0,14	0,08	0,05
K <sub>2</sub> O	Сл.	0,02	0,05	0,03	0,10	0,03	0,04	Сл.	0,04
NiO	0,11	0,15	0,10	п. д.	0,13	0,15	0,15	0,15	0,17
П.и.п	8,64	4,11	5,99	10,04	10,38	1,58	6,05	6,80	1,88
Сумма	100,08	99,96	99,78	100,17	100,06	100,34	99,66	100,23	100,35
F	9	10	9	9	9	11	10	10	8
RO/SiO <sub>2</sub>	1,64	1,55	1,64	1,94	1,93	1,59	1,68	1,65	1,88

\* Здесь и в табл. 9 приведены наиболее типичные анализы.

сах. На фоне закономерного уменьшения содержаний петротипных окислов SiO<sub>2</sub>, CaO и Al<sub>2</sub>O<sub>3</sub> и увеличения MgO железистость пород меняется в пределах 8—10,5 для гарцбургитов и 6,0—10,5 для дунитов. Cr<sub>2</sub>O<sub>3</sub>, NiO обычно больше в дунитах. Количество TiO<sub>2</sub> и V<sub>2</sub>O<sub>5</sub> в них и гарцбургитах почти одинаковы. Это видно из приводимых ниже профилей по малым элементам (см. ниже рис. 25 и табл. 6).

Ультраосновные метаморфиты, образовавшиеся по гарцбургитам и дунитам, слагают линейные зоны (мощностью до 400 м) северо-восточного простирания, которые пересекают внутреннюю структуру полей гарцбургитов и границу гарцбургит — дунит. Поверхности контакта этих зон всегда наклонены на юго-восток более полого, чем контакта гарцбургит — дунит. Часто породы этой серии отделяют тела дунитов от гарцбургитов (рис. 23).

Значительную часть объема ультраосновных метаморфитов представляют массивные оливин-антигоритовые породы, обычно сохраняющиеся в висячем боку зон. Переход к ним от гарцбургитов происходит в интервале от 3 до 30 м, на протяжении которого сохраняется реликтовая гарцбургитовая полосчатость, подчеркнутая хлорит-магнетитовыми агрегатами, замещающими аксессорный хромшипелид. Энстратит в породе исчезает резко, постепенного или псевдоморфного замещения его антигоритом наблюдать не удавалось никогда. В конце переходного интервала порода приобретает зеленовато-серый цвет на изломе пластинчато-зернистой структуры, корка выветривания становится белесо-желтой с листовато-таблитчатым рисунком на поверхности. В ряде случаев (в 3—5-мет-

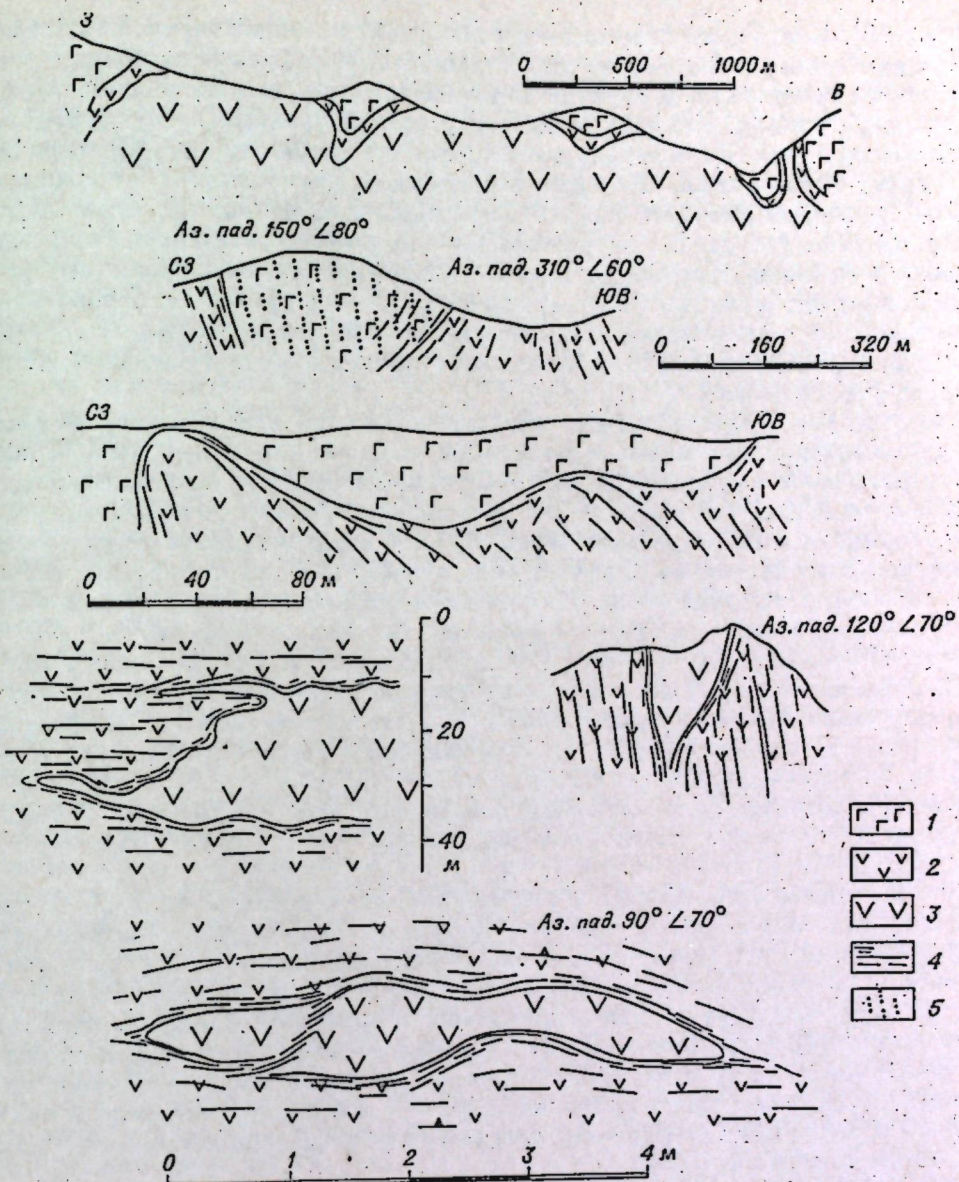


Рис. 23. Структурные соотношения дунитов, гарцбургитов и оливин-антигоритовых пород (зарисовка обнажений южной части массива).

1 — гарцбургиты серпентинизированные (с хризотилом); 2 — оливин-антигоритовые породы; 3 — дуниты серпентинизированные (с хризотилом); 4 — сланцеватость; 5 — полосчатость.

ровой зоне контакта) петельчато-серпентинизированные гарцбургиты насыщены жилами (от долей до нескольких сантиметров) оливин-антигоритовых пород, постепенно сгущающимися и переходящими уже в массивные породы.

Микроструктура оливин-антигоритовых пород крупнозернистая катаклазическая; количество оливина колеблется от 15 до 85% (в среднем 60—70%), антигорит слагает остальную часть породы. Обычна незначительная примесь магнетита, разложенного хромшипелида, хлорита, в редких зернах присутствуют моноклинный пироксен, актинолит, карбонат.

Зерна оливина (размерами 4—6 мм) имеют сравнительно изометрические очертания с мелкозубчатыми извилистыми, иногда ступенчатыми контурами. Характерна спайность по (010), к ней добавляется спайность

по (100). Многочисленные механические двойники ориентированы поперек трещин спайности. Деформации оливинов выражаются в изгибании этих трещин, оскольчато- и ступенчато-мозаичном угасании индивидов, гораздо более резком, нежели волнистое угасание оливина в гардбургитах. В дальнейшем такие зерна разбиваются по спайности на веерообразно гаснущие пластиники. Нередко вторичную форму оливина определяют антигоритовые чешуйки, разделяющие оливин на угловатые, игольчатые, призматические зерна, утрачивающие первичную оптическую ориентировку. По периферии крупных зерен оливина часто развивается его тонкозернистый (доли миллиметра) агрегат. По составу оливин близок оливинам гардбургитов: содержание фаялитовой молекулы колеблется от 7,9 до 10,3% (табл. 9, гл. 4). Заметным отличием является положительный знак угла оптических осей.

Антигорит слагает между оливинами участки неправильной формы, выполненные пластинками и чешуйками размерами до 0,6—0,8 мм, а также развивается по краям оливиновых зерен с образованием метельчатых и пластинчатых агрегатов и по трещинам спайности, располагаясь по отношению к ним всегда косо. В тех случаях, когда в оливине сохраняются метельчатые прожилки с хризотилом, видно, как антигоритовые чешуйки и метелочки пересекают их. Железистость антигорита, судя по анализам мономинеральных фракций, довольно высокая: 4,62—6,11,  $Ng = 1,567—1,569$ ,  $Np = 1,561—1,562$ , удлинение всегда положительное. Спорадически встречающийся моноклинный пироксен образует чечевицеобразные, призматические зерна с зубчатыми занозистыми концевыми гранями размерами 0,2—2,0 мм, врастующие в оливин. Оптические константы пироксена:  $Ng = 1,708$ ;  $Np = 1,678$ ;  $cNg = 42^\circ$ ;  $2V = 53^\circ$ . Рядом с ним иногда развивается игольчатый амфибол tremolit-актиполитового ряда. Его оптические константы:  $Ng = 1,646—1,650$ ;  $Np = 1,622—1,625$ ;  $cNg = 17—23^\circ$ .

Хромшипелид иногда сохраняется в виде реликтовых ядер среди магнетита, окруженного венчиком хлорита. Часто видна ангедральная форма первичных зерен размерами 0,3—0,5 мм (аналогичных хромшипелидам из гардбургитов). Тонкие зерна (0,03—0,1 мм) сульфидов железа и никеля ассоциируют с магнетитом или встречаются среди антигорита. Они представлены клиновидными, призматическими кристаллами пирротина, пирита, реже игольчатым миллеритом (в ассоциации с хромшипелидом). Довольно часты вкрапления (до 1,5 мм) самородной меди в виде чешуек, пластинок, зернышек, приуроченные к трещинам в оливине или заключенные в антигорит.

Полные разрезы с постепенными переходами от гардбургитов к оливин-антигоритовым породам наблюдались на севере массива — на западных отрогах горы Пай-Ер, в обрывах над оз. Кечпель-Ты и в районе оз. Верхнее Хойла. На северном и западном скалистых гребнях горы Пай-Ер, обращенных к долине р. Правая Кечпель, можно видеть, как массивные крупнозернистые, умеренно серпентинизированные гардбургиты с хризотилом, с ямчатой оливково-желтой коркой выветривания вниз по склону сменяются породами с щероховатой, ячеистой, иногда узловатой коркой выветривания красновато-бурового цвета, на которой зерен пироксенов не видно. Однако тени гардбургитовых структур и реликтовая полосчатость, как правило, сохраняются. Жилы клинопироксенитов, встречающиеся среди них, отличаются от клиноциркосенитов гардбургитов более тусклым зеленоватым цветом, обусловленным интенсивной актинолитизацией, хлоритизацией, иногда оталькованием пироксена; нередко наблюдаются будинаж и дробление жил.

В шлифах видно, что на первых ступенях замещения гардбургитов вокруг энстатита образуется кайма тонкочешуйчатого талька ( $Ng = 1,590$ ;  $Np = 1,558$ ;  $Ng - Np = 0,042$ ) или талькоподобного минерала с более низкими, слабо аномальными цветами поляризации ( $Ng - Np = 0,015$ ).

С внешнего края на этот минерал нарастает каемка (шириной от 0,01 до 0,1 мм) коричневато-бурового волокнистого или тонкопластинчатого куммингтонита. Навстречу ему со стороны оливина развиваются венчики листовато-чешуйчатого антигорита. Общая ширина этих каемок вначале процесса колеблется от 0,05 до 0,2 мм.

Через 20—30 м от контакта с гардбургитами куммингтонит и тальк развиваются от периферии к центру зерен энстатита, причем преобладает то первый, то второй минерал. Постепенно куммингтонит вытесняет тальк и среди его волокнистых полуизотропных масс начинают расти лапчатые пластинчато-зернистые индивиды, для которых были замерены следующие оптические константы:  $Ng = 1,668$ ;  $Np = 1,642$ ;  $cNg = 17^\circ$ ;  $2V = 80^\circ$ , схема плеохроизма  $Np < Nm < Ng$ ; по  $Np$  — светло-желтоватая окраска, по  $Ng$  — коричневатая. По оптическим константам этот минерал относится к куммингтонитовому ряду с 20—25% купферитовой молекулы по Трегеру.

В конечные стадии процесса пылевидный магнетит (?), насыщающий куммингтонитовые псевдоморфозы, отгоняется к их периферии или трещинам реликтовой спайности энстатита. Среди «очищенных» чешуек куммингтонита в центре псевдоморфоз появляются округлые полигональные зерна оливина размерами 0,01—0,2 мм. Рост этих мелких оливинов приводит к образованию своеобразных пород: оливин первой генерации (первичный) наблюдается в катаклизированных зернах изометрично-неправильной формы (размеры 4—8 мм), корродируемый метельчатым антигоритом; оливин второй генерации выполняет таблитчатые псевдоморфозы по энстатиту с характерными языковидными «затеками» в интерстиции первичного оливина. Форма оливиновых индивидов в псевдоморфозах меняется от полигонально-округлой до вытянутой, призматической, ориентированной вдоль реликтовой спайности энстатита. Иногда удлиненные зерна, агрегаты вторичного оливина располагаются веерообразно, зонально, как бы согласуясь с расположением бывших куммингтонитовых агрегатов. Размер индивидов оливина в центре псевдоморфоз достигает 0,06 мм, уменьшаются они к периферии до 0,01 мм. Почти кристаллизованный агрегат оливина окаймляет края псевдоморфоз. В конечные стадии процесса новообразованный тонкозернистый оливин развивается по трещинам в первичных крупных оливинах. Прожилки чешуйчатого антигорита пересекают агрегаты оливина второй генерации, а также скопления антигорита, развивающиеся вокруг первичного оливина. Аксессорный хромшипелид в этих породах замещается магнетитом, хлоритовые каймы вокруг него очень редки.

Таким образом, непосредственно в шлифах наблюдается следующая смена парагенетических ассоциаций минералов: оливин I + энстатит +  $\alpha$ -хризотил  $\rightarrow$  оливин I + (антигорит) + тальк  $\rightarrow$  оливин I + (антигорит) + куммингтонит  $\rightarrow$  оливин I + антигорит + оливин II + магнетит. Подобный метаморфизм гардбургитов с образованием куммингтонитовых псевдоморфоз и вторичного оливина был описан Н. Л. Добрецовым (1963) и М. И. Юдиным (1964) в гипербазитах хр. Борус (см. гл. 6).

На фоне рассмотренных двух типов контакта, представляющих последовательный переход гардбургитов с хризотилом к оливин-антигоритовым породам, особое место занимают переходные зоны с телами совершившими несерпентинизированными гардбургитами (рис. 24). Такие породы наблюдались в долинах рек Левая и Правая Пайера, Лек-Хойла, Хойла, Малая Лагорта, Игядей-Юган и в других участках, где они обнаруживаются среди оливин-антигоритовых пород обычно на расстоянии десятков метров от выходов серпентинизированных гардбургитов. Тела неизмененных гардбургитов имеют неправильно-изометричную форму и размеры от десятков до 300—500 м в поперечном сечении. Корка выветривания у них часто отсутствует, и светлые яблочно-зеленые породы четко выступают среди палевых или буровато-желтых оливин-антигоритовых пород.

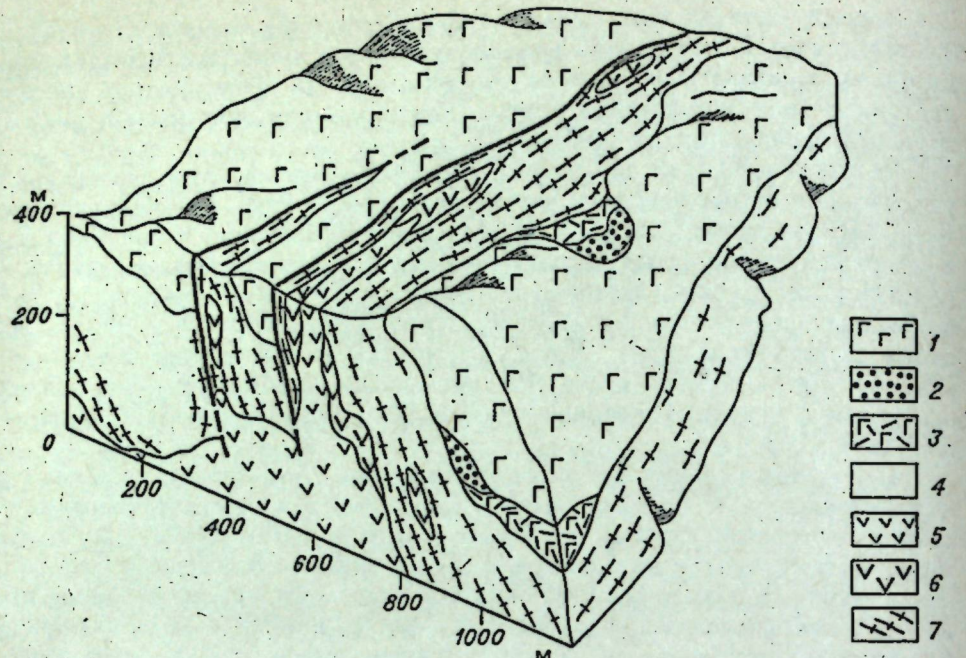


Рис. 24. Структурные соотношения гардбургитов, дунитов и зоны ультраосновных метаморфитов (схематическая зарисовка обнажения в северной части массива).

1 — гардбургиты серпентинизированные (с хризотилом); 2 — гардбургиты регенерированные; 3 — гардбургиты с куммингтонитом; 4 — оливин-антогоритовые породы; 5 — дуниты серпентинизированные (с хризотилом); 6 — дуниты пегматоидные (регенерированные); 7 — сланцеватость в оливин-антогоритовых породах.

В 30—50 м от границы с ними в свежих гардбургитах появляются многочисленные ветвящиеся пересекающиеся прожилки темно-серой плотной породы с тонкой красноватой коркой выветривания (ширина от долей до 10 см). В тонких прожилках устанавливается оталькование энстатита, появляется небольшое количество антигорита, а в более мощных — антигорит-оливиновый состав породы и наличие четкой спайности в оливине. Гардбургиты на контакте с прожилками вначале не изменены, но с увеличением количества и мощности прожилков энстатит в них замещается тальком. Непосредственно на границе с массивными оливин-антогоритовыми породами прожилки сгущаются в решетку ромбоэдрического рисунка, в ячейках которой сохраняются овоидные и шарообразные включения свежих гардбургитов. Каждое включение отделено от оливин-антогоритовых пород прокладкой оболочкой тальк-оливинового состава. Состав породообразующих минералов в свежих гардбургитах и их количественные соотношения аналогичны описанным для серпентинизированных гардбургитов: содержание энстатита колеблется от 12 до 15%, моноклинный пироксен встречается в редких зернах, но иногда его содержание увеличивается до 3—5%, и тогда порода по составу близка лердолиту. Существенным отличием этих пород является практическое отсутствие серпентина; слабее, чем в серпентинизированных разновидностях, проявлены разнозернистость оливина и энстатита.

Среди оливин-антогоритовых сланцев (blastomylonites) располагаются будничевые линзовидные блоки дунитов протяженностью до километров и мощностью до сотен метров. Сланцеватость вмещающих пород, возрастающая на контакте с дунитами, согласно обтекает изгибы тел. Дуниты в будниках часто перекристаллизованы и десерпентинизированы с образованием пегматоидных гигантокристаллических структур. Большие тела дунитов перекристаллизованы с периферии, а мелкие — обычно полностью. Пегматоидные дуниты окрашены в светлые фисташ-

ково-зеленые, желтоватые, зеленовато-серые цвета и часто лишены корки выветривания, столь характерной для серпентинизированных гипербазитов. Размеры зерен оливина с четкой спайностью достигают 2—4 см, иногда 10—12 см и более.

На ровных блестящих сколах по спайности заметны лучистые агрегаты антигорита, скопления зерен хромшипелида. Количество серпентина в породе не превышает 5—7%. Под микроскопом устанавливаются зубчатые, ступенчатые, пилообразные границы зерен оливина, мозаичное, скользящее угасание их. Ровные двойниковые полосы наблюдаются часто, но здесь они не более характерны, чем в оливинах серпентинизированных дунитов. Состав оливина отличается несколько повышенной магнезиальностью и варьирует от  $Fa_{5,7}$  до  $Fa_{8,2}$ . Оливин часто насыщен включениями пылевидного магнетита. Интенсивные деформации отчетливо проявлены в дунитах из мелких линза, а также в эндоконтактовых зонах крупных тел. Здесь в зернах оливина размерами 6—8 мм, удлиненной формы, по системе сколовых диагональных или поперечных к удлинению трещин развивается тонкозернистый гранобластовый агрегат оливина. В результате возникают своеобразные порфиробластовые, овощные структуры, в которых фрагменты зерен ранней генерации погружены в гранобластовый агрегат оливина второй генерации, свободного от включений.

Аксессорный хромшипелид распределен крайне неравномерно: он образует в оливине тонкую рассеянную вкрапленность, сгущающуюся на отдельных участках, либо группируется в цепочки, проходящие через несколько зерен оливина. При широких вариациях размеров зерен хромшипелида — от 0,2—0,5 мм (идиоморфные непрозрачные кристаллы) до 1,5—3,0 мм (зерна субгедральной формы, просвечивающие красно-бурым цветом) преобладают крупные зерна, тяготеющие к интерстициям среди оливина. По химическому составу он отличается повышенной хромистостью и железистостью от аксессориев дунитов, не испытавших перекристаллизации.

Приведенное геолого-петрографическое описание зоны ультраосновных метаморфитов позволяет наметить основные этапы и условия формирования этих пород.

Линейная морфология зон с единой генеральной ориентировкой, их секущее положение по отношению к структурам равномерно серпентинизированных гардбургитов и дунитов свидетельствуют о связи образования ультраосновных метаморфитов с деформациями в условиях стресса. О более позднем их формировании по отношению к массовой серпентинизации говорит существование блоков петельчато-серпентинизированных гардбургитов среди жил и полей оливин-антогоритовых пород.

Во всех рассмотренных типах разрезов переходной (пограничной) зоны между серпентинизированным гардбургитом и ультраосновными метаморфитами конечным продуктом метаморфических реакций является оливин-антогоритовая порода. Несерпентинизированные гардбургиты распространены только среди оливин-антогоритовых пород и замещаются ими, что позволяет рассматривать первые, паряду с оливин-куммингтонитовыми породами, как реликтовые продукты метаморфизма ранних I(?) стадий единого процесса.

Материалы по химизму ультраосновных метаморфитов (см. табл. 5 и рис. 20) показывают, что оливин-антогоритовые, тальк- и куммингтонит-оливиновые породы наследуют химический состав серпентинизированных гардбургитов, сохраняя отношение  $RO/SiO_2 = 1,7$  и железистость  $F \approx 10$ , что свидетельствует об изохимическом характере метаморфизма. Преобладание залкисного железа над окисным и относительно пониженное содержание воды в оливин-антогоритовых породах показывают, что их образование происходило в более высокотемпературных условиях, нежели рапортная серпентинизация гардбургитов, т. е. метаморфизм был прогрессивным по отношению к ней.

Сравнение устойчивости хризотила и антигорита в различных  $P - T$  условиях приводит многих исследователей к выводу о том, что антигорит образуется при более высоких температурах и давлениях (Hess, 1965; Francis, 1956). Рассматривая метаморфизм ультраосновных пород Центральных Альп, Б. Эванс и В. Троммсдорф выделили равновесные минеральные ассоциации, совпадающие с расчетными и экспериментальными равновесиями в системе  $\text{CaO}-\text{MgO}-\text{SiO}_2-\text{H}_2\text{O}$ . Они сопоставляются также с ассоциациями в метаморфизованных вмещающих породах пелитового, базитового и карбонатного состава, отвечающими условиям метаморфических ступеней от преиит-пумпеллитовой до амфиболитовой фаций. Диопсид-антигорит-форстеритовая ассоциация здесь соответствует хлоритоидной фации метаморфизма:  $450^\circ > T > 500^\circ$  и  $P \sim 2,5$  кбар или, согласно определению границ хлоритоидной субфации метаморфизма по Н. Л. Добрецову с соавторами,  $T \sim 500^\circ$ ,  $P \sim 2$  кбар (Добрецов, В. С. Соболев, Н. В. Соболев, 1974). В этих условиях образование оливин-антигоритовых пород по серпентинизированным гарцбургитам — по схеме (оливин + энстатит + хромшипелид) + хризотил  $\rightarrow$  оливин + антигорит + (диопсид) + магнетит — происходит, очевидно, при полном разложении энстатита и переходе его в оливин, устойчивый в ассоциации с антигоритом. В отличие от этой реакции положение равновесной кривой ранней массовой серпентинизации гарцбургитов — оливин + энстатит  $\rightarrow$  хризотил — для составов реальной железистости ( $P = 10$ ) определяется координатами 1 кбар —  $330^\circ$  и 5 кбар —  $390^\circ$ . Таким образом, еще раз подтверждается прогрессивный характер реакции образования оливин-антигоритовых пород по отношению к нетельчатой серпентинизации.

Помимо этой реакции местами сохраняется прогрессивный переход к куммингтонитсодержащим парагенезисам: (оливин + энстатит + хромшипелид) + хризотил  $\rightarrow$  оливин + тальк + антигорит  $\rightarrow$  оливин + + куммингтонит + магнетит. Возникшие относительно высокотемпературные ( $T = 600^\circ$ ) метаморфиты вновь регрессивно сменяются оливин-антигоритовыми породами, очевидно, наиболее устойчивыми в зоне метаморфизма. Прогрессивный ряд метаморфитов до полностью обезвоженных гарцбургитов ( $T > 750^\circ$ ) не сохраняется, но ретроградные ассоциации, последовательно сменяющие одна другую, представлены почти всегда: оливин + энстатит  $\rightarrow$  оливин + тальк  $\rightarrow$  оливин + антигорит. Последняя реакция осуществляется при  $P = 3-4$  кбар и  $T = 470-490^\circ$ . Появление этих ассоциаций в рассмотренной последовательности достигается, как это показано А. А. Маракушевым (1975), только в условиях  $P_{\text{H}_2\text{O}} \approx P_s$  в отличие от равновесия серпентин  $\rightarrow$  энстатит + форстерит, достижимого лишь при  $P_s > P_{\text{H}_2\text{O}}$ . Отсутствие переходных зон прогрессивного метаморфизма от серпентинизированных (с хризотилом) гарцбургитов к десерпентинизированным, а также резкая изменчивость и небольшие мощности метаморфических пород, возможно, связаны с тем, что на прогрессивной стадии метаморфизма тепловое воздействие было вызвано нестационарным потоком перегретых паров воды. При этом возникали только локальные области десерпентинизированных пород, сменяющихся парагенезисами, отвечающими устойчивым  $P - T$  условиям метаморфизма ( $T \sim 450-500^\circ$  и  $P \sim 2,5-3$  кбар).

Десерпентинизация и образование пегматоидных дунитов на контактах дунитовых тел с оливин-антигоритовыми породами хорошо связана с этими условиями метаморфизма: температура, превышающая границу устойчивости хризотила и брусиата, обусловила их десерпентинизацию, а высокое давление паров воды способствовало формированию пегматоидных структур. Переクリсталлизация хризотилизированных дунитов происходила с повышением магнезиальностью вторичного оливина. Высвобождавшееся железо концентрировалось в виде магнетита, что выражалось в резком увеличении магнитной восприимчивости пегматоидных дунитов (см. ниже табл. 8).

Таким образом, ультраосновные метаморфиты, по нашему мнению, — это продукты изменения хризотилизированных гарцбургитов и дунитов в формировавшихся тектонических зонах проскальзываивания, по которым происходила миграция перегретых паров воды (см. дискуссию в гл. 4).

Для более полной характеристики гипербазитов офиолитовой ассоциации Войкаро-Сынчицкого массива рассмотрим поведение малых элементов (Mn, Cr, Ni, Co, Ti и V) и свойства пород по профилям, пересекающим его от западного до восточного контактов (табл. 6, рис. 25). Местоположение профилей I—IV показано на рис. 19. Пробы анализировались в лаборатории Воркутинской КГРЭ методом приближенного количественного спектрального анализа с фотометрированием на спектрографе СГЭ-1 с программным полуавтоматическим устройством. Чувствительность и воспроизводимость (коэффициент вариации) составляли соответственно (%): для Mn — 0,006 и 23, для Cr — 0,05 и 15, для Ni — 0,06 и 14, для Co — 0,001 и 28, для Ti — 0,01 и 16 и для V — 0,001 и 26. Систематические расхождения с данными химанализов установлены для V, Mn и части проб Ni (табл. 7), поэтому в дальнейшем мы обсудим поведение только Cr, Ni, Co и Ti. Для удобства сопоставления результатов спектральных и химических анализов содержания элементов переведены в табл. 7 в соответствующие окислы, тогда как первичный материал на графиках рис. 25 использован в содержаниях элементов. В табл. 7 приведены значимые (при 5%-ном уровне значимости) коэффициенты корреляции по каждому профилю и по массиву в целом.

Хром не обнаруживает заметных вариаций в петрографических типах пород (см. табл. 6), колебляясь в пределах воспроизводимости отдельных анализов (0,32—0,39 вес. %), за исключением дунитов профиля IV (0,44 вес. %), гарцбургитов и войкаритов профиля II (0,66 и 0,53 вес. %). Основным носителем хрома в гипербазитах (более 70%) является хромшипелид, содержания которого во всех породах (с учетом некоторой разницы его составов) примерно одинаковы. Вместе с тем устанавливается резко неравномерное распределение хромита в дунитах (особенно в пегматоидных — см. профиль III на рис. 25, в), но оно в основном завуалировано при принятом интервале и методике опробования.

На всех профилях, особенно на I, II и IV (см. рис. 25, а, б, в), прослеживается наиболее общая закономерность: содержание  $\text{Cr}_2\text{O}_3$  скачкообразно возрастает от восточного контакта к западному независимо от петрографического типа пород, особенно вблизи западной границы или внутри главного поля войкаритов (см. рис. 19 и 25), что обычно коррелируется с Ni и (или) Mn (см. ниже). Эта закономерность может быть связана с увеличением как содержания хромшипелида в породах, так и его хромистости в западной части массива, примыкающей к западной полосе габброидов, или, возможно, при движении вниз по разрезу(?)

Парный корреляционный анализ выявил существование различнообразных связей хрома с другими элементами, меняющимися в различных типах пород и от профиля к профилю (см. табл. 7). Можно отметить в войкаритах положительную связь хрома с никелем, титаном с кобальтом.

Содержание  $\text{NiO}$  в различных породах на разных участках массива отклоняется от среднего меньше, чем содержание других малых элементов: коэффициент вариации  $\text{NiO}$  по всем породам составляет 28% при среднем содержании его 0,30% (см. табл. 6). Наиболее высокие содержания  $\text{NiO}$  зафиксированы в породах профиля II: среднее содержание в дунитах — 0,31%, в оливин-антигоритовых породах — 0,32 и гарцбургитах — 0,35%, что связано, возможно, с повышенной магнезиальностью пород этого профиля (положительная же связь никеля и магния хорошо известна). У западного и восточного контактов гипербазитового массива, в дунитах на границе с клинопироксенитами и в самих клинопироксенитах содержание  $\text{NiO}$  резко падает вследствие его выпуска в про-

Таблица 6

Средние весовые содержания ( $\bar{x}$ ), коэффициенты вариации ( $S$ ) и стандартные отклонения ( $V$ , %) окислов малых элементов в гипербазитах массива по профилям I—IV

Оксид	Дуниты				Войкариты				Гарцбургиты				$(\text{им} \cdot \text{го})_{\text{S}} / \text{V}$	$V_{\text{общ}}$	
	$\bar{x}/S$	$(\bar{x}/S)_{\text{II}}$	$\bar{x}/S_{\text{III}}$	$\bar{x}/S_{\text{IV}}$	$V$	$\bar{x}/S_{\text{II}}$	$\bar{x}/S_{\text{III}}$	$\bar{x}/S_{\text{IV}}$	$V$	$\bar{x}/S_{\text{II}}$	$\bar{x}/S_{\text{III}}$	$\bar{x}/S_{\text{IV}}$	$V$		
MnO	0,26 0,120	0,24 0,095	0,38 0,171	0,26 0,124	46	0,23 0,116	0,20 0,089	0,23 0,107	40	0,27 0,094	0,26 0,079	0,28 0,097	42	0,27 0,110	42
Cr <sub>2</sub> O <sub>3</sub>	0,39 0,317	0,39 0,263	0,36 0,160	0,44 0,213	65	0,30 0,096	0,53 0,251	0,32 0,228	52	0,32 0,172	0,66 0,336	0,38 0,126	60	0,36 0,193	60
NiO	0,28 0,107	0,31 0,108	0,25 0,061	0,24 0,133	36	0,29 0,072	0,32 0,073	0,29 0,091	24	0,31 0,076	0,35 0,119	0,34 0,059	21	0,30 0,084	28
CoO	0,023 0,020	0,021 0,009	0,016 0,005	0,010 0,005	57	0,022 0,010	0,022 0,008	0,010 0,004	39	0,020 0,009	0,024 0,011	0,014 0,005	58	0,017 0,009	54
TiO <sub>2</sub>	0,017 0,012	0,017 0,012	0,013 0,007	0,003 0,005	116	0,015 0,008	0,013 0,007	0,002 0,002	144	0,020 0,012	0,015 0,007	0,013 0,003	128	0,016 0,010	128
V <sub>2</sub> O <sub>3</sub>	0,021 0,012	0,027 0,021	0,018 0,012	0,012 0,006	118	0,021 0,012	0,018 0,009	0,012 0,006	60	0,030 0,015	0,027 0,018	0,024 0,009	104	0,022 0,013	104
Колич. анализов	35	33	24	21	113	44	35	20	108	128	8	44	28	208	429

цессе замещения (пироксенизации) дунитов. Это явление было детально описано А. А. и Л. П. Ефимовыми (1967) на Кытлымском массиве. Оно связано с концентрацией никеля преимущественно в оливинах. Никель обнаруживает устойчивую положительную связь с кобальтом во всех породах на разных участках массива. Отрицательная связь его с титаном и ванадием довольно устойчива в гарцбургитах и оливин-антогоритовых породах профилей II и IV.

Содержания кобальта в гипербазитах массива варьируют в пределах одного петрографического типа пород по разным профилям более значительно, чем между типами пород в целом по массиву. Среднее содержание окиси кобальта в гипербазитах 0,017%, стандартное отклонение — 0,009% (см. табл. 6). На этом фоне в породах профиля I содержания CoO составляют 0,023—0,020%, по профилю IV в этих же породах — 0,010—0,014%. Можно говорить о систематическом уменьшении количества CoO во всех петрографических типах гипербазитов от I к IV профилю, т. е. от северной части массива к южной. Почти во всех породах различных профилей кобальт имеет положительную связь с никелем и марганцем (см. табл. 7).

Титан (и ванадий) обнаруживает наибольшие коэффициенты вариации в гипербазитах (см. табл. 6). На фоне среднего содержания TiO<sub>2</sub> по всему массиву 0,013% наибольшее его количество — 0,016% — содержится в гарцбургитах и наименьшее — 0,008% — в войкаратах. Так же, как и для окиси кобальта, самые высокие средние содержания TiO<sub>2</sub> зафиксированы во всех породах по северным профилям I и II. В распределении ванадия наблюдается та же закономерность.

Учитывая, что составы гипербазитов, степень и характер их серпентинизации в южной и северной частях массива близки, можно предположить различное содержание примесей титана и ванадия в акцессорном хромшипелиде. Кроме того, количество титана и ванадия заметно повышается в алогарцбургитовых и аподунитовых серпентинитах с магнетитом, развитых в эндоконтактовой зоне гипербазитового массива на профилях I и II, а также в серпентинитах из зон тектонических нарушений, где известна магнетитовая и хроммагнетитовая минерализация (профили II и III).

В клинопироксенитах, плагиогранитах и альбититах с роговой обманкой и магнетитом содержание TiO<sub>2</sub> повышается до 0,040—0,080%, что согласуется с данными других исследователей Урала (Ефимов, Ефимова, 1967; и др.). Парный корреляционный анализ показал существование устойчивой положительной связи между титаном и ванадием во всех разновидностях гипербазитов по всем профилям (см. табл. 7). Между этими элементами, никелем и кобальтом в ряде случаев устанавливается отрицательная связь (кроме профиля I). Физические свойства гипербазитов (табл. 8) в наибольшей степени связаны с процессами метаморфизма.

Плотность гипербазитов прямо обусловлена степенью их серпентинизации. Средняя плотность неизмененных дунитов и гарцбургитов равна соответственно 3,09 и 3,06 г/см<sup>3</sup>, тогда как серпентинизированные их разновидности имеют среднюю плотность 2,76 и 2,79 г/см<sup>3</sup>; плотность оливин-антогоритовых пород несколько выше — 2,90 г/см<sup>3</sup>. Средние значения плотности петрографических типов пород на различных участках массива довольно выдержаны — величина стандартного отклонения плотности серпентинизированных гарцбургитов составляет 0,087 г/см<sup>3</sup>, а на профиле IV — всего 0,063 г/см<sup>3</sup>, такими же стандартными отклонениями характеризуются и плотности оливин-антогоритовых пород. Более высокие величины  $S$  для дунитов и свежих гарцбургитов обусловлены, вероятно, тем, что среди однородных серпентинизированных дунитов на контакте с войкаритами встречаются пятна свежих дунитов, так же, как и в телах свежих дунитов и гарцбургитов присутствуют серпентинизированные участки.

### Коэффициенты корреляции малых

Дуниты

I профиль

	Co	Ti	V	Cr	Mn
Ni	0,73	0,43	0,52		
Co		0,35	0,67		
Ti	0,44	0,37			
n=35		V	0,58	0,48	
r=±0,334			Cr		

II профиль

	Co	Ti	V	Cr	Mn
Ni	0,40		-0,44		
Co		0,76			
Ti	0,57				
n=33		V	0,46	0,46	
r=±0,34			Cr		

III профиль

	Co	Ti	V	Cr	Mn
Ni	-0,43		-0,47		
Co	-0,47		0,79	0,50	
Ti					
n=24		V			
r=±0,39			Cr		

Гардбургиты

	Co	Ti	V	Cr	Mn
Ni	0,52	-0,20			0,28
Co		0,50	0,22	0,80	
Ti	0,31	0,20			
n=128		V	0,21		
r=±0,18			Cr		

	Co	Ti	V	Cr	Mn
Ni					
Co					
Ti					
n=8		V			
r=±0,71			Cr	0,76	

Войкариты

	Co	Ti	V	Cr	Mn
Ni	0,88		0,58	0,45	0,48
Co	0,41	0,65			0,47
Ti	0,77	0,46			
n=44		V			
r=±0,30			Cr		

	Co	Ti	V	Cr	Mn
Ni	0,72		-0,78		-0,42
Co			0,58		
Ti	0,81	0,53			
n=55		V	0,51	0,70	
r=±0,33			Cr		

	Co	Ti	V	Cr	Mn
Ni	1,00		0,42	0,29	0,50
Co		0,48	0,16	0,69	
Ti	0,43				
n=207		V	0,33	0,38	
r=±0,15			Cr		

	Co	Ti	V	Cr	Mn
Ni			-0,77		-0,85
Co			0,43		
Ti	0,56	0,28			
n=76		V	0,39	0,32	
r=±0,23			Cr	0,25	

	Co	Ti	V	Cr	Mn
Ni	0,50		-0,55		
Co		0,43			
Ti	0,51				
n=68		V			
r=±0,24			Cr	0,25	

Таблица 7

элементов в гипербазитах

IV профиль

	Co	Ti	V	Cr	Mn
Ni					
Co			-0,64	0,44	
Ti	0,63				
n=21		V			
r=±0,43			Cr		

Все профили

	Co	Ti	V	Cr	Mn
Ni	0,50				
Co		0,28			0,32
Ti	0,30				
n=113		V	0,24	0,26	
r=±0,19			Cr		

	Co	Ti	V	Cr	Mn
Ni	0,68		0,53		
Co		0,69	0,55	0,81	
Ti					
n=28		V			
r=±0,37			Cr	0,17	

	Co	Ti	V	Cr	Mn
Ni	0,97		-0,65	0,56	0,65
Co			0,69	0,78	
Ti					
n=29		V	-0,58	0,58	
r=±0,37			Cr		

	Co	Ti	V	Cr	Mn
Ni	0,48		-0,27	0,28	
Co		-0,40	0,57	0,50	
Ti	0,45				
n=78		V		0,25	
r=±0,22			Cr	0,17	

	Co	Ti	V	Cr	Mn
Ni	0,45		-0,45	0,15	0,14
Co		0,16	0,49	0,14	0,42
Ti	0,47				
n=429		V	0,26	0,53	
r=±14			Cr	0,17	

чивости дунитов более значительны. Так, серпентинизированные дуниты из тел среди войкаритов имеют низкую магнитную восприимчивость — от 100 до 500 ед. CGSM, которая у контакта с войкаритами резко повышается до 1500—1700 ед. Свежие пегматоидные дуниты обладают высокой магнитной восприимчивостью — в среднем около 1500 ед., иногда она поднимается до 4000 ед. В обоих случаях при повышении магнитной восприимчивости в дунитах наблюдаются мелкозернистые агрегаты магнетита, ассоциирующие с антигоритом, хромшиелидом или волокнистым (серпентином). В пироксенитизированных дунитах (верлитах) и дунитах, непосредственно у контакта с клинопироксенитами краевых зон массива магнитная восприимчивость резко увеличивается до 4000—7000 ед. (профили III и IV, восточный и западный контакты, профиль II, западный контакт, см. рис. 25), что связано с повышением железистости оливина в этих породах (Ефимов, Ефимова, 1967) и с появлением в них постепенно магнетита.

Средние значения магнитной восприимчивости войкарит

Таблица 8

Основные параметры распределения плотности и магнитной восприимчивости гипербазитов по профилям

№ профиля	Порода	Колич. анализов	$\sigma$ , г/см <sup>3</sup>		$\sigma_{CGSM}$
			$\bar{x}$	s	
I	Дунит свежий	17	3,09	0,115	1400
	Гардбургит свежий	26	3,06	0,123	1500
	Дунит серпентинизированный	19	2,66	0,0775	350
	Гардбургит	101	2,81	0,091	300
	Войкарит	44	3,00	0,079	1400
II	Дунит серпентинизированный и свежий	39	2,79	0,127	480
	Гардбургит серпентинизированный и свежий	7	2,96	0,081	350
	Войкарит	35	2,87	0,106	1300
III	Дунит серпентинизированный	19	2,81	0,1051	70
	Гардбургит	33	2,82	0,0947	130
IV	Дунит серпентинизированный и свежий	21	2,74	0,095	510
	Гардбургит серпентинизированный	26	2,63	0,062	200
	Войкарит	25	2,75	0,072	1800
Всего по профилям	Дунит серпентинизированный	98	2,76	0,1066	320
	Гардбургит	167	2,79	0,0867	270
	Войкарит	104	2,90	0,0867	1400

Общая картина изменчивости плотности и магнитных свойств гипербазитов в поперечных к структурам профилях характеризует разрез следующим образом. На севере массива (профиль I), в восточной его части над полем однородных гардбургитов физические свойства почти не варьируют. В приосевой части массива над зоной оливин-антigorитовых пород с телами пегматоидных дунитов, свежих гардбургитов и гардбургитов с куммингтонитом значения этих характеристик скачкообразно увеличиваются и резко варьируют. В западной части над выходами гардбургитов и дунит-гардбургитов кривая колебаний плотности плавно понижается до 2,8 г/см<sup>3</sup>, но магнитная восприимчивость в этой части массива варьирует также резко, как и в приосевой зоне, что связано с обилием жил альбититов и амфиболовых пород. На профиле II, на участке Лагортинского перекима массива, где особенно интенсивно проявлены разнообразные преобразования гипербазитов, их плотностные и магнитные свойства резко меняются, оставаясь в среднем повышенными по сравнению с таковыми на других участках (см. рис. 25, б).

На профилях III и IV кривые вариаций плотности и магнитной восприимчивости симметричны — значения этих величин заметно повышены у западного и восточного контактов и слабо варьируют в центральной части массива (см. рис. 25, в, г). Такой характер кривых четко отражает симметричное расположение зон клинопироксенитации и относительно простое строение центральных участков в средней и южной частях массива.

Таким образом, по физическим свойствам пород разрез гардбургитовой зоны, затронутой только  $\alpha$ -хризотиловой серпентинизацией, резко отличается от разрезов оливин-антigorитовой и дунитовой зон относительно низкими и стабильными значениями плотности и магнитной восприимчивости. Повышенные значения и резкие вариации этих величин в пределах зон ультраосновных метаморфитов показывают, что метаморфизм  $\alpha$ -хризотилизованных гардбургитов сопровождался их обезвожива-

нием и неравномерным выделением магнетита, что согласуется с данными рассмотренных выше геологических и петрографических наблюдений, подтверждающими вывод о наложении характере зон ультраосновных метаморфитов.

Породы дунит-верлит-клинопироксенит-габбровой (полосчатой) серии в неизмененных разрезах Пайерского покрова подстилают и перекрывают гардбургиты. Непосредственно к последним примыкает зона дунитов мощностью до сотен метров, за которой следует зона частого и неритмичного чередования эшелонированных линз и пропластков клинопироксеновых дунитов, верлитов, клинопироксенитов, связанных постепенными переходами. Мощность этой зоны достигает местами 1 км, тогда как мощность отдельных тел меняется от долей до сотен метров. Текстурам пород зоны переслаивания присущи пятнистость, неравномерная зернистость, беспорядочная ориентировка и изменчивость количественных соотношений породообразующих минералов. Восточнее гардбургитов дуниты и верлиты сменяются через троктолиты битовитовыми ( $An_{85-89}$ ) габбро-поритами и эвкритами, слагающими большую часть серии. Они отличаются однородной выдержанной равномернозернистой структурой. Для их состава характерны пониженная кремнистость, высокая магнезиальность, а также устойчивые высокие содержания окиси кальция и глинозема при низком содержании титана (табл. 9, см. рис. 20). По составу восточные битовитовые габбро-пориты и эвкриты аналогичны габбро срединно-океанических поднятий (Bailey, Blake, 1974; и др.).

Среди восточных габбро-поритов присутствуют ксенолиты дунитов и верлитов, ориентированные вдоль общего простирания границ полосчатой серии. Мощность и протяженность их от нескольких до сотен метров. Тела этих пород имеют симметричное строение: дуниты центральной части окружены оторочкой верлитов, клинопироксенитов, сменяющихся троктолитами к контакту с габбро. Такая же зональность наблюдается и в экзоконтактах жил габбро-поритов, проникающих в дуниты.

Таблица 9

## Химические анализы пород полосчатой серии

Оксид	Дуниты		Верлиты		Клинопироксениты		Габбро-пориты	
	72-Б	H-123	79-Б	H-119	79-А	55-Б	3311	2334-Б
$SiO_2$	34,74	34,66	44,00	41,62	50,76	51,30	46,85	46,80
$TiO_2$	0,03	0,03	0,07	0,04	0,11	0,09	0,73	0,13
$Al_2O_3$	1,48	0,84	1,75	1,03	2,88	2,88	15,57	17,39
$Cr_2O_3$	0,82	0,64	0,31	0,19	0,24	0,50	0,01	0,016
$Fe_2O_3$	6,13	7,42	4,43	5,15	3,62	1,39	4,33	0,65
FeO	3,89	3,89	7,49	3,89	4,82	3,60	6,19	7,69
MnO	0,12	0,13	0,16	0,14	0,15	0,11	0,25	0,13
MgO	40,50	40,05	29,02	33,31	19,75	18,88	6,95	10,25
CaO	0,40	Сл.	7,95	7,14	14,34	18,92	13,02	12,61
$Na_2O$	0,08	0,05	0,14	0,10	0,29	0,27	1,58	0,98
$K_2O$	Сл.	0,05	0,05	0,05	0,05	Сл.	0,10	0,04
NiO	0,06	0,15	0,01	0,03	0,02	0,02	Не обн.	0,004
П. п. п.	11,49	12,51	4,65	7,33	2,91	1,83	4,34	2,68
Сумма	99,73	100,32	100,30	100,01	99,94	99,79	99,92	99,67
f, %	11	13	18	12	18	12	45	31

Примечание. В левых колонках приведены составы пород из западных типов разрезов, в правых — из восточных.

Породы полосчатой серии детально охарактеризованы В. Ф. Морковкиной (1962, 1967). Мы лишь отметим, что химические составы пород зоны переслаивания, окаймляющие гардбургиты с запада и востока (см. табл. 9), близки, а общая железистость оливина нарастает от дунитов к габбро. Наиболее железистые дуниты, контактирующие с габбро, по составу близки к метадунитам Кытлымского массива (Ефимов, Ефимова, 1967). Пироксены клинопироксенитов полосчатой серии имеют более железистый состав и содержат больше титана, меньше кальция и хрома, чем клинопироксены гардбургитов и вебстеритовых жил.

Резкое несогласие структуры гардбургитов (см. рис. 19, 21) и границ пород полосчатой серии, а также ее перечисленные характеристики приводят к выводу, что верлиты, дуниты, клинопироксениты и троктолиты зоны переслаивания представляют собой продукты реакционных взаимоотношений между габбро-анортитами и твердыми блоками гардбургитов. Оливин-анортитовый парагенезис троктолитов отражает формирование пород реакционной зоны при низких давлениях и температурах гранулитового уровня.

В разрезе Пайерского покрова по метаморфизму породы полосчатой серии резко различны. Западнее (в подошве гардбургитов) наряду с верлитами и клинопироксенитами, содержащими хромшипелид, широко распространены шпинелевые (герцинит-плеонастовые) верлиты, вебстериты и лерцолиты. Шпинелевые лерцолиты имеют очково-полосчатые текстуры и переменное соотношение минералов с варьирующей и, в целом, повышенной железистостью. В этих лерцолитах в ряде случаев устанавливается замещение оливии-плагиоклазового парагенезиса шпинель-клинопироксен-ортопироксен-оливиновым, что отвечает гранулитовой фации метаморфизма средних давлений. Наблюдаются также шпинель-амфибол-ортопироксен-оливиновые породы с коронитовыми структурами, особенно четко наследующими текстуры плагиоклазодержащих гипербазитов, а также эклогитоподобные породы с реакционным гранатом (фото 9). По всем этим породам развиваются гранат-диопзит-рогообманковые амфиболиты, фиксирующие более поздний этап амфиболитового метаморфизма иного структурного плана.

Габбро восточной полосы превращены на значительных площадях в своеобразные актинолит-анортитовые ( $An_{90-90}$ ) породы с параллельно-полосчатой и складчато-полосчатой текстурой, среди которых габбро, верлиты и клинопироксениты содержатся в виде тектонических блоков. Контакты этих пород выражены резкой сменой массивного габбро освещенной актинолит-анортитовой породой, в которой пироксены замещены актинолитом, а анортит сохраняется свежим. Подобные изменения габброидов были описаны на Срединно-Атлантическом хребте как метаморфизм погребения и позднее рассматривались как метаморфизм океанического дна в условиях зеленосланцевой фации (Миасиро, Сидо, Юинг, 1973). По химическому составу эти породы района, как и их аналоги на Срединно-Атлантическом хребте, по сравнению с обычными габбро обеднены железом, кремнием и обогащены магнием, кальцием и алюминием (см. табл. 9 и рис. 20). По-видимому, эти преобразования габбро отражают этап метаморфизма зеленосланцевого уровня в приповерхностной части разреза океанической коры.

Толща диабазов и габбро-диабазов располагается восточнее и выше по разрезу габбро-гипербазитового комплекса (см. рис. 19). Подошва толщи с резким несогласием ложится на различные породы полосчатой серии и наклонена на юго-восток ( $10-60^\circ$ ). В основании разреза, как правило, залегают средне- и крупнозернистые габбро-диабазы (до 600 м), состоящие из роговой обманки и плагиоклаза ( $An_{30-50}$ ), часто преобразованные в пятнистые, пегматоидные амфиболовые габбро и габбро-амфиболиты. В них содержатся тектонические блоки дунитов, пироксенитов и габбро, в различной степени амфиболизированных.

Верхняя часть толщи представлена диабазами со структурами от афировой до крупнопорфировой. Они слагают параллельные дайки (Morgan, Vine, 1971), часто сложные, ветвящиеся, с многочисленными вкраплениями дайки в дайку и симметричными или односторонними зонами закалывания. Закалочные зоны имеют общие простирации с границами гипербазит-габбро, вертикальные либо наклонены к юго-востоку ( $60-80^\circ$ ), круче подошвы толщи. Соотношения габбро-диабазов и диабазов сложные: встречаются дайкообразные тела и жилы габбро-диабазов, секущие диабазы и включающие их угловатые ксенолиты; вместе с тем габбро-диабазы пронизаны дайками диабазов и содержатся в них в качестве ксенолитов. Многократные попаременные внедрения этих пород одна в другую, очевидно, свидетельствуют о близком времени их образования. Диабазы даек также содержат ксенолиты пород полосчатой серии, однако нигде в районе не наблюдалось, чтобы дайки диабазов прорывали породы подстилающего габбро-гипербазитового комплекса \*.

В верхней части толщи диабазов встречаются ксенолиты, сложенные кремнистыми сланцами, вторичными кварцитами и породами с реликтовой слоисто-обломочной структурой ( $SiO_2 = 60-77\%$ ;  $Na_2O + K_2O = 1-11\%$ ). Среди диабазов содержатся редкие и маломощные дайки альбитофиров. Общая мощность «толщи» не превышает 1-1,5 км.

#### Лагоргинский покров

Описываемый покров, крайний восточный в Войкарском пакете, своей центральной частью перекрывает различные горизонты разреза подстилающего Пайерского покрова. Его южный фланг надвинут на метабазиты Хулгипского покрова, а северный, между массивами Рай-Из и Войкаро-Сынинским, — на карбонатно-кремнисто-терригенно-базальтоидные толщи Молюшорского покрова, метаморфизованные в эпидот-амфиболитовой фации. В подошве покрова располагается зона линейно-тонкополосчатых амфиболитовых бластомилонитов андезин-рогообманкового состава.

Участками амфиболиты содержат пропластки плагиомигматитов, а также жилы и линзы плагиогранитов. Мощность зоны не превышает первых сотен метров. Бластомилониты содержат тектонические блоки гипербазитов, габбро (в том числе и актинолит-анортитовые) и диабазов, испытавших разные стадии амфиболитизации. Количество и размеры этих включений убывают на восток и вверх по разрезу зоны амфиболитов.

Полосчатость пород наклонена к юго-востоку ( $40-60^\circ$ ) и очерчивает изоклинальные складки течения, опрокинутые к северо-западу. С главной зоной амфиболитовых бластомилонитов подошвы Лагоргинского покрова сопряжены многочисленные оперяющие зоны бластомилонитов того же состава, которые проникают в породы кровли подстилающих покровов, расчленяют их на блоки и включают обломки пород нижележащих покровов. Это, вероятно, связано с тем, что при надвигании Лагоргинского покрова породы, «дробившиеся» в его подошве, преобразовались в амфиболитовые бластомилониты, которые спаяли эти блоки и соприкасавшиеся покровы.

Разрез Лагоргинского покрова наращивается толщей тоналитов кварц(биотит)-плагиоклаз-рогообманкового состава, мощность которых не превышает нескольких сотен метров. На северном и южном флангах покрова амфиболиты сменяются тоналитами через зону частого переслаивания амфиболитов, лейко- и меланократовых тоналитовых мигматитогнейсов полосчатого, реже артеритового облика. Последние содержат гнейсы пятнистые, пегматоидные амфиболовые габбро и габбро-амфиболиты. В средней части покрова амфиболиты и мигматито-гнейсы соприкасаются.

\* По данным А. П. Казака, такие соотношения наблюдались.

храились не повсеместно, и тоналиты контактируют с габбро и диабазами подстилающего Пайерского покрова, а жилы тоналитов проникают в толщи этих пород на десятки — сотни метров от контакта. В эндоконтактовой зоне тоналиты содержат ксенолиты клинопироксенитов, габбро, диабазов и амфиболитов, количество которых убывает внутрь тоналитов. В зоне западного контакта они часто имеют полосчатые бластомилонитовые структуры, в которых полосчатость наклонена на юго-восток (до 60°) и изогнута в складки течения, опрокинутые к северо-западу.

Соотношения пород Лагоргинского покрова с подстилающими толщами и состав ксенолитов указывают на то, что они образовались последними в офиолитовой ассоциации района. Определения абсолютного возраста тоналитов калий-argonовым методом (Лупанова, Маркин, 1964) позволяют наметить время окончания формирования офиолитовой ассоциации: на флангах покрова они имеют возраст 420—440 млн. лет, в средней части — 300—350 млн. лет. Эти данные согласуются с фактами нахождения обломков тоналитов в конгломератах среди среднедевонских вулканитов, перекрывающих восточнее породы Лагоргинского покрова. Следовательно, офиолитовая ассоциация в ее окончательном объеме сложилась в предорогенный этап геологической истории района.

Таким образом, основные особенности Войкаро-Сыньинского массива сводятся к следующему. На Войкаро-Сыньинском массиве породы офиолитовой ассоциации обнажаются в трех тектонических покровах, образующих единый пакет. Их подстилают покровы, сложенные преимущественно ордовикско-девонскими вулканогенно-осадочными толщами некомпенсированной впадины, располагающейся на краю континента и примыкающей с востока к склону вулканического поднятия. Перекрываются офиолиты породами формации островных дуг. Все покровы надвинуты на граувакковые и флишевые толщи позднего палеозоя. В формировании структуры палеозоид этой части Урала отражены все последовательные стадии образования офиолитовой ассоциации, вулканического поднятия и совмещение их с краем континента.

Офиолитовая ассоциация сложена комплексами: а) гипербазитов, б) габбро, в) диабазов и г) амфиболитов, плагиогранитов и топалитов, представляющих в приведенной последовательности более молодые образования. Выдержанность состава гарцбургитов, их текстурно-структурные особенности, по-видимому, обусловлены образованием при рестировании верхней мантии. Пластические деформации полосчатости связаны с этапом течения гарцбургитов мантии в твердом состоянии, предшествовавшим «перемешиванию» их с габбро. Активное реакционное взаимодействие габбро с более древними дискоидальными блоками гарцбургитов, вызвавшее возникновение пород полосчатой серии (дунитов, верлитов, клинопироксенитов и троктолитов), происходило, вероятно, на границе коры и верхней мантии.

Ранний этап метаморфизма габбро и гипербазитов в коровых условиях выразился в образовании гранатовых гранулитов по габбро и герцинит-оливин-двусироксеновых пород по троктолитам, подстилающим гарцбургиты. Этот метаморфизм связан с возрастанием давления на локальных участках в подошве габбро-тикербазитового блока, сопровождавшим, по-видимому, начальные стадии его перемещения на более высокий тектонический уровень. В верхней части разреза формирующейся коры габбро испытали своеобразный метаморфизм зеленосланцевой фации (метаморфизм океанического дна, по А. Миясиру и др., 1973); к концу этого этапа, вероятно, закончилась и ранняя массовая серпентинизация гарцбургитов и дунитов.

Образование диабазов комплекса параллельных даек отражает последующий этап самостоятельного (?) внедрения базальтовой магмы между сформированным габбро-гипербазитовым комплексом и океаническими осадками. Возможно, это внедрение имеет прямую связь с накопле-

нием базальтоидных вулканитов досреднедевонской части разреза в районе.

Окончательный облик офиолитовой ассоциации в значительной мере обусловлен процессами локального метаморфизма, сопровождавшего глубинное шарирование и скучивание гипербазитов, габбро и диабазов. На этом этапе в пологих зонах проскальзываивания внутри гипербазитов образовались оливин-антигоритовые, куммингтонит-оливиновые породы и сопутствующие им ультраосновные метаморфиты, в габбро-поритах и гранатовых гранулитах, подстилающих гипербазиты, — гранат-диопитовые амфиболиты, в габброидах, перекрывающих гипербазиты, и диабазах — плагиоклаз-роговообманковые амфиболиты. Метаморфизм амфиболитовой фации на этапе транспортировки спаял все группы пород офиолитовой ассоциации в единое тело сложно построенного фундамента островной дуги.

В этих представлениях содержатся дискуссионные моменты, которые будут обсуждены в следующей главе.

## СОПОСТАВЛЕНИЕ И ПЕТРОГРАФО-МИНЕРАЛОГИЧЕСКАЯ ХАРАКТЕРИСТИКА ОФИОЛИТОВ И МЕТАМОРФИЧЕСКИХ ПОРОД ПОЛЯРНОГО УРАЛА

### ОФИОЛИТОВЫЕ КОМПЛЕКСЫ ПОРОД

Из предыдущего описания видно, что на многих участках Полярного Урала вскрываются группы пород, близких по составу и условиям образования, представляющих в том или ином объеме офиолитовую ассоциацию. С частью из них связаны их метаморфизованные эквиваленты, или породы поздних этапов преобразования. Суммируем главные черты этих породных групп.

#### 1. Дунит-гарцбургитовая формация \*.

а. В первичном виде включает дунитовую и лерцолит-гарцбургитовую серии пород, связанные сетчато-полосчатой дунит-гарцбургитовой переходной зоной. В Войкаро-Сынинском массиве эта зональность представлена наиболее полно, но лерцолиты здесь присутствуют в небольшом объеме. В массиве Рай-Из и в Хадатинском поясе присутствуют преимущественно породы переходной зоны и гарцбургит-лерцолитовой серии, которая представлена здесь гарцбургитами и подчиненными лерцолитами.

б. В результате метаморфизма пород формации образуются вторичные дуниты, гарцбургиты, оталькованные и куммингтонитизированные гарцбургиты и оливин-антigorитовые породы в Войкаро-Сынинском массиве, вторичные идиобластовые гарцбургиты и энстатиты в ассоциации с метагаббро, а также оливин-антigorитовые породы в массиве Рай-Из, вторичные мелко-, среднезернистые гарцбургиты и лерцолиты в массиве Сым-Кеу и широко развитые в Хадатинском поясе оливин-куммингтонит-антigorитовые породы.

Дунит-широксенит-габбровые формации под тем или иным названием выделялись всеми исследователями гипербазитов Полярного Урала, хотя их генезис (магматический или метасоматический) оставался предметом длительной дискуссии (Заварицкий, 1932; Морковкина, 1967; Виноградская, 1961; Добрецов, Попомарева, 1965; Ефимов, Ефимова, 1967; и др.). В настоящее время, учитывая особенности состава, метаморфизма, взаимоотношений габброидов и данные предварительных геохронологических исследований, целесообразно выделить две формации: дунит-верлит-клинопироксенит-габбровую и дунит-лерцолит-вебстерит-метагаббро-поритовую.

2. Дунит-верлит-клинопироксенит-габбровая формация слагает широкую полосу вдоль восточного края Войкаро-Сынинского массива (см. рис. 19), участки к югу от массива Рай-Из (гора Черная) и к юго-востоку от массива Харче-Рузь, а также, возможно, дунит-широксенитовый комплекс восточной части массива Сым-Кеу, примыкающий к вторичным мелкозернистым гарцбургитам. Среди широксенитов резко преобладают клинопироксениты, габбро эвкритового типа (аортит-диопси-

довые), включая троктолиты и аортозиты. Во всех случаях к полосе пород вышеописанной формации примыкает собский тоналит-плагиогранитный комплекс, представляющий, возможно, закономерный член единого формационного ряда \*. В Войкаро-Сынинском массиве с этой формацией пространственно связан также габбро-диабазовый дайковый комплекс в ассоциации с метаморфизованными вулканогенно-осадочными породами.

Вторичные метаморфизованные породы этой формации представлены габбро-амфиболитами, амфиболитами, амфиболовыми бластомилонитами обычно с цоизитом, иногда с куммингтонитом, но всегда без граната. Образовались они при низких давлениях. Аналогичные амфиболиты и ассоциации развиваются за счет дайкового комплекса и вулканогенно-осадочных пород нижней части разреза (O—S?). В амфиболовых бластомилонитах к югу от Рай-Иза (гл. 3) отмечаются блоки плагиогранитов собского комплекса. Таким образом, возраст этого метаморфизма, вероятнее всего, не древнее силура.

3. Дунит-лерцолит-вебстерит-метагаббро-поритовая формация включает метагаббро-пориты, двушироксеновые гранулиты, эклогитоподобные породы, шпинелевые и гранат-шипинелевые вебстериты и лерцолиты вдоль западного края Войкаро-Сынинского массива, габбро-гнейсы, метагаббро-амфиболиты, шпинелевые и шпинель-гранатовые вебстериты малыкского комплекса, а также лерцолиты и ортошироксениты массива Сым-Кеу. В массиве Рай-Из к этой формации относятся, возможно, тела гранатовых амфиболитов и метагаббро (и ассоциирующих метасоматических пород) в центральной зоне метаморфизма. Во всех случаях габброиды гораздо более железистые и титанистые, чем эвкритовые габбро предыдущей формации (см. рис. 20), и в среднем соответствуют толентам (траппам). Изредка отмечаются жилы плагиоаплитов и альбитовых «плагиогранитов». И первичные, и вторичные метаморфические ассоциации образуются в условиях повышенных давлений (ассоциации со шпинелью, гранатом, эклогитоподобные породы и др.) \*\*. Ряд K-Ag дат в малыкском комплексе показывает докембрийский возраст. Самые молодые цифры в малыкском комплексе, габбро-амфиболитах Рай-Иза и западной окраине Войкаро-Сынинского массива соответствуют интервалу 405—468 млн. лет, т. е. возрасту собского комплекса (400—440 млн. лет), и, вероятно, древнее окончания метаморфизма восточной формации.

4. По мнению Н. Л. Добрецова (1974), следует выделять также метаморфическую эклогит-глаукофан-сланцевую формацию, которая представляет метаморфизованную древнюю офиолитовую формацию. Она включает значительную часть западного метаморфического пояса (см. гл. 1—3), т. е. гранатовые перидотиты, эклогиты и гранатовые плагиогнейсы марункеуского комплекса (Удовкина, 1971); эклогиты и гранат-содержащие гипербазиты в меланите Рай-Иза; эклогиты, жадеититы и гранат-глаукофановые породы в северо-западном обрамлении Войкаро-Сынинского массива; эклогит-глаукофан-сланцевую и глаукофан-сланцевую пяровскую свиту и ее аналоги в районе р. Щучья, в северной пластине массива Рай-Из, в нижней пластине (?) Хулгинского покрова и в других местах. Цифры абсолютного возраста в метаморфических породах этой формации аналогичны предыдущим (800—1500?) — древние даты, 402—500 млн. лет — более молодые). По мнению А. А. и Г. Н. Савельевых, эклогиты и часть глаукофановых сланцев — самостоятельные разновоз-

\* По мнению ряда исследователей (Морковкина, 1967; Буртман и др., 1974), тоналиты и плагиограниты развиваются по габбро-амфиболитам.

\*\* Отнесение поздних продуктов метаморфизма (гранатовых и цоизитовых амфиболитов) к этой же формации, по мнению А. А. и Г. Н. Савельевых,омнительно, учитывая структурное несогласие между габброидами и амфиболитами и наложенный характер амфиболизации. Но те же особенности характерны для любых метаморфических образований (например, оливин-антigorитовых пород).

\* Согласно проекту «Офиолиты континентов», вместо термина «формация» предлагается термин «серия» (вулканическая серия, плагиогранитная серия и др.). В советской геологической литературе более распространен термин «формация».

растные образования. Соотношения этих пород с другими метаморфическими породами Западного пояса рассмотрим ниже.

Ряд вопросов возраста и происхождения выделенных формаций остаются дискуссионными, в частности, как видно, некоторые разногласия остались и между авторами настоящей работы. Однако перечисленные существенные различия между четырьмя группами пород признаются всеми, поэтому важнее сейчас подчеркивать не разногласия, а необходимость выделения указанных групп пород (в ранге формаций или ином качестве) и дифференцированного подхода к проблемам их генезиса.

Приведем краткую характеристику выделенных формаций и главных типов составляющих их пород, делая упор на петрохимические и минералогические отличия с учетом главнейших тектонических и структурно-текстурных особенностей, отмеченных выше при описании массивов

### Дунит-гарцбургитовая формация

Эта формация присутствует во всех массивах. Ее структурный план обнаруживает четкую автономность, элементы его срезаются под углом как дунит-пироксенит-габброидными формациями, так и наложенным зонами метаморфических преобразований. В этом смысле эта формация является как бы фундаментом для дунит-пироксенит-габброидных формаций \* и отделена от них структурным несогласием.

Преобладающей во всех массивах, как уже отмечалось, является лерцолит-гарцбургитовая ассоциация «верхней зоны». В свою очередь, среди пород этой ассоциации резко преобладают гарцбургиты, на относительно небольших площадях встречаются лерцолиты, среди которых в резко подчиненных количествах присутствуют небольшие согласные и секущие тела дунитов, более характерные для сетчато-полосчатого комплекса «переходной зоны».

В гарцбургитах содержание энстатита составляет в среднем 10–20%, в полосчатых разностях — от 5 до 25%. Клинопироксена (диопсид) около 5%, в лерцолитах — 10–14%, характерна акцессорная примесь (1–2%) бурого хромшипинелида. Составы этих минералов в гарцбургитах,

дунитах и лерцолитах практически не различаются (табл. 10). Оливин и энстатит имеют примерно одинаковую железистость — 8,5–11%, коэффициент распределения ( $K_p$ ) близок к 1,0 (рис. 26) (Савельева, 1972). В Войкаро-Сынгинском массиве минералы несколько более магнезиальные. Зерна оливина более крупные (от 1,0 до 6–8 мм), характерна сильная деформированность его зерен (волнистое или мозаичное погасание, трансляционные двойники). Энстатит образует более мелкие (от 0,5 до 3–4 мм)

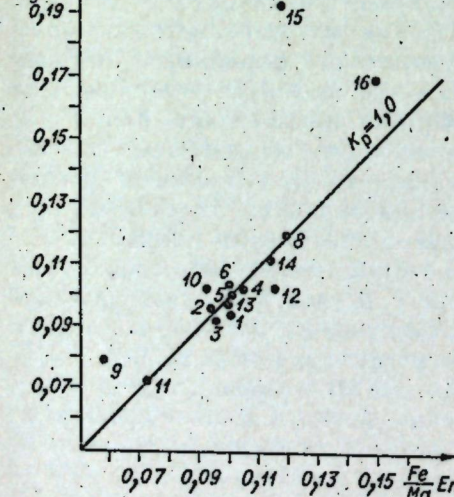


Рис. 26. Корреляция железистости сосуществующих оливина и энстатита. Номера образцов см. в табл. 11. Точки 15 ( $K_p = 1,64$ ) и 16 ( $K_p = 1,45$ ) — экспериментальные данные (Green, Ringwood, 1964).

\* Различия в составе «фундамента» для двух вышеупомянутых формаций выявлены недостаточно, хотя и отмечается большая хромистость в западной части гибербазитов Войкаро-Сынгинского массива, повышенная доля лерцолитов и пониженная — дунитов в Сымкеуском массиве и др. (Прим. ред.).

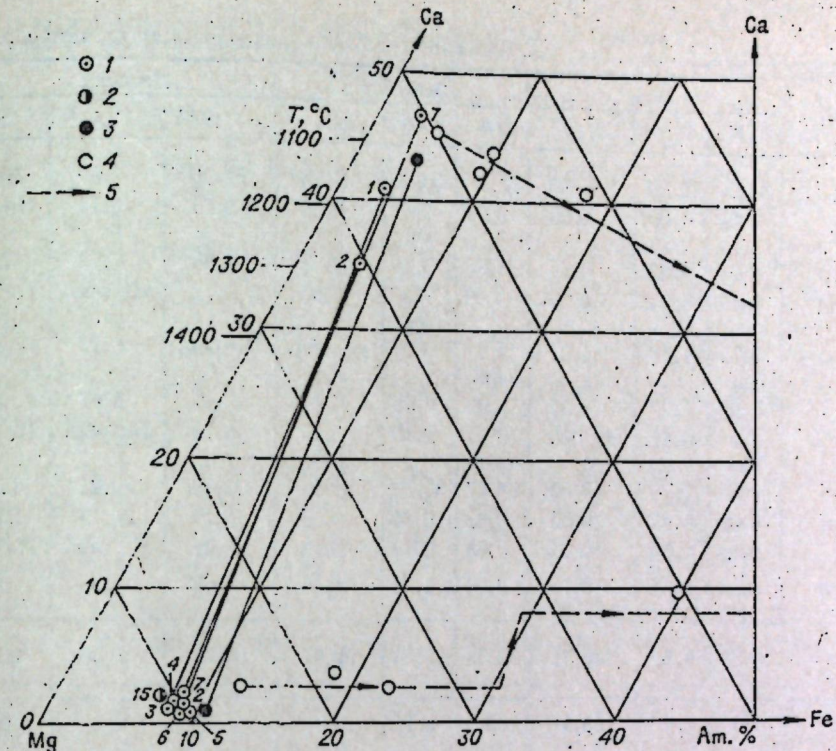


Рис. 27. Диаграмма составов сосуществующих пироксенов. Номера образцов см. в табл. 11.

1 — минералы из Войкаро-Сынгинского массива; 2, 3 — экспериментальные точки при разных давлениях; 4 — минералы из расслоенных интрузий; 5 — направления изменения составов пироксенов дифференциации магмы.

неправильные или ксеноморфные зерна. В центральных частях крупных зерен иногда наблюдаются структуры распада — тончайшие пластинчатые вrostки клинопироксена параллельно (010). Нередко энстатит образует веретенообразные скопления и прерывистые цепочки зерен, в которых четко виден ксеноморфизм энстатита. Оливин замещается петельчатым лизардитом и антигоритом, энстатит — агрегатом талька и tremolita (?), реже баститом или куммингтонитом (около зон метаморфизма). Степень серпентинизации 20–80%, в среднем около 50–60% (см. табл. 3–5).

Диопсид в виде мелких ксеноморфных зерен обычно тяготеет к скоплениям энстатита. Судя по оптическим свойствам и отдельным химанализам (табл. 10, 11), содержит примесь клиноэнстатита до 10–15%. Такие пироксены соответствуют температуре 1250–1300°C (рис. 27). Коэффициент распределения железа между энстатитом и диопсидом (рис. 28) колеблется в пределах 1,2–1,6. Диопсид частично замещается tremolитом. Хромшипинелид образует мелкие (0,2–0,5–2 мм) ксеноморфные зерна с плавными «изъеденными» очертаниями. По составу акцессорный хромшипинелид в массиве Рай-Из содержит 34–42%  $\text{Cr}_2\text{O}_3$  и 33–25%  $\text{Al}_2\text{O}_3$ , в Войкаро-Сынгинском

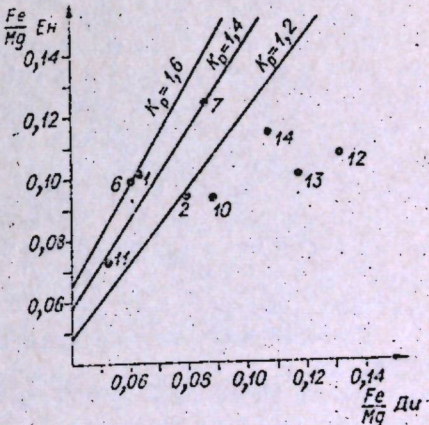


Рис. 28. Корреляция железистости энстатита и диопсида. Номера образцов см. в табл. 11.

Таблица 10

## Химические анализы породообразующих минералов из

Описел	Оливин			Энстатит			Диопсид		
	1118	1410	2514	1118	1410	2514	1118	1410	2514
SiO <sub>2</sub>	41,21	42,00	41,50	51,78	50,56	53,18	51,20	51,00	51,68
TiO <sub>2</sub>	0,01	0,007	0,03	0,04	Не обн.	0,04	0,13	0,14	Не обн.
Al <sub>2</sub> O <sub>3</sub>	0,21	0,22	0,53	1,63	3,15	3,05	1,83	3,62	3,85
Cr <sub>2</sub> O <sub>3</sub>	0,15	0,04	0,05	0,40	Не обн.	0,40	0,72	Не обн.	Не обн.
Fe <sub>2</sub> O <sub>3</sub>	Не обн.	1,13	1,67	Не обн.	»	Не обн.	Не обн.	0,70	»
FeO	8,28	7,27	8,51	6,08	6,48	6,12	3,17	1,67	0,90
MnO	Не обн.	0,11	Не обн.	0,14	0,16	0,14	0,14	Не обн.	Не обн.
MgO	48,36	47,30	48,00	36,67	35,83	34,46	22,36	20,25	17,81
CaO	0,08	0,12	0,09	0,62	0,84	1,18	18,14	20,72	23,18
NiO	0,22	0,16	0,23	0,08	0,10	0,12	0,07	Не обн.	Не обн.
П. и. п.	0,36	1,31	0,70	2,08	1,92	1,08	1,93	1,50	0,66
Сумма	99,88	99,67	100,31	99,52	99,04	99,97	99,69	99,50	99,08
f, %	9,1	8,9	9,4	8,6	9,1	8,9	7,4	6,0	5,9
Eh	—	—	—	8,5	9,0	8,8	60,1	55,5	50,1
Fs	—	—	—	90,4	89,5	89,0	4,8	3,5	3,1
Wo	—	—	—	1,1	1,5	2,2	35,1	41,0	46,9

Примечание. Образцы 1118, 1410, 2514 — составы наиболее типичных минералов из (по данным И. Е. Кузнецова и др.); Р-9, В-13 и Д-3е — из равномернозернистых дунитов, остальные —

(табл. 12) — 27—48% Cr<sub>2</sub>O<sub>3</sub> и 20—35% Al<sub>2</sub>O<sub>3</sub> при примерном равенстве или преобладании Mg над Fe<sup>2+</sup>, т. е. относится к никотиту. В сегрегациях в дунитах и хромитовых рудах он представлен хромникотитом: содержание Al<sub>2</sub>O<sub>3</sub> меньше (от 19 до 7—8%), а Cr<sub>2</sub>O<sub>3</sub> — повышается до 51—64%. Аксессорный хромшпинелид обрастает магнетитом, а в рудных хромникотитах количество магнетита возрастает до 10%. Средние составы гарцбургитов и лерцолитов (см. табл. 3—5) не обнаруживают существенных различий в разных массивах.

Сетчато-полосчатый дунит-гарцбургитовый комплекс образует «переходную» зону, где паряду с гарцбургитами присутствует значительное количество жил дунитов, секущих гарцбургиты. Дуниты полей, окаймляющих и проникающих в гарцбургиты (см. рис. 19, 21), практически не отличаются от дунитов переходной зоны. Среди них преобладают относительно равномернозернистые, но встречаются и неравномерно- и грубозернистые, иногда пегматоидные, описанные ниже. В качестве особых разновидностей могут быть выделены околоврудные дуниты, обычно также разнозернистые, иногда с переходами к пегматоидным разностям. В участках насыщения гарцбургитов телами дунитов получили развитие метасоматические жилы и шлиры ортопироксенитов и иногда вебстеритов, секущие дуниты (табл. 14).

Равномернозернистые дуниты состоят из оливина, аналогичного гарцбургитам ( $f = 8\text{--}11\%$ ), и хромшпинелида. В дунитах крупных тел железистость оливина 6—11% (см. табл. 14). Размеры зерен его в поперечнике варьируют в пределах 5—9 мм; обнаруживается передко волнистое угасание, развитие механических (трансляционных) двойников.

Мелкие зерна оливина с полигональными очертаниями также отличаются мозаичным угасанием. Спайность в оливинах, как правило, не вид-

гарцбургитов и дунитов массивов Войкаро-Сынинского и Рай-Из

	Оливин										Энстатит V-312
	V-74	25026	V-82	P-9	V-312	V-412	V-34	V-75	V-13	D-3e	
39,33	42,12	40,76	40,52	40,12	40,74	40,40	41,52	40,76	40,80	50,07	
Сл.	0,08	0,08	0,08	0,012	0,013	Сл.	0,07	0,08	0,07	0,08	0,08
»	0,18	0,35	0,36	0,13	0,13	»	0,18	0,35	0,35	6,14	
0,31	0,07	Сл.	0,06	0,13	0,11	—	Сл.	Сл.	0,06	0,69	
Сл.	0,41	0,10	0,42	0,92	0,98	Сл.	0,43	0,01	0,21	1,74	
10,29	9,34	10,77	9,69	9,30	7,92	12,57	9,68	0,77	11,31	5,10	
0,46	—	Сл.	—	0,07	0,11	—	—	—	—	0,12	
48,48	48,24	48,23	48,78	48,86	49,48	46,07	48,78	48,23	47,23	31,44	
0,15	Сл.	Сл.	Сл.	0,13	0,11	—	Сл.	Сл.	Сл.	2,46	
0,58	—	»	—	0,32	0,22	—	—	—	—	—	
—	0,09	0,29	0,40	—	—	0,40	0,20	0,20	0,29	0,29	
99,60	100,58	100,58	100,31	100,00	99,82	100,31	100,86	100,49	100,78	100,61	
10,5	10,2	11,2	10,4	10,5	9,1	13,1	10,7	11,1	12,0	9,8	
—	—	—	—	—	—	—	—	—	—	86,0	
—	—	—	—	—	—	—	—	—	—	9,5	
—	—	—	—	—	—	—	—	—	—	4,5	

гарцбургитов Войкаро-Сынинского массива (Г. Н. Савельева); остальные — из массива Рай-Из из гарцбургитов).

па. Лишь иногда намечаются ровные трещины, параллельные (010).

Хромшпинелид, содержащийся в количестве 1,0—1,5%, передко встречается в нескольких генерациях. Большая его часть представлена мелкими (0,03—0,05 мм) непрозрачными зернами высокой степени идиоморфизма, включенными в оливин. Передко наблюдаются участки округлых зерен хромшпинелида, пронизывающих оливиновый агрегат. Иногда присутствуют сравнительно крупные индивиды хромшпинелида (от 0,3—0,5 до 2,0 мм), гипидиоморфно развивающиеся в интерстициях между зернами оливина.

Околоврудные дуниты в Войкаро-Сынинском массиве внешне отличаются лишь повышенной вкрапленностью хромшпинелида, (до 5 об.%) и степенью серпентинизации (от 10 до 70—80%).

Оливин ( $f = 9,2\text{--}7,2\%$ ) представлен изометрическими зернами с простыми полигональными ограничениями, до 2—4 мм в поперечнике, редко более. Следов деформации, как правило, не наблюдается. Серпентин, замещающий оливин, представлен в основном лизардитом. По термограммам устанавливается присутствие тонкодисперсного брусила. Мелкие (0,08—0,15 мм) идиоморфные кристаллы хромшпинелида образуют округлые петли с размерами ячеек до 4—6 мм, включающие обычно до 3—4 зерен оливина. Иногда зерна хромшпинелида с округлыми гранями равномерно рассеяны в оливине (внутри зерен и между ними).

## Метаморфизованные породы дунит-гарцбургитовой формации

Эти породы в своем размещении подчинены существенно иному структурному плану, наложенному на структуры дунит-гарцбургитовой формации. Преобразования гипербазитов проявлены как в периферических,

Таблица 11

Распределение железа, магния и кальция между существующими оливином, энстатитом и диопсидом в гипербазитах Войкаро-Сынинского массива и некоторых других ультраосновных пород

№ образца на диаграммах рис. 27, 28	Образец	Оlivин (Fe/Mg)	Энстатит (Fe/Mg)	Диопсид		$K_{\text{D}}^{\text{P1}}$ [(Fe/Mg)ол / (Fe/Mg)Ен]	$K_{\text{D}}^{\text{P2}}$ [(Fe/Mg)ол / (Fe/Mg)Ди]
				Fe/Mg	(Ca/(Ca+Mg))		
1	1410	0,094	0,101	0,064	0,42	0,94	1,58
2	1118	0,096	0,094	0,080	0,37	1,02	1,20
3	2507	0,092	0,096	—	—	0,96	—
4	651	0,103	0,105	—	—	0,98	—
5	57	0,101	0,102	—	—	0,99	—
6	2514	0,104	0,100	0,061	0,48	1,04	1,64
7	1088	—	0,124	0,087	0,47	—	1,43
8	V-82	0,12	0,12	—	—	1,00	—
8a	V-312	0,105	0,098	—	—	1,07	—
9	172-63	0,079	0,059	—	—	1,34	—
10	НМ-8	0,102	0,093	0,089	0,49	1,10	1,05
11	БО-209	0,072	0,073	0,053	0,44	0,99	1,38
12	2	0,103	0,116	0,132	0,47	0,89	0,88
13	1	0,097	0,100	0,118	0,47	0,97	0,85
14	6/п	0,113	0,114	0,108	0,51	0,99	1,06

Приимечание. Образцы 1–6 — гарцбургиты Войкаро-Сынинского массива; 7 — жильный вебстерит Войкаро-Сынинского массива; 8, 9 — гарцбургиты массива Рай-Из (данные Г. Л. Кашиццева); 9 — гарцбургит Кемперсайского массива; 10 — перидотит Хонкайдо, Япония; 11 — шпинелистый перидотит, трубка «Обнаженная», Икутия; 12, 13 — перидотиты, нодулы в базальте (Калифорния, Мексика); 14 — перидотит, включения в базальте, Гавайи; 9–14 — данные разных авторов.

Таблица 12

Химические анализы аксессорных хромшипинелидов Войкаро-Сынинского массива \*

Оксид и катион	Гарцбургиты		Дуниты в гарцбургитах		Энстатит	Дуниты полосчатой серии ДВКГ	
	серпентинизированные	регенериро-ванные	серпентинизиро-ванные	регенериро-ванные		Л-3	69-А
	31	1228	735	157	33	1785	Н-113
$\text{Cr}_2\text{O}_3$	28,12	42,01	27,36	48,58	45,57	53,44	45,89
$\text{Al}_2\text{O}_3$	35,04	20,64	35,94	12,84	17,09	8,97	11,79
$\text{Fe}_2\text{O}_3$	4,39	3,31	0,92	5,12	3,67	2,27	11,30
$\text{FeO}$	12,05	19,70	14,30	20,50	19,83	23,86	19,60
$\text{MgO}$	16,57	10,87	15,62	9,43	10,58	7,65	7,73
$\text{CaO}$	0,44	0,11	0,22	0,07	0,11	0,11	Не обн.
$\text{TiO}_2$	0,08	0,19	Не обн.	0,35	»	Не обн.	Сл.
$\text{SiO}_2$	2,68	2,20	3,08	3,00	1,92	3,00	3,36
Сумма	99,37	99,07	97,57	100,33	98,68	99,50	99,67
$\Phi, \%$	34	56	34	70	62	78	68
	38	56	41	65	58	76	79

Количество ионов в пересчете на 4(O)

$\text{Cr}^{+3}$	0,70	1,13	0,67	1,41	1,24	1,59	1,35	1,28	1,26
Al	1,68	0,81	1,33	0,55	0,69	0,40	0,51	0,56	0,57
$\text{Fe}^{+3}$	0,03	0,06	—	0,04	0,07	0,01	0,14	0,16	0,16
Fe	0,38	0,56	0,41	0,65	0,575	0,76	0,79	0,73	0,68
Mg	0,62	0,44	0,59	0,35	0,425	0,24	0,21	0,27	0,32

\* По данным А. А. Савельева (1974), химлаборатория Воркутинской КГРЭ под руководством А. Н. Морозовой.

так и во внутренних частях массивов. Породы, представляющие дунит-гарцбургитовую формацию, включая также хромитовые руды и околоворудные дуниты, последовательно испытывали ряд стадий метаморфизма. Метаморфические преобразования, в целом обнаруживающие общую регressive направленность, могут быть связаны с разными этапами тектонических деформаций и составляют своего рода деформационно-метаморфический цикл. Выделяются два типа таких преобразований: 1) вторичные гарцбургиты — куммингтонит- и талькодержащие породы — свежие дуниты и оливин(тальк)-антigorитовые породы, образующие в Войкаро-Сынинском массиве сложную метаморфическую зональность; 2) идиобластовые гарцбургиты — энстатиты и сагваниты — куммингтонитовые и антигоритовые породы в массиве Рай-Из.

Продукты метаморфического преобразования гипербазитов будут рассмотрены в последовательности от более высокотемпературных к низкотемпературным.

Свежие пегматоидные дуниты в Войкаро-Сынинском массиве имеют весьма своеобразный облик. Они окрашены в светлый фисташково-зеленый, желтоватый и зеленовато-серый цвета и часто не одеты коркой выветривания, столь характерной для серпентинизированных гипербазитов. Зерна оливина с четкой спайностью достигают по размерам 2–4, иногда 10–12 см (см. гл. 3). На спайных сколах видны редкие лучистые сростки антигорита и включения хромшипинелида, часто в сростках с хромовым хлоритом. Содержание серпентина в породе колеблется от 0 до 5–7%.

Под микроскопом видно, что среди грубозернистого оливинового агрегата в незначительном количестве присутствуют зерна оливина размерами 0,8–2,0 мм, имеющие полигональные очертания.

Аналогичные дуниты выделяются в массиве Рай-Из, где имеют неравномерно- и грубозернистое, иногда пегматоидное строение, со спайным оливином, кристаллы которого достигают в поперечнике 20 см. Наряду с ними присутствуют относительно мелкозернистые дуниты со спайным оливином, размеры зерен которого 1–5 мм, и повышенным содержанием антигорита (30–60%); они близки оливин-антigorитовым породам.

Состав оливина во всех этих породах, по данным химического анализа и замерам показателя преломления, отличается повышенной магнезиальностью. Содержание фаялитовой молекулы колеблется от 5,7 до 9,8%. Крупные зерна обнаруживают четкую спайность по (010). Иногда появляется вторая система трещин спайности по (100). Границы зерен зубчатые, ступенчатые, пилообразные, редко прямолинейные. Угасание скользящее, мозаичное. Ровные двойниковые полосы наблюдаются часто, но они здесь менее характерны, чем в оливинах серпентинизированных дунитов.

Интенсивные деформации оливина, сопровождающиеся грануляцией, отчетливо проявлены в дунитах из мелких тел, залегающих среди оливин-антigorитовых пород, а также в эндоконтактовых участках крупных тел. Зерна оливина размерами 6–8 мм имеют здесь отчетливо удлиненную форму. По системе диагональных или поперечных к удлинению трещин в них развивается тонкозернистый гранобластовый агрегат оливина, лишенный включений хромшипинелида. Такой же тонкозернистый агрегат (размеры зерен 0,05–0,1 мм) развивается вокруг группы зерен или каждого зерна оливина, что приводит, в конечном итоге, к образованию своеобразных овощных структур, хорошо заметных на поверхности выветривания дунитов (фото 8).

Нередко встречаются также линзовидные текстуры и структуры. При этом крупные зерна оливина растянуты на узкие длинные пластинки, а в темевых зонах реликтовых линзовидных и овощных зерен развивается тонкозернистый гранобластовый агрегат оливина. Серпентин в рассматриваемых породах представлен обычно антигоритом, реже лизардитом.

Таблица 13

гипербазитов и руд массива Рай-Из \*

у-425с	у-4216	у-4246	у-424г	у-427а	у-425	у-427г	у-101	у-429	у-429б
1,18	2,0	2,0	1,50	1,70	1,36	2,15	1,06	1,18	1,24
0,19	0,18	0,16	0,16	0,14	0,11	0,14	0,18	0,16	0,15
11,92	9,80	11,03	10,36	9,52	7,95	7,00	9,30	11,32	8,75
53,19	50,34	56,20	57,55	59,0	60,73	53,93	57,28	58,34	61,50
6,79	7,84	5,19	2,48	3,39	2,86	7,37	5,55	3,48	2,05
15,89	19,22	11,95	13,92	10,99	13,14	19,71	13,74	10,99	12,71
10,64	10,05	12,99	13,65	14,62	13,36	9,03	12,36	13,98	12,79
—	0,18	—	—	—	—	—	—	—	—
0,05	0,06	—	—	—	0,07	—	—	0,08	0,08
0,035	0,024	—	—	—	0,025	—	—	0,022	0,022
99,88	99,64	99,52	99,62	99,36	99,60	99,43	99,42	99,55	99,29
0,95	1,07	0,96	1,02	1,02	1,04	1,09	0,99	0,97	0,98
Ол,	Ол,	Ол,	Хл,	Хл,	Ол,	Ол,	Хл,	Хл,	Хл,
Хл	Хл	Серп	Хл	Серп	Хл	Серп	Серп	Серп	Серп

## исключения примесей

12,30	10,55	11,94	11,08	10,15	8,56	7,75	9,84	12,01	9,34
55,22	53,38	58,94	59,56	62,16	63,21	56,82	59,49	60,85	64,51
7,19	8,31	5,54	2,60	3,57	3,07	7,90	5,87	3,69	2,19
16,50	19,76	12,27	14,22	41,11	13,3	20,60	14,27	11,35	13,24
8,49	8,00	11,31	12,54	13,01	11,37	6,93	10,55	12,10	10,62
0,92	1,02	1,60	1,57	2,09	1,53	0,60	1,32	1,90	1,43

## пересчет на 4(О)

0,482	0,417	0,606	0,414	0,385	0,332	0,411	0,365	0,486	0,358
1,432	1,407	1,401	1,465	1,566	1,644	1,530	1,610	1,539	1,628
0,108	0,176	0,091	0,070	0,049	0,035	0,120	0,030	0,059	0,025
0,524	0,586	0,431	0,373	0,376	0,394	0,645	0,500	0,390	0,392
0,416	0,397	0,542	0,603	0,621	0,559	0,350	0,614	0,577	0,558

## Химические анализы хромшипелидов из

Оксид и катион	у-79	у-63	у-413	у-248	у-58а	у-401	у-80	у-421в	у-4256
SiO <sub>2</sub>	1,20	1,02	0,82	1,34	1,86	3,70	3,10	2,25	1,04
TiO <sub>2</sub>	0,12	0,08	0,11	0,10	0,27	0,27	0,20	0,18	0,19
Al <sub>2</sub> O <sub>3</sub>	30,30	32,40	24,95	27,50	33,10	11,63	14,70	17,08	11,75
Cr <sub>2</sub> O <sub>3</sub>	33,34	37,11	41,51	40,34	30,91	49,95	47,08	48,28	57,0
Fe <sub>2</sub> O <sub>3</sub>	5,45	3,84	7,92	4,56	6,55	4,80	8,11	5,49	5,37
FeO	16,75	14,66	12,47	16,50	8,66	17,32	12,87	11,11	11,71
MgO	12,85	11,05	12,48	9,78	17,85	12,72	13,33	14,79	13,14
CaO	—	0,10	0,12	—	—	0,10	—	0,30	—
NiO	0,05	0,07	0,06	0,05	—	—	—	0,06	0,07
CoO	0,035	—	0,018	0,020	—	—	—	0,022	0,023
Сумма	100,10	100,28	100,46	100,19	99,20	99,99	99,30	99,56	100,59
R <sub>2</sub> O <sub>3</sub> :RO	1,09	0,91	1,09	0,90	1,11	1,35	0,99	1,00	0,94
Минералы-примеси	Хл,	Ол,	Ол,	Ол,	Хл,	Ол,	Ол,	Хл,	Серп
	Серп	Хл	Серп	Хл	Серп	Хл	Серп	Хл	

## Вычисленный состав после

Al <sub>2</sub> O <sub>3</sub>	30,98	33,01	25,39	28,47	35,66	12,94	16,54	18,63	12,16
Cr <sub>2</sub> O <sub>3</sub>	33,97	37,69	42,09	40,7	33,30	55,58	51,84	51,02	59,10
Fe <sub>2</sub> O <sub>3</sub>	5,51	3,66	7,70	4,39	7,06	4,79	9,12	5,92	5,55
FeO	17,09	14,89	12,64	16,84	8,90	18,61	13,74	11,38	11,85
MgO	12,55	10,77	12,21	9,44	15,11	8,09	8,76	13,05	11,43
MgO/FeO	1,31	1,30	1,73	1,00	3,02	0,71	1,14	2,04	1,71

## Количество ионов в

Al	1,090	1,111	1,013	1,020	1,149	0,495	0,601	0,678	0,478
Cr	0,799	0,825	0,962	0,976	0,750	1,418	1,287	1,214	1,503
Fe <sup>+3</sup>	0,111	0,065	0,030	0,040	0,111	0,078	0,118	0,108	0,090
Fe <sup>+2</sup>	0,427	0,481	0,420	0,527	0,302	0,569	0,486	0,363	0,411
Mg	0,557	0,480	0,554	0,446	0,640	0,395	0,436	0,605	0,594

\* По данным И. Е. Кузнецова, Г. Л. Кашиццева и Г. Б. Рудника.

При меч а и и е. Образцы У-79—У-248 — акцессорные хромшипелиды из гарцбургитов гипогенного комплекса; У-401, У-80 — хромитовая руда из шлихов среди дунитов и гарцбургитов; У-425 — сплошные и густовкрапленные руды того же участка; У-427г—У-429б — подулярные хромитовые руды.

Акцессорный хромшипелид в «свежих» пегматоидных дунитах распространен неравномерно. Он образует редкую рассеянную вкрапленность, сгущающуюся на отдельных участках (до 5—7 об. %), либо группируется в цепочки кристаллов, струйчатые или шлировидные скопления размерами в поперечнике в несколько сантиметров. Содержание хромшипелида по сравнению с серпентинизированными дунитами повышенено примерно на 1—2%.

Хромшипелид, как правило, разнозернистый, в основном крупнозернистый. Размеры зерен от 0,001—0,01 мм (идиоморфные октаэдрические непрозрачные кристаллы внутри оливина) до 1,5—3,0 мм (зерна субгедральной формы в интерстициях, просвечивающие красно-бурым цветом). По сравнению с хромшипелидами из серпентинизированных дунитов его состав отличается повышенной хромистостью (см. табл. 12, 13).

Вблизи границы оливин-антигоритовых пород и «первичных» гарцбургитов (с лизардитом) или свежих пегматоидных дунитов выделены несерпентинизированные «свежие» гарцбургиты. Состав главных породо-

образующих минералов и их содержание аналогичны описанным для обычных гарцбургитов. Содержание энстатита колеблется от 12 до 15%, моноклинный пироксен встречается в редких зернах, но иногда его количество увеличивается до 3—5%.

Существенным отличием характеризуемых разностей гарцбургитов является практическое отсутствие в них серпентина. Слабее, чем в обычных разностях, проявлено разнозернистость оливина и энстатита. При относительно равных размерах зерен этих минералов (в среднем 2—4 мм) структура породы приближается к полигонально-зернистой.

Зерна оливина изометрической, иногда неправильной формы, имеют ровные прямолинейные или плавно-извилистые очертания. Псевдодвойниковые полосы и мозаичное угасание наблюдаются в крупных индивидах. Энстатит встречается преимущественно в таблитчатых зернах, которые так же, как и в серпентинизированных гарцбургитах, характеризуются резким ксеноморфизмом. Однако в ряде случаев фиксируется тенденция к образованию идиобластовых образований энстатита.

Таблица 14

Химические анализы минералов из дунитов, энстатититов, вебстеритов (дунит-гарцбургитовый комплекс) и клинопироксенитов (полосчатый комплекс)

Оксид	Дуниты (оливин)				Энстатит	Вебстериты		Клинопироксениты (диопсид)			Клинопироксены		
						Энстатит	диопсид				У-313	У-313а	
	157	33	70	1785	Л-3	1088	1088	55	79				
SiO <sub>2</sub>	41,00	41,30	42,60	40,54	55,06	56,20	53,80	53,30	51,60	52,50	51,06	51,28	
TiO <sub>2</sub>	0,01	0,01	0,008	0,01	0,02	0,026	0,036	0,08	0,11	—	0,03	0,41	
Al <sub>2</sub> O <sub>3</sub>	0,08	0,05	Сл.	0,04	0,93	1,11	1,07	2,50	2,69	—	1,00	1,98	
Cr <sub>2</sub> O <sub>3</sub>	0,07	0,06	0,19	0,08	0,62	0,44	0,70	0,50	0,32	—	—	—	
Fe <sub>2</sub> O <sub>3</sub>	1,13	2,25	1,76	1,10	1,77	1,13	0,88	1,30	3,56	—	—	—	
FeO	5,76	6,19	7,20	6,71	4,75	6,26	2,09	3,16	2,99	—	—	—	
MgO	50,95	47,63	45,46	49,40	33,17	32,84	18,54	21,08	20,10	—	—	—	
CaO	0,11	0,22	0,44	0,11	0,95	0,50	21,50	17,17	16,80	—	—	—	
NiO	0,10	1,68	1,62	0,23	0,065	0,08	0,04	0,05	0,04	—	—	—	
MnO	Не обн.	0,10	0,12	0,42	0,15	0,19	0,14	0,12	0,16	—	—	—	
П. п. п.	0,10	1,68	1,62	0,75	1,99	1,01	0,71	0,90	1,43	—	—	—	
Сумма	100,09	99,67	99,57	99,09	99,48	99,79	99,51	100,34*	100,13*	—	—	—	
ЕН	—	—	—	—	—	—	—	—	—	—	—	—	
Fa	6,8	8,8	9,8	8,2	—	90,8	88,3	52,0	49,2	—	—	48,4	
Fs	—	—	—	—	—	—	—	—	—	—	—	—	
Wo	—	—	—	—	—	2,0	1,0	43,3	42,9	—	—	9,9	
	—	—	—	—	—	—	—	—	41,7	—	—	—	

\* В том числе в образце 55 Na<sub>2</sub>O 0,13%, K<sub>2</sub>O — 0,05%, в образце 79 Na<sub>2</sub>O 0,23%. K<sub>2</sub>O — 0,10%.

Примечание. Материалы Г. И. Савельевой; анализы выполнены в химлаборатории Воркутинской КГРЭ.

Составы оливина и энстатита весьма близки к составам этих минералов из обычных гарцбургитов. Железистость оливина составляет 9,2—9,8%, энстатита — 8,8—9,5%. Моноклинильный пироксен, представленный диопсидом, образует короткие призмы, подчищенные контурам оливина и энстатита и тяготеющие к последнему.

Рассеянные зерна чистого просвечивающего хромшипинелида включены в оливин или энстатит. В последнем случае он крупнее 0,4—0,6 мм (против 0,2—0,3 мм) и обладает более неправильной формой.

Вторичные минералы редки. Иногда в петельчатых прожилках по оливину появляется бледноокрашенный желтовато-зеленоватый лизардит (не более 5%) или тальк, замещающий энстатит.

Идиобластовые гарцбургиты и гранобластовые дуниты наиболее типично проявлены в центральной и северной частях массива Рай-Из (Кашинцев, Кузнецова, Рудник, 1970). Они слагают здесь зону, имеющую северо-восточное (субширотное) простирание и юго-восточное падение при ширине в плане от 2—3 до 5—6 км (см. рис. 9, 16).

Рассматриваемые гарцбургиты и дуниты покрыты, как правило, тонкой корочкой выветривания, сходной с коркой свежих дунитов. На ее фоне в гарцбургитах выделяются длинно-призматические или игольчатые идиобласти энстатита и (или) бесцветного амфибола, нередко образующие сростки. Длина идиобласти достигает 20 мм, отношение поперечных размеров к длине 1 : 4. В свежем сколе мелкозернистая основная масса породы часто яблочно-зеленого цвета.

Породообразующие минералы представлены оливином очень переменной железистости (3,5—15%) и энстатитом (9—11, редко до 13—14%) (табл. 15). Последний почти отсутствует в дунитах. Постоянно отмечается акцессорный хромшипинелид. Вторичные минералы тремолит (?), тальк,

Таблица 15

Химические анализы породообразующих минералов из «вторичных» гарцбургитов, дунитов и клинопироксенитов массива Рай-Из

Оксид	Оливинка										Клинопироксены			
	У-407	У-406	2029	75/3	75/2	У-14e	У-9м	У-406a	0082	Г-304c	Д-10	0076	3 ав	122
SiO <sub>2</sub>	41,51	41,42	41,82	41,10	41,10	38,48	55,35	54,55	54,6	54,30	56,40	56,00	55,0	51,06
TiO <sub>2</sub>	0,006	0,006	0,42	0,01	—	—	0,0	0,01	0,02	—	0,10	—	—	0,42
Al <sub>2</sub> O <sub>3</sub>	0,47	0,20	0,01	—	—	2,10	1,26	1,76	2,56	4,00	1,50	3,4	—	2,85
Cr <sub>2</sub> O <sub>3</sub>	0,11	0,08	Сл.	—	—	0,02	0,46	0,39	0,84	2,0	2,0	—	—	0,36
Fe <sub>2</sub> O <sub>3</sub>	0,51	0,64	1,41	1,05	2,43	—	0,70	—	3,00	0,91	1,70	0,32	—	1,20
FeO	2,98	3,45	5,38	7,25	6,19	14,85	7,55	5,23	3,25	7,77	5,35	6,80	6,3	3,97
MnO	0,05	0,06	0,49	0,45	0,13	0,25	0,20	0,14	—	0,42	0,16	0,1	0,18	0,12
MgO	53,91	53,46	50,12	49,90	49,70	45,27	32,30	36,58	33,12	31,60	33,30	33,20	34,6	35,52
CaO	0,41	0,40	0,24	—	—	—	1,20	0,10	2,47	1,18	0,35	0,90	0,6	18,46
Na <sub>2</sub> O	—	—	0,45	0,06	—	—	0,05	0,03	0,03	—	—	0,06	0,8	Не обн.
K <sub>2</sub> O	—	—	—	0,04	0,07	—	—	—	—	—	—	—	—	—
H <sub>2</sub> O <sup>+</sup>	—	—	—	—	—	—	—	—	—	—	—	—	—	—
H <sub>2</sub> O <sup>-</sup>	—	—	—	—	—	—	—	—	—	—	—	—	—	—
P <sub>2</sub> O <sub>6</sub>	—	—	0,32	—	—	—	—	—	—	—	—	—	—	—
NiO	0,27	0,28	0,02	0,029	—	—	—	—	—	—	—	—	—	0,06
CoO	0,006	0,010	0,95	—	—	—	0,53	—	—	—	—	—	—	—
П. п. п.	—	—	—	—	—	—	—	—	—	—	—	—	—	—
Сумма	99,63	99,71	100,47	99,87	99,94	99,04	100,02	99,75	98,52	99,72	98,74	99,47	100,0	101,2
f, %	3,5	4,5	7,1	8,42	8,3	13,4	13,8	7,9	10,6	9,5	10,8	11,0	12,6	8,7

П. примечание. Образцы У-313, У-313а — из клинопироксенитов, У-406а, Г-304c, Д-10, У-14e, 0076, 0082, 3ав, 122 — из гарцбургитов, У-407, 2029, 75/2, У-9м — из дунитов. Материалы И. Е. Кузнецовой, Г. Л. Кашинцева и др.

клинохлор и в небольшом количестве серпентин (антигорит, лизардит).

Мелкие (0,1—0,5 мм в поперечнике) зерна оливина образуют характерный мозаично-гранобластовый агрегат. Последний в гарцбургитах нередко обнаруживает неравномерно-зернистое строение. Эпистатит представлен вытянутыми индивидами с неправильными очертаниями, пойкилитово включающими мелкие зерна оливина. Последний не подвержен серпентинизации и иногда в нем отмечаются признаки спайности по (010).

Хромшпинелид, составляющий не более 2% объема породы, распределен равномерно. Его мелкие, хорошо ограниченные, реже изометрические, округлых очертаний зерна в проходящем свете желтовато-бурового цвета

Бесцветный амфибол постоянно присутствует в породе в виде идиобластовых выделений или в срастании с энстатитом.

Тальк в виде мелкочешуйчатого агрегата псевдоморфно замещает эпистатит. Оталькованные разности последнего приобретают розоватый оттенок на поверхности выветривания и легко разрушаются. Нередко в существенных количествах присутствует клинохлор, образующий отдельные таблички и скопления. Серпентинизация проявлена незначительно. В разностях сланцеватого сложения развит антигорит.

Структура вторичных гарцбургитов порфиробластовая с мозаично-гранобластовой структурой основной ткани, не отличимая от аналогичных структур метаморфических горных пород. Можно проследить все переходы от идиобластовых гарцбургитов к гарцбургитам гипсициоморфозернистого строения через промежуточные разности, в которых в различной степени проявлены бластические новообразования.

Оливиновые энстатититы, энстатититы и сагвандиты тесно связаны с охарактеризованными идиобластовыми гарцбургитами и слагают среди них линзовидные тела в поперечнике от нескольких до 300—400 м (см. рис. 16). Впервые магнезит-энстатититовая порода (сагвандит) встречена и описана в массиве Рай-Из А. Н. Заварецким (1932). Макроскопически рассматриваемые энстатититы—зеленовато-серые породы, состоящие в основном из крупных призматических кристаллов энстатита ( $f = 9-11$ , редко до 13%), иногда образующих спонговидные и радиально-лучистые агрегаты. Между зернами энстатита захвачены скопления мелких зерен оливина, а в некоторых разностях — неправильные выделения магнезита.

Аксессорный хромшпинелид нередко образует субдиоморфные зерна, обычно зажатые между крупными индивидами энстатита. Он представлен непрозрачной магнетитизированной разностью и характеризуется высокой отражательной способностью. Вторичные минералы — tremолит, хлорит и тальк — иногда полностью вытесняют более ранний

Куммингтонитсодержащие и антигоритизированные гарцбургиты. Эти в различной степени антигоритизированные гарцбургиты, в которых энстатит частично или полностью замещен куммингтонитом, получили широкое развитие в западной, иногда в юго-западной и отчасти центральной частях массива Сым-Кеу. Спорадически они присутствуют на востоке и северо-западе массива Рай-Из.

Рассматриваемые гардбургиты отличаются от охарактеризованных выше обычных разностей с лизардитом прежде всего широко проявленной антигоритизацией. При этом антигорит развивается по спайности оливина, образуя скопления и прожилки гребенчатого строения, а иногда радиально нарастает на зерна оливина, слагая участки с крустикационной структурой. В серпентинизированных разностях можно наблюдать тесно соприкасающиеся сферолитовые агрегаты антигорита, окруженные оторочкой из чешуек бруссита.

Энстатит в относительно слабо антигоритизированных разностях гарцибургитов лишь иногда частично (с периферии) замещен компактным куммингтонитом (?), плеохроирующем в желтовато-коричневых тонах. В массиве Сым-Кей сильнее измененные разности пород характеризуются, как правило, полным псевдоморфным замещением энстатита бурым

Таблица 16

## Сравнение метаморфической зональности в гипербазитах

Массив Рай-Из (см. рис. 9, 16)					
зоны	породы	мощность, м	зоны	породы	мощность
Кровли	Серпентинизированные гарцибургиты с лизардитом ( $f_{\text{Ол}} 8,4-10,5\%$ )	$\geq 1$ км	Кровли	Серпентинизированные гарцибургиты (с лизардитом) ( $f_{\text{Ол}} 8,5-11\%$ )	$> 1$ км
II—III	Гарцибургиты (+Ta+Алт+Мт) Тальк-оливиновые (+Мт) Куммингтонит-оливиновые (+Мт)	$n-n \cdot 10$ $n \cdot n \cdot 10$ $n \cdot 10-n \cdot 100$	III	Пегматоидные (грубозернистые и оклорудные дуниты, $f_{\text{Ол}} 6,2-8,8\%$ )	$\geq 0,5$ км
III+II	Массивные пойкалиты ( $f_{\text{Ол}} 8-10,5\%$ ) с телами ( $n-n \times 100$ м) свежих пегматоидных дунитов (+Мт) ( $f_{\text{Ол}} 5,7-8,2\%$ )	$n-$ $n \cdot 10$ $f_{\text{Ол}} = 9-10$	II	Вторичные идиобластовые гарцибургиты ( $P_{\text{Пл}}+O_{\text{л}} \pm T_{\text{а}}$ ) ( $f_{\text{Пл}} 9-14\%$ )	$> 0,5$ км.
			I Б	Оливиновые энстатиты, сагвандиты $P_{\text{Пл}} (= 9-13\%) + O_{\text{л}} \pm M_{\text{т}}$	$\geq 250$ м
			III А	Гранатовые амфиболиты Тектонический контакт	$\geq 250$ м
IV	Бластомилониты и сланцы ( $O_{\text{л}}+Алт+Мт$ ) с тектоническими включениями зон II и III	IV		Вторичные идиобластовые гарцибургиты Тектонический контакт	?
III	Массивные пойкалиты лизардитизированные		II	Серпентинизированно-гарцибургиты ( $f_{\text{Ол}} 9-10\%$ ) и равномернозернистые дуниты ( $f_{\text{Ол}} 7-9\%$ )	Подопытная
					?

в проходящем свете агрегатом куммингтонита. Последний имеет тонкокристаллическое и мелкозернистое строение и состоит из скоплений тончайших призм иголочек куммингтонита (?), часто ветвящихся и образующих пучки и скопления скользящего и пятнистого угасания.

Впервые куммингтониты содержащие гардбургиты изучены и описаны Г. Н. Савельевой (1973) в тех участках и зонах Войкаро-Сынинского массива, где можно наблюдать переходы к оливин-антigorитовым породам. (подробно о них см. гл. 3). Эти переходы легче понять, сравнивая с разрезом из Ирана (район Эсфандаче, к югу от пос. Ашии, наблюдения Н. Л. Добрецова, 1975 г.):

Ориентировочная  
мощность, км

1. Пегматоидные дуниты со спайным оливином, сходные с дунитами из Войкаро-Сынинского массива	Более 0,5
2. Неравномернозернистые дуниты и гранобластовые вторичные гардбургиты иногда с тальком	0,25
3. Оливин-тальк-куммингтонитовые породы и оталькованные гардбургиты	0,2
4. Оливин-антigorитовые породы ( $\pm$ тальк, магнетит)	0,2–0,3
5. Серпентиниты, иногда с бруцитом; зона 5, возможно, приурочена к на- двину выше которой зоны 1–3 повторяются. Нетрудно видеть, что все эти зоны наблюдаются в Войкаро-Сынинском массиве, но зона 4 там сильно увеличена, а зоны 2 и 3 в основном тектонически «сорваны».	

Зональность в массиве Рай-Из отличается пространственной и генетической связью с метагаббро (гранатовыми амфиболитами), к которым примыкают оливиновые энстатиты и сагвандиты ( $\geq 0,25$  км) и далее вторичные идиобластовые гардбургиты. С. В. Щербакова (1975) описала постепенные переходы между этими породами. Вторичные гардбургиты отличаются от войкаросынинских идиобластовым характером энстатита и сильно переменной железистостью оливина, хотя его средний состав близок к исходному. Оливин-антigorитовые породы, сходные с «войкаритами», содержат, как правило, тальк и куммингтонит, образующие реакционные каймы вокруг энстатита. В обоих разрезах характерно обильное выделение магнетита, но в Рай-Изе оно начинается раньше (в энстатитах, сагвандитах, грубозернистых вторичных дунитах). Это связано с разными составами флюидов, в частности, в Рай-Изе несомненно повышенная роль  $\text{CO}_2$  (магнетит в сагвандитах) и повышенное  $P_{\text{O}_2}$ , обусловленное, по-видимому, водно-углекислым характером флюида\*.

По мнению Н. Л. Добрецова, все описанные примеры метаморфической зональности с высокотемпературными породами, поскольку они являются высокоградиентными (около  $100^\circ$  да  $200$ – $250$  м), могут быть объяснены, скорее всего, воздействием расплавов вдоль проникаемых зон или капиллов, «щатающих» верлит-пиroxенит-габброидную формацию.

В нижней части такой зоны расплавы равновесны с гипербазитами, в средней зоне преобладает химическое взаимодействие с возникновением пиroxенитов (энстатитов, вебстеритов), в верхней части и наружной кайме средней части — термальное воздействие с образованием вторичных гардбургитов. Зона «войкаритов» является более поздней и лишь наследует первичные зоны. Для массива Рай-Из это кажется наиболее правдоподобным (см. рис. 9 и 16). Вода, выделяющаяся при десерпентинизации гардбургитов, обусловила широкое развитие метасоматических процессов и трансвароризацию габброидов (развитие амфибола, цоизита). В Войкаро-Сынинском массиве такое объяснение более проблематично, так как не нарушенные разрезы здесь, по-видимому, отсутствуют, но имеются жилы габбро и связанные с ними вебстериты и клинопироксениты.

\* По данным С. В. Щербаковой (1975), в составе водных вытяжек из метасоматитов, связанных постепенными переходами с амфиболитами, большую роль играют анионы  $\text{HCO}_3^-$ ,  $\text{SO}_4^{2-}$  и  $\text{Cl}^-$ , pH вытяжек 8 и 7.

По мнению А. А. и Г. Н. Савельевых, наблюдавшиеся соотношения метаморфических и метасоматических пород сформировались в локальных зонах глубинных надвигов с образованием тоналит-амфиболитовой группы пород. Относительное проскальзывание блоков-пластин внутри единого гипербазитового тела при его тектоническом перемещении в верхние горизонты сопровождалось циркуляцией перегретого водного флюида вдоль ослабленных зон, источником которого мог быть  $\alpha$ -хризотил (лизардит) ранее серпентинизацией. Высокие градиенты температуры и незавершенность реакции во внешних зонах объясняются нестационарностью потока флюида. При обеих трактовках остается много неясностей. Их однозначные доказательства еще отсутствуют.

#### Дунит-верлит-клинопироксенит-габбровая формация

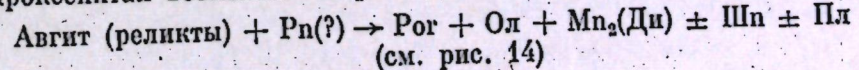
Описываемая формация развита вдоль юго-восточного контакта гипербазитов в массивах Войкаро-Сынинском, Рай-Из и Харче-Рузь. Она считалась типичным представителем дифференцированной габбро-перидотитовой магматической формации (Заварицкий, 1932), а затем интерпретировалась как результат метасоматоза («габброизаций») гипербазитов.

В массивах Войкаро-Сынинском, Харче-Рузь и юго-западной части Рай-Иза наблюдался постепенный переход от гипербазитов к габброидам, представленный пограничной (или переходной) полосчатой дунит-пиroxенитовой зоной, в составе которой в первом массиве характерны также троктолиты. Контакт с гипербазитами в массиве Рай-Из в основном тектонический и представлен полосой амфиболитовых бластомилонитов (см. рис. 9). Тектонические зоны амфиболитовых бластомилонитов часто прослеживаются внутри габбро или на контактах с дайковой диабазовой серией.

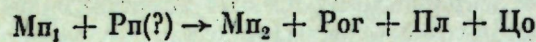
Пограничная (переходная) зона в не нарушенных разрезах массива Рай-Из (см. гл. 3) представлена частым линзообразным чередованием дунитов (часто пиroxенизованных), верлитов и клинопироксенитов и в целом обладает отчетливым реакционным характером. От «первичных» гардбургитов переходная зона отделена, как правило, полосой дунитов. Дуниты переходной зоны, представляющие, по-видимому, реликты пород дунит-гардбургитовой формации, замещаются пиroxеном (чаще диопсидом и роговой обманкой) и постепенно переходят в верлиты и далее в клинопироксениты. Подобная ситуация подробно описана В. Ф. Морковкиной (1967). В Войкаро-Сынинском массиве тела дунитов внутри габбро, как отмечалось, окружены оторочкой верлитов, затем клинопироксенитов, сменяющихся и контакту с габбро троктолитами. Роль ромбического пиroxена в этой реакционной зональности часто затушевана амфиболизацией. Во внутренних частях гипербазитов Войкаро-Сынинского массива, где амфибол редок, дуниты окружены вебстеритами и пегматоидными энстатитами, во внешней зоне ореолов которых встречаются жилы габбро-поритов, роговообманковые габбро и пегматоидные бронзит-аортитовые породы. Сопоставим эти два типа реакционных соотношений:

1, Внутри гипербазитов	Дуниты и гардбургиты ( $\text{Ol} \pm \text{Pn}, \text{Mn}, \text{Xp}$ )	Вебстериты ( $\text{Pn} + \text{Mn} + \text{Ol}$ )	Клинопироксениты ( $\text{Mn} \pm \pm \text{Ol}$ )	Габбро-пориты ( $\text{Pn} + \text{Mn} + \text{An}; \text{An} + \text{Pn}$ )
2, Переходная зона	Дуниты ( $\text{Ol} (+ \text{Mn} + \text{Xp} + \text{Mt})$ )	Верлиты ( $\text{Mn} + \text{Ol} + \text{Por} \pm \text{An}$ )	Клинопироксениты ( $\text{Mn} (+ \text{Pl} + \text{Por} \pm \text{Mt}, \text{Gabbro}, \text{gabro}-\text{porit})$ )	Тректолиты ( $\text{Ol} + \text{An} \pm \text{Mn}$ )

Сравнение этих соотношений и результаты изучения самих реакционных соотношений показывают, что исчезновение ромбического пиroxена в пиroxенитах возможно по реакции



или



(см. рис. 15 и текст по массиву Рай-Из в гл. 3).

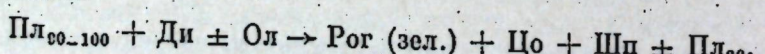
Кроме того, переход ко второму типу реакционных соотношений соответствует повышению потенциала кальция (в частности, переход от типа 1 к типу 2 в дунит-гарцбургитах  $\text{Ол} + \text{Рп} + \text{Са} \pm \text{O}_2 \rightarrow \text{Мп} + \text{Мт}$ ) и, по-видимому, понижению давления. Первое объясняется влиянием среды (гипербазиты и аортитовые габбрьи); о снижении давления свидетельствуют появление троктолитов и плагиоклазодержащих верлитов и отсутствие их внутри гипербазитов, т. е. реакция типа  $\text{Рп} + \text{Мп} + \text{Шп}_1 \rightarrow \text{Ол} + \text{Аи} + \text{Мт}$ , что соответственно связывается с большой глубиной залегания гипербазитового «фундамента».

Природа этих реакционных замещений дискуссионна. Г. Н. Савельева, вслед за В. Ф. Морковкиной и А. А. Ефимовым, основываясь главным образом на составе и структурно-текстурных особенностях пород, предполагает метасоматическую природу этих реакций с привносом Ca и Al в гипербазиты (см. гл. 3). Н. Л. Добрецов и Л. Г. Пономарева (1965) доказывали магматическую природу этих реакций, отмечая, в частности, что парагенезисы без амфиболя и цоизита (в типе 2) в точности соответствуют последовательности кристаллизации в четверной системе  $\text{Фо}-\text{Аи}-\text{Ди}-\text{SiO}_2$ . Сейчас получены дополнительные данные, подтверждающие этот вывод. Кальциевость ( $\text{Ca}/(\text{Ca} + \text{Mg})$ ) клинопироксенов из вебстеритов, верлитов и клинопироксенитов (см. табл. 14 и 15), как правило, составляет 0,37–0,44, что по термометру Бойда явно отвечает магматическим температурам 1100–1300°C. В главе 7 будут приведены дополнительные сведения о высоких температурах образования аналогичных пироксенов (до 1500°C), а также прямые находки расплавных включений в аортите пегматоидных габбрьи (явно «метасоматического» облика) с температурой гомогенизации 1450–1500°C.

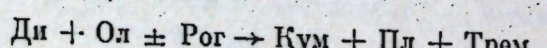
Железистость оливина нарастает от дунитов к верлитам, клинопироксенитам и габбрю в интервале 10–17%, повторяя закономерность, установленную в аналогичных формациях других районов.

Переходная зона через троктолиты сменяется габбрю эвкритового типа. Преобладают диопсид-аортитовые габбрю и битовитовые габбрю-иориты, реже встречаются оливин-диопсидовые габбрю, тылаиты, троктолиты и аортозиты. Многие авторы отмечают относительную выдержанность состава и структуры габбройдов восточной полосы, что, по-видимому, отражает возможность их магматического происхождения. Общая особенность состава восточных габбрю — высокая глиноzemистость, кальциевость и магнезиальность при низкой титанистости, что минералогически выражается в наличии аортит-битовита, магнезиального диопсида и ортопироксена (± оливина) во всем разрезе верлит-пироксенит-габбрюового комплекса.

В результате метаморфизма пироксенитов и габбройдов формируются разнообразные амфиболиты, преимущественно плагиоклазовые, иногда с куммингтонитом, но всегда без граната. Фиксируется довольно сложная и недостаточно изученная последовательность метаморфических реакций. Кроме реакций с исчезновением ромбического пироксена, приведенных выше и, вероятно, наилуче раних, наблюдались превращения с исчезновением первичного основного плагиоклаза иногда с выделением избыточной зеленой шпинели.



а также реакции с образованием tremolита и куммингтонита, замещающих передко пироксен и (или) оливин.



Ассоциации типа Ди + Рог + Пл + Шп, Рог + Кум + Пл фиксируют разные субфации амфиболитовой фации низких давлений. В Войкаро-Сынинском массиве отмечаются также своеобразные актинолит-аортитовые породы, в которых актинолит является ранним минералом и замещает пироксены (± Ол). Последние, в свою очередь, замещаются роговой обманкой с плагиоклазом. Эти породы могли сформироваться до деформации («метаморфизм погребения») на океаническом дне, см. гл. 3) и до поздних стадий метаморфизма с образованием амфиболовых и цоизит-амфиболовых бластомилонитов, происходивших одновременно с тектоническими деформациями и формированием собской плагиогранит-тоналитовой серии. Выше мы отмечали также возможную связь габбройдов и метагаббрю-амфиболитов с зонами метаморфизма в гипербазитах. В таком случае источником воды для метаморфизма габбройдов, кроме морской (на ранних стадиях «метаморфизма погребения»), могла служить десерпентинизация гипербазитового фундамента под воздействием либо габбройдов (по Н. Л. Добрецову), либо тоналитов (по Г. Н. и А. А. Савельевым).

Завершает разрез офиолитов восточной полосы габбрю-диабазовая дайковая и плагиогранит-тоналитовая серия. Дайковая выделена только в 1975 г. в Войкаро-Сынинском массиве и кратко описана выше (гл. 3). Ее присутствие можно предполагать и в других участках, хотя в значительной мере она сорвана или преобразована в амфиболитовые бластомилониты. Само наличие дайковой серии, состоящей почти целиком из серии параллельных даек диабазов, очень важно, так как этим подчеркивается аналогия с определенными офиолитовыми сериями, формировавшимися, как считают многие исследователи, в условиях непрерывного расширения океанического дна (см. гл. 7). В основании дайковой серии присутствуют габбрю, претерпевшие преобразования в пегматоидные габбрю-амфиболиты и находящиеся в сложных соотношениях с диабазами. Породы даек содержат многочисленные ксенолиты габбрю, дунитов и верлитов полосчатой серии, а также вулканогенно-осадочных пород, перекрывающих ранее офиолиты. Непосредственного перехода от дайковой серии к этим породам не обнаружено, что может отражать либо маскировку переходов тектоническими перемещениями, либо (как считает Н. А. Савельев) самостоятельное позднее внедрение базальтовой магмы на ранних стадиях скучивания. В этом случае дайковый комплекс приобретает значение самостоятельной формации.

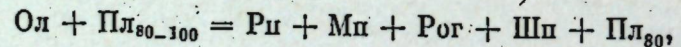
#### Дунит-лерцит-вебстерит-метагаббрю-иоритовая-формация

Эта формация, как уже отмечалось, обособляется впервые на основании существенного отличия в составах, степени и характере метаморфизма, а также, возможно, и возрасте по сравнению с породами предыдущей формации. Главные особенности пород этих формаций, представленных в западной и восточной полосах в Войкаро-Сынинском массиве, систематизированы в табл. 17. По своим признакам породы западной полосы сходны с та-ковыми малыкского комплекса, примыкающего к гипербазитам Сыум-Кеукского массива с востока. Поэтому различия западных и восточных габбрю в Войкаро-Сынинском массиве не могут быть обусловлены их положением в западном опрокинутом крыле крупной антиклинальной складки, которой характеризовалась в целом структура Войкаро-Сынинского массива (Дергунов и др., 1974). Для малыкского комплекса имеются доказательства его древнего докембрийского возраста (см. табл. 1), что ставит вопрос и о возможности докембрийского возраста западного габбройдного комплекса (или всех габбройдов, по А. А. Савельеву) в Войкаро-Сынинском массиве. Косвенно об этом говорят цифры 468–500 млн. лет, полученные для метаморфитов западной полосы Войкаро-Сынинского массива и грапатовых габбрю-амфиболитов Рай-Иза.

Сравнение западного и восточного полосчатых комплексов и габбро

Разрез комплекса	Западная полоса	Восточная полоса
Дуниты	$\text{Cr} \geq 0,2$ ; $\text{Ni} 0,1-0,3$ (см. рис. 25, 6, в, табл. 5) С зеленой шпинелью	$\text{Cr} \leq 0,1$ ; $\text{Ni} 0,2-0,4$
Лерцолиты		Отсутствуют
Верлиты		Систематически беднее $\text{TiO}_2$
Вебстериты		
Клинопироксениты	С зеленой шпинелью (количество несколько обильнее)	
Троктолиты	Отсутствуют (или находятся в реликтах)	Всегда на контакте с габбро
Габбро	Габбро-пориты, редко железистые феррорагббо (более железистые, титанистые, натровые)	Диопсид-анортитовые и эвкритовые габбро, битовитовые габбро-пориты (высокоглиноzemистые и кальциевые)
Дайковая серия	Отсутствует (не известна)	Преимущественно диабазы, редко альбитофиры
Тоналитовая серия	Отсутствует	Развита исключительно полно
Метаморфизм	Гранат-шпинель-пироксен-амфиболовые породы; двутироксеновые гранулиты и эклогитоподобные породы; гранат-диопзитовые амфиболиты; «плагиогнейсы»; глаукофановые и лавсонитовые сланцы	Метагаббро; амфиболиты (без граната, редко с куммингтонитом); амфиболовые бластомилониты, изредка со спессартином; амфиболовые, tremolit-анортитовые породы

Как и в предыдущей формации, здесь выделяются переходная зона и собственно габроидная часть. Переходная зона в относительно неизменном состоянии представлена в массиве Сыум-Кеу. В ее составе наряду с дунитами и клинопироксенитами широкое развитие получили вебстериты и лерцолиты, содержащие шпинель. Здесь отсутствуют также троктолиты и другие «первичные» породы, содержащие ассоциацию  $\text{An} + \text{Fo}$ . Весь комплекс сформирован в условиях шпинель-тироксеновой фации глубинности ( $\text{Pn} + \text{Mp} + \text{Al-Shp}$ ). Иногда появляется и гранат в вебстеритах (ассоциация  $\text{Mp} + \text{Pn} + \text{Gr} + \text{Shp} \pm \text{Pn}$ , см. рис. 8). В восточной (переходной?) части габбро-поритового комплекса массива Сыум-Кеу, а местами в Войкаро-Сынынском обнаруживаются плагиоклазодержащие перидотиты, пироксениты и троктолиты (?) с калиевыми каймами, фиксирующими реакцию



происходящую при понижении температуры на границе шпинель-тироксеновой фации (см. гл. 2).

В этих массивах описанные породы переходной зоны — дуниты, верлиты, оливиновые клинопироксениты, шпинель- и гранатсодержащие вебстериты — присутствуют непосредственно внутри габбро-поритов и имеют с ними постепенные переходы. Роль связующего звена вместо троктолитов в предыдущей формации играют шпинель-гранатовые вебстериты ( $\pm \text{Pl}$ ,  $\text{Rog}$ ), дающие переходы к амфиболизированным габбро-поритам и гранатовым амфиболитам. В западной полосе Войкаро-Сынынского массива амфиболизация вебстеритов прошла интенсивнее: они обычно не сохраняются и габбро-пориты отделены от лерцолитов, верлитов и клинопироксенитов амфиболитами (в значительной мере аповебстеритовыми?). Однако и здесь в переходной зоне присутствуют лерцолиты и пироксениты с зеленой шпинелью и, как правило, отсутствуют троктолиты, подобно малыкскому комплексу. Породы переходной зоны несколько богаче магнием и титаном, чем в предыдущей формации (табл. 17 и 18).

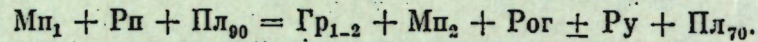
Таблица 18

Химические анализы гнейсо-габбро-поритов и апогаббро-поритовых амфиболитов малыкского комплекса

Описел	273/7	277	326	285/1	278	316/5	273/4	293/1	Среднее из 7 ан. (2-8)	321/2	320/2а.	310	312/2	Среднее из 4 ан. (10-13)	
SiO <sub>2</sub>	48,30	48,96	44,84	47,98	43,40	44,74	40,38	41,36	44,46	41,60	42,31	46,00	42,60	43,43	
TiO <sub>2</sub>	0,23	0,45	0,71	0,45	0,69	0,67	0,90	0,68	0,61	1,09	0,57	0,58	1,11	0,84	
Al <sub>2</sub> O <sub>3</sub>	4,26	14,0	13,72	17,87	18,02	18,62	19,55	17,22	21,24	26,65	18,10	16,63	20,65		
Fe <sub>2</sub> O <sub>3</sub>	3,21	1,90	4,34	0,81	4,99	3,40	5,72	4,93	3,68	6,40	4,36	4,52	8,46	5,94	
FeO	5,29	7,45	7,78	6,14	9,45	6,70	12,68	10,77	8,67	8,00	5,48	7,14	9,34	7,50	
MnO	0,18	0,24	0,25	0,45	0,26	0,46	0,33	0,34	0,26	0,25	0,16	0,18	0,15	0,48	
MgO	17,16	12,86	11,44	10,42	8,75	7,42	6,72	6,91	9,03	5,50	3,90	6,55	7,05	5,75	
CaO	16,94	13,30	15,15	15,96	14,03	14,31	12,77	13,61	14,46	13,04	14,40	12,60	12,02	12,94	
Na <sub>2</sub> O	0,20	0,40	0,66	0,49	0,43	0,64	0,40	0,51	0,46	1,25	1,18	1,47	1,40	1,48	
K <sub>2</sub> O			0,07		0,22	0,40	0,19	0,30	0,16	0,13	0,01	0,06	0,07	0,07	
H <sub>2</sub> O <sup>+</sup>	0,57	0,41	—	0,08	—	0,10	0,10	0,11	0,12	0,06	—	—	—	0,13	
H <sub>2</sub> O <sup>-</sup>	—	—	—	—	—	—	—	—	—	0,01	0,016	0,05	0,04	0,12	
V <sub>2</sub> O <sub>5</sub>	0,10	0,04	0,02	0,04	0,02	0,02	0,02	0,02	0,02	0,023	0,023	0,023	0,023	0,023	
Cr <sub>2</sub> O <sub>3</sub>	0,04	0,07	0,05	0,06	0,06	0,07	0,07	0,06	0,06	0,34	0,31	0,09	0,15	0,09	
P <sub>2</sub> O <sub>5</sub>	4,02	0,85	1,45	0,74	1,00	3,29	1,73	1,73	1,54	0,71	1,08	2,93	2,03	1,70	
Сумма	99,93	100,63	100,40	100,50	100,49	99,80	100,48	100,49	100,42	100,04	100,41	100,49	99,91	100,294	
MgO/ZFe	2,40	1,40	0,95	1,65	0,65	0,78	0,45	0,38	0,45	—	0,40	0,42	0,57	0,41	—

Приемы п. с. Образца 273/7 — вебстерит, 277 — метапирократовый габбро-порит с примесью магнетита, р. Малая Халдай; 326, 285/1, 278, 316/5 — измененные (амфиболитоподобные) габбро-пориты с гранатом; 203/1 — гранат-диопзитовый амфиболит, 321/2, 312/2 — измененные габбро-пориты с магнетитом. Анализаторы 277, 320/2а, 310/2/2 выполнены в химлаборатории ВСЕГЕИ, анализатор А. П. Аксельрод, оставшиеся — в Северо-Западном геологическом управлении, анализатор Е. П. Кузнецова. Все материалы из коллекции Ю. Е. Модильянцева. В образце 321/2 Cu 0,07%.

Наиболее интересна габброидная часть формации, поскольку она наиболее резко отличается от габброидов предыдущей формации, причем это различие нельзя объяснить особенностями метаморфизма или метасоматоза. Преобладают габбро-пориты с повышенными железистостью, титанистостью и патровостью. Минералогически это отражается в самых ранних минералах — наличие титанистых и железистых пироксенов, лабрадора и битовнита (кислее № 80). Характерно также раннее образование граната и гранатсодержащих эклогитоподобных пород, эквивалентных по составу железистым габбро-поритам. В массиве Сыум-Кеу (малыкский комплекс), как мы отмечали, наиболее ранняя стадия соответствует гранулитовой фации и представлена двупироксеновыми габбро-гнейсами нередко с буровато-зеленой титанистой роговой обманкой, гиперстеновыми и альмандин-гиперстеновыми гнейсами с голубоватым кварцем. Для западной полосы Войкаро-Сынынского массива очень характерны эклогитоподобные породы, в которых гранат развивается в виде реакционных каемок между первичными пироксенами и плагиоклазом. Реакция здесь имеет, по-видимому, вид



На основании такого рода реакционных соотношений и изучения состава минералов в хребте («массиве») Хорд-Юс, входящем в состав западной полосы Войкаро-Сынынского массива, Н. Л. Добрецов (1974а, б) пришел к выводу о том, что это могли быть реакции на магматической (или ранней постмагматической) стадии, происходившие при остывании магматических габбро-поритов в условиях шпинель-пироксеновой фации. Об этом свидетельствуют высокая магнезиальность амфибола и граната, обнаруживающего зональность, с некоторым возрастанием железистости во внешней кайме (табл. 19).

Наиболее ранние магнезиальные гранаты (в табл. 19 обр. 148 и 73/4) содержат 35—40% пиропа, около 30% Ca-компоненты и альмандин. В зональных гранатах (обр. 73/5) содержание альмандина возрастает, а пиропа и гроссуляра падает; иаконец, в гранатовых амфиболитах без пироксена (обр. 2047) количество пиропа 20%, Ca-компонента 18% и альмандина (+спессартин) 62%. Однако составы роговой обманки во всех случаях остаются почти одинаковыми (ср. обр. 73/4 и 2047), несколько меняется лишь ее железистость. Сходство составов пород и минералов из гранатовых амфиболитов зоны метаморфизма в массиве Рай-Из (обр. 2047) и в западной полосе Войкаро-Сынынского массива указывает на их принадлежность к одной формации.

С породами этой формации в массиве Рай-Из и в западной полосе Войкаро-Сынынского массива пространственно ассоциируют разнообразные метасоматические породы, из которых наиболее интересны жадеититы и везувиановые родниты (Добрецов, Попомарева, 1965; Казак, Добрецов, Молдаванцев, 1976). Эти породы отсутствуют в восточной полосе, в ассоциации с породами предыдущей формации. Правда, в массиве Рай-Из везувиановые родниты и жадеититы присутствуют в полосе меланжа внутри массива (в отличие от внешней полосы, где такие породы отсутствуют, см. гл. 3). В Войкаро-Сынынском массиве, к западу от горы Пай-Ер, тела жадеититов и альбититов концентрируются в виде пояса, притягивающегося в юго-западном направлении от р. Средняя Кечпель до р. Средняя Лагорта на расстоянии около 30 км. Тела располагаются среди интенсивно деформированных и рассланцованных серпентинитов, серпентин-хлоритовых пород с лизами дунитов и пироксенитов. Наряду с жилообразными телами присутствуют округлые будины, окруженные каймой или «рубашкой» амфибола, амфиболовых сланцев, флогопита, но часто эти каймы сорваны и многие округлые тела жадеититов представляют тектонические отторженцы. Возможно, эти зоны также являются зоной меланжа, аналогичной из

Таблица 19

Описел и натив	Химические анализы минералов из метагаббро-поритового комплекса										285/2		
	73/4					73/5					310/4		
	Гр	Мп	Рог	Гр	Гр	Гр	Рог	Гр	Рог	Рн	Пл	Рн	Мп
SiO <sub>2</sub>	40,0	51,4	44,6	47,8	38,5	39,5	40,4	41,7	42,5	35,70	43,00	50,4	50,7
TiO <sub>2</sub>	0,04	0,36	0,90	0,60	1,10	—	0,11	0,08	0,08	0,78	0,81	0,91	0,66
Al <sub>2</sub> O <sub>3</sub>	21,5	4,40	13,0	8,30	14,7	21,5	21,6	21,8	17,4	15,6	10,56	3,98	4,12
Fe <sub>2</sub> O <sub>3</sub>	—	1,10	1,50	4,50	16,2	22,0	17,8	10,1	4,00	4,29	4,85	2,59	3,11
FeO	20,6	6,40	10,9	5,40	0,36	0,30	1,60	0,08	2,15	0,22	0,68	7,65	1,90
MnO	1,10	0,12	0,08	0,36	10,3	6,40	9,80	9,50	9,90	4,90	13,70	0,30	0,01
MgO	7,10	12,8	13,8	9,80	20,2	9,40	10,8	12,6	6,20	11,40	0,85	20,5	14,5
CaO	9,20	21,3	9,80	9,40	8,00	7,20	—	3,10	2,80	0,20	2,40	0,45	2,88
Na <sub>2</sub> O	0,03	1,20	1,80	1,60	—	—	—	—	0,18	0,20	—	0,09	—
K <sub>2</sub> O	—	—	—	—	(2,00)	—	—	—	—	—	—	—	—
H <sub>2</sub> O <sup>+</sup>	(теор., и.и.п.)	—	—	—	—	—	—	—	—	—	—	—	—
P <sub>2</sub> O <sub>5</sub>	—	—	—	—	—	—	—	—	—	—	—	—	—
Сумма	99,57	99,08	98,38	98,56	—	97,9	99,3	98,98	98,51	97,33	99,62	100,49	100,44
f, %	63,1	24,9	33,3	35,8	47,8	67,3	67,5	51,3	45,3	42,4	77,0	29,0	40,6
Si	3,06	1,92	6,24	1,80	—	3,02	3,05	3,05	5,91	5,98	2,860	6,620	1,906
Ti	—	0,01	0,09	0,018	—	—	—	—	0,008	0,087	—	0,023	0,025
Al	1,94	0,19	2,15	0,37	—	1,99	1,97	1,95	2,91	2,59	1,930	0,131	0,190
Fe <sup>3+</sup>	—	0,03	0,15	0,13	—	—	—	—	0,43	0,42	0,260	0,550	0,072
Fe <sup>2+</sup>	1,32	0,20	1,24	0,17	—	1,44	1,47	1,13	1,20	1,15	1,590	0,670	0,239
Mn	0,07	0,002	0,008	0,01	—	—	—	—	0,004	0,008	0,150	0,030	0,010
Mg	0,81	0,71	2,88	0,55	—	0,75	0,76	1,07	1,97	2,08	0,590	3,150	0,417
Ca	0,75	0,85	1,47	0,82	—	0,67	0,76	0,76	1,64	1,90	0,530	1,880	0,034
Na	—	0,09	0,49	0,12	—	—	—	—	0,85	0,76	0,008	0,720	—
К	—	—	—	—	—	—	—	—	—	—	—	—	—
Сумма	7,95	4,002	14,758	3,983	7,97	7,95	7,964	14,918	14,896	8,007	16,222	3,974	3,986

Приимеч. Образцы 73/4, 74/7, 73/5, 148, 167 — из эклогитоподобных пород массива Хорд-Юс, западная полоса Войкаро-Сынынского массива; анализ — коллекция Ю. Г. Добрентьева, коллекция Ю. Е. Модильяннича. Образец 2047 — из гранатового амфиболита западной полосы Войкаро-Сынынского массива. Образцы 310/4 и 285/2 — из габбро-поритов массива Рай-Из, лаборатория И. Ф. Петрова. Образец 310/4 — из пироп-амфиболитов массива Рай-Из, лаборатория В. С. Гегеля, аналитик И. П. Шульца. Образец 285/2 — из пироп-амфиболитов массива Рай-Из, лаборатория В. С. Гегеля, аналитик И. П. Шульца.

Таблица 20  
Химические анализы яадентов и ассоциирующих минералов из родолигитов и яадентитовых пород массивов Рай-Па (образцы 74—11 и) и Бийкаро-Сынинского (район Кечель)

Окисел и катион	74		294 (Ипл)		295		295a		294a		Ив (Ди)		M610-51		M105-62		
	Цо	Mn	ЖД(п)	ЖД(п)	ЖД(п)	ЖД(п)	Ми(а)	Ми(б)	Ди	Гр	Ди	Гр	Ив (Ди)	Ив (Ди)	Ив	Ив	
SiO <sub>2</sub>	40,5	54,2	54,90	59,83	59,85	54,2	54,5	54,9	40,3	53,5	58,00	58,30	58,00	58,30	0,09	0,2	
TiO <sub>2</sub>	0,11	0,35	0,11	24,54	24,77	—	—	—	20,9	0,06	21,98	22,65	0,07	0,07	0,05	0,05	
Al <sub>2</sub> O <sub>3</sub>	31,3	2,38	26,70	0,26	0,06	(1,40)	0,20	0,04	2,25	0,52	2,90	4,08	2,90	2,90	0,38	0,38	
Fe <sub>2</sub> O <sub>3</sub>	3,06	2,86	1,30	—	—	—	0,45	—	—	—	—	—	—	—	—	—	
Cr <sub>2</sub> O <sub>3</sub>	—	—	10,7	0,70	—	—	2,89	4,66	4,83	0,11	0,06	16,8	0,05	0,05	0,46	0,46	
FeO	—	—	—	—	—	—	0,15	0,21	—	—	—	—	—	—	—	—	
MnO	—	—	—	—	—	—	15,9	15,6	18,3	37,2	23,0	1,68	1,68	1,68	1,30	1,30	
MgO	0,06	9,95	0,6	1,35	—	—	24,4	23,9	24,5	—	0,60	2,58	2,58	2,58	2,56	2,56	
CaO	23,4	18,3	13,8	15,04	15,0	—	0,05	0,05	0,12	—	0,06	14,49	14,49	14,49	13,31	13,31	
Na <sub>2</sub> O	0,01	1,45	0,04	0,04	—	—	—	—	—	—	—	0,36	0,36	0,36	0,13	0,13	
K <sub>2</sub> O	0,02	—	—	—	—	—	—	—	—	—	—	0,25	0,25	0,25	0,70	0,70	
H <sub>2</sub> O <sup>+</sup>	2,0	—	—	—	—	—	—	—	—	—	—	—	—	—	—	—	
P <sub>2</sub> O <sub>5</sub>	—	—	—	—	—	—	—	—	—	—	—	—	—	—	—	—	
П. п. п.	—	—	—	—	—	—	—	—	—	—	—	—	—	—	—	—	
<b>Сумма</b>	100,46	100,73	99,50	99,67	99,66	99,50	99,78	99,726	100,76	99,50	100,66	99,91	99,91	99,91	99,91	99,91	
Si	2,88	2,03	1,87	2,091	2,017	1,99	2,00	1,99	2,00	3,01	1,93	1,98	1,98	1,98	1,98	1,98	
Ti	0,01	0,01	1,08	0,976	0,983	0,01	0,01	0,001	0,001	1,83	0,002	0,002	0,002	0,002	0,002	0,002	0,002
Al	2,62	0,11	0,03	0,007	0,002	0,13	0,13	0,13	0,13	0,13	0,07	0,07	0,07	0,07	0,07	0,07	0,07
Fe <sup>3+</sup> (Cr)	0,16	0,06	0,26	0,02	—	—	—	—	—	0,09	0,09	0,09	0,09	0,09	0,09	0,09	0,09
Fe <sup>2+</sup>	—	—	—	—	—	—	—	—	—	0,01	0,01	0,01	0,01	0,01	0,01	0,01	0,01
Mn	—	—	—	—	—	—	—	—	—	—	—	—	—	—	—	—	—
Mg	0,01	0,52	0,03	0,05	0,05	0,03	0,03	0,03	0,03	0,09	0,09	0,09	0,09	0,09	0,09	0,09	0,09
Ca	1,85	0,74	0,17	0,92	0,984	0,989	0,989	0,989	0,989	0,989	0,989	0,989	0,989	0,989	0,989	0,989	0,989
Na	—	—	—	—	—	—	—	—	—	—	—	—	—	—	—	—	—
<b>Сумма</b>	7,53	3,90	4,02	3,986	3,982	3,98	3,58	4,024	7,951	3,955	4,034	4,034	4,034	4,034	4,034	4,034	4,034

Окисел и катион	527		526		227		265В (2)		М27-49 (пироксенинг)		М-27 (Ди)		M1366		332		271(Фл)		
	1	1a	1	1a	2	2	2a	2a	53,75	50,20	54,4	45,96	43,23	43,23	43,23	43,23	43,23	43,23	43,23
SiO <sub>2</sub>	59,5	59,4	58,9	59,1	56,3	56,8	57,9	53,75	50,20	54,4	45,96	43,23	40,32	40,32	40,32	40,32	40,32	40,32	40,32
TiO <sub>2</sub>	24,7	21,3	22,3	20,4	10,9	8,3	10,9	12,03	12,03	12,03	12,48	12,48	11,81	11,81	11,81	11,81	11,81	11,81	11,81
Al <sub>2</sub> O <sub>3</sub>	—	1,1	1,1	1,1	2,3	3,6	1,1	3,33	3,33	4,1	2,65	2,65	2,60	2,60	2,60	2,60	2,60	2,60	2,60
Fe <sub>2</sub> O <sub>3</sub>	—	—	—	—	—	—	—	—	—	—	—	—	—	—	—	—	—	—	—
Cr <sub>2</sub> O <sub>3</sub>	—	—	—	—	—	—	—	—	—	—	—	—	—	—	—	—	—	—	—
FeO	0,45	0,5	0,5	0,5	0,2	0,4	0,6	0,6	0,6	0,96	0,96	0,96	0,71	0,71	0,71	0,71	0,71	0,71	0,71
MnO	—	—	—	—	0,03	0,03	0,03	0,03	0,03	0,17	0,17	0,17	0,12	0,12	0,12	0,12	0,12	0,12	0,12
MgO	0,14	1,7	1,7	1,4	2,3	8,5	9,8	7,99	7,99	7,99	14,59	14,59	16,30	16,30	16,30	16,30	16,30	16,30	16,30
CaO	0,25	2,7	2,7	14,4	14,4	12,3	14,1	14,1	14,1	12,8	12,8	12,8	12,8	12,8	12,8	12,8	12,8	12,8	12,8
Na <sub>2</sub> O	15,4	12,4	—	—	—	—	—	—	—	—	—	—	—	—	—	—	—	—	—
K <sub>2</sub> O	—	—	—	—	—	—	—	—	—	—	—	—	—	—	—	—	—	—	—
H <sub>2</sub> O <sup>+</sup>	—	—	—	—	—	—	—	—	—	—	—	—	—	—	—	—	—	—	—
P <sub>2</sub> O <sub>5</sub>	—	—	—	—	—	—	—	—	—	—	—	—	—	—	—	—	—	—	—
П. п. п.	—	—	—	—	—	—	—	—	—	—	—	—	—	—	—	—	—	—	—
<b>Сумма</b>	100,14	99,1	99,23	100,38	98,87	99,7	100,63	100,41	99,70	99,99	99,52	99,40	99,77	99,77	99,77	99,77	99,77	99,77	99,77
Si	2,00	2,03	2,01	2,01	2,01	2,02	2,02	2,03	2,03	1,92	1,92	1,97	6,30	6,07	6,07	6,07	6,07	6,07	6,07
Ti	—	0,98	0,86	0,90	0,92	0,46	0,35	0,45	0,45	0,51	0,51	0,47	2,03	0,09	0,09	0,09	0,09	0,09	0,09
Al	—	—	0,03	0,03	0,03	0,06	0,06	0,06	0,06	0,03	0,03	0,03	0,268	0,27	0,27	0,27	0,27	0,27	0,27
Fe <sup>3+</sup> (Cr)	—	—	—	—	—	—	—	—	—	—	—	—	—	—	—	—	—	—	—
Fe <sup>2+</sup>	—	—	—	—	—	—	—	—	—	—	—	—	—	—	—	—	—	—	—
Mn	0,005	0,015	—	0,01	0,01	0,02	0,02	0,02	0,02	0,06	0,06	0,06	0,002	0,002	0,002	0,002	0,002	0,002	0,002
Mg	0,007	0,009	0,010	0,005	0,006	0,012	0,012	0,012	0,012	0,047	0,047	0,047	0,81	0,81	0,81	0,81	0,81	0,81	0,81
Ca	0,01	0,40	0,40	0,40	0,40	0,40	0,40	0,40	0,40	0,48	0,48	0,48	0,91	0,91	0,91	0,91	0,91	0,91	0,91
Na	1,00	0,84	0,84	0,955	0,955	0,945	0,945	0,945	0,945	0,48	0,48	0,48	—	—	—	—	—	—	—
<b>Сумма</b>	4,002	3,965	4,015	4,03	4,03	4,03	3,98	3,98	3,98	3,99	3,99	4,028	—	4,022	14,95	14,95	14,95	14,95	14,95

ПРИМЕЧАНИЯ. Образец 294 (Ипл) — ВСЕГЕИ, аналитик Г. Ф. Петрова; образец М105-51, М105-02, М27-49, М27-50 — материалы В. Ф. Морковкиной, ПХЛ ИГЕМ; 265В, 271, 332 — материалы Н. Л. Добрецова и И. Г. СО АН СССР. Остальные анализы выполнены на микропроцессоре под руководством Ю. А. Лапрентьева, ПГИГ СО АН СССР, материалы Н. Л. Добрецова и А. П. Казака. ПГИГ СО АН СССР. П. п. п. — диопсид-жадеит; 1а — яадент; 2, за — диопсид-жадеит; 1а и 2 — спиринасеченный зона.

массива Рай-Из. В таком случае жадеититы могут быть более глубинными породами, как и пироповые пироксениты в меланжке массива Рай-Из, и относиться к следующей, метафиолитовой формации. В юго-западной части полосы с жадеититами ассоциируют слюдяные альбититы и «плагиогратиты», происхождение которых дискуссионно (Добрецов, 1974).

Составы минералов из цоизитовых и везувиановых родингитов и жадеитовых пород приведены в табл. 20. Везувиан определен на основании оптических свойств и рентгенограмм (Казак, Добрецов, Молдаванцев, 1976). Обычно Ca-метасоматиты (родингиты) и жадеититы пространственно и генетически разобщены, в массиве Рай-Из они совмещены. Но и здесь отчетливо видно замещение жадеитовых пород (обр. 294, 295) родингитами, в частности, найдены брекчированные породы с реликтами жадеита, замещающиеся зеленым хром-диопсидом (обр. 295а), альбитом и гроссуляром. В других случаях замещение происходит с образованием альбита, цоизита, диопсида или диопсид-жадеита (обр. 11в, 74, 294а).

Жадеиты района Кечпель ассоциируют с альбититами, содержащими в разных участках и зонах диопсид-жадеит (обр. 265В), флогопит, присутствующий также в оторочках (обр. 271), иногда мусковит, роговую обманку (обр. 332, M136б) или tremolит. Ассоциирующие пироксениты содержат Na-пироксен (M27-49, M-27), образующий, по-видимому, все переходы к диопсид-жадеиту. Таким образом, намечаются три типа оторочек: 1) пироксенитовая (диопсид-жадеит  $\pm$  альбит  $\rightarrow$  диопсид); 2) роговообманковая; 3) флогопитовая. Роговообманковая иногда замещается флогопитовой, иногда, наоборот, накладывается на пироксенитовую. В свою очередь, все три типа оторочек замещаются актинолитом (тремолитом) и хлоритом. Наиболее обычна зональность в идеализированном виде имеет вид: 2) серпентиниты; 2) роговообманковая оторочка  $\pm$  флогопит; 3) амфиболовые альбититы ( $Ab + Rg \pm Cl$ ) (рис. 29); 4) жадеитит, замещаемый альбититами.

В самих жадеититах очень часты следы катаклаза и дифтореза с замещением жадеита альбитом, диопсид-жадеитом, реже флогопитом и низкотемпературными минералами — натролитом, tremolитом и др. Возникающие ассоциации зональный жадеит + оторочки лучистого диопсид-жадеита (обр. 527, 526, 227 в табл. 20) обнаруживают постоянство состава внешних зон жадеита (1а) и диопсид-жадеита (2), доказывающее вместе с другими фактами на разных месторождениях жадеита разрыв смесимости между жадеитом и диопсид-жадеитом (Добрецов, 1962, 1974а, б).

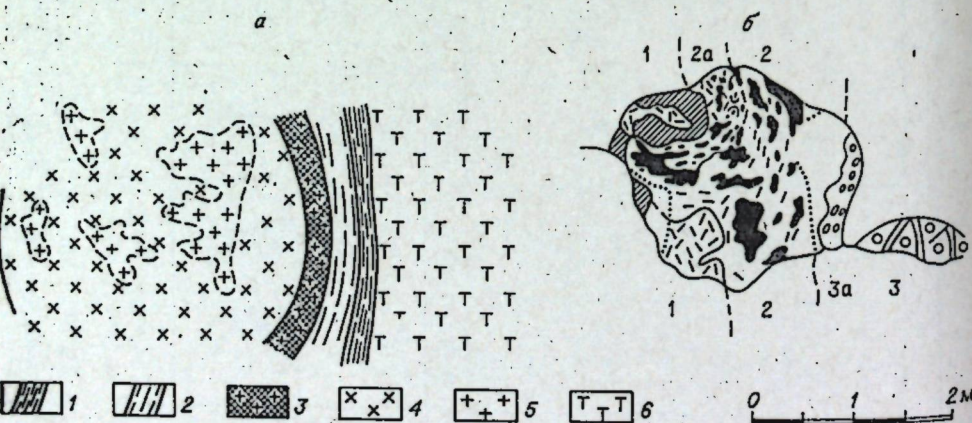


Рис. 29. Строение кайм вокруг тел жадеититов.

а — данные В. Ф. Морковкиной (1967); 1 — серпентиниты, 2 — амфибол, 3 — альбитит с роговой обманкой, 4 — жадеитит, 5 — альбитит; 6 — дунит; б — данные И. Л. Добрецова (цифры на рисунке): 1 — серпентинит с агрегатом актинолита; 2 — роговая обманка, сцепментированная флогопитом, 2а — брекчиивидная масса флогопита, актинолита, серпентина, 3 — брекчиивидный жадеит с жилами натролита, За — брекчия жадеита и флогопита.

Вопрос о генезисе жадеитовых пород Полярного Урала дискутировался неоднократно. В. Ф. Морковкина (1967) допускала, что жадеититы могли образоваться за счет альбититов при их десиликации. Однако во всех случаях автору удавалось наблюдать только обратные соотношения — дифторическое замещение жадеита альбитом ( $\pm$ диопсид-жадеит, слюда, натролит). Более вероятен высокотемпературный метасоматоз за счет плагиоклазитов или лейкогаббро в условиях высоких давления и потенциала натрия (что согласуется с натровым характером габбро-норитовой формации). Не исключено, что этот метасоматоз мог происходить в магматическую стадию (Добрецов, Пономарева, 1965; Добрецов, 1974). Все авторы признавали необходимость высокого потенциала натрия и повышенных давлений при образовании жадеититов. K-Ar возраст флогопита из оторочек жадеититов 403—405 млн. лет (см. табл. 1), однако эти цифры, судя по замещению жадеита флогопитом, отражают лишь последние стадии метасоматоза. Самые жадеититы, вероятно, более древние.

### ЗАПАДНЫЙ МЕТАМОРФИЧЕСКИЙ ПОЯС И МЕТААФИОЛИТОВАЯ ФОРМАЦИЯ

Вдоль западного края Войкаро-Сынинского и Хадатинского поясов, как отмечалось в главе 1, непрерывно тянется метаморфический пояс сложного строения (см. рис. 1). Отличительная его особенность — наличие пород высоких давлений: пироповых перидотитов, эклогитов, глаукофановых сланцев. Эти породы отсутствуют восточнее гипербазитов. В большинстве случаев они пространственно тяготеют к предыдущей формации с эклогитоподобными породами. К западу и северу от массивов Сыум-Кеу и малых комплексов расположаются эклогитсодержащий марункеуский комплекс и глаукофановые сланцы р. Щучья (см. рис. 1 и 2). В основании Хулгинского покрова (западного метагаббро-норитового комплекса) Войкаро-Сынинского массива прослеживаются глаукофановые сланцы и эклогиты (в частности, на участке Кечпель, см. рис. 1 и 19). К северу и западу от Рай-Иза аналогичные породы присутствуют в виде тектонических чешуй и в обломках меланжа.

Ассоциация пород: гранатовые перидотиты — эклогиты и гранатовые амфиболиты (метагаббро) — глаукофановые метабазальты — представляют, по Н. Л. Добрецову, древнюю метафиолитовую формацию. Рассмотрим особенности ее состава и строения и соотношение с другими метаморфическими образованиями на примере двух участков: Марун-Кеу — р. Щучья (а; б на рис. 1); район Кечпель (в на рис. 1).

На участке Марун-Кеу — р. Щучья выделяются три комплекса, отличающиеся по структуре и степени метаморфизма: а) марункеуский с пироповыми перидотитами и эклогитами; б) комплекс гранатовых амфиболитов и роговообманковых гнейсов; в) глаукофан-сланцевая нижневайская свита \*.

Контакты между этими комплексами в основном тектонические или неясные, но, судя по ориентировке структур, между ними можно предполагать скрытое несогласие. В то же время последовательность комплексов а)  $\rightarrow$  б)  $\rightarrow$  в) представляет общую метаморфическую последовательность при высоком давлении (порядка 10—12 кбар) и снижении температуры от а) к в), возможно, это слегка нарушенный и метаморфизованный разрез офиолитов с закономерным изменением состава от а) к в).

Строение марункеусского комплекса может быть проиллюстрировано на примере его южного участка (район Слюдянской горки), детально изученного Н. Г. Удовкиной (1971). Этот участок (рис. 30) сложен в основном эк-

\* По мнению А. А. Савельева, эта свита относится не к докембрию, а к ордовику.

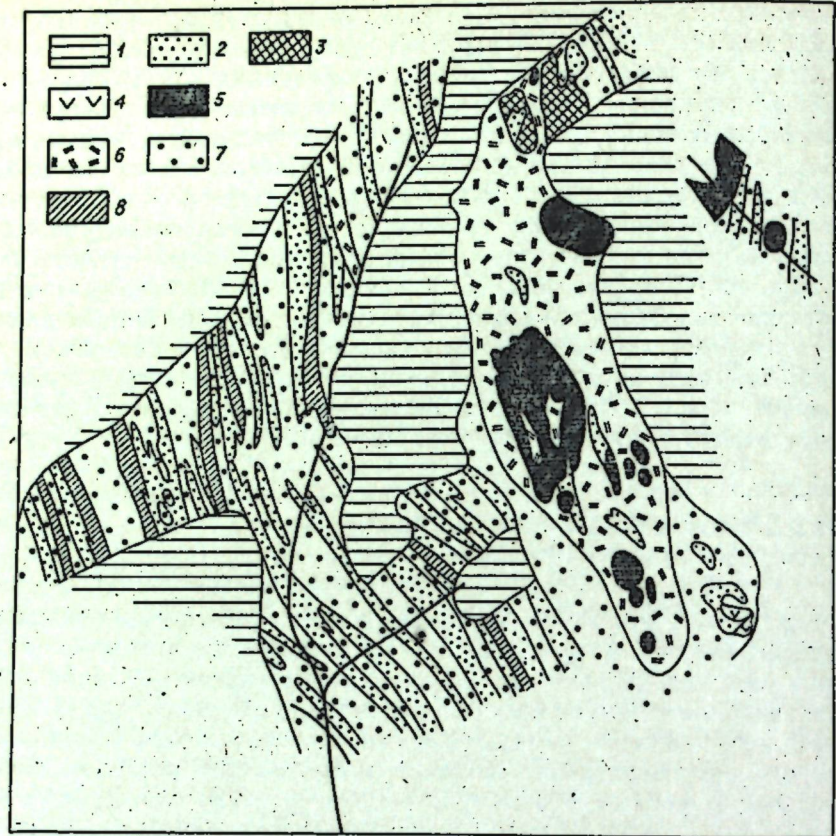


Рис. 30. Схема южной части марункеуского комплекса, район Слюдяной горки (Удовкина, 1971).

1 — делювий; 2 — плагиогранитогнейсы, мигматиты (микроклинизированные, мусковитовые и двуслюдянные); 3 — метагаббро; 4 — измененные габбро-диабазы; 5 — ультраосновные породы (гранатизированные перидотиты и др.); 6 — пироповые эклогиты (I тип); 7 — альмандиновые эклогиты (II тип); 8 — амфиболизированные эклогиты.

логитами с подчиненными прослоями мигматизированных плагиогнейсов и мигматитов. На контакте с этими прослоями эклогиты передко амфиболизированы. Среди обычных альмандиновых эклогитов, соответствующих по составу габбро или диабазам, выделяется тело пироповых эклогитов (пироксенитов), тесно связанных с гранатсодержащими перидотитами. Ультраосновные породы (гранатизированные перидотиты, «друзит-эклогиты») содержат 50—55% пиропа и 18—20% Ca-компоненты, иногда обрастающий шпинелью оливин и бледно-зеленую роговую обманку.

Пироповые эклогиты по составу аналогичны троктолитам и вебстеритам полосчатых дунит-габброидных формаций. Среди них выделяются двухминеральные, каринтиновые, дистеновые, цоизитовые разности с такситовыми и полосчатыми текстурами, псевдоморфными структурами, постепенными переходами к «друзит-эклогитам» (эклогитоподобным породам). Наличие последних, а также гранат-шпинелевых вебстеритов и широкое распространение псевдоморфных структур с реакционными каемками сближают эти породы с эклогитоподобными предыдущей формацией. Гранат в них содержит 42—50% пиропа и 18—24% Ca-компонента. Характерны также хромсодержащие омфациты (до 1,20% Cr<sub>2</sub>O<sub>3</sub> и 3—3,7% Na<sub>2</sub>O), дистен, буро-зеленая роговая обманка (каринтин), вторичные минералы (зеленый амфибол, цоизит, слюда).

Альмандиновые эклогиты развиты гораздо шире и составляют основу марункеуского комплекса. Они образовались за счет габбро и габбро-диабазов, о чем свидетельствуют реликты последних в некоторых эклогитах

(Удовкина, 1971). Эти эклогиты содержат порфиробласты темно-зеленой роговой обманки, омфацит (без хрома, но с агирином, 5—6% Na<sub>2</sub>O), альмандин (20—30% пиропа,  $f = 55—80$ , в среднем около 65%; 20—30% Ca-компонента) (табл. 21); наиболее железистые минералы — в эклогитах, богатых TiO<sub>2</sub> (рутилом). Каринтин, дистен и фуксит не встречаются, цоизит и эпидот редки, как и вторичные минералы. По составу эти эклогиты более железистые и титанистые, чем габбро-пориты предыдущей формации и даже чем габбро-диабазы.

Происхождение прослоев плагиогнейсов и других кварц-плагиоклавозных пород менее ясно. Н. Г. Удовкина считает их гранитоидами. Но, по крайней мере, часть из них соответствует по составу диоритам, лейкогаббро и аортозитам, особенно тем, которые содержат необычный альмандин-грессуляровый гранат ( $f = 95\%$ , кальциевость 58,5%). На контакте этих пород и линз гипербазитов возникают «биметасоматические» эклогиты, содержащие оторочки: 1) каринтин±гранат (3—4 см); 2) омфацит±гранат±кварц (до 3 см); 3) гранат±кварц. Другие плагиогнейсы и мигматиты, богатые слюдами, иногда с калишпатом, могли образоваться при «гранитизации» (с привносом K<sub>2</sub>O) за счет предыдущих прослоев метадиоритовых и метааортозитовых гнейсов.

В целом марункеуский комплекс по структуре и составу, как видно из рис. 30 и вышеупомянутого описания, сходен с полосчатыми перидотит-пироксенит-габбро-диоритовыми (аортозитовыми) комплексами, в частности, с малыкским, отличаясь от него только по фации метаморфизма и в меньшей мере — по составу.

Гнейсо-амфиболитовый комплекс, окружающий марункеуский (см. рис. 2), состоит в основном из гранатовых амфиболитов (с сине-зеленой роговой обманкой, цоизитом и альмандином) с частыми прослоями альбит-двуслюдянных «гнейсов». Он сходен по составу с амфиболизированной нижней частью марункеуского комплекса, хотя и отличается большим количеством кварцсодержащих прослоев. С другой стороны, он сходен с харбейской серией, выделенной и закартированной Г. А. Кейльманом и В. В. Бутыным (1975) в Харбейском антиклиниории как вероятный фундамент рифейской яровойской серии.

Глаукофансодержащая яровая серия образует внешнюю кайму гнейсо-амфиболитового комплекса и наиболее широко развита на его погружении к северо-востоку, в долине р. Щучья. Здесь они были подробно описаны Н. Л. Добречевым (1974), который подчеркнул их сходство с рифейским эклогит-глаукофансланцевым максютовским комплексом на Южном Урале. Наиболее характерны глаукофановые метабазиты и глаукофансодержащие зеленокаменные породы (ассоциация Гл + Эп + Аб + Сф ± Хл, Му, Ильм, Ап, иногда с реликтами сине-зеленой роговой обманки и биотита), гранат-кроситовые сланцы (Гр + Кр ± Гл + Аб + Му + + Кв + Руди + Сф ± Стиль, Ка, Хл), графитистые кварциты и кварцитосланцы (в том числе с ассоциацией Гр + винчит + Кв + Му + графит ± ± Аб, Цо, Сф, Ап), аркозовые кварциты. Последние, как и в максютовском комплексе, содержат крупные раздробленные кристаллы калишпата и мелкозернистый агрегат калишпата, кварца и альбита вместе с биотитом, мусковитом, эпидотом, сферулитом, иногда с гранатом и графитом. По мнению Ю. Е. Молдаванцева и А. П. Казака, по крайней мере часть этих пород могла быть послойными телами катаклизированных гранитоидов. Крайне редко встречаются ассоциации с реликтами лавсонита. Вблизи контактов с гипербазитами, главным образом в подошве массива Сым-Коу, встречаются тела эклогитов (см. гл. 2).

Разрез глаукофановых сланцев по р. Кечпель примыкает к гипербазитам и гранатовым амфиболитам Войкаро-Сынышского массива и залегает, по-видимому, под надвинутым крылом массива (см. рис. 1 и 9, а также гл. 3). В виде полос шириной от 10 до 100—150 м здесь присутствуют почти все породы гнейсо-амфиболитового и глаукофан-сланцевого комплексов

предыдущего участка, только контакты всех метаморфических «зон» тектонические и масштабы проявления этих пород в десятки раз меньше. Кроме того, дополнительные присутствуют линзовидные тела глаукофанизованных эклогитов, за счет которых регрессивно развивается значительная часть гранат-глаукофановых пород этого участка. Поэтому, по мнению Н. Л. Добрецова, это тектоническая смесь нескольких чешуй и линз, принадлежащих к разным фациям и не представляющих единой метаморфической зональности, хотя такое мнение высказывалось (см. гл. 3).

Составы минералов из глаукофанизованных эклогитов (обр. 344В) и гранат-глаукофановых пород (обр. 163/2, 138/5, 141/1) приведены в табл. 22. В целом они аналогичны минералам максютовского комплекса. Характерна повышенная примесь в гранатах марганца. Для сравнения в табл. 20 приведены составы породы и минералов из глаукофанового метабазальта массива Рай-Из, которые были описаны в главе 3.

Заканчивая общую характеристику офиолитов Полярного Урала, попытаемся суммировать наши представления о взаимоотношениях и генезисе выделенных комплексов пород. Авторы настоящей главы в разное время высказывали разные точки зрения, которые можно кратко сформулировать следующим образом.

1. Все офиолитовые комплексы пород Полярного Урала составляют единую офиолитовую ассоциацию, представляющую океанический фундамент эвгеосинклиналии варисид Урала. В этой ассоциации выделяется дунит-гарцбургитовый «фундамент», претерпевший сложную историю деформаций и метаморфизма, и полосчатый дунит-верлит-пироксенит-габброидный комплекс, сформировавшийся позже в раннем палеозое при равной роли магматических, метасоматических и метаморфических процессов. Различие западной и восточной полос этого комплекса объясняется разным характером метаморфизма и метасоматоза, что связано с расположением западной полосы (формации) в опрокинутом крыле крупной антиклинальной

складки. Многие процессы метаморфизма в гипербазитовом «фундаменте» и в габброидной «покрышке» происходили одновременно с деформациями при выведении офиолитов в верхние этажи путем надвигов и диапиров.

По мнению Н. Л. Добрецова и А. П. Казака, такому представлению противоречат различия составов габброидов и ассоциирующих пород западной и восточной полос (чешуй) в Войкаро-Сынинском массиве, аналогия пород западной (Хулгинской) чешуй и малыкского комплекса, который расположен к востоку от гипербазитов массива Сым-Кея и характеризуется древним докембрийским возрастом, а также в основном постметаморфическим характером большинства тектонических контактов, сопровождающихся только зеленосланцевым дифторезом (включая низкотемпературную серпентинизацию).

2. К первой точке зрения близко представление об едином вертикальном ряде формаций, последовательное образование которых привело к формированию офиолитовой ассоциации. Это представление, частично изложенное в главе 1 и в работах Ю. Е. Молдаванцева (1960, 1967), поддерживается и развивается А. А. и Г. Н. Савельевыми и многими исследователями школы, возглавляемой академиком А. В. Пейве (Пейве, Перфильев, Руженцев, 1973; Марков, 1975; Книппер, 1975; и др.).

Согласно этой точке зрения, наиболее древняя группа пород представлена лерцолит-гарцбургитовой формацией, выдержанность химического и минерального состава, а также деформационные структуры которой отражают, вероятно, поздние стадии преобразования («рестирования») верхней мантии и твердо-пластические деформации рестита в подвижном поясе. Принадлежность этой формации либо к ранним образованиям палеозойда Урала, либо к более древним не может быть пока решена однозначно из-за отсутствия надежного фактического материала.

Следующая, дунит-верлит-клинопироксенит-габбровая, формация (с троктолитом) является относительно поздней и отделена от предыдущей

Таблица 21

Химические анализы минералов и пород

Оксид	Гранатовые перidotиты				Друзит порода (среднее из 5)	Пироповые			
	221	429	324	163		150 (поро- да)	140	327	
	порода	Гр	Рог			Гр	Гр	Мп	
SiO <sub>2</sub>	41,56	41,13	40,29	49,52	43,45	47,14	42,01	40,75	53,89
TiO <sub>2</sub>	0,19	0,23	0,40	0,06	0,14	0,23	0,59	0,59	0,20
Al <sub>2</sub> O <sub>3</sub>	9,70	10,86	22,08	11,86	14,30	20,95	23,08	23,45	8,30
Fe <sub>2</sub> O <sub>3</sub>	4,92	2,56	1,62	1,63	0,95	0,69	0,82	He обн.	1,10
FeO	5,90	7,38	14,73	3,40	7,03	4,91	10,37	14,07	1,53
MnO	0,09	0,14	0,64	He обн.	0,11	0,10	0,35	0,44	He обн.
MgO	28,06	26,64	14,25	17,92	23,64	10,58	14,34	13,27	13,24
CaO	5,46	6,45	5,92	9,16	7,97	12,02	8,27	7,30	18,18
Na <sub>2</sub> O	0,82	0,55	0,002	3,32	1,08	1,97	0,13	0,03	3,18
K <sub>2</sub> O	0,28	0,69	0,04	0,75	0,11	0,30	0,10	0,04	0,11
H <sub>2</sub> O <sup>-</sup>	0,16	0,12	He обн.	0,40	He обн.	0,15	He обн.	He обн.	He обн.
H <sub>2</sub> O <sup>+</sup>	2,35	1,88	»	1,32	0,69	0,54	»	»	»
Cr <sub>2</sub> O <sub>3</sub>	0,22	0,48	—	Сл.	0,17	0,09	—	—	0,40
Сумма	99,71	100,49	99,972	100,13	99,73	99,71	100,62	99,94	100,13

Примечание. В образце 429 обнаружено п. п. 1,19%, NiO 0,19%; в образце 163 — CO<sub>2</sub> 0,55%.

Эклогиты	Альмандиновые эклогиты				Плагиогней, 5/2, Гр	
	183					
	Цо	Гр	Мп	Рог		
39,39	40,48	54,93	48,13	48,73	39,61	
0,09	0,05	0,22	0,54	1,64	0,32	
32,05	22,30	8,51	13,17	15,74	21,39	
1,80	1,08	1,68	2,34	1,87	0,39	
8,21	18,61	2,18	4,63	10,77	21,02	
0,02	0,66	0,04	0,06	0,21	0,69	
0,30	9,10	11,84	16,33	7,18	5,74	
23,57	7,44	16,51	9,73	10,85	9,73	
0,07	0,08	4,05	2,74	2,18	0,03	
0,01	0,02	0,07	0,73	0,47	0,11	
Не обн.	Не обн.	0,50	0,08	Не обн.	Не обн.	
1,52	»	»	0,96	0,22	»	
—	—	0,17	0,18	0,04	0,10	
100,07	99,82	100,20	100,04	99,98	99,93	
100,40	100,50	99,77	100,04	100,17		

0,79%; в образце 150 — SrO 0,02%, NiO 0,09%, CoO 0,05%; в образце 327 (Го) — SrO 0,49%, CO<sub>2</sub>

Таблица 22

Рай-Из (обр. 66) и Войкаро-Сынинского (р. Левая Кечпель, обр. 344В—141/1)

## Химические анализы минералов из глаукофановых сланцев из обрамления массивов

Оксисел	66			344В			163/2			
	порода	Гл	Хл	Гр	Хлм	Гл	Гр <sub>1</sub>	Гр <sub>2</sub>	Гл	Эп
SiO <sub>2</sub>	46,20	56,6	28,1	38,26	54,74	38,97	37,8	37,6	56,8	38,2
TiO <sub>2</sub>	2,37	—	—	2,38	0,86	0,75	0,16	0,16	0,02	0,04
Al <sub>2</sub> O <sub>3</sub>	12,53	8,64	18,0	20,22	10,99	14,64	20,2	19,9	11,2	25,3
Fe <sub>2</sub> O <sub>3</sub>	5,74	—	—	3,81	5,32	10,82	—	0,5	1,1	9,4
Cr <sub>2</sub> O <sub>3</sub>	—	4,8	—	0,04	0,05	0,04	—	—	—	—
FeO	9,72	10,7	25,2	22,26	4,5	12,28	23,7	24,1	11,6	—
MnO	0,25	0,10	0,35	2,77	0,05	0,12	5,1	5,5	0,08	0,0
MgO	8,70	9,33	17,4	2,44	6,21	7,79	1,5	1,0	8,6	0,04
CaO	4,94	0,93	—	7,87	8,96	9,13	9,9	9,9	1,3	22,5
Na <sub>2</sub> O	4,20	7,0	—	—	6,56	2,51	0,04	0,04	6,6	0,04
K <sub>2</sub> O	0,30	—	—	—	0,31	0,56	—	—	—	—
H <sub>2</sub> O	—	(2,0)	(11,0)	—	1,50	2,32	—	—	(2,0)	(2,0)
Сумма	99,93	100,10	100,09	100,05	100,05	99,98	98,40	98,70	97,22	97,22
I, %	65,0	45,4	86,5	46,2	61,6	91,5	94,5	45,1	18,7	—

П р и м е ч а н и е. Образец 344В — аналитик И. К. Кузнецова, ИГИГ СО АН СССР, коллекция Ю. Е. Молдаванцева и Н. Л. Добрецова.

резким структурным несогласием. Дуниты, верлиты, клинопироксениты и троктолиты представляют, скорее всего, продукты реакционного взаимодействия главного члена формации — габбро-порит-эвакритов с твердыми блоками лерцолит-гардбургитов (по нашему мнению, вблизи границы мантии и коры). Реакционному ряду пород, возникшему на контакте гардбургит — габбро, внутри гипербазитов может соответствовать ряд дунит — антититит — вебстерит — клинопироксенит — габбро-порит — бронзит-апортитовая порода. Апортит-оливиновый парагенезис в этой формации отражает низкие давления при ее образовании. Наблюдаемые различия валового состава габбро-поритов из западного и восточного обрамления гипербазитов в Войкаро-Сынинском массиве остаются еще не ясными. Некоторые данные по составу габбро-поритов Кумбинской зоны Тагильского синклиниория Урала склоняют к представлению о латеральном различии этих пород, а о разной степени преобразований западных габбро-поритов (толеитового состава), приводящих к появлению разностей типа восточных габброидов.

Образование дунит-лерцолит-пироксенит-метагаббро-поритовой формации со шпинельсодержащими апотротолитовыми парагенезисами и эклогитоподобными породами происходило, возможно, в локальных зонах по породам предшествующей формации и отражает, по-видимому, ранние этапы глубинного шартирования габбро-гипербазитового комплекса пород в нижние горизонты коры океанического типа.

Процессы ранней массовой серпентинизации и метаморфизма «погребения», соотношения между которыми остаются также во многом не ясными, в целом отражают поздние стадии выведения габбро-гипербазитового комплекса в верхние горизонты разреза океанической коры.

Следующую формацию представляет толща габбро-диабазов и диабазов параллельных даек, пространственно связанных в Войкаро-Сынинском массиве с полями дунит-верлит-клинопироксенит-габбровой формации, но отделенная от нее резким структурным несогласием. Последнее обстоятельство затрудняет однозначное решение вопроса о комагматичности диабазов восточным габбро-поритам. Косвенные данные о наличии ксено-

Гр	138/5				138/9		163/1		141/1	
	Гл	Цо <sub>1</sub>	Эп <sub>1</sub>	Гр	Гл	Гр	Гр	Эп	Гр	Эп
38,4	57	39,6	38,7	54,6	38,4	37,7	37,8	38,8	37,1	—
0,0	0,0	0,0	0,0	0,07	0,15	—	—	—	—	—
20,7	10,9	32,1	26,6	11,5	20,9	21,0	26,4	21,6	23,4	—
—	—	1,4	9,3	2,4	—	—	9,7	—	13,2	—
—	—	—	—	—	—	—	—	—	—	—
26,8	13,0	—	—	13,7	27,6	29,7	—	22,7	—	—
1,0	0,0	0,0	0,05	—	0,7	0,56	0,1	1,3	0,5	—
1,1	8,4	0,05	0,04	6,4	0,9	1,0	0,04	6,9	0,04	—
10,0	1,4	24,4	23,6	1,5	10,4	10,4	23,0	8,4	23,6	—
0,04	6,6	0,0	0,04	6,7	0,06	0,06	0,11	0,06	0,04	—
—	—	—	—	—	—	—	—	—	—	—
—	(2,0)	2,0	(2,0)	(2,0)	—	—	2,0	—	—	(2,0)
98,04	99,3	99,55	100,33	98,87	99,11	100,42	99,15	99,76	99,88	—
93,5	46,4	2,8	18,3	58,2	94,7	54,4	19,1	66,7	26,5	—

ции Н. Л. Добрецова; остальные анализы выполнены на микрозонде под руководством Ю. Г. Лавренченко.

литов пород этой формации в диабазах, близость последних по составу к эфузивам ордовикско-сиурийских толщ и остатки отложений того же возраста (?) среди диабазов параллельных даек — все это склоняет к мысли об отдельном этапе внедрения базальтовой магмы на предстороводужных стадиях эволюции подвижного пояса палеозой в этой части Урала.

Наиболее поздней формацией офиолитов Полярного Урала в этом ряду является амфиболит-плагиогранит-тоналитовая, породы которой содержат ксенолиты и блоки всех пород предшествующих формаций. Среди гипербазитов ей соответствуют ультраосновные метаморфиты. Образование этой формации тесно увязывается со стадией глубинного шартирования и скучивания пород офиолитовой ассоциации в формировавшемся фундаменте вулканического поднятия окраины океанической области, приобретшего к среднему девону черты островной дуги. Наблюдаемая приуроченность глаукофановых сланцев к подошве покровов, надвигутых на ордовикско-девонские толщи вулканического поднятия, глаукофанизация этих эфузивов, а также амфиболитов и эклогитоподобных пород приводят к выводу о самостоятельности этапа их образования и возможной связи с ранними стадиями шартирования офиолитового фундамента поднятия на краю континента.

Вышеизложенные представления являются слишком общими и требуют дополнительных исследований, что отмечают и сами авторы. Важнейшими и наиболее дискуссионными, по мнению Н. Л. Добрецова, являются вопросы о различиях составов габброидов, характере их метаморфизма, возрасте габбро и ассоциирующих вулканитов, завершающих разрез офиолитовой ассоциации. Предположение о преобразовании западных (толеитовых) габбро в восточные эвакритовые габброиды сомнительно уже потому, что сами авторы этого предположения признают магматическую кристаллизацию хотя бы части западных и восточных габбро-поритов при сохраняющемся различии их составов. Кроме того, в «локальных зонах» были преобразованы, по А. А. и Г. Н. Савельевым, западные габбро, а не наоборот. Разный характер кристаллизации и метаморфизма (режим давления) в трех типах габброидов требует объяснения с учетом конкретной

ситуации. Остается также фактом отсутствие комплекса параллельных даек и плагиогранит-тоналитов в ассоциации с западными толеитовыми габбро. Абсолютные датировки, по мнению А. А. и Г. Н. Савельевых, не являются решающим аргументом из-за их малочисленности, в частности, отсутствуют абсолютные датировки возраста восточных эвакритовых габбро. Но пока можно утверждать, что либо все габбро и их амфиболизация являются докембрийскими (и не связаны с формированием палеозойской геосинклинали), либо они, скорее всего, разновозрастны, как и разновозрастны главные этапы их метаморфизма при сохранении общей регressiveной тенденции (амфиболизация и т. д.). Имеются также данные о докембрийском возрасте хотя бы части вулкаников к западу от гипербазитов (см. гл. 4).

3. Альтернативным и дальнейшим развитием первых двух родственных гипотез является предположение о разнотинности и разновозрастности офиолитов на Полярном Урале. Дунит-верлит-клиноцироксенит-габбровая, дунит-лерцолит-вебстерит-метагаббро-поритовая (Хулгинский покров и маликский комплекс) и метаофиолитовая (марункеуская) формации отличаются по составу, характеру метаморфизма, режиму давления и, возможно, по возрасту и соответствуют габброидам трех типов офиолитов. С первой ассоциируются комплекс параллельных даек и вулканиты O—D, с последней — глаукофан-сланцевые метабазальты нижнейской свиты, для которой доказывается докембрийский возраст (см. гл. 4). Какие вулканиты надстраивали разрез дунит-лерцолит-вебстерит-метагаббро-поритовой формации, недостаточно ясно. Недостаточно выяснены также различия в составах гипербазитового фундамента трех вышеизложенных формаций, что послужило основанием А. А. и Г. Н. Савельевых сомневаться в правильности выделения трех видов офиолитов, ибо только первый тип, включающий дунит-верлит-клиноцироксенит-габбровую формацию и дайковый комплекс, характеризуется наиболее полным разрезом офиолитов.

Вместе с тем, по мнению И. Л. Добрецова, намечается ряд различий и в гипербазитовом фундаменте. В частности, в массиве Сыум-Кеу в ассоциации с метагаббро-маликского комплекса значительно больше лерцолитов, в западной и северо-западной частях Войкаро-Сынинского массива, кроме наличия лерцолитов, отмечаются различия и в составах гарцбургитов (по Cr, Ni, особенностям структур (см. гл. 3)). Реликты дунитов и породы «переходной зоны» во всех трех формациях говорят о «стыдании» и преобразовании гипербазитов под влиянием толеитовых габбро (II или III типа). Шпинельсодержащие вебстериты в этом случае могли быть как первично магматическими, так и продуктами метаморфизма иных пород переходной зоны, но отнюдь не тех троктолитов и клиноцироксенитов, которые присутствуют в дунит-верлит-клиноцироксенит-габбровой формации. Поэтому вывод А. А. и Г. Н. Савельевых о более позднем образовании шпинельсодержащей дунит-лерцолит-вебстеритовой группы пород за счет пород переходной зоны дунит-верлит-клиноцироксенит-габбровой формации нельзя признать хорошо обоснованным. Достаточно предположить опрокинутое залегание пород в Хулгинском покрове (см. гл. 3) и мы получим почти полный разрез офиолитов II типа, аналогичный таковому во всем мире (см. гл. 7). При этом возможно что восточная граница этого покрова проходит внутри гипербазитов примерно по западной границе полосы оливин-антигоритовых пород (см. рис. 19), фиксирующих крупные глубинные движения разных пластин (см. гл. 3 и 4).

Приведенная последовательность формирования вертикального ряда формаций сохраняет свое значение для I типа офиолитов, который наиболее распространен не только на Полярном Урале, но, вероятно, во всех складчатых областях (см. гл. 7). Вместе с тем состав, последовательность и условия формирования формационного ряда для других типов офиолитов были существенно иными, хотя их выяснение требует, конечно, дополнительных исследований. Однако уже сейчас можно предположить разные тектонические условия для этих трех типов офиолитов.

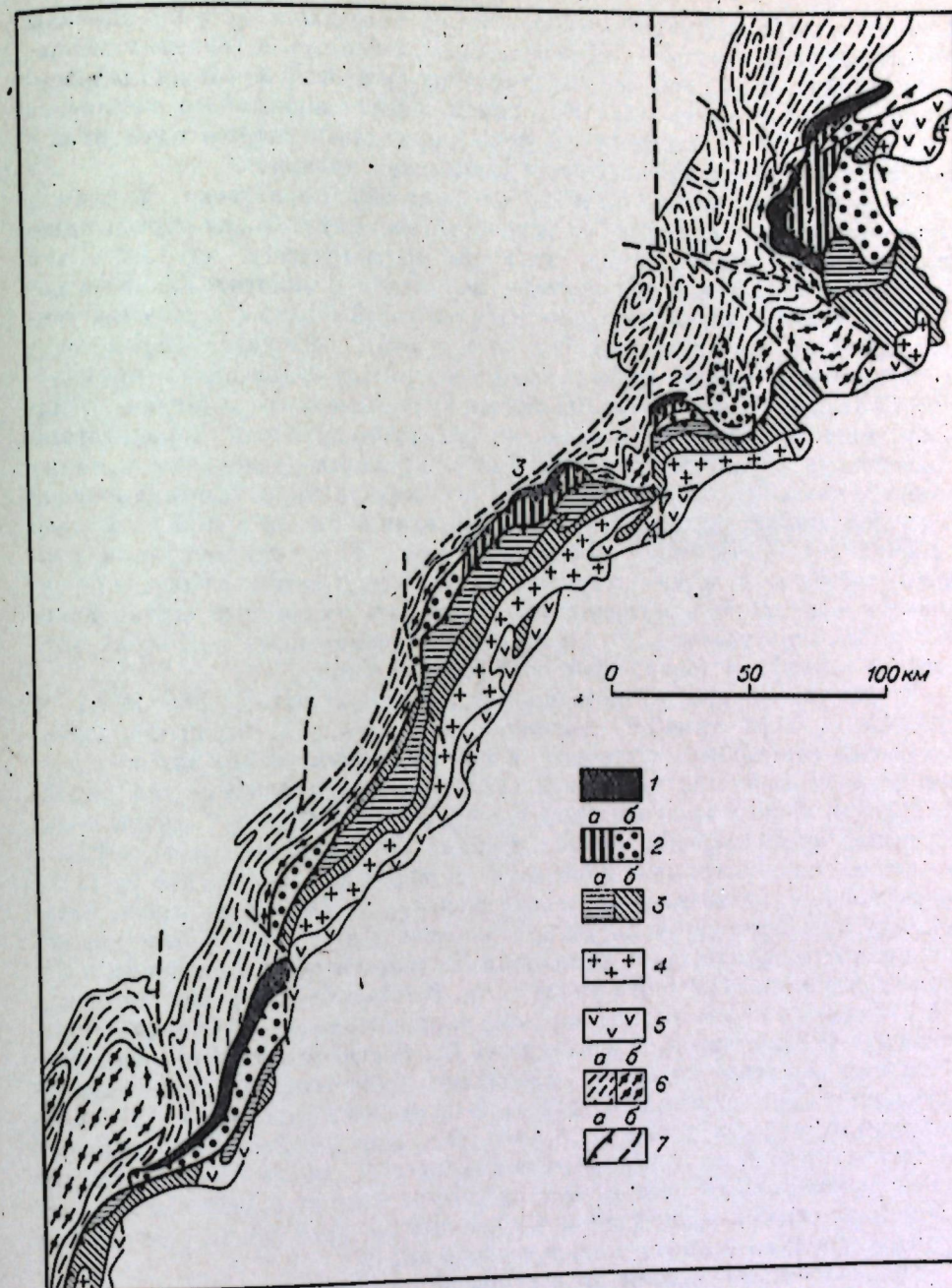


Рис. 31. Вероятные соотношения трех офиолитовых формаций на Полярном Урале (Добрецов, 1974).

1 — метаофиолитовая формация высоких давлений (гранатополье перидотиты и пироксениты, оклопиты, глаукофановые и лансонит-глаукофановые метабазальты); 2 — офиолитовая формация средних давлений (а — гипербазиты, несплошно условно б — западная дунит-лерцолит-метагаббро-поритовая формация); 3 — офиолиты низких давлений (а — гипербазиты дунит-гарцбургитовой формации, б — дунит-верлит-клиноцироксенит-эпиритовой формации, включая дайковый диабазовый комплекс); 4 — плагиогранит-тоналитовая серия (собский комплекс); 5 — пулканогенно-осадочные толщи; 6 — метаморфические породы докембрия западного склона (а — ряда «энгесинклинали» О — D<sub>1</sub>; б — гнейсто-амфиболитовые толщи, харбейская сланца и ее аналоги); 7 — надвиги (а) и разломы (б).

I тип офиолитов, включающий дунит-верлит-клиноцироксенит-габбровую формацию и габбро-диабазовый дайковый комплекс, складывался при низких давлениях как на ранней, магматической, стадии (форстерит-апортитовая фация), так и при последующих метаморфических процессах, включая «метаморфизм погребения». Эти офиолиты слагали фундамент вулканических залегающих толщ, харбейская сланца и ее аналоги.

ческого поднятия, формирование которого происходило в пределах окраины (?) океанической области в нижнем палеозое, возможно, в условиях расширения океанической коры на ранних стадиях (дайковый комплекс) и завершилось появившимся Собского плагиогранит-тоналитового комплекса в силуре (?). Обнаруживается сходство пород этого разреза офиолитов с ксенолитами в лавах курильских и камчатских вулканов.

Вторая дунит-лерцолит-вебсторит-метагаббро-поритовая формация формировалась при повышенных давлениях, соответствующих образованию шинель-пироксеновой фации, уже на магматической стадии, о чём могут свидетельствовать шинелевые лерцолиты и эклогитоидобные породы с реакционными структурами магматической стадии (?). Как мы видим ниже, эти особенности свойственны многим офиолитовым разрезам, характеризующим более глубоко погруженный (по сравнению с предыдущим) офиолитовый фундамент (на склоне вулканического поднятия ?). Наконец, метаофиолитовая формация с гранатизированными перидотитами и эклогитами характеризуется еще более высокими давлениями и может соответствовать фундаменту желобов. Эта модель была сформулирована И. Л. Добрецовым на симпозиуме по офиолитам в Москве в 1973 г., а затем опубликована (Добрецов, 1974б). На рис. 31 подчеркиваются различия состава и строения трех надвигнутых друг на друга пакетов (трехтишинность офиолитового фундамента), тогда как возрастные соотношения трактуются неоднозначно, хотя и отмечается возможность докембрийского возраста метаофиолитовой серии высоких давлений.

В настоящем время, по мнению А. П. Казака и И. Л. Добрецова, по исключается более древний, докембрийский возраст II (дунит-лерцолит-пироксенит-метагаббро-поритового) и III (метаофиолитового высоких давлений) типов офиолитов, которые могут служить фундаментом для рифейских вулканических толщ западного склона Урала и Тимана \*. Основанием для такого предположения служат древние (800—1500 млн. лет) цифры в малыкском и миаринкеуском комплексах и рифейский возраст (по геологическим данным) метабазальтов яропейской серии. Последние имеют океанический или переходный характер (Белоусов и др., 1976) и, несомненно, должны иметь офиолитовый фундамент. Вопрос только в выделении и однозначной диагностике этого фундамента. В таком случае различие между II и III типами может носить характер второстепенных латеральных различий или метаморфической зональности (?). В любом случае условия формирования нижнепалеозойских офиолитов, включающих дунит-верлит-клинопироксенит-эвкритовую, дайковую и тоналитовую серии, были совершенно отличными от тех, в которых слагался рифейский офиолитовый фундамент. Чешуи этого фундамента (см. рис. 31) могли быть выдвинуты или на докембрийской стадии, или, скорее, в палеозое вместе с пластиной нижнепалеозойских офиолитов и «оторваны» от края новообразованного нижнепалеозойского рифта с океанической корой.

Дальнейшее обсуждение этих вопросов на более широком материале приводится в главе 7.

## Часть II

### ЗАПАДНЫЙ САЯН

\* Следует отметить, что границы эвгеосинклинальных (вулканических) зон в рифе и нижнем палеозое на севере Урала не совпадали.

## Глава 5

### ОФИОЛИТЫ И ГЛАУКОФАНОВЫЕ СЛАНЦЫ ЗАПАДНОГО САЯНА И КУРТУШИБИНСКОГО ПОЯСА

Западный Саян располагается на другом конце крупного Урало-Монгольского пояса палеозой (точнее, рифейско-палеозойских складчатых сооружений), который протягивается через всю Северную и Центральную Азию (см. врезку и рис. 1). На тектонических схемах он обычно относится к кaledонидам Алтас-Саянской области, хотя, несомненно, включает в себя образования рифейского (байкальского) цикла. Несмотря на большую удаленность, Полярный Урал и Западный Саян в целом, и особенно локализованные в них офиолиты, обнаруживают много общего.

#### ОБЩАЯ ХАРАКТЕРИСТИКА

Офиолиты в Западном Саяне образуют три самостоятельные пояса (или ветви) — Северо-Саянский, Борусский и Куртушибинский (Пинус, Кузнецков, Волохов, 1958; Добрцов, Пономарева, 1976; Еремеев, Сибилев, 1974).

Северо-Саянский и Куртушибинский пояса образуют почти непрерывную дугу по северному и юго-западному обрамлению дугообразной структуры Западного Саяна, а Борусский причленяется к Северо-Саянскому поясу, отделяясь от него выступом метаморфических пород (рис. 32).

В строении всех трех поясов принимают участие три крупные серии генетически связанных пород, разделенные тектоническими контактами или поверхностью несогласий:

1. Метаморфическая джебанская серия, подразделяемая по составу на 2 или 3 части (свиты), а по степени метаморфизма — на 3 зоны;

2. Офиолитовая серия; нижняя часть — гипербазиты и габброиды субслоистого строения; верхняя — чингинская кремнисто-базальтовая толща, возраст которой, скорее всего, венц (возможно, с элементами  $E_1$ );

3. Вулканогенно-флишоидная серия кембрийского возраста, которая начинается с вулканогенных андезит-базальтовых (и нестрого состава) толщ терешкинской, нижне- и верхнемонокской свит, а завершается кремнисто-флишоидными толщами (аласугская и др. свиты). В целом эта серия имеет островодужный характер и с несогласием перекрывает офиолитовую. В ряде мест базальные конгломераты содержат обломки всех пород офиолитовой серии.

Взаимоотношения метаморфической и других серий повсеместно тектонические, поэтому существует несколько вариантов их сопоставления. Больше данных за то, что метаморфическая серия имеет дочингинский (раннерифейский) возраст. Соответствующие варианты будут обсуждены ниже.

Верхнекембрийские (арбатская и другие свиты) и нижнеордовиковые отложения тесно связаны с аласугской серией, но в ряде мест между ними

Рис. 32. Офиолитовые пояса Западного Саяна. Офиолитовая серия (1 — гипербазиты и габброиды; 2 — чингинская кремнисто-базальтовая толща  $R_1$  — V); джебанская метаморфическая серия, желено-сланцевая (3) и высокотемпературная (4) зоны; 5 — глаукофановые сланцы (акольская формация и ее аналоги); 6 — интенсивно брекчиирующиеся толщи (андезит-базальтовые и смешанного состава); 7 — штоки аласугской ( $S_{II}$ - $S_{III}$ ) и нижне-орловинской тунгенико-флишоидной серии; 8 — средне-верхнекембрийские гранитоиды (мадчинский комплекс и др.); 9 — подиенордовиковый раннесигурийский шток гранитов гранитониды большеворонского комплекса; 10 — наложенные вулканогенные и угленосные притоны (Куртушибинского пояса (1—3), 11 — гранитоиды распространения кембрийских гранитонидов (6) и крупнейшие налады (12) — участки Куртушибинского пояса на рис. 33, 34, II, 40, и Борусского (4, 5) (см. типы на рис. 41 и 42).



отмечается несогласие, смена характера осадконакопления и внедрение диоритов и плагиогранитов майнского и танчуольского комплексов. Граница распространения этих гранитоидов оконтуривает область, в центральной части которой находится Куртушибинский оливинитовый пояс, лишенный кембрийских гранитоидов. К среднему — верхнему ордовику относится гранодиорит-плагиогранитный большепорожский комплекс (на рис. 32 не показан).

Верхнесилурийские, девонские и каменноугольные отложения образуют верхний структурный этаж, в форме наложенных мульд несогласно перекрывая все нижележащие отложения. Пространственно и генетически с ними тесно связаны плитообразные гранитные интрузии джойского комплекса ( $D_3-C_1$ ). Возможно, они комагматичны кислым вулканитам этого этажа.

Стратиграфия и тектоника древних толщ в Западном Саяне рассмотрены во многих публикациях. Среди них можно отметить работы А. Г. Сивова (1953), Л. П. Зоненшайна (1963), И. Н. Казакова (1961), М. А. Черноморского (1967), Н. Н. Хераскова (1975), А. П. Щеглова (1967, 1969). Конечно, осталось много дискуссионных вопросов, что связано с недостаточной обнаружимостью и изученностью этого района (только небольшая часть территории покрыта съемкой масштаба 1 : 50 000). Ранние исследования по гипербазитам были обобщены в известной монографии Г. В. Пинуса, В. А. Кузнецова, И. М. Волохова (1958). Все же наименее изученными остаются две вышенназванные нижние серии. В то же время метаморфическая и оливинитовая серии являются ключевыми для познания геологического строения и истории района. В последние годы получены новые детальные материалы: джебашская серия специально изучалась В. П. Коробейниковым (1971), чингинская свита оливинитовой серии — В. М. Исаковым (1974); Куртушибинский пояс покрыт съемкой масштаба 1 : 50 000 (Я. В. Сарбаа и др.), часть оливинитов Куртушибинского пояса детально изучалась в связи с их асбестоносностью А. К. Сибилевым и др. (Еремеев, Сибилев, 1969, 1970, 1974); дополнительные исследования в Куртушибинском и Борусском поясах были проведены авторами в 1973—1975 гг. (в 1975 г. — Н. Л. Добрецовым совместно с А. К. Сибилевым и П. П. Кузнецовым). С учетом более ранних работ одного из авторов по Борусскому поясу (Добрецов, 1962, 1963) и данных предыдущих исследователей эти материалы и наши данные петрографо-минералогических исследований позволили достаточно детально охарактеризовать оливиниты Западного Саяна.

Куртушибинский и Борусский оливинитовые пояса различаются по своему составу и строению, поэтому мы рассмотрим их отдельно. Северо-Саянский пояс изучен пока недостаточно. В первом приближении он более сходен с Борусским, однако, здесь габбро-гипербазитовые члены оливинитовой серии распространены реже; чингинская свита имеет более кремнистый, менее базальтоидный характер разреза, встречаются фосфориты; наоборот, в Борусе только локально распространены андезиты и кислые эфузивы, грубообломочные породы (аналоги арбатской свиты и др.), менее широко встречаются плагиограниты, сопоставимые с таковыми майнского комплекса Северо-Саянского пояса. По-видимому, Северо-Саянский пояс представляет собой типичную островную дугу, по крайней мере в течение кембрия (см. ниже). Сопоставление всех поясов будет дано в заключении главы 6.

## КУРТУШИБИНСКИЙ ПОЯС

Куртушибинская ветвь Западно-Саянского пояса и Западно-Тувинский пояс, выделявшиеся Г. В. Пинусом, В. А. Кузнецовым, И. М. Волоховым (1958), объединяются другими авторами (Еремеев, Сибилев, 1974) в еди-

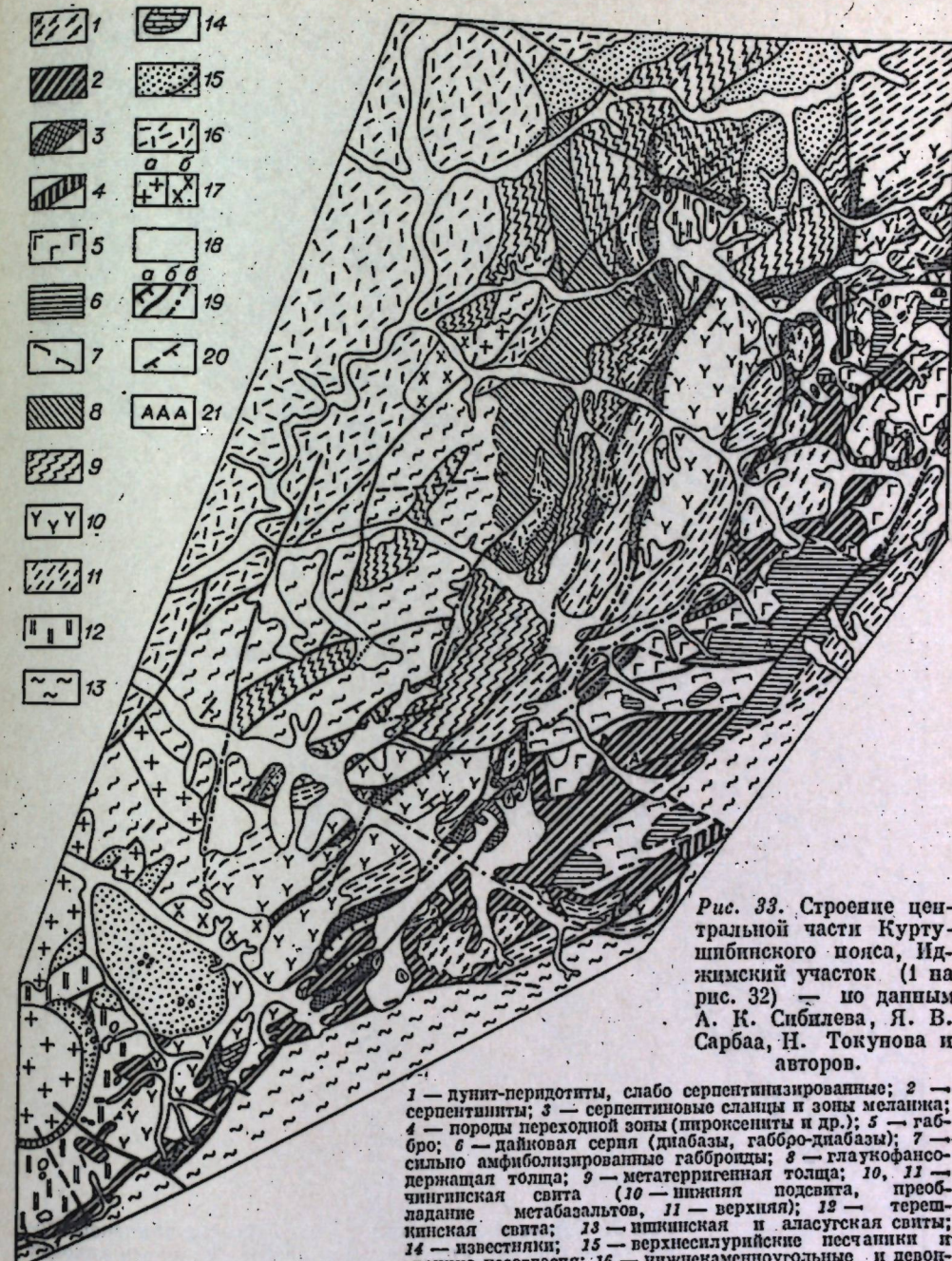


Рис. 33. Строение центральной части Куртушибинского пояса, Ильдзимский участок (1 на рис. 32) — по данным А. К. Сибилева, Я. В. Сарбаа, Н. Токунова и авторов.

ный Саяно-Тувинский гипербазитовый пояс или подразделяются на Куртушибинский, Аргалыктинский, Акторакский. Мы рассмотрим часть этого пояса (поясов) в пределах Куртушибинского хребта (до р. Енисей), и поэтому используем название Куртушибинский пояс. В большинстве предыдущих работ (Пинус, Кузнецов, Волохов, 1958; Еремеев, Сибилев, 1974; Херасков, 1975) гипербазиты и габроиды пояса относились к разным интрузивным комплексам: гипербазиты — к акторакскому, габроиды — к куртушибинскому. Считалось, что комплексы разделены перерывом, но имеют близкий внутрикембрийский возраст на основании их тесной пространственной ассоциации с чингинской свитой, возраст которой прини-

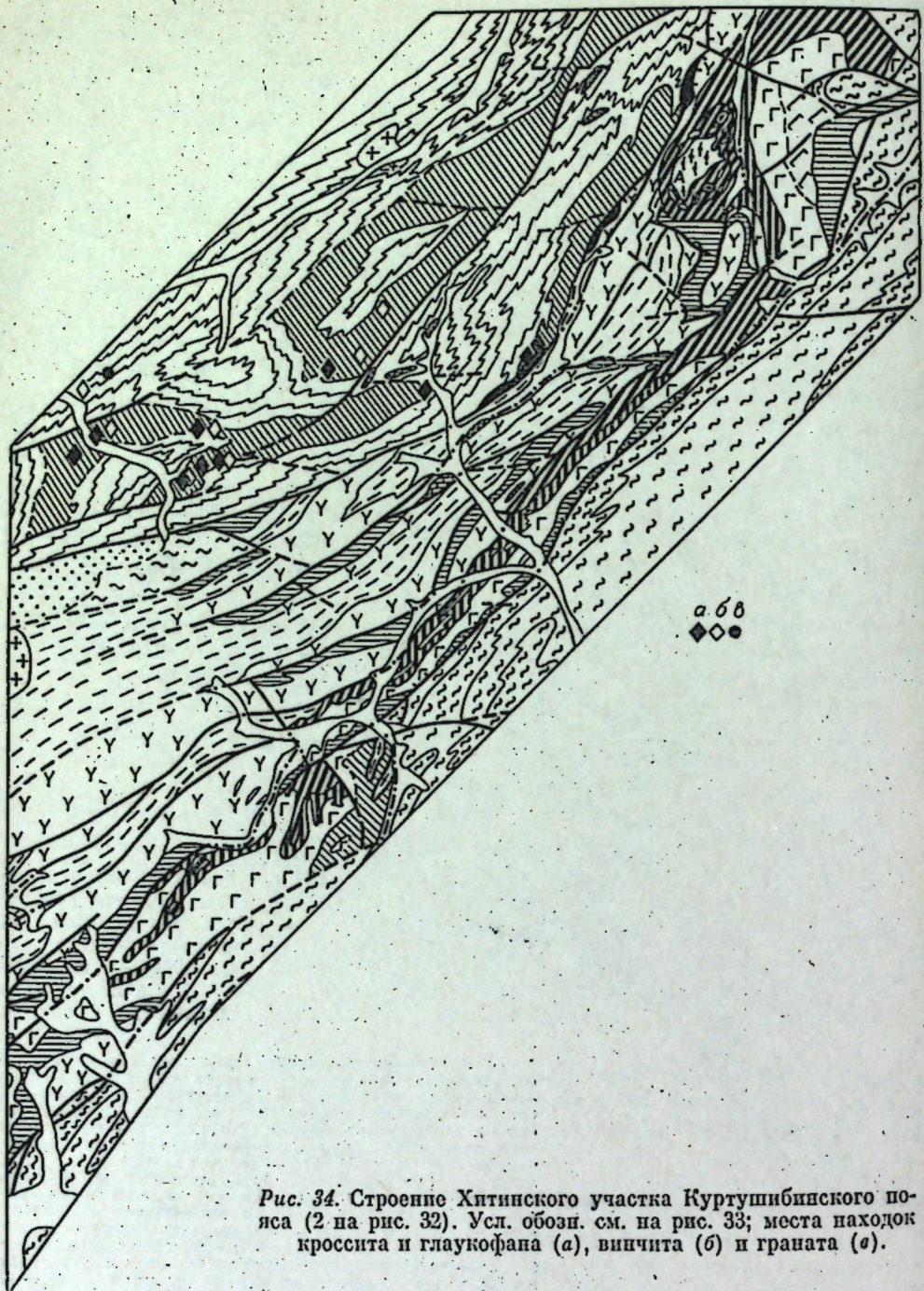


Рис. 34. Строение Хитинского участка Куртушибинского пояса (2 на рис. 32). Усл. обозн. см. на рис. 33; места находок кроссита и глаукофана (а), винчита (б) и граната (в).

мался в пределах нижнего кембрия. По новым данным (Ярошевич, 1971, Коробейников, 1971; Исаков, 1974), ее возраст, скорее, верхний рифей — венц, возможно, лишь с элементами нижнего кембрия. По нашим данным, приведенным ниже, гипербазиты, габброиды (включая габбро-диабазовый дайковый комплекс) и породы чингинской свиты образуют единую офиолитовую серию субслоистого строения. Взаимоотношения гипербазитов и таббро одновременно субслоистые и интрузивные (с более поздним образованием габбро), а интрузивные контакты гипербазитов и габбро с породами чингинской свиты нигде достоверно не установлены. За контактовые явления («габброизация пироксенитов») принимались детали внут-

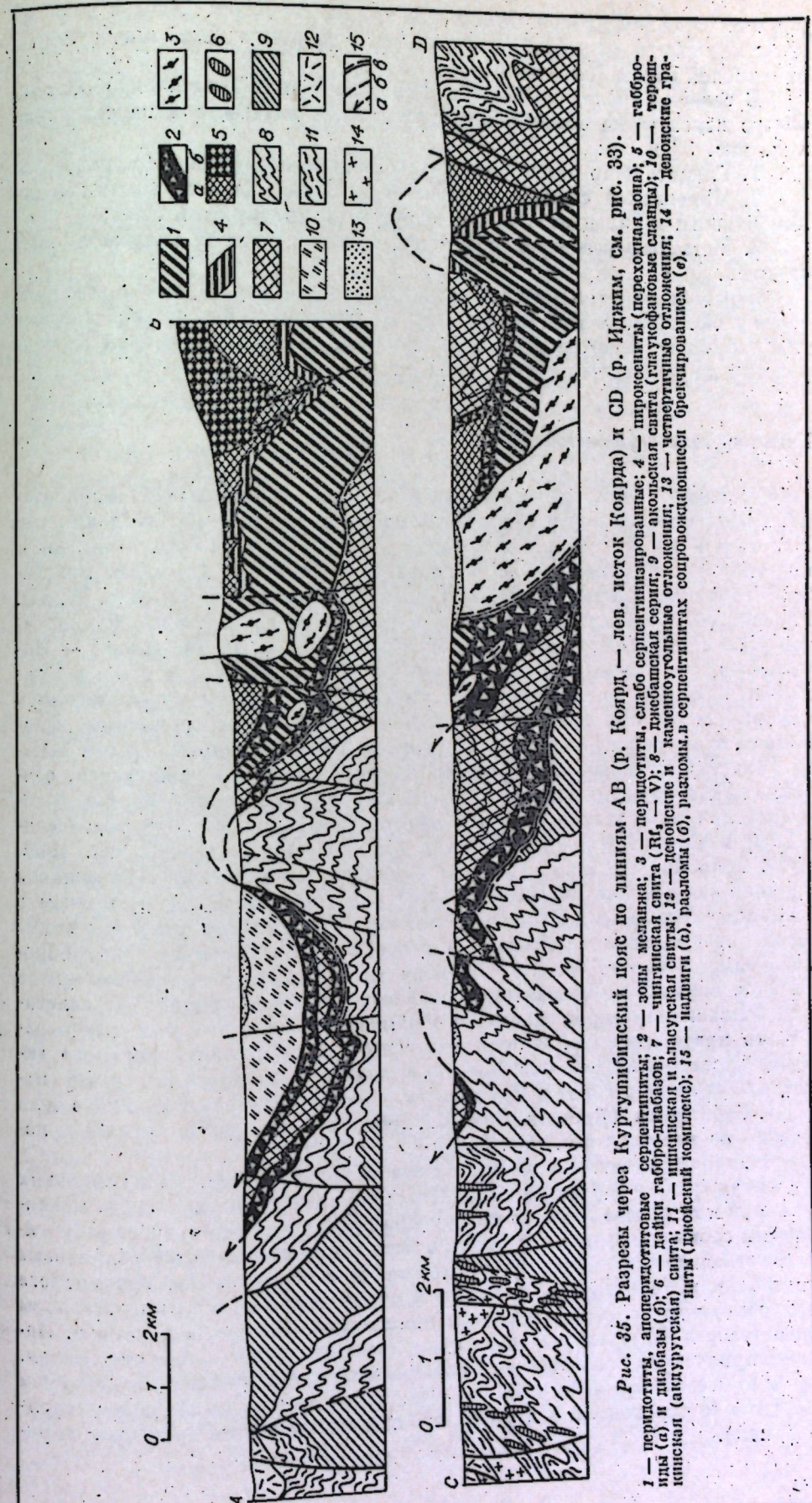


Рис. 35. Разрез через Куртушибинский пояс по линиям А-В (р. Куртл — лев. исток Коярга) и С-Д (р. Идикит, см. рис. 33).

1 — перидотиты, апопериодитовые серпентиниты; 2 — зоны меланжа; 3 — пироксениты, слабо серпентинизированные; 4 — пироксениты (переходные зоны); 5 — габброиды (а) и диабазы (б); 6 — лайки габбро-диабазов; 7 — чингинская свита ( $R_{II}$  — V); 8 — тасеанская свита; 9 — акольская свита; 10 — чингинская и каменноугольные отложения; 11 — чингинская (актуругская) свита; 12 — левонские и аласутинская свиты; 13 — чингинские и каменноугольные отложения; 14 — девонские отложения; 15 — нижний юрский комплекс;

рейнного строения дайкового комплекса, которые повсеместно в виде полосы или свиты отделяют габроиды от эфузивно осадочных пород чингинской свиты (см. ниже).

В северной половине Куртушибинского (Саяно-Тувинского) офиолитового пояса четко обособляются три зоны (с юго-востока на северо-запад, рис. 33 и 34):

1. Главное тело офиолитов с относительно ненарушенным разрезом;
2. Чингинская свита с «полосами» меланжа, фиксирующими в целом надвиги и складчатость — покровную структуру этой зоны;
3. Метаморфические сланцы с прерывистой полосой глаукофановых сланцев.

Строение этих зон показано также на разрезе рис. 35. В юго-западной части пояса главное тело отсутствует, а соотношение чингинской свиты и глаукофановых сланцев несколько иное (см. рис. 32). Примером служит участок по рекам Урбун и Акол (см. ниже, рис. 40).

#### Главное тело офиолитов

Оно сложено преимущественно гипербазитами, габбро и габбро-диабазами и простирается почти непрерывно от верховьев р. Амыл до долин рек Иджим и Узюп на 250 км в виде полосы шириной 0,5—10 км. При этом и гипербазиты, и габбро, и габбро-диабазовый дайковый комплекс прослеживаются в виде почти непрерывных параллельных полос (см. рис. 33, 34). Расширение полосы гипербазитов с «ядрами» слабо измененных перidotитов устанавливается в трех участках (блоках, по А. К. Сибилеву) — Иджимском, Орешском (с Коярдским и Орешским ядрами) и Кызыр-Бурлюкском (на севере, см. рис. 34). Раньше эти участки предполагались как изолированные массивы. При более детальном картировании выяснилось, что они соединяются в непрерывную полосу длиной 250 км. Между раздувами гипербазитов располагаются расширения габброидов, особенно дайковой серии габбро-диабазов. Эту структуру пояса можно трактовать как чередование относительно поднятых (с перidotитовыми «ядрами») и опущенных (габброидных) участков (Еремеев, Сибилев, 1969, 1970) либо как опрокинутую антиклинальную складку. Сохранившаяся ядерная часть такой складки образует раздувы гипербазитов, причем в северном, Кызыр-Бурлюкском, и частично в Коярдском участках видно замыкание складки с обтеканием гипербазитов габброидами и габбро-диабазами (см. рис. 33, 34). Большая часть западного лежачего крыла складки сорвана по контактирующему разрыву, и только опрокинутые залегания большинства пород западного обрамления главного тела подтверждают это предположение. Субслоистое трехчленное строение главного гипербазитового тела (см. рис. 33—35) выявлено в процессе детальных поисково-съемочных работ в Иджимском «массиве» (участке) главного тела А. К. Сибилевым (Еремеев, Сибилев, 1969, 1970, 1974) и схематически показано на разрезах (см. рис. 35).

Наиболее отчетливо общий разрез офиолитов обнажен в верховьях р. Коярд (разрез АВ на рис. 35). Нижняя, гипербазитовая часть максимальной мощностью более 3 км сложена преимущественно апогарцбургитовыми серпентинитами, в которых в виде «ядер» сохраняются реликтовые тела относительно свежих перidotитов. В северной части Иджимского «массива», в Коярдском и Орешском ядрах (разрез АВ) они представлены полосчатым дунит-гарцбургитовым комплексом. Южнее, в долине р. Иджим (разрез СД), полосчатость в «ядрах» перidotитов менее отчетливая, здесь присутствуют в основном неоднородные гарцбургиты с содержанием ортопироксена от 5 до 30%. В целом среди перidotитов преобладают гарцбургиты (с переходами в дуниты либо обогащенные ортопироксеном гарцбургиты).

Взаимоотношения гипербазитов и габброидов в разрезе офиолитов несут признаки, с одной стороны, интрузивного контакта и более позднего образования габброидов, с другой — субслоистого залегания габбро выше гипербазитов с «переходной зоной» между ними. В пользу первого свидетельствуют линзы и жилы родингитизированных габбро и пироксенитов в гипербазитах, наличие и характер «переходной зоны» (см. ниже), а также ориентировка полосчатой (слоистой) структуры в дунит-гарцбургитах, которая как будто не соответствует контакту с габброидами вблизи Коярдского и Орешского «ядер»; в пользу второго — залегание габброидов только в юго-восточном висячем боку главного тела (при общем его падении к юго-востоку под углами 45—50°, что отчетливо устанавливается по геофизическим и геологическим данным), почти повсеместное падение элементов планипараллельной текстуры габброидов также к юго-востоку под углами 40—60°, залегание габброидов между гипербазитами и габбро-диабазовым дайковым комплексом (см. ниже), широкие поля пород «переходного слоя» в местах пологого контакта с гипербазитами.

Общий разрез офиолитов, составленный на основании рис. 33—35 и детальных наблюдений, представляется в следующем виде (рис. 36):

I. Дунит-гарцбургитовый комплекс струйчато-полосчатого строения, обусловленного неоднородным распределением ортопироксена с жилами пироксенитов и родингитизированных габбро. Мощность более 3 км;

II. Переходная пироксенитовая зона брекчевидно-полосчатого строения (0,2—0,3 км). В нижней части (см. рис. 36, IIa) преобладают верлиты, реже троктолиты и габбро-пориты с линзами и угловатыми включениями нижележащих гарцбургитов и дунитов (IIb); верхняя имеет габбро-клинопироксенитовый состав. Многие участки в переходном слое и особенно жилы клинопироксенитов и габбро в серпентинитах родингитизированы;

III. Полосчато-такситовые эвкритовые габбро неравномерно, но почти повсеместно уралитизированы в отличие от родингитизации в нижележащих «слоях». Мощность 1—1,5 км. Строение габбро и переходного слоя отражает сложную картину магматического этапа взаимодействия базитовой магмы и гарцбургитового субстрата, а также двухэтапный метаморфизм и биметасоматоз (на контактах гипербазитов и габбро).

IV. Габбро-диабазовый дайковый комплекс (1,5—2 км).

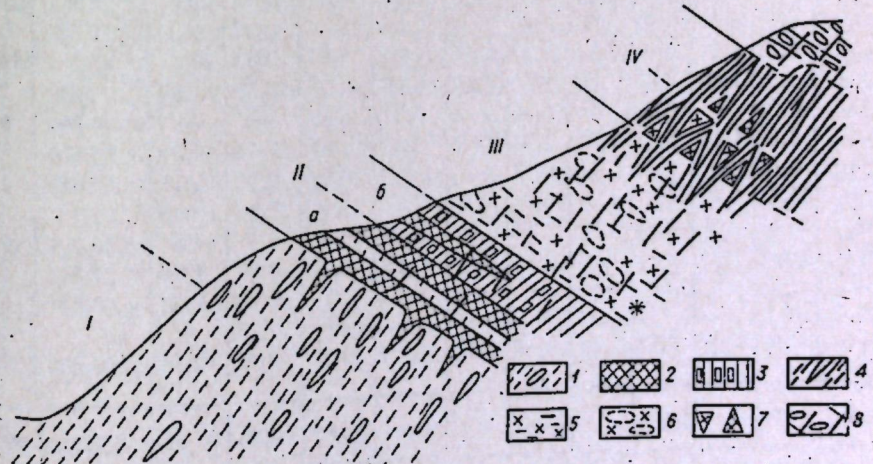


Рис. 36. Схематические обобщенные разрезы офиолитов Кургушибинского пояса.

1 — струйчато-полосчатые гарцбургиты с линзами верлитов; 2 — верлиты и пироксениты; 3 — троктолиты, клинопироксениты с ксенолитами перидолитов; 4 — комплекс параллельных даек и отдельные дайки габбро-диабазов; 5 — габбро-полосчатые (такситовые) даек; 6 — ксенолиты габбро и пироксениты; 7 — подушечные лавы и туфы.

Рассмотрим подробнее состав и строение выделенных частей («слоев») главного тела офиолитов.

Гипербазиты представлены серпентинизированными перidotитами, сохраняющимися в вышеупомянутых «ядрах», и разнообразными серпентинитами. Среди первых (т. е. первичных пород) резко преобладают гарцбургиты, которые в Иджимском блоке характеризуются неравномерными сгущениями ортопироксена (от 5 до 35%) со слабо проявленной грубой полосчатостью, в Кызыр-Бурлюкском «ядре» — струйчато-полосчатым расположением зерен ортопироксена (фото 8) при содержании его в среднем около 10—15%. В Орешском и Коярдском «ядрах» присутствует полосчатый и сетчато-полосчатый дуниты гарцбургитовий комплекс. В орешском «ядре», по данным А. К. Сибилева (Еремеев, Сибилев, 1969), намечается зональность: в краевой части ядра наблюдаются редкие жилообразные тела дунитов мощностью не более 4 м и протяженностью 20—60 м, по мере приближения к центру количество дунитов увеличивается, и в самом центре гарцбургиты и дуниты образуют чередующиеся полосы мощностью от сантиметров до 90 м с преобладанием здесь дунитов. Границы дунитов и гарцбургитов бывают ровные и резкие, извилистые и постепенные. Иногда вблизи контактов образуются крупные скопления и отдельные кристаллы ортопироксена, и порода приобретает пегматоидный облик. Наблюдаются также оторочки (мощностью до 60 см) гарцбургитов, обогащенных ортопироксеном.

В удалении от полосчатого комплекса среди гарцбургитов, содержащих до 5% клинопироксена, появляются (в подчиненном количестве) лердоплиты, содержащие 5–10% моноклинного пироксена. По мнению

## Химические анализы офиолитов

Оксид	Гипербазиты						Переходная зона				Габ	
	дуниты		гарпбургиты		лерцолиты		верлит	вебстери- т 51	ионит (ти- тниклай- тинопирок- сенит 52)	ионодор- ное габбро 52а	троктоли- ты	диопси- анортито- вые
	$\bar{x}$	S	$\bar{x}$	S	$\bar{x}$	S	$\bar{x}$				$\bar{x}$	$\bar{x}$
SiO <sub>2</sub>	37,9	1,41	40,0	1,40	41,5	0,65	39,9	49,9	52,9	49,1	45,9	43,3
TiO <sub>2</sub>	0,02	0,02	0,02	0,05	0,01	—	0,03	—	0,30	0,30	0,15	0,06
Al <sub>2</sub> O <sub>3</sub>	0,57	0,19	0,86	0,33	1,28	0,26	1,56	2,05	3,80	17,1	15,5	19,6
Fe <sub>2</sub> O <sub>3</sub>	1,91	1,26	2,18	1,14	2,50	0,96	0,05	3,57	0,98	1,37	2,41	2,35
Cr <sub>2</sub> O <sub>3</sub>	0,35	—	0,36	—	0,30	—	0,33	0,08	—	—	0,09	0,06
FeO	5,69	1,14	5,67	1,20	5,64	1,08	6,85	1,31	7,41	4,54	6,80	4,02
MnO	0,09	—	0,10	—	0,11	—	0,13	0,13	0,14	0,11	0,13	0,11
MgO	44,4	1,75	42,7	1,20	40,4	0,93	40,8	21,9	17,1	8,38	12,1	9,05
CaO	0,53	0,28	0,85	0,53	1,66	0,66	3,49	18,8	14,1	14,8	12,2	16,1
Na <sub>2</sub> O	—	—	—	—	—	—	0,15	0,03	0,36	1,50	1,31	1,55
K <sub>2</sub> O	—	—	—	—	—	—	—	Сл.	0,06	0,02	0,11	0,17
P <sub>2</sub> O <sub>5</sub>	—	—	—	—	—	—	—	—	0,05	—	—	—
П. и. п.	7,90	1,85	6,93	2,13	6,07	1,47	6,06	2,22	2,15	2,10	3,50	3,31
Сумма	99,36		99,67		99,47		99,35	99,99	99,35	99,32	100,20	99,88
Число анализов		16		29		7	8				4	7

Примечание. Гипербазиты, габбро и метабазиты чигинской свиты (в целом) — по дан.  
р. Копрд.

А. К. Сибилева, дунит-гарцбургитовый полосчатый комплекс тяготеет к нижней части разреза гипербазитов, лерцолит-гарцбургитовый — к верхней. В этом случае Коярдское и Орешкое «ядра» характеризуются максимальным эрозионным срезом, а Иджимское (и промежуток между ними) — минимальным. Средние составы дунитов, гарцбургитов и лерцолитов и типичных минералов из них приведены в табл. 23 и 24.

В целом породы близки к дунит-гардбургитовой формации Полярного Урала, отличаясь только несколько более низкими содержаниями хромшипелидов и соответственно Al и Cr. Согласно тем же данным А. К. Сибилева, вверх по разрезу нарастает железистость и уменьшается отношение  $MgO/SiO_2$ , но это связано, по его мнению, преимущественно с повышенной серпентинизацией верхних частей. В дунитах присутствуют оливин с железистостью около 8% (по оптическим свойствам), единичные кристаллы энстатита и акцессорный хромшипелид (см. табл. 24, обр. 1485, 26144). Хромит из дунитов наиболее богат  $Cr_2O_3$  (62—64,4%) и содержит всего 4,5—5,5  $Al_2O_3$ , очень сходен с хромитом, включенным в алмазы (Н. В. Соболев, 1974; см. также гл. 7).

Гарцбургиты и лерцолиты по составу минералов существенно не отличаются и содержат оливин с железистостью 9—10% (см. табл. 24), ортопироксен с железистостью 7—9% и хромшипинелид с содержанием 49—50%  $\text{Cr}_2\text{O}_3$  и 19—26%  $\text{Al}_2\text{O}_3$ . Аксессорный хромшипинелид в гарцбургитах и дунитах в целом более хромистый, чем в аналогичных породах Полярного Урала (см. гл. 7), что коррелируется с более низким содержанием  $\text{Al}_2\text{O}_3$  в породах. В образце 73 клинопироксен отсутствует, в лерцолитах (и гарцбургитах с клинопироксеном) он, по предварительным данным, беден

Таблица 23

## Куртуншибинского пояса

Бро				Дайковый комплекс					Метабазиты чингинской свиты			
закры- ты	квар- цевые		в целом	микрогаббро		диабазы		диабазовый порфирит 54а	в це- лом x	в целом		р. Коярд
	x	s		x	s	52в	53в			x	s	
49,2	51,1	46,21	2,93	55,3	53,7	53,2	55,5	54,0	49,0	3,16	46,8	2,95
0,30	1,52	0,30	0,10	0,30	0,38	0,40	0,50	0,61	2,15	0,74	2,59	1,01
19,1	18,2	18,35	3,16	9,10	11,4	15,4	16,3	13,7	14,0	1,56	15,5	0,77
3,60	1,57	2,56	1,71	1,81	0,47	1,33	2,24	1,45	2,02	0,96	3,90	2,70
0,04	0,02	0,06	—	—	—	—	—	—	—	—	—	—
3,90	5,56	4,83	1,54	6,66	7,57	6,50	5,98	8,15	9,77	1,68	8,15	2,55
0,11	0,10	0,11	0,03	0,14	0,07	0,14	—	0,10	0,17	—	0,18	0,03
5,65	5,77	8,58	2,67	11,9	10,1	7,64	5,56	7,79	6,69	2,29	5,90	2,02
10,6	8,97	13,05	2,17	10,3	9,59	9,70	8,89	7,55	7,15	2,13	7,64	2,33
3,09	3,62	2,10	0,83	1,25	2,35	2,30	2,00	2,00	2,23	0,89	3,64	0,55
0,30	1,10	0,30	0,16	0,08	0,07	0,24	0,06	0,13	0,97	0,77	0,57	0,42
—	—	—	—	0,18	0,09	0,09	0,04	0,12	0,16	—	0,30	0,13
2,60	1,72	3,00	0,71	1,90	3,50	2,20	2,30	3,52	4,48	1,48	4,72	1,41
99,49	99,25	99,45	—	99,92	99,29	99,14	99,37	99,12	10,79	—	99,89	—
4	2	17	—	—	—	—	—	6	45	—	—	7

ным А. К. Сибилева, остальные — наши данные; образцы 51—54з относятся к одному разрезу по

Таблица 24

## Химические анализы минералов из

Оксид и катион	73			1485	26144	7557	26072-1	1506	27497
	Ол	Рп	Хр						
	хромшишнелиды								
SiO <sub>2</sub>	40,9	56,3	—	0,09	0,11	0,16	0,09	0,17	0,09
TiO <sub>2</sub>	—	—	0,03	—	—	—	—	—	—
Al <sub>2</sub> O <sub>3</sub>	—	0,92	13,5	5,50	4,56	19,0	21,2	26,1	24,6
Fe <sub>2</sub> O <sub>3</sub>	—	—	3,73	5,50	2,20	1,50	6,10	2,00	1,70
FeO	8,66	5,32	16,4	16,9	17,9	16,0	10,0	16,5	14,6
MnO	0,12	0,14	0,41	0,41	0,46	0,45	0,30	0,25	0,21
MgO	48,5	35,3	11,0	9,73	9,56	11,5	12,5	13,5	12,9
CaO	0,01	0,37	0,01	—	—	—	—	—	—
Na <sub>2</sub> O	—	0,02	—	—	—	—	—	—	—
K <sub>2</sub> O	—	—	—	—	—	—	—	—	—
H <sub>2</sub> O	—	—	—	—	—	—	—	—	—
P <sub>2</sub> O <sub>5</sub>	—	—	—	—	—	—	—	—	—
Cr <sub>2</sub> O <sub>3</sub>	—	0,52	53,5	62,4	64,4	50,4	47,2	44,2	44,1
Сумма	98,19	98,89	98,57	100,53	99,19	99,01	97,39	102,72	98,20
Si	1,02	1,96	—	—	0,01	—	0,01	—	—
Ti	—	—	0,001	—	—	—	—	—	—
Al	—	0,038	0,53	0,22	0,19	0,71	0,78	0,91	0,88
Fe <sup>3+</sup>	—	—	0,075	0,10	0,05	0,03	0,04	0,05	0,05
Fe <sup>2+</sup>	0,18	0,15	0,47	0,53	0,52	0,45	0,36	0,41	0,37
Mn	0,002	0,004	0,01	0,01	0,01	0,02	0,01	0,01	0,01
Mg	1,78	1,83	0,54	0,49	0,49	0,54	0,58	0,60	0,59
Ca	—	0,014	—	—	—	—	—	—	—
Na	—	0,001	—	—	—	—	—	—	—
K	—	—	—	—	—	—	—	—	—
Cr	—	0,014	1,40	1,68	1,77	1,26	1,17	1,04	1,06
Сумма	2,98	4,01	3,03	3,03	3,04	3,01	2,94	3,03	2,96

П р и м е ч а н и е. Все анализы выполнены на микрозонде MS-46 Л. И. Поступовой, (2,00-(Al+Cr)). Образец 73 — гарцбургит, Кызыр-Бурлюкское «ядро», материалы И. Л. Добрецова и Орешинский «ядра», материалы А. К. Сибилева; 42/73 — клинопироксенит; 52, 52а — троеклолит с И. Л. Добрецова (обр. 52, 52а, 134Д, 134Г) и А. К. Сибилева. Хлорит б/н — химанализ (Еремеев,

СаО, т. е. высокотемпературный (см. ниже табл. 31 для Борусского пояса). Во всех перидотитах и дунитах оливин серпентинизирован от 10 до 70%, в среднем на 50% (что соответствует 6—7% п. п. п. в табл. 23). Этот ранний, автометаморфический, по А. К. Сибилеву, серпентин во всех случаях не сопровождается магнетитом и представлен лизардитом, образующим петельчатую структуру с тонкими (0,05 м) пересекающимися жилками. Пироксены при этом остаются свежими, изредка энстатит замещается тальком или бластитом. В протолючках из автосерпентинизированных перидотитов обнаружены самородное железо, пирит и халькопирит (Еремеев, Сибилев, 1970). Самородное железо в срастании с коченином ( $Fe_3S$ ) присутствует в перидотитах всех участков, содержит примеси хрома (0,03%) и никеля (0,001%).

А л л о м е т а м о р ф и ч е с к и е с е р п е n t i n i t y, преобладающие в составе гипербазитов пояса, обычно сопровождаются магнетитовыми образованиями и хорошо выделяются в магнитных полях, благо-

## офиолитов Куртушибинского пояса

42/73		52		52а [Mn <sub>2</sub> (II)]	C-41 (Дн)	C-48 (Пр)	134Д		134Г (Мп)	G/H (Х.Л.)
Мп	Шп	Mn <sub>2</sub> (К)	Mn <sub>1</sub> (П)				Мп	Гр		
52,8	0,22	53,9	53,9	51,9	54,2	42,6	51,4	40,6	52,2	31,92
0,53	—	0,27	0,13	0,15	—	0,14	—	0,46	—	0,06
4,92	62,3	5,20	3,17	4,16	—	23,4	0,07	19,6	0,74	11,35
—	4,70	—	—	—	3,25	0,67	—	4,00	—	3,41
5,16	19,0	8,30	6,61	9,94	—	—	17,5	—	10,3	7,18
0,15	0,27	0,20	0,11	0,22	0,16	—	0,80	0,43	0,34	0,15
14,3	15,2	17,6	21,3	20,5	17,3	0,02	7,00	—	11,41	32,62
21,3	—	12,5	11,9	12,3	25,0	23,4	23,5	34,5	22,9	0,76
0,34	—	1,22	0,64	0,63	0,02	0,03	0,35	—	0,27	0,08
—	—	0,01	—	—	—	—	—	—	—	0,05
—	—	—	—	—	—	—	—	—	—	11,41
—	—	0,32	0,13	0,61	0,23	—	—	—	—	Нет
99,50	102,01	99,33	98,37	100,03	99,93	—	100,62	99,09	99,16	100,06
1,92	—	1,96	1,96	1,90	1,99	3,19	2,00	3,08	2,03	3,08
0,02	—	0,007	0,004	0,004	—	—	0,03	—	—	—
0,21	1,91	0,22	0,14	0,18	—	2,07	0,003	1,78	0,03	1,28
—	0,09	0,25	—	—	0,10	0,03	—	0,11	—	0,24
0,16	0,42	—	0,20	0,30	—	—	0,57	0,13	0,33	0,58
—	—	0,006	—	0,007	0,005	—	0,03	—	0,01	0,01
0,81	0,58	0,95	1,15	1,11	0,94	—	0,40	—	0,64	4,70
0,83	—	0,48	0,46	0,48	0,98	1,90	0,98	2,85	0,96	0,07
0,03	—	0,08	0,05	0,04	0,001	0,01	0,03	—	0,02	0,01
—	—	0,0007	—	—	—	—	—	—	—	0,01
—	—	0,04	0,002	0,04	—	—	—	—	—	—
3,98	3,00	3,95	3,98	4,02	4,02	7,20	4,013	7,98	4,02	9,98

О. С. Хмельниковой и авторами. Fe<sup>3+</sup> (и Fe<sub>2</sub>O<sub>3</sub>) в хромитах и шпинели определены по величине Fe<sup>3+</sup>; хромиты 1485 и 26144 — из дунитов, 7557, 26072-1, 1506, 27497 — из гарцбургитов, Коярдский ромбический пироксенит, C-41, C-48, 134Д, 134Г — родиллиты, разрез по р. Коярд, материалы Сибилева, 1969), содержит 0,30% SO<sub>4</sub>.

даря чему четко прослеживаются по геофизическим данным даже в плохо обнаженных участках. Среди них различается несколько разновидностей. К kontaktам гипербазитов с габброидами тяготеют серпентиниты, содержащие магнетит, примесь хлорита, а в ряде участков — tremolит, тела родиллитов и нефритовых пород. В зонах меланжа (см. ниже) и разломах, пересекающих гипербазиты, присутствуют рассланцованные и перемягченные антигоритовые серпентиниты, также с магнетитом, передко с тектоническими отторженцами вмещающих и глубинных пород. Вдоль контакта массивных ядер относительно свежих перидотитов образуются, преимущественно в западной части полосы гипербазитов, наиболее поздние хризотиловые серпентиниты, обычно с бруситом, без магнетита, с резко пониженным содержанием Fe<sub>2</sub>O<sub>3</sub> и суммарного железа (до 2,55%). С этими серпентинитами связана промышленная асбестовая минерализация, наиболее значительная в западном контакте Коярдского и Орешинского «ядер».

Особенности серпентинизации и ассоциирующей минерализации в аллометаморфических серпентинитах зависят от потенциала  $\text{CO}_2$  и коррелируются как с региональным метаморфизмом вмещающих пород, так и с образованием родигитов (по крайней мере, низкотемпературных).

Так, в обрамлении Орешском и Коярдском «ядер», в частности, в описанном разрезе по р. Левый Коярд, в серпентинитах отсутствуют или редки карбонаты, но обычен брусит; серпентинизация сопровождается незначительным количеством магнетита, здесь же наблюдаются многочисленные тела родигитов, реже — tremolитов в серпентинитах, а также сульфиды, арсениды железа, никелевый пентландит, орегонит и маухерит (Еремеев, Сибилев, 1970). В более южной части массива, например, в разрезе по р. Иджим (разрез СД на рис. 35), в серпентинитах широко распространены карбонаты, в зонах разломов появляются тальк-карбонатные породы и листвениты, а родигиты, как правило, отсутствуют. В «переходном слое» здесь лучше сохраняются троктолиты, габбро-пориты. Таким образом, при серпентинизации растворами, бедными  $\text{CO}_2$  и относительно восстановленными,  $\text{CaO}$  из гипербазитов (в количестве 0,9—1,7%) выносится и фиксируется в глиноzemистых породах, образуя жилы родигитов внутри серпентинитов за счет габбро или тектонических ксенолитов вмещающих базальтов, а также сеть жил вторичных пироксенитов (диаллагитов); родигитов и родигитизированных пород вдоль контакта и за счет «переходного» слоя.

Габброидная часть разреза офиолитов Куртушибинского пояса начинается, как обычно, с переходной зоны, представленной сложным сочетанием дунитов, перидотитов, верлитов, пироксенитов, троктолитов и габбро. Она имеет, как отмечалось выше, брекчиевидно-полосчатое строение, т. е. в отличие от Полярного Урала более отчетливо проявлены реликтность тел перидотитов и реакционные соотношения с пироксенитами и габроидами, менее — полосчатость пород. Наиболее четко строение этой зоны видно в разрезах в верховьях р. Коярд (АВ на рис. 35): многочисленные линзы и угловатые блоки-ксенолиты перидотитов и дунитов, интенсивно резорбируемых и замещаемых верлитами и пироксенитами. На рис. 37 показаны разные формы и стадии такого замещения — от системы жил пироксенитов среди перидотитов до роя мелких обломков дунит-перидотитов среди верлитов и пироксенитов. Непосредственно к дунит-перидотитам всегда примыкает зона верлитов и вебстеритов, содержащих два пироксена, затем оливиновые клинопироксениты без ортопироксена ( $\pm$  измененный плагиоклаз), паконец, троктолиты, дающие постепенные переходы к диопсид-апортитовым габбро.

В верхней половине переходной зоны преобладают клинопироксениты и диопсид-апортитовое габбро. Породы обнаруживают грубую полосчатость и перевицемерно родигитизированы. Таким образом, в переходной зоне преобладают клинопироксениты с лизовидными телами перидотитов и габбро. Такой характер переходная зона сохраняет и в других местах, но и в бассейне р. Хут она интенсивно серпентинизирована и менее четко отделяется от собственно гипербазитов. Здесь переходная зона закартирована как серпентиниты с многочисленными линзами и полосами пироксенитов и габбро (см. рис. 34). Контактовые клинопироксениты и верлиты содержат глиноzemистую шпинель (обр. 42/73, табл. 24) в отличие от хромшпинелида в первичных перидотитах. В клинопироксене (в ассоциации со шпинелью) обнаружены повышенные количества  $\text{TiO}_2$  и  $\text{Al}_2\text{O}_3$ , а в клинопироксенах из вебстеритов и троктолитов (обр. 52, 52а) — минимальное количество  $\text{CaO}$  и, таким образом, они оказываются очень высокотемпературными. Соотношение  $\text{Ca}/(\text{Ca} + \text{Mg})$  в них равно 0,30—0,34, что соответствует температуре около 1500°C (см. гл. 7). Они обнаруживают также зональность, причем «ядро» менее кальциевое и железистое (т. е. высокотемпературное). Высокотемпературность и зональность пироксенов свидетельствуют об их магматическом происхождении,

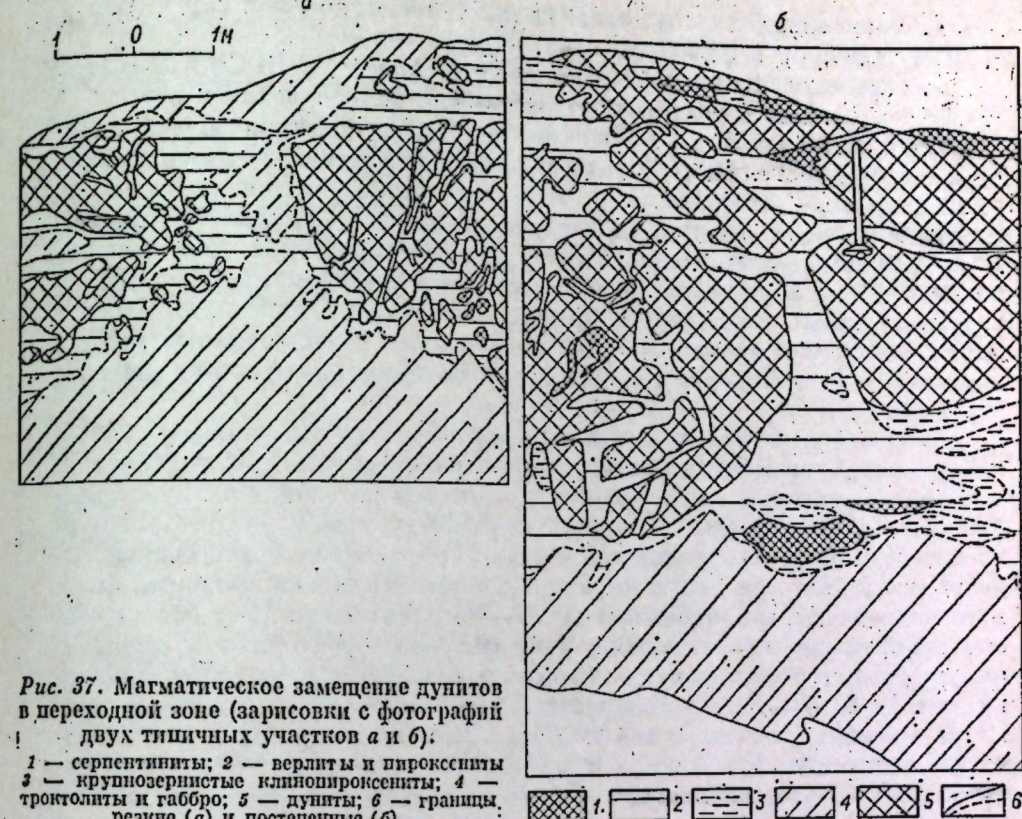


Рис. 37. Магматическое замещение дунитов в переходной зоне (зарисовки с фотографий двух типичных участков *a* и *b*):

1 — серпентиниты; 2 — верлиты и пироксениты;  
3 — крупнозернистые клинопироксениты; 4 — троктолиты и габбро; 5 — дуниты; 6 — границы, резкие (*a*) и постепенные (*b*).

т. е. соотношения, показанные на рис. 36, 37, представляют магматическое замещение, взаимодействие с очень высокотемпературной магмой.

Родигиты и родигитизированные породы образуются за счет жил и полос габбро в серпентинитах, а также в переходной зоне вблизи контакта или на контакте с перидотитами. Намечаются две группы родигитов — более высокотемпературные, сложившиеся до массовой аллометаморфической серпентинизации, и низкотемпературные, одновременные с серпентинизацией. В первых присутствуют везувиап, диопсид-салит, цоизит, редко Мп-цоизит (тулит), гроссуляровый гранат, клинохлор (частью в поздних жилках). Во вторых — клиноцоизит, эпидот, tremolит, гранат гроссуляр-андрадитовый, пренит, хлорит, редко диопсид. Гранаты везувиаподержащие родигиты чаще отмечаются в серпентинитах, здесь же найдены многочисленные буднированные тела нефритов и нефритоподобных tremolитовых пород. В переходной зоне преобладают цоизит-диопсидовые родигиты, а также цоизитизированные, пренитизированные, амфиболизированные габбро.

Составы характерных минералов из родигитов приведены в табл. 24. Низкотемпературные родигиты образуются также за счет тектонических ксенолитов метабазальтов, включенных в серпентиниты вблизи тектонических контактов с чингинской свитой. Так, в районе Саянского месторождения хризотил-асбеста, по А. К. Сибилеву, характерна следующая зональность вокруг таких включений (в обобщенном виде):

1. Спилиты, диабазы ( $\text{Ab} + \text{Xl} + \text{Akt} + \text{Стильп} + \text{Эп} + \text{Кцо} + \text{Ka} \pm \text{Кв}$ );
2. Активолит-альбитовая зона, замещающая зону 3 (до 2 м) ( $\text{Akt} + \text{Ab} + \text{Стильп} + \text{Ka} + \text{Лейк}$ );
3. Диопсид-альбитовая зона, 0,1—0,2 м ( $\text{Ab} + \text{Ди} + \text{бурый Амф} + \text{Akt} \pm \text{Гр} \pm \text{Стильп}$ ;  $\text{Ди}$  134 г., табл. 24);

4. Гранат-пироксеновая зона, не повсеместно, до 0,6 м (Гр + Сал + Кцо ± Аб; Гр и Сал 134Д, табл. 24);

5. Клиноцизитовая зона (Кцо + Хл + Акт + Пр + Сф или Кцо + Ди + Хл). Часто родиниты соответствуют только зонам 4 и 5.

Собственно габбро слагает большую верхнюю часть габброндного разреза. Макроскопически это полосчато-такситовые габбро, с такситовыми участками, обогащенными темноцветными минералами, иногда с ксенолитами или маломощными линзами клинопироксенитов. Невыдержанная линзовидная полосчатость характерна для нижней части габбро, в верхней появляются более массивные, нередко мелко-зернистые лейкогаббро, густо пронизанные жилами диабазов. Часто в одном обнажении можно наблюдать несколько разновидностей габбро, пересекающих друг друга и секущихся, в свою очередь, жилами диабазов (см. рис. 38).

Все габбро сильно изменены. Плагиоклаз полностью замещен цоизитом ( $\pm$  клиноцизитом) и (или) преитом; пироксен, близкий к диопсиду, частично замещается светло-зеленой уралитовой роговой обманкой. Средний состав габбро (см. табл. 23) соответствует высокоглиниземистым кальциевым и магнезиальным габбро эвкритового типа с очень низкой железистостью, которые состоят преимущественно из клинопироксена, близкого к диопсиду, и плагиоклаза № 70—90. Вверх по разрезу состав габбро закономерно меняется. Внизу преобладают троктолиты и диопсид-апортитовые габбро, вверху — эвкритовые габбро (с первичным плагиоклазом Аи 60—70) и реже кварцодержащего габбро. Последние превращены в альбит-цизитовые метагаббро, амфиболиты, иногда в них встречается куммингтонит. Таким образом, габбро и их метаморфические эквиваленты в Куртушибинском поясе очень сходны с габброндами восточной полосы Войкаро-Сынинского массива на Урале.

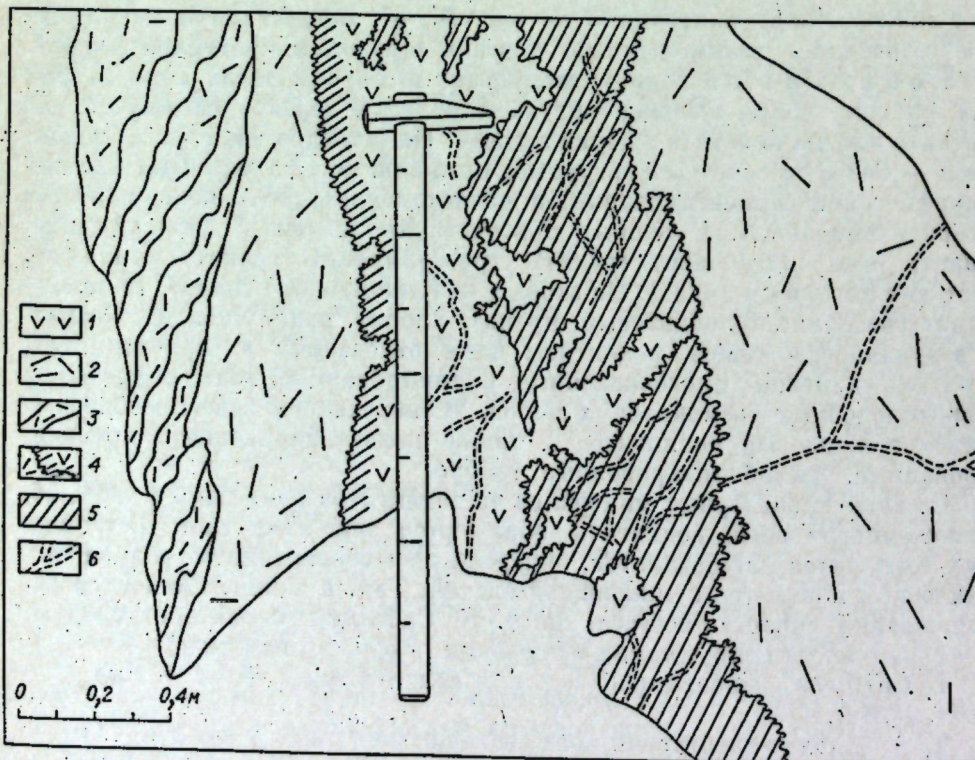


Рис. 38. Дайка диабаза (7) среди полосчато-такситовых габбро (2 и 3) (зарисовка с фотографии); 4 — зона закалки в дайке; 5 — измененный диабаз; 6 — жилки препита, альбита и др.

Верхняя толща габбро-диабазов, выделенная А. К. Сибилевым и другими исследователями (см. рис. 33, 34), по крайней мере частично соответствует комплексу параллельных даек в некоторых оphiолитовых ассоциациях и в океаническом разрезе на о. Маккуори. Дайковая серия изучена нами в разрезах по рекам Коярд и Ореш. Аналогичные породы, по данным А. М. Чудина, есть в бассейне р. Хут и около Кызыр-Бурлюк-зона и габбро и отсутствуют в перидотитах. Они образуют неравномерные скопления в верхней части габбро, и в целом их количество возрастает вверх по разрезу. В нижней части собственно дайкового комплекса встречаются разнообразные ксенолиты габбро и пироксенитов. Они трактовались ранее (Пинус, Кузнецов, Волохов, 1958) как проявления «габбропиазации» диабазов, однако зоны закалки в последних, секущие жилы диабазов с прямолинейными контактами, и другие факты убеждают нас, что это именно ксенолиты габбро и пироксенитов (рис. 39). Большая часть комплекса состоит из серии параллельных, тесно перемежающихся даек диабазов, диабазовых порфиритов, габбро-диабазов, диорит-порфиров разнообразной структуры, преимущественно базальтоидного состава. Изредка встречаются дайки альбитофиров. Мощность их колеблется от 0,1 до 5 м, простирание северо-восточное, параллельное простиранию пояса. Верхняя часть комплекса (0,3—0,5 км) состоит из более однообразных диабазов с ксенолитами алевролитов и кремнистых пород, которые, судя по отдельным наблюдениям на горе Блялик, а также к западу от массива Кызыр-Бурлюк (устное сообщение А. М. Чудина), сменяются грубослойстой толщей метабазальтов, метатуфов и силлов (?) диабазов. Верхняя часть комплекса сходна с нижней частью чингинской свиты, примыкающей с северо-запада к главному телу оphiолитов (гора Ореш, реки Узюп, Коярд, Сольджур и др.).

Средние составы габбро-диабазов и метабазальтов чингинской свиты петрохимически сходны между собой и резко отличаются от таковых габбро главного тела (см. табл. 23). Однако дайки более разнообразны по составу, как и следовало ожидать. В среднем они соответствуют толентам (с натриевым уклоном в чингинских метабазальтах, преимущественно за-

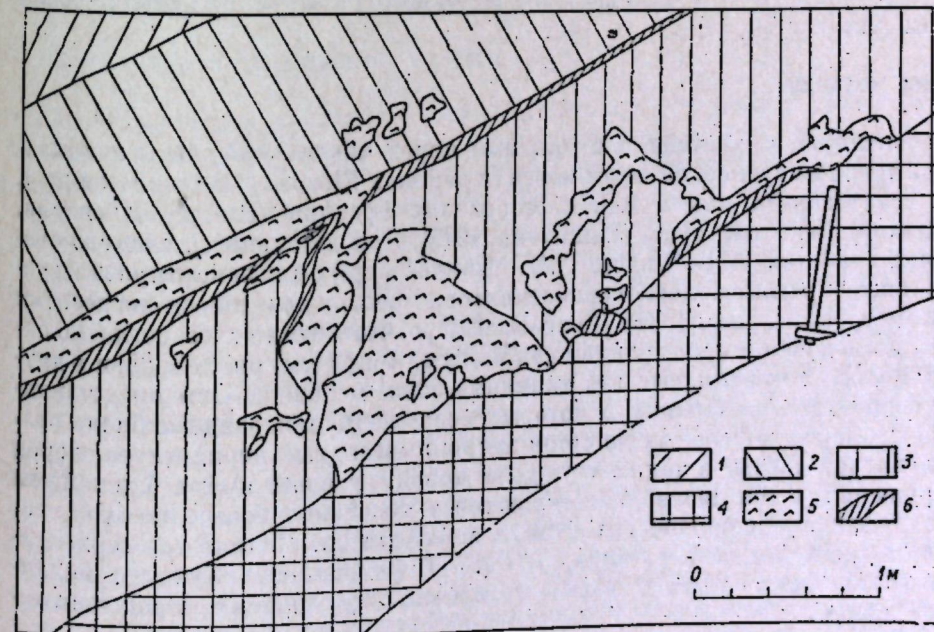


Рис. 39. Детали строения дайкового комплекса.  
1—4 — разновозрастные дайки диабазов; 5 — ксенолиты габбро; 6 — зоны закалки в дайках.

счет их спилитизации), но отличаются от типичных океанических базальтов (как гавайского типа, так и срединно-оceanических хребтов) повышенной железистостью и калиевостью, низким соотношением Zr и Ti (20–100%, Zr при 1,7–3,3%  $TiO_2$ ), и в этом отношении ближе всего к «переходному» типу толентов, характерному, в частности, для рифтовых систем (Добрецов, 1975; Varne, Rubenach, 1972). Дайковая серия и нижняя часть метабазальтов чингинской свиты наиболее сильно сульфидизированы. Зоны сульфидизации, сопровождаемые прошилитизацией, отличаются повышенными концентрациями Cu, Ni, Co, Au, Ag, As (пирит, халькопирит, блеклые руды, арсенопирит и др.). Почти все выявленные аномалии этих рудных элементов приурочены к габбро-диабазовой серии или к ее контактам с чингинской свитой.

Габбро, габбро-диабазы и метабазальты чингинской свиты имеют общие особенности метаморфизма. Степень его — от эпидот-амфиболитовой до прецинит-пумпеллитовой фации, но во всех случаях изменения носят характер «зеленокаменного перерождения» и локальной уралитизации без интенсивной деформации, с сохранением первичных структур и текстур и ассоциаций низких давлений. Такие ассоциации характерны и для магматической стадии в габброидах и диабазах (форстерит + основной плагиоклаз), эпидот-амфиболитовой фации (уралит + куммингтонит + плагиоклаз ± цоизит), зеленокаменной стадии (пренит + хлорит + альбит + кварц; актинолит + пренит + цоизит + хлорит и др.). Метаморфизм, по-видимому, непосредственно следовал за магматической стадией; интенсивность его возрастает в габбро и нижней части дайкового комплекса, которые амфиболизированы обычно неравномерно. Все эти признаки характерны для разреза на о. Маккуори (Varne, Rubenach, 1972).

Состав и особенности габбро, их сходство с включениями в лавах островных дуг типа Курил и Камчатки, метаморфизм низких давлений дали основание заключить (Добрецов, 1974б), что такие офиолиты представляют сложно построенный фундамент вулканических поднятий типа островных дуг. Аналогия с о. Маккуори позволяет предположить, что это может быть фундамент особого типа островных дуг, развившихся на океанической (или рифтовой?) коре. В обоих случаях особенности строения офиолитов и наличие дайкового комплекса лучше всего согласуются с моделью Каппа (Capp, 1970) в условиях непрерывного расширения океанической коры (см. гл. 7).

#### Зоны меланжа

Серпентиниты с обломками и глыбами пород чингинской свиты описывались давно из тувинской части пояса (в районах Шогонар, Актоврак и др.), но трактовались иначе, как своеобразные брекчи (Пинус, Кузнецов, Волохов, 1958) или туфы (Никитчин, 1972). При детальных поисково-съемочных работах (Я. В. Саарба, А. К. Сибilev и др.) были закартированы узкие лентообразные полосы серпентинитов, прослеживающиеся на десятки километров (см. рис. 33, 34). По крайней мере, часть этих полос, согласно нашим исследованиям, по долинам рек Иджим, Коярд (см. рис. 33, 35) и в других местах показали, что это типичные зоны меланжа. Они представляют серпентиновые сланцы, в которых погружены линзовидные блоки разных размеров (от первых до сотен метров) массивных перидотитов, пород чингинской свиты, а также «чужих» пород, не известных в ближайшем окружении, в том числе брекчированных массивных белых известняков, глаукофановых сланцев, гранатовых амфиболитов. Количество серпентинового «цемента» разное, чаще 30–60%. В большинстве случаев в меланже преобладают блоки и глыбы массивных кремнистых пород чингинской свиты.

В разрезе по р. Иджим (разрез СД на рис. 35) наблюдается определенная закономерность в распределении глыб разного состава. В зоне мелан-

жа, примыкающей к главному офиолитовому телу, преобладают блоки «местных» пород (массивных перидотитов — в удалении от контакта с сланцев — вблизи контакта с чингинской свитой, метабазальтов и филлитовидных «чуждые» породы, в частности, вышеупомянутые белые мраморизованные известняки, которых нет в разрезе чингинской свиты). Но и здесь встречаются известияки, которых нет в разрезе чингинской свиты. Крупный блок такого же главного тела, на левобережье р. Узюп. Эти известияки могут относиться к терешкинской свите. Во фронтальных зонах, удаленных от главного тела, встречаются более «глубинные» породы — глаукофановые сланцы и кварциты со спессартином (вскрыты севернее по рекам Коярд и Ореш, по-видимому, из-под фронтального надвига) и гранатовые амфиболиты (апозклогитовые?) — в самой внешней зоне меланжа. Зоны меланжа часто оборваны более молодыми крутопадающими разломами, хотя падение серпентинитовых «полос» под углами 40–55° в ряде случаев установлено определенно по геологическим и геофизическим данным. Однако важнейшим аргументом в пользу надвиговой природы зон меланжа служат их состав и строение, в частности, наличие глубинных и вообще чуждых пород, транспортированных вместе с серпентинитами далеко от места их залегания.

Аналогичные зоны меланжа выявлены в юго-восточной части Борусского офиолитового пояса (см. рис. 43), однако здесь распределение глубинных обломков иное (см. гл. 6). По-видимому, в Куртушибинском поясе главный надвиг — фронтальный, сопровождаемый меланжем с наиболее глубинными обломками. Перед ним и под ним располагается зона глаукофановых сланцев (см. рис. 33–35 и ниже). Надвиг происходит одновременно с образованием крупных лежачих складок, в ядре которых обнаруживаются гипербазиты и габброиды, а на крыльях — чингинская свита. Залегание последней, как и примыкающих метаморфических сланцев и пород ишкянской свиты, на всем протяжении вдоль надвига опрокинутое. Опрокинутое залегание и надвиги послужили причиной ряда неправильных стратиграфических построений (см. ниже).

Конечно, разрезы, показанные на рис. 35, идеализированы и схематизированы, но мы уверены, что они лучше отражают структуру пояса, чем просто система вертикальных блоков.

#### Чингинская и терешкинская свиты

Полоса развития чингинской свиты примыкает к главному офиолитовому телу с северо-запада; на юго-западе присутствуют лишь отдельные элементы ее разреза благодаря крупному Куртушибинскому разрыву (круто-взбросу), который ограничивает офиолиты с юго-запада. В этой полосе имеются и более молодые образования терешкинской (алтыбулакской, верхнечингинской) и ишкянской свит, которые иногда с трудом отделяются от чингинской свиты. Даже в последней работе В. М. Исакова (1974), посвященной стратиграфии чингинской свиты, в ее состав ошибочно, по нашему мнению, включается под названием нижней подсвиты туфо-песчано-алевритовая пачка (р. Урбун и другие места), содержащая обломки плагиоклазовых андезитов и дацитов и относящаяся к ишкянской свите, а в верхнюю подсвиту — лиловые и ярко-зеленые порфиры и туфы, относящиеся, скорее, к терешкинской свите. Это объясняется сложным чешуйчато-покровным строением полосы чингинской свиты, особенно в юго-восточной части пояса (бассейн р. Урбун, хр. Шом-Шум). Поэтому наша схема двухчленного деления чингинской свиты на рис. 33, 34 несколько отличается от схем ее расчленения В. М. Исаковым, Я. В. Саарба и др.

Нижняя часть чингинской свиты (пильво-лавы, туфы, силлы и дайки диабазов, прослои метаграувакк и кремнистых пород), как уже отмечалось, залегает непосредственно выше дайковой серии и довольно точно

Таблица 25

Химические анализы пород чингинской и терешкинской свит

Описел	Чингинская свита						Терешкинская свита					
	метабазальты			иначе			иначе			метабазалты		
	по А. К. Сибильеву (1960)	р. Корыл	шилл	шаровая лава	кремнистые сланцы	по А. К. Сибильеву (1968)	по А. К. Сибильеву (1968)	76	доломит по А. К. Сибильеву (1968)	р. Корыл	реки Зо- лотая и Кандыр- лог	порфириты верхнемонок- ские
SiO <sub>2</sub>	49,0	3,46	46,8	2,95	48,9	53,7	80,5	94,8	95,0	4,98	47,1	47,3
TiO <sub>2</sub>	2,45	0,74	2,59	1,01	2,27	1,48	0,25	0,05	0,10	0,02	2,16	1,18
Al <sub>2</sub> O <sub>3</sub>	14,0	1,56	15,5	0,77	12,7	11,6	5,18	0,34	1,20	0,09	13,62	15,6
Fe <sub>2</sub> O <sub>3</sub>	2,02	0,96	3,90	2,70	2,76	2,27	2,97	0,60	0,14	0,48	3,92	2,96
FeO	9,72	1,68	8,15	2,55	8,17	8,02	2,94	0,83	0,76	0,36	6,28	7,58
MnO	0,17	—	0,18	0,03	—	0,48	0,17	0,03	—	0,04	0,48	0,45
MgO	6,69	2,29	5,90	2,02	7,37	8,80	2,72	1,60	0,16	17,9	4,71	7,52
CaO	7,15	2,43	7,64	2,35	10,9	9,24	0,98	0,55	0,46	33,2	9,76	9,41
Na <sub>2</sub> O	3,23	0,89	3,64	0,55	1,68	3,00	0,44	0,12	0,12	0,01	4,65	2,40
K <sub>2</sub> O	0,97	0,77	0,57	0,42	0,72	0,07	0,44	0,44	0,44	—	0,11	0,83
H <sub>2</sub> O <sup>+</sup>	—	—	—	—	—	—	—	—	—	—	—	—
P <sub>2</sub> O <sub>5</sub>	0,16	—	0,30	0,13	0,32	0,05	0,05	0,09	—	0,03	0,20	0,12
Cr <sub>2</sub> O <sub>3</sub>	—	—	—	—	—	—	—	0,02	—	—	—	—
П. п. п.	4,48	1,48	4,72	1,41	2,90	1,50	1,74	0,69	2,20	42,3	6,65	4,39
Сумма	99,79	—	99,89	—	99,29	99,61	98,32	99,72	100,02	99,41	99,32	99,78
Число анализов	45	7	1	1	2	1	1	1	1	3	9	1
												47

Примечания. Метабазалты («порфириты») — по данным Г. М. Владимира (р. Золотая и др.) и В. П. Коробейникова (р. Кандырлог).

соответствует разрезу о. Маккуори (Varne, Rubenach, 1972). Верхняя часть чингинской свиты и ее преобладающие разрезы к северо-западу от главного тела (см. рис. 33, 34) содержат многочисленные черные сланцы (графитистые, кремнистые и туфогенно-глинисто-кремнистые), большое количество метабазитов, туфов и метаграукаакк, прослои черных дол (Ярошевич, 1971; Исаков, 1974). Судя по литологии и составу пород (табл. 25), это могут быть глубоководные осадки океана или нижней части континентального склона, а также краевой части островной вулканической дуги. В карбонатных породах вблизи границы верхней и нижней подсвит во всех трех офиолитовых поясах найдены (А. П. Щегловым, В. П. Коробейниковым, В. М. Исаковым) и определены (М. В. Степановой) онколиты и катографии, которые указывают на эпиз. венда.

Иной характер имеет терешкинская свита с фауной сапацтыкльского горизонта ленского яруса нижнего кембрия, с размывом залегающая на чингинской свите и офиолитах. Содержит обломки габбро и гипербазитов и даже породы типа серпентинитовых песчаников (Зайков, Зайкова, 1969; Исаков, 1974). В Иджимском массиве выделяется давно, хотя возраст ее долго дискутировался (Зоненшайн, 1963; Черноморский, 1967; Коробейников, 1971), и предполагается нами южнее в так называемых иджирской и устушишинской толщах. В составе последних объединяются джебашская, чингинская, терешкинская и ишкинская свиты. Залегание терешкинской свиты здесь, как правило, аллохтонное в комплексе сложно построенных чешуй. По составу и возрасту свита аналогична верхнемонокской, частично нижнемонокской Северо-Саянского пояса, где паряду с пестроокрашенными яшмами преобладают порфириты малотитанистые, маложелезистые, с повышенным Al<sub>2</sub>O<sub>3</sub>, т. е. андезит-базальтового (лейкобазальтового) типа (см. табл. 25), встречаются гравеллиты, конгломераты и белые известняки. Такие породы отмечаются и в вышележащей ишкинской свите, хотя здесь резко преобладают граувакки андезитоидного и андезит-дацитового состава. По-видимому, терешкинская, ишкинская + аласугская свиты и нижний ордовик образуют единую серию — разрез, близкий к островной дуге с постепенно затухающим базальт-андезит-дацитовым вулканизмом. Однако в отличие от Северо-Саянского пояса здесь отсутствуют полные аналоги нижнемонокской свиты и в начале кембрия (боградский век) между отложениями чингинской и терешкинской свит могли быть перерывы и размывы; в терешкинской свите в отличие от верхнемонокской практически нет кислых эфузивов, ишкинская и аласугская свиты не содержат грубобломочных пород и более метаморфизованы (в отличие от арбатской свиты Северо-Саянского пояса), отсутствуют кембрийские гранитоиды (майнский комплекс), широко распространенные в Северо-Саянском поясе. Другими словами, режим островной дуги (переходная стадия, по А. В. Пейве и др., 1972) в Куртушибинском поясе существенно отличался от Северо-Саянского и мог соответствовать таковому островной дуги, выдвинутой в океан (типа Изу-Бонинской или Марианской).

### Глаукофановые и ассоциирующие метаморфические сланцы

Возраст осадконакопления и метаморфизма этих сланцев дискуссионен, но очень важен для реставрации геологической истории. Поэтому обсудим подробнее все данные, которыми мы располагаем. Полоса метаморфических сланцев к северо-западу от чингинской свиты и зоны надвигов (см. рис. 32—34) при геологической съемке масштаба 1 : 200 000 была отнесена к среднему кембрию (под названием амьльская свита), т. е. считалась моложе чингинской свиты, примерным метаморфизованным аналогом ишкинской и аласугской свит. Эта точка зрения до сих пор имеет

сторонников (Херасков, 1975), хотя факты убеждают большинство исследователей, что эти метаморфические сланцы относятся к докембрийской джебашской серии, более древней, чем чингиская. Утверждения о наледганиях амьльских (=джебашских) сланцев, на чингисские не подтвердились (Коробейников, 1971), хотя нормальные стратиграфические соотношения между этими толщами отсутствуют, и все наблюдавшиеся контакты являются тектоническими.

Более существенно, что метаморфические сланцы джебашской серии заметно отличаются по составу, структуре и степени метаморфизма и от чингинской, и от ишкинской и аласугской свит. По составу среди джебашских сланцев Куртушибинского хребта преобладают однообразные метаморфические сланцы альбит-хлорит-карбонатные (метаграувакково-мергелистые) и эпидот-альбит-хлоритовые (түфогенные) с прослоями кварцito-сланцев, которые отличаются лишь количественными соотношениями главных минералов (альбита, хлорита, кальцита, кварца, фенита, эпидота; в түфогенных сланцах встречается актинолит). Названные породы связаны постепенными переходами, что видно из их средних химических составов (табл. 26). Эти сланцы были отнесены В. П. Коробейниковым к уртеньской свите джебашской серии, но наряду с ней в Куртушибинском и Борусском поясах он выделил кокташскую толщу, которая, по нашему мнению, по большей части представляет нижнюю, наиболее метаморфизованную часть ишкинской свиты.

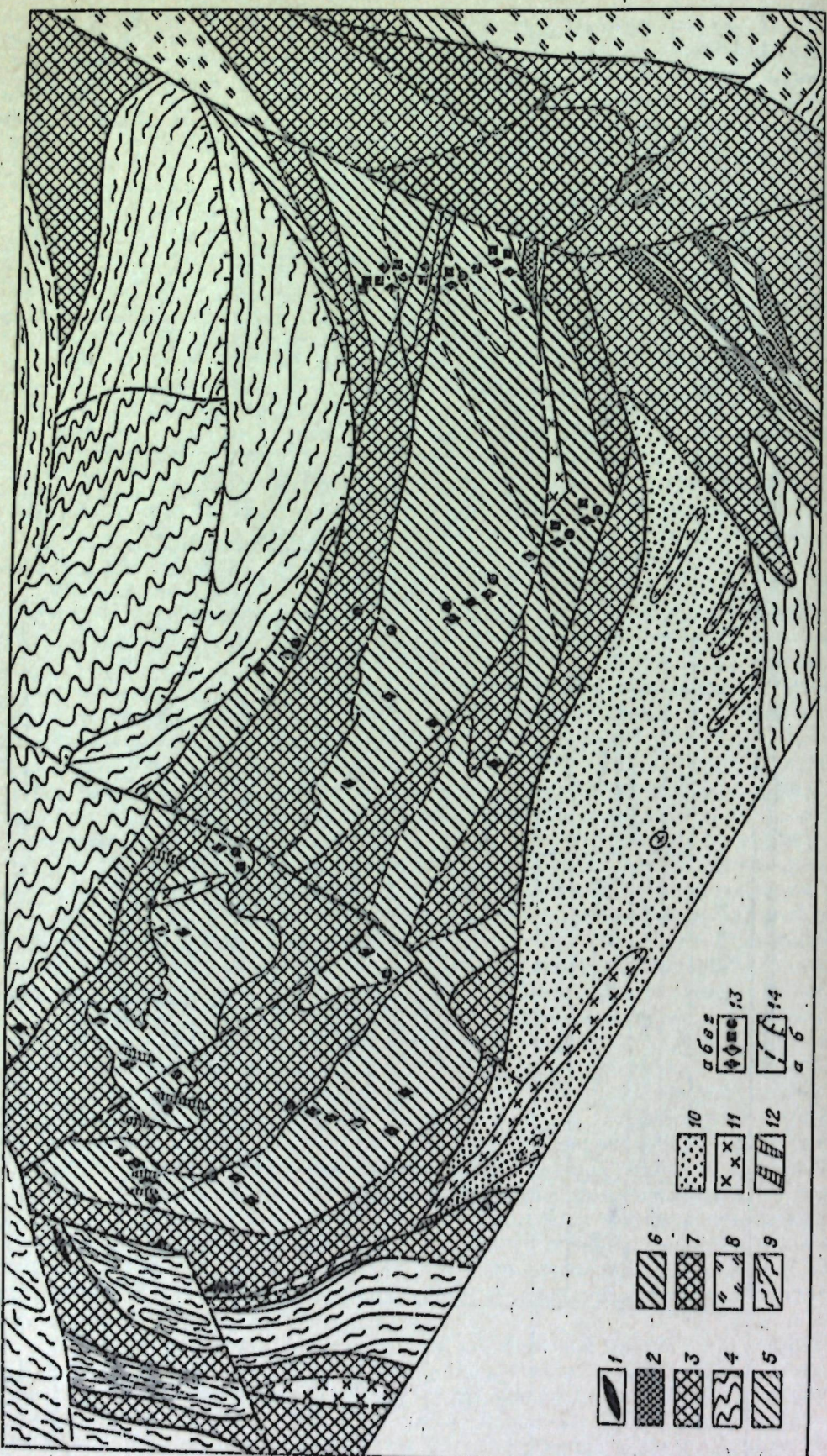
Мы присоединяемся к мнению М. А. Черноморского (1965), что в Куртуйбинском хребте отложения ишкянской свиты залегают на различных горизонтах джебашской серии со скрытым несогласием. Однако эти контакты, как правило, осложнены разломами или плохо обнажены, залегание пород нередко опрокинутое. Поэтому неудивительно, что многие исследователи объединили джебашские сланцы и ишкянские метапесчаники в одну толщу. Главный критерий здесь, кроме состава пород, — резкое отличие степени метаморфизма и структур. Сланцы джебашской серии соответствуют средне- и высокотемпературной частям фации зеленых сланцев, частично фации глаукофановых сланцев (см. ниже), а метапесчаники ишкянской свиты не выходят за границу преинит-пумпеллитовой фации. В породах ишкянской и аласугской свит, как и в чигинской, наблюдаются только сжатые изоклинальные складки северо-восточного простирания, в джебашских слайцах наряду с ними устанавливаются реликты более древних меридиональных структур. Подобное наложение складок и плюсек северо-восточного простирания на меридиональные простирания пластов наблюдалось нами на р. Коярд и в верховьях р. Уса.

Древний возраст джебашской серии подтверждается некоторыми K-Ar датами и микропалеонтологическими определениями. Наиболее древние цифры установлены в Куртушибиском поясе на р. Хемчик (1115 млн. лет) и в Джебашском выступе (933 млн. лет); паряду с ними определена серия дат в интервале 583—517 млн. лет (Коробейников, 1971; Черноморский, 1965). В джебашских сланцах, обнажающихся до Усинскому тракту (восточная часть Джебашского выступа), найдены и определены Б. В. Трофимовым микрофоссилии среднепротерозойского (?) возраста, а в филлитах ишкянской свиты (относимых также к кокташской серии) — микрофоссилии, которые встречаются с верхов кембрия и выше (Кепекинская и др., 1975). Гальки метаморфических сланцев, как и обломки офиолитов, найдены в конгломератах терешкинской и верхнемонокской свит с фауной ленского яруса.

Наиболее интересны среди пород джебашской свиты глаукофансы, содержащие толщи. Они обнаруживаются в трех участках вдоль северо-западного края Куртушибинского олиголитового пояса (см. рис. 32): 1) в районе Черного озера (верховья рек Ус, Амыл, Хут — см. рис. 34), где впервые были обнаружены и кратко описаны М. А. Черноморским и дополнительные изучены нами; 2) по рекам Коярд, Ореш, Иджим — наши данные (см. рис. 33).

Таблица 26

卷之三



и 35); 3) в акольской свите на реках Акол, Урбун (рис. 40; Добрецов, Лепезин, Пукинская, 1972; Добрецов, Пономарева, 1976).

В первых двух участках глаукофансодержащие толщи не обособлялись никем в самостоятельную свиту; по нашему мнению, они являются примерным эквивалентом акольской свиты. По данным М. А. Черноморского и наших, глаукофан-сланцевая толща первых двух участков имеет сходные состав и строение. Пространственно она тяготеет к собственно однаковую (по температуре) степени метаморфизма, но иной состав; по-видимому, ее формирование происходило при более высоких давлениях во время метаморфизма. Ассоциации минералов показаны в табл. 27. Глаукофан здесь редок, отмечаются лишь разности, переходные к кросситам в некоторых метабазальтах из района Черного озера. В туфогенных сланцах, обогащенных  $Fe_2O_3$  (см. табл. 25), более обычны кросситы ( $f = 50-60\%$ ) в ассоциации с хлоритом, альбитом, эпидотом, гематитом-кварцем, карбоатом (аи. кроссита 65 и 104-12 в табл. 28). Реже встречаются ассоциации в кварцитах: Fe-кроссит ( $f = 70\%$ ) + Хл + Сл + Гр (альмандин-гроссуляр) + Аб + Кв + Мт (обр. 65а, а табл. 28). Преобладают актиолитовые или винчитовые сланцы (ассоциация 4 в табл. 27, обр. 4-1 и 104/9 в табл. 28) метабазальтового состава, чередующиеся с карбоато-хлоритовыми сланцами, аналогичными джебашским, и кремнистыми (мотачертами), очень часто содержащими Mp-минералы (шьемонит, реже спессартин). В целом они относятся к переходной глаукофан-зелено-сланцевой фации, а остальная часть метаморфических сланцев джебашской серии — к фации зеленых сланцев хлоритовой, реже биотитовой зоны (Добрецов, 1974а). Температура метаморфизма в глаукофан-сланцевой толще, судя по наличию граната (обр. 65а и др. в табл. 28) и отсутствию пумпеллиита, была не ниже 400–450°C. При этой температуре, теперь уже судя по наличию кроссита в метабазитах и составу слюды в обр. 65а, содержащем 52% фенитового компонента, давление составляло 9–10 кбар.

Глаукофановые сланцы собственно акольской свиты на р. Урбун (рис. 40) к юго-западу от описанных участков (см. рис. 32) имеют иной характер. Пространственно они тесно связаны с породами чиггинской свиты и образуют вместе с ними лежачие складки, осложненные надвигами (см. рис. 40). По составу акольская свита, как и толща районов р. Коярд и оз. Черного, близка чиггинской, отличается лишь отсутствием (или редкостью?) черных углистых сланцев, очень характерных для чиггинской свиты, и большим количеством туфогенных и граувакковых сланцев, а также наличием хлорит-карбоатовых сланцев, которых нет в чиггинской свите (см. табл. 26). Несколько отличаются и метабазальты акольской и чиггинской свит, но это различие можно объяснить примесью туфогенных пород в выборке метабазитов акольской свиты (ср. колонки в табл. 26). При этом в выборке кросситовых и глаукофановых сланцев промежуточной зоны, как и на участках р. Коярд и Черное озеро, железистых туфогенных пород больше. Однако по степени метаморфизма породы чиггинской свиты менее метаморфизованы, а внутренняя зональность акольской свиты, фиксирующая возрастание давления (и уменьшение  $T$ ?) к лавсонит-глаукофановой зоне, не соответствует границам с чиггинской свитой.

Такая ситуация допускает двойное толкование: либо акольская свита — верхняя (?) часть докембрийской джебашской серии и отделена от

Рис. 40. Геологическое строение участков рек Урбун и Акол (3 на рис. 32).

1 — перидотиты, аноперидотитовые серпентиниты; 2 — габброноды; 3 — чиггинская свита; 4 — акольская свита (глаукофанические сланцы); 5 — то же, лавсонит-глаукофанические сланцы; 6 — чиггинская свита и динебашская серия (нерасщепленные); 7 — чиггинская свита (расщепленные); 8 — верхнечиггинская (андургекская) свита; 9 — нижнинская и аллюгекская свиты; 10 — верхнесибирское отложение; 11 — девонские гранитоиды (дикойский комплекс); 12 — дациты габро-диабазов; 13 — места находок глаукофана (а), винчита (б), лавсонита (в), пумпеллиита (г); 14 — разломы (а) и надвиги (б).

Таблица 27

## Ассоциации минералов (1—15) в глаукофан-стильном зонах толщах

Минерал	Участок р. Коярд—оз. Черное															Участок рек Урбун и Акол															
	промежуточная зона					заслоненоиди- вальная зона					промежуточная зона					лавсонит-глаукофан-стильном зона					промежуточная зона					лавсонит-глаукофан-стильном зона					
	1	2	3	4	5	6	7	8	9	10	11	12	13	14	15		1	2	3	4	5	6	7	8	9	10	11	12	13	14	15
Лавсонит	+	+	+	+	+	+	+	+	+	+	+	+	+	+	+	+	+	+	+	+	+	+	+	+	+	+	+	+	+		
Глаукофан	+	+	+	+	+	+	+	+	+	+	+	+	+	+	+	+	+	+	+	+	+	+	+	+	+	+	+	+	+		
Кросцит	+	+	+	+	+	+	+	+	+	+	+	+	+	+	+	+	+	+	+	+	+	+	+	+	+	+	+	+	+		
Винцит	+	+	+	+	+	+	+	+	+	+	+	+	+	+	+	+	+	+	+	+	+	+	+	+	+	+	+	+	+		
Актиноолит	+	+	+	+	+	+	+	+	+	+	+	+	+	+	+	+	+	+	+	+	+	+	+	+	+	+	+	+	+		
Хлоромеланит	+	+	+	+	+	+	+	+	+	+	+	+	+	+	+	+	+	+	+	+	+	+	+	+	+	+	+	+	+		
Эпидот (Mn-ильтемонит)	+	+	+	+	+	+	+	+	+	+	+	+	+	+	+	+	+	+	+	+	+	+	+	+	+	+	+	+	+		
Пумпеллиит	+	+	+	+	+	+	+	+	+	+	+	+	+	+	+	+	+	+	+	+	+	+	+	+	+	+	+	+	+		
Альбит	+	+	+	+	+	+	+	+	+	+	+	+	+	+	+	+	+	+	+	+	+	+	+	+	+	+	+	+	+		
Небард	+	+	+	+	+	+	+	+	+	+	+	+	+	+	+	+	+	+	+	+	+	+	+	+	+	+	+	+	+		
Гранат	+	+	+	+	+	+	+	+	+	+	+	+	+	+	+	+	+	+	+	+	+	+	+	+	+	+	+	+	+		
Стильномелан	+	+	+	+	+	+	+	+	+	+	+	+	+	+	+	+	+	+	+	+	+	+	+	+	+	+	+	+	+		
Гематит	+	+	+	+	+	+	+	+	+	+	+	+	+	+	+	+	+	+	+	+	+	+	+	+	+	+	+	+	+		
Магнетит	+	+	+	+	+	+	+	+	+	+	+	+	+	+	+	+	+	+	+	+	+	+	+	+	+	+	+	+	+		
Фенгит	+	+	+	+	+	+	+	+	+	+	+	+	+	+	+	+	+	+	+	+	+	+	+	+	+	+	+	+	+		
Карбонат	+	+	+	+	+	+	+	+	+	+	+	+	+	+	+	+	+	+	+	+	+	+	+	+	+	+	+	+	+		
Число щипцов	3	3	25	3	25	7	34	37	3	3	25	7	20	4	3	4	+	+	+	+	+	+	+	+	+	+	+	+	+		

Приимечании: + минерал присутствует, — возможно, присутствует, × — проанализированы минерала, приведенные в табл. 28, 29.

Таблица 28  
Химические анализы минералов из метаморфических пород акольской свиты (р. Коярд—Черное озеро)

Оксид и кation	65		65a				104-12		104/9		4-1	
	Кр	Хл	Кр	Хл	Сл	Гр	Са- кро- сит	Хл	вишнит	Акт		
SiO <sub>2</sub>	54,3	27,1	54,8	26,4	50,2	37,4	53,4	31,8	52,6	55,3		
TiO <sub>2</sub>	0,10	0,20	—	0,02	0,03	—	0,05	—	0,08	—		
Al <sub>2</sub> O <sub>3</sub>	3,55	18,5	2,27	16,5	21,9	20,5	2,80	18,6	2,29	1,66		
Fe <sub>2</sub> O <sub>3</sub>	11,0	—	15,4	—	4,4	0,9	11,1	—	8,30	—		
FeO	12,6	28,2	12,2	35,9	2,87	15,7	6,65	18,8	11,9	13,4		
MnO	0,20	0,43	0,49	1,36	0,08	0,37	0,20	0,36	0,13	0,26		
MgO	9,30	15,7	6,50	7,18	3,47	0,10	9,27	19,0	11,9	16,7		
CaO	1,04	—	0,87	0,03	—	22,1	4,02	0,04	6,07	12,0		
Na <sub>2</sub> O	7,30	—	7,28	—	0,10	0,03	6,15	—	4,67	0,50		
K <sub>2</sub> O	0,01	—	0,02	0,02	10,6	0,03	—	—	0,07	0,06		
H <sub>2</sub> O	1,50	10,0	1,50	11,0	5,00	—	2,0	11,0	2,0	2,0		
Cr <sub>2</sub> O <sub>3</sub>	0,04	0,10	0,02	0,03	0,02	0,03	—	—	—	—		
Сумма	100,94	100,23	100,85	98,44	98,77	97,16	96,39	99,60	100,01	101,89		
f, %	58,4	56,6	70,0	76,3	53,3	98,1	51,6	36,3	47,83	31,5		
Si	8,01	2,90	8,02	3,05	3,52	3,02	7,99	3,16	7,6	7,83		
Ti	0,01	0,01	—	—	0,002	—	—	—	0,01	—		
Al	0,68	2,18	0,40	2,19	1,81	1,95	0,43	2,17	0,41	0,27		
Fe <sup>3+</sup>	1,30	—	1,70	—	0,24	0,05	1,27	—	0,94	—		
Fe <sup>2+</sup>	1,50	2,75	1,58	3,34	0,16	1,03	0,84	1,57	1,44	1,56		
Mn	0,03	0,04	0,06	0,14	0,005	0,03	0,03	0,03	0,01	0,03		
Mg	2,03	2,14	1,45	1,08	0,36	0,02	2,01	2,81	2,61	3,46		
Ca	0,16	—	0,14	—	—	1,93	0,65	0,01	0,96	1,80		
Na	2,10	—	2,11	—	0,014	—	1,76	—	1,33	0,13		
K	—	—	0,003	—	0,94	—	—	—	0,02	0,01		
Cr	0,005	0,01	0,02	—	0,001	—	—	—	—	—		
Сумма	15,82	10,04	15,48	9,75	7,05	7,04	15,04	9,75	15,36	15,09		

чингинской свиты скрытым несогласием (или надвигом, или небольшим перерывом), как считает В. П. Коробейников (1971), либо это нижняя часть (или фациальный аналог) чингинской свиты, совмещенная (сдвинутая) по пологому надвигу в долинах рек Урбун и Акол (см. рис. 40). В любом случае, разрезы в районах р. Коярд и Черного озера представляют, скорее всего, внешнюю (менее баритическую) часть более полной зональности, вскрытой в долинах рек Урбун и Акол. Остальная часть может быть скрыта под надвигами (см. рис. 32).

Минеральные ассоциации, часть анализов минералов (обр. 614, 614 г из табл. 29) и метаморфическая зональность участка р. Акол были охарактеризованы ранее (Добрецов, Лепезин, Пукинская, 1972). В табл. 29 приведены дополнительные анализы (обр. 560а—161), на рис. 40 показано распространение индикаторных минералов и примерные контуры метаморфической зональности. Следует подчеркнуть широкое развитие глаукофана с f 51—58%, но с низким содержанием Fe<sub>2+</sub> (см. табл. 27), и ассоциаций с лавсонитом, пумпеллитом, жадеитовым пироксеном, стилемонитом, стильномеланом, которые редки или отсутствуют в районах р. Коярд и Черного озера.

Таблица 29

## Химические анализы минералов из

Оксид и катион	614				614 г			568 д		560		
	Гл	Хл	Ст	Лав	Гл	Хл	Пум	Зл	Гл	Винчит	Хл	
SiO <sub>2</sub>	56,7	27,2	45,0	41,8	56,6	27,3	39,1	57,0	56,9	53,5	28,8	
TiO <sub>2</sub>	—	—	—	—	—	—	—	0,11	0,21	—	—	
Al <sub>2</sub> O <sub>3</sub>	8,57	18,1	6,80	32,2	9,53	18,0	24,4	8,99	8,42	0,94	17,9	
Fe <sub>2</sub> O <sub>3</sub>	5,30	—	22,2	—	2,40	—	5,50	3,65	5,40	1,60	—	
FeO	12,1	26,0	7,7	—	13,3	27,2	—	14,2	13,4	14,1	27,6	
MnO	0,07	0,74	1,36	—	0,10	0,44	0,36	0,44	0,23	—	—	
MgO	7,13	13,9	7,80	0,02	6,58	13,1	2,57	7,17	7,47	15,5	15,2	
CaO	0,92	—	0,01	17,9	1,06	—	23,2	0,67	0,75	11,3	0,12	
Na <sub>2</sub> O	7,18	—	—	—	6,70	—	0,21	6,87	7,20	1,17	0,10	
K <sub>2</sub> O	—	—	—	—	0,03	—	—	0,05	0,07	—	—	
H <sub>2</sub> O <sup>+</sup>	(2,00)	(13,0)	(8,0)	(8,0)	(2,0)	(13,0)	(5,0)	(2,0)	(2,0)	(2,0)	(11,0)	
Сумма	99,97	98,94	98,87	99,92	98,30	99,04	100,34	101,15	102,05	100,11	100,72	
f, %	57,1	51,9	67,7	—	56,9	53,5	54,0	57,9	57,8	36,1	50,4	
Si	8,0	2,86	8,15	2,09	8,07	2,96	6,01	7,97	7,90	7,76	2,98	
Ti	—	—	—	—	—	—	0,01	0,02	—	—	—	
Al	1,41	2,25	1,46	1,90	1,59	2,31	4,42	1,48	1,37	0,16	2,19	
Fe <sup>3+</sup>	0,56	—	3,40	—	0,26	—	0,63	0,39	0,57	0,17	—	
Fe <sup>2+</sup>	1,43	2,29	0,80	—	1,59	2,41	—	1,66	1,51	1,72	2,39	
Mn	0,01	0,07	0,21	—	0,01	0,03	0,05	0,01	0,03	—	—	
Mg	1,50	2,18	2,10	—	1,40	2,12	0,59	1,50	1,54	3,34	2,35	
Ca	0,14	—	—	0,96	0,16	—	3,82	0,10	0,11	1,76	0,01	
Na	1,97	—	—	—	1,85	—	0,06	1,86	1,93	0,33	0,02	
K	—	—	—	—	—	—	—	0,01	0,01	—	—	
Сумма	15,02	9,65	16,22	4,95	14,93	9,83	15,58	14,99	14,99	15,24	9,94	

При меч ани се. Все анализы выполнены на микрозонде MS-40 авторами, Л. В. Усовой и М. С. Хмельниковой под руководством Ю. Г. Лаврентьева; H<sub>2</sub>O<sup>+</sup> теоретическое в соответствии с формулой (Na+K)—Al. Образцы 614, 614г — р. Аколь, материалы Г. Г. Лепезина, остальные — реки Аколь и Урбун, материалы наши.

Лавсонит-глаукофановая зона (см. ассоциации в табл. 27) распространена только в юго-восточной части участка. Глаукофан в этой зоне (обр. 614, 614г, 568д в табл. 29) содержит не более 25—27% рибекитового (Fe<sup>3+</sup>) компонента, вместе с ним широко распространены лавсонит, пумпеллиит, стильномелан. Последний относится преимущественно к ферристильномелану — обогашен Fe<sup>3+</sup>, плеохроирует в бурых — ярко-желтых топах, но содержит много Mg (обр. 614 в табл. 29). В этой зоне наиболее отчетливо проявлен зеленосланцевый диафторез — глаукофан интенсивно замещается хлоритом и винчит-актинолитом ( $\pm$ альбит), лавсонит-стильномеланом, пумпеллиитом, кальцитом, слюдой, в результате возникают многоминеральные (в частности двуамфиболовые) ассоциации, а глаукофан и лавсонит нередко сохраняются только в виде реликтов.

Кросситовая (промежуточная) зона слагает большую часть площади выходов акольской свиты. Лавсонит и пумпеллиит в ней встречаются только вблизи границы с предыдущей зоной, в лавсонит-актинолитовых и лавсонит-пумпеллиит-эпидотовых сланцах без глаукофана (ассоциации 11 и 12, в табл. 27). Пумпеллиит был встречен также вблизи границы с чингисской свитой и в самой свите. Большинство ассо-

## метаморфических пород акольской серии

561 в	248 в			252			248 д	154-3			161
	Кр	Хл	Ст	Хл	Эп	Хл		Гл	Кр	Ст	
54,5	28,7	(48,0)	30,61	39,3	30,6	59,0	56,7	—	45,0	51,2	54,3
0,18	—	0,08	0,09	0,05	0,06	0,02	0,05	—	0,03	0,25	—
4,15	18,3	7,47	20,4	20,9	—	1,42	9,25	—	6,05	22,5	7,26
14,6	—	17,90	—	16,0	17,8	14,0	4,4	21,2	—	11,0	
6,60	27,7	10,0	30,7	—	23,5	4,63	10,2	21,2	10,0	5,48	18,8
0,27	0,44	0,17	0,07	0,11	0,30	0,10	0,07	—	0,21	0,02	—
5,04	13,9	3,06	7,60	0,05	15,3	4,28	7,89	3,55	5,19	2,77	2,66
3,63	0,06	0,05	0,17	21,9	0,18	8,79	0,23	0,04	0,20	8,08	0,17
8,19	0,06	2,76	0,08	—	0,07	8,40	7,66	11,1	0,30	0,18	0,06
—	—	0,06	0,07	0,09	0,02	0,11	0,09	0,16	3,85	9,93	0,22
(2,0)	(11,0)	(7,0)	(11,0)	(2,0)	12,0	—	(2,0)	(2,0)	(6,50)	(4,50)	(6,50)
99,16	100,16	96,55	100,79	100,4	99,83	100,75	98,54	—	98,53	97,01	100,97
69,2	53,0	8,246	2,964	3,135	3,155	2,10	8,042	—	7,812	3,691	8,773
7,95	3,00	0,010	0,007	—	0,005	—	0,005	—	—	0,014	0,029
0,02	—	—	—	—	—	—	—	—	—	—	—
0,70	2,25	1,527	2,640	1,950	2,165	0,070	1,545	—	1,252	2,01	1,398
1,59	—	2,312	—	0,951	—	0,48	0,455	1,748	2,774	—	1,339
0,81	2,41	1,434	2,818	—	2,021	0,10	1,222	—	1,450	0,348	2,611
0,03	0,04	0,031	0,007	0,005	0,026	0,02	0,009	—	0,031	0,002	—
1,08	2,17	0,784	1,241	0,010	2,356	0,25	1,668	0,521	1,345	0,314	0,631
0,57	0,01	0,010	0,020	1,860	0,020	0,36	0,034	0,004	0,031	0,006	0,019
2,30	0,01	0,929	0,013	—	0,013	0,60	2,12	2,111	0,104	0,027	0,019
—	—	0,021	0,013	0,010	0,003	0,004	0,017	0,020	0,855	0,964	0,039
15,05	9,89	15,304	9,723	7,921	9,764	3,974	15,118	—	15,654	7,381	14,858
О. С. Хмельниковой под руководством Ю. Г. Лаврентьева; H <sub>2</sub> O <sup>+</sup> теоретическое в соответствии с формулой (Na+K)—Al. Образцы 614, 614г — р. Аколь, материалы Г. Г. Лепезина, остальные — реки Аколь и Урбун, материалы наши.											

циаций с кросситом и глаукофаном (без лавсонита) аналогичны вышеописанным на участках р. Коярд и Черное озеро. Глаукофан, переходный к кросситу (обр. 560а в табл. 29; около 30% рибекита), и кроссит (обр. 154-3, 561в; 60—70% рибекита) обычно встречаются вместе с натрий-кальциевым амфибол-винчитом (обр. 560а), хлоритом ( $f = 50—53\%$ ), альбитом, эпидотом, сфером (ассоциации 8 и 9 в табл. 27). Обнаруживается также кроссит в карбонатных туфогенных сланцах (+ Эп, Аб). В отличие от предыдущих участков, глаукофан встречается чаще, а в глаукофан-альбитовых породах обнаруживается довольно чистый глаукофан (обр. 248Д). В туфогенных сланцах широко распространен буро-желтый ферристильномелан (обр. 248в, 161, 154-3), содержащий меньше MgO (2—5%), чем в лавсонит-глаукофановой зоне. Вместе со стильномеланом, эпидотом, лавсонитом и кварцем обнаружен эгирировый хлоромеланит (обр. 252), а вместе с альбитом и кросситом — хлоромеланит, который, судя по оптическим свойствам, содержит до 40% жадеита (ассоциация 9 в табл. 27). В проанализированных фенитах из туфогенных и микрографувакковых сланцев (обр. 251 и 154-3 в табл. 29), как и на Черном озере, мало Na<sub>2</sub>O (что можно объяснить отсутствием парагонита в толще), но много (60—65%) фенитового компонента. В кварцитах и кварцито-сланцах встречаются

чаются пьемонит, очень редко обнаруживается гранат (спессартин?).

Температура образования сланцев промежуточной зоны близка температуре устойчивости ассоциаций Пум + Хл и Стиль + фенит + Кв, т. е. около 400°C по схеме субфаций (Добрецов, 1974а). Более точных данных пока нет. При этой температуре давление, оцененное по составу слюд, составляет 9–10 кбар, а по составу хлоромеланита (40% жадеита в ассоциации с альбитом и кварцем), — не менее 8–9 кбар. В зеленосланцевой зоне остается только винчит (см. табл. 27), по-видимому, вследствие падения давления (< 8 кбар).

В лавсонит-глаукофановой зоне при этом же давлении (9–10 кбар) температура ниже — около 350°C (или при той же температуре давление выше > 10 кбар). В целом тип разреза (преобладание метабазитов, включая туфогенные породы), метаморфическая зональность (от лавсонит-глаукофановой до зеленосланцевой), ассоциации и составы минералов сходны с таковыми в Пенжинском поясе (Добрецов, 1974а), для которого мы оценили условия метаморфизма по жадеитовым пироксенам и слюдам:  $P \leq 9$ –10 кбар,  $T = 400$ –450°C (Добрецов и др., 1973).

Резюмируя все данные о метаморфических сланцах Куртушибинского пояса, можно заключить, что осадкоакопление и ранние стадии метаморфизма, по крайней мере, нижней и средней частей джебашской серии, более древние, чем осадкоакопление чингинской свиты. По поводу возраста акольской свиты и глаукофановых сланцев существует двоякое толкование. Не исключено, что акольская свита — примерный эквивалент чингинской, формировавшейся в условиях желоба, при обилии базальтоидных граувакк (турбидитов?) и туфогенных пород; дальше к внутренней части Западного Саяна эта толща выклинивается или фациально замещается и становится неотличимой от остальной части джебашской серии. Зональный глаукофайловый метаморфизм происходил до ныне фиксируемых надвигов (в значительной степени зональность перекрыта надвигами), но, возможно, одновременно с метаморфизмом офиолитов и нижней части чингинской свиты; на глаукофановые сланцы, в меньшей мере на офиолиты и чингинскую свиту наложен зеленокаменный диафторез пумпеллитовой фации, связанный с формированием и метаморфизмом кембрийской островодужной серии (терешкинская + ишканская + аласугская свиты).

Таким образом, вопрос о возрасте и происхождении джебашской серии — это проблема дочингинского фундамента Западного Саяна, а проблема глаукофановых сланцев связана с выявлением древних аналогов зон Бениоффа, возможности в них субдукции и условий формирования офиолитов. Эти вопросы мы обсудим после рассмотрения материалов по Борусскому поясу.

## Г л а в а 6

### БОРУССКИЙ ОФИОЛИТОВЫЙ ПОЯС

Борусский офиолитовый пояс протягивается в северо-восточном направлении и под острым углом причленяется к Северо-Саянскому поясу, имеющему широтное простирание (см. рис. 32). Между ними располагается Джебашский выступ, сложенный метаморфической джебашской серией, которую на этом участке почти все исследователи относят к протерозою. Однако и к запад-юго-западу от Борусского пояса, и внутри него обнажаются метаморфические сланцы, которые многие исследователи не относят к джебашской серии. В целом они аналогичны метаморфическим сланцам северо-западного края Куртушибинского пояса. Для них характерно, как мы видим, сочетание метаморфических сланцев джебашской серии и метапесчаников-метаалевролитов ишканской свиты. И те и другие отнесены В. П. Коробейниковым (1971) частично к джебашской, частично к кокташской толще, которую он сопоставляет с нижней частью чингинской свиты. Геологи ВАГТа (Зоеншайн, 1963; Херасков, 1975) на основании реликтов метапесчаников относили все эти сланцы к амьльской свите предположительно среднекембрийского возраста.

По нашим данным, под названием амьльской и большей части кокташской толщи в Борусской зоне объединены собственно джебашские (включая акольские) метаморфические сланцы и метаморфизованные песчаники и алевритистые филлиты нижней части ишканско-аласугской серии. Эти толщи В. П. Коробейников четко разделяет в верховых р. Ус, но объединяет в других местах, отмечая в то же время их двойственный облик (кристаллических сланцев, с одной стороны, и обломочных пород — с другой), а также тождественность джебашских сланцев и парасланцев кокташской свиты вблизи Южно-Борусского и Абдырского разломов.

Внутреннюю часть метаморфических сланцев, примыкающих непосредственно к офиолитам Борусского пояса, Н. Л. Добрецов (1963) сопоставлял с акольской свитой Куртушибинского хребта, эти же сланцы на юго-западном выклинивании Борусского пояса В. П. Коробейников (1971) выделил в стантаскыльскую толщу, которую он также сопоставлял с верхней частью джебашской серии, т. е. с акольской свитой.

Таким образом, офиолиты Борусского пояса представляют узкую полосу (ширина около 15 км в центральной части) с тектоническими контактами среди метаморфических сланцев докембра. Такую структуру большинство авторов трактовало как грабен (Борусский грабен-спилокорий). Но с учетом новых данных, изложенных ниже, не исключено, что это чешуя, надвинутая на метаморфические сланцы, как и Куртушибинский пояс.

Центральная часть Западного Саяна между Куртушибинским и Борусским поясами выполнена ордовик-силурийскими флишоидными отложениями. Из-под них обнажаются слабо метаморфизованные породы ишканско-аласугской серии ( $\equiv_{1-3}$ ) и ещё и еще ниже — метаморфические сланцы джебашской (кокташской и акольской) серий, которые, как от-

мечалось, сходны в обоих бортах Западно-Саянского синклиниория. Последний, таким образом, имеет грубосимметричное строение, однако ограничивающие его Борусский и Куртушибинской пояса не эквивалентны.

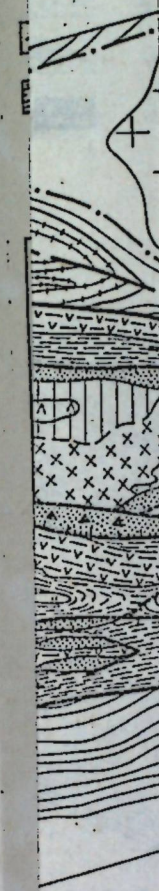
Различаются также формации и структуры на внешней стороне поясов. К юго-востоку от Куртушибинского пояса обнажается разрез, по строению сходный с центральной частью Западного Саяна (аласугская серия кембрия и породы ордовика — силура с узкими тектоническими линзами чингинской свиты и офиолитов). К северо-западу от Борусского пояса прослеживается джебашская серия метаморфических сланцев (см. рис. 32). Эти сланцы вблизи северо-восточного и юго-западного выклинивания Борусского пояса превращены в полиметаморфические зональные сланцево-гнейсо-амфиболитовые комплексы — когдарский и абаканский. В ядре когдарского комплекса среди амфиболитов и плагиогнейсов обнажаются мигматиты и гранито-гнейсы, имеющие возраст около 600 млн. лет (Коробейников, 1971). Гальки этих пород встречены в среднекембрийских отложениях. Этими фактами подтверждается не только докембрийский возраст джебашской серии, но и верхнедокембрийский (вендский) — зонального метаморфизма и плагиомигматитов, формирование которых, возможно, было одновременным с формированием офиолитов и началом осадконакопления чингинской свиты.

Офиолиты Борусского пояса изучались Н. Л. Добрецовым в 1960—1961 гг. Полученные материалы с учетом данных предыдущих исследователей, опубликованных в сводной монографии Г. В. Пинуса, В. А. Кузнецова, И. М. Волохова (1958) и статьях М. И. Юдина (1959, 1963), были обобщены в специальной работе одного из авторов (Добрецов, 1963). Нижеприведенное описание в значительной мере основывается на этой работе. Ученые также новые материалы, полученные авторами в 1973 г. в бассейне р. Кантегир, а также результаты геологической съемки масштаба 1 : 50 000 в юго-западной части массива (Гребенщиков, Кулаков и др.) и исследований пород хр. Стан-Таскыл В. П. Коробейникова и М. И. Исакова.

Во внутреннем строении Борусского пояса (рис. 41) принимают участие гипербазиты, образующие крупный Борусский массив площадью более 200 км<sup>2</sup> и ряд более мелких линз и «полос», включая зоны меланита (см. ниже), метагаббро-амфиболиты, образующие ряд линзообразных тел, тяготеющих к сланцам акольской (стантыскольской) свиты (самое крупное из них — по кл. Кашутка, левобережье Енисея), метаморфические сланцы акольской свиты, иногда с винчитом и кросситом, распространенные преимущественно в юго-восточном краю пояса, слабо метаморфизованные эфузивы и углисто-кремнистые сланцы чингинской свиты, габбро, диориты и гранодиориты Кантегирского массива, сопоставляемые нами с майнским комплексом кембрийского возраста, более молодые (O—S) гранитоиды, образующие Сизинский и Копепский массивы, которые своими краевыми частями прорывают породы пояса. Уже из этого краткого перечисления видны главные отличия Борусского пояса от Куртушибинского: небольшое количество габброидов, не участвующих в единой «стратиграфической» колонке офиолитов, отсутствие дайкового комплекса, только спорадические находки винчита и кроссита, наличие гранитоидов, сходных с плагиогранитами Северо-Саянского пояса, иное строение внешнего (северо-западного) обрамления пояса. Кроме того, как мы увидим ниже, состав и строение членов офиолитовой серии также существенно отличаются от таковых Куртушибинского пояса.

#### ГИПЕРБАЗИТЫ

В пределах Борусского массива (см. рис. 41, 42) они расчленены нами на полосчатый дунит-энстатит-гарцбургитовый комплекс, гарцбургиты, перцолиты (иногда верлиты) и разнообразные серпентиниты, включая кум-



на рис. 32).  
новые породы  
ьская) толща,  
— конгломераты;  
— виги; 20 — эле



на рис. 32).  
— куммингтонит-оливиновий массив; 8 — гранодиориты;  
— порфиробластовые с; 17 — метапорфириты и  
новного (6) составов; 21 —  
известники; 24 — зоны

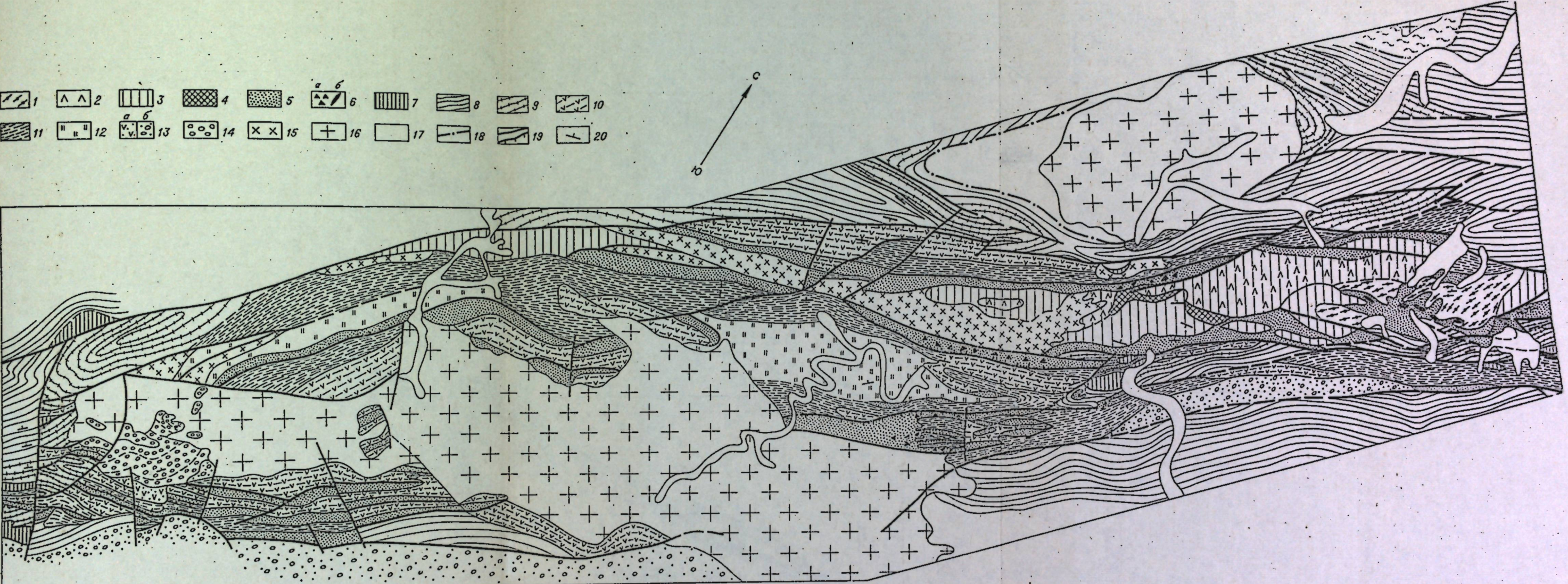
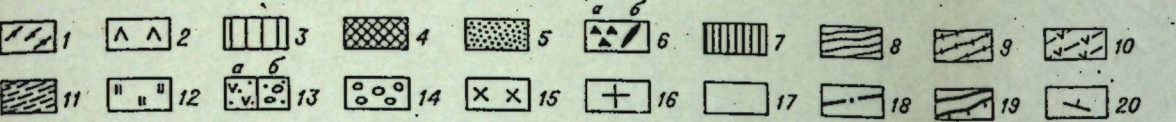


Рис. 41. Геолого-литографическая схема Борусского гнейсово-гнейситового пояса (4 на рис. 32).

1 — полосчатые дунит-гарцбургиты; 2 — перцолиты; 3 — серпентинизированные и кумминстонизированные перидотиты (преимущественно гарцбургиты); 4 — вторичные антигорит-оливиновые породы; 5 — аллометаморфические серпентиниты, рассланцованные серпентиниты, зоны мелапака; 6 — экзотические обломки и глыбы в зонах мелапака (a) и линзы жадеитовых и альббитовых пород (b); 7 — метагаббро, амфиболиты; 8 — джебашская серия; 9 — стантасильская (акольская) толица, преимущественно метабазиты; чилгинская свита; 10 — преимущественно метабазиты; 11 — черные сланцы, кремнистые породы; 12 — нижненемонокская (верхнечилгинская?) свита; 13 — туфогенические верхнемонокские (a), ишицкая и ануиская (b) свиты (См<sub>1</sub> — О<sub>1</sub>); 14 — конгломераты арбатской (?) свиты См<sub>1</sub>; 15 — каптегирский массив диорит-плагиогранитов; 16 — джойсийский комплекс гранитов, D — D<sub>2</sub>; 17 — четвертичные отложения; 18 — граница контактового ореола вокруг джойсийских гранитов; 19 — разломы и надвиги; 20 — элементы залегания пород и полосчатости в гнейсах.

1	7	13	19
2	8	14	20
3	9	15	21
4	10	16	22
5	11	17	23
6	12	18	24

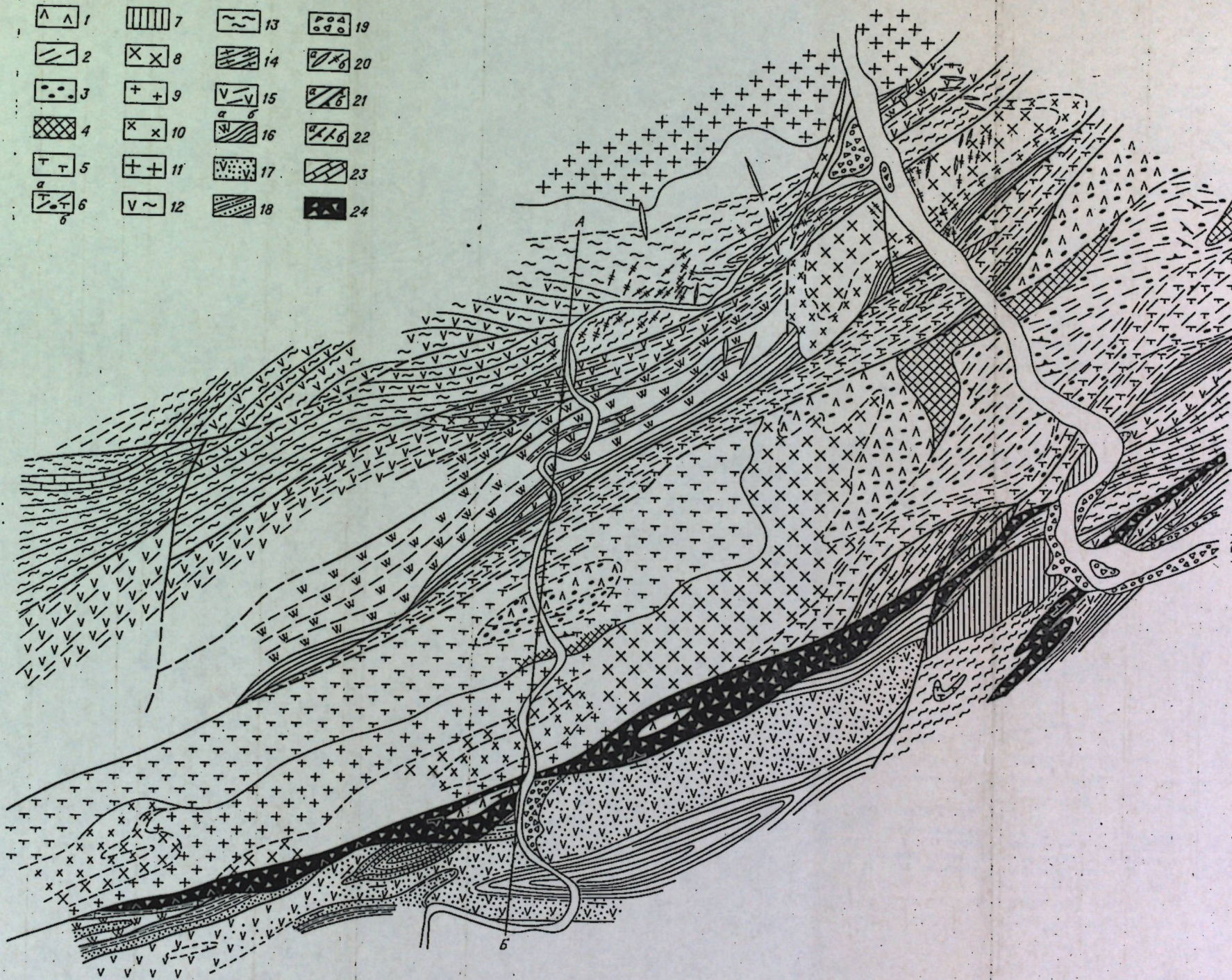
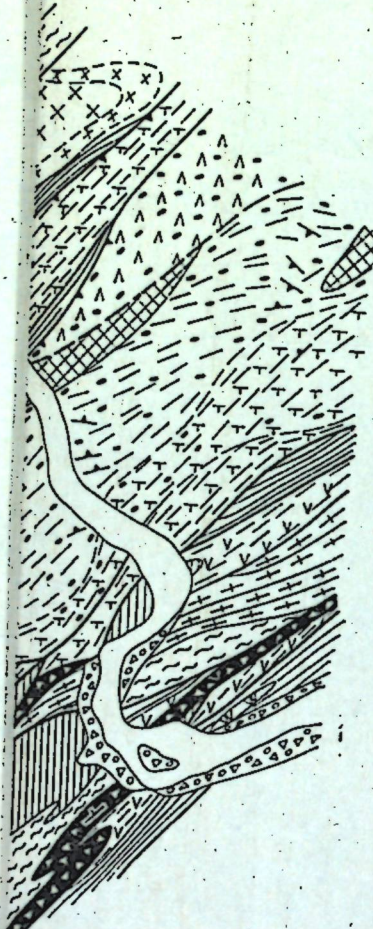


Рис. 42. Строение приенисейской части Борусского пояса (5 на рис. 32).

Гипербазиты: 1 — апоплерцолитовые; 2 — апогарцибургитовые; 3 — куммингтонит-антигоритовые; 4 — регенерированные куммингтонит-оливиновые породы; 5 — церасчлененные серпентиниты; 6 — серпентинитовые сланцы (а), то же, с куммингтонитом (б); 7 — метагаббро-амфиболиты; кантегирский массив; 8 — гранодиориты; 9 — плагиограниты; 10 — диориты; 11 — дюйсийские граниты; джебашская серия; 12 — метабазальты; 13 — хлорит-карбонатные сланцы; 14 — порфиробластовые сланцы и «гнейсы»; чигинская и верхнемонокская (?) свиты; 15 — метабазальты нижней подсвиты; 16 — кремнистые породы (а) и углистые филлиты (б); 17 — метапорфиры и метатуфы средней подсвиты; 18 — глинистые сланцы, метапесчаники, алевролиты; 19 — аллювиальные отложения; 20 — дайки кислого (а), среднего и основного (б) составов; 21 — разломы (а) и надвиги (б); 22 — элементы залегания полосчатости в гипербазитах (а) и слоистости в осадочных породах (б); 23 — известники; 24 — зоны меланина.



М — породы, 5 — цераселениты, 9 — цераселениты, 10 — орбиты, 9 — плагиограниты, 10 — танцы и «гнейсы»; чингинская и статуфи средней подсвиты, 18 — разломы (а) и надвиги (б); 22 — меланка.

Химический анализ офиолитов Борусского поиска

Оксисел	Дуниты			Гарцибургиты			Лерпоплиты			Экстрагиты			Гипербазиты в целом			Серпентиниты			Антигоритовые серпентиниты			Габброподы			Кварцевое габбро			Кварцевые диорит-гранодиориты			
	$\frac{x}{x}$			$\frac{s}{x}$			$\frac{x}{x}$			$\frac{s}{x}$			$\frac{x}{x}$			$\frac{s}{x}$			$\frac{x}{x}$			$\frac{s}{x}$			$\frac{x}{x}$			$\frac{s}{x}$			
		$\frac{x}{x}$	$\frac{s}{x}$		$\frac{x}{x}$	$\frac{s}{x}$		$\frac{x}{x}$	$\frac{s}{x}$		$\frac{x}{x}$	$\frac{s}{x}$		$\frac{x}{x}$	$\frac{s}{x}$		$\frac{x}{x}$	$\frac{s}{x}$													
SiO <sub>2</sub>	38,66	1,92	40,90	1,70	40,05	51,31	1,34	42,48	5,00	40,00	2,16	41,04	2,39	37,5	45,28	41,48	48,34	56,63													
TiO <sub>2</sub>	0,49	0,17	0,02	0,03	0,02	0,03	0,04	0,08	0,12	0,07	0,07	0,04	0,43	1,36	1,74	0,58	0,34														
Al <sub>2</sub> O <sub>3</sub>	1,60	1,38	1,04	0,62	1,45	2,11	0,93	1,49	0,99	1,99	2,02	1,23	0,66	1,6	13,91	14,07	15,20	16,39													
Fe <sub>2</sub> O <sub>3</sub>	2,85	0,75	2,71	1,77	3,55	1,94	1,01	2,82	1,44	3,54	2,40	3,50	3,24	3,43	5,35	3,49	4,51	3,45													
FeO	5,40	0,48	5,51	1,93	4,18	5,80	1,55	5,27	1,40	3,60	2,00	4,27	1,72	4,02	8,32	9,08	7,25	5,95													
Cr <sub>2</sub> O <sub>3</sub>	(0,56)	—	0,42	0,06	No	0,29	—	0,40	0,20	0,29	0,08	0,34	0,4	0,32	—	—	—	—	—												
MnO	0,14	—	0,11	0,05	0,20	0,13	0,01	0,43	0,08	0,11	0,05	0,09	0,03	0,06	0,35	0,21	0,16	0,11													
MgO	47,22	1,55	42,60	1,64	40,54	34,27	3,95	42,02	5,07	38,09	1,98	37,07	0,70	36,36	6,89	13,33	9,72	4,38													
CaO	0,30	0,35	0,34	0,30	1,30	1,86	1,02	0,78	0,81	0,49	0,53	0,05	0,1	0,00	10,60	8,63	7,77	6,43													
Na <sub>2</sub> O	0,03	—	0,05	0,05	0,06	0,01	0,02	—	0,03	0,03	—	—	0,03	—	—	2,45	3,30	2,75	3,02												
K <sub>2</sub> O	—	—	0,00	0,01	—	—	*	—	—	—	—	—	0,03	—	—	0,30	0,80	1,21	2,40												
P <sub>2</sub> O <sub>5</sub>	—	—	0,008	—	No	—	—	—	—	—	—	0,0010	0,002	0,010	0,30	0,06	0,24	0,17													
H. п. п.	3,31	1,40	5,70	2,62	7,66	2,15	1,34	4,57	2,62	11,60	0,96	11,70	0,34	11,21	5,42	4,53	2,27	4,33													
Сумма	100,26	—	99,41	—	99,03	99,95	—	99,77	—	99,78	—	99,49	—	99,64	100,21	99,75	100,00	100,34													
Число анализов	6	7	3	4	20	10	4	1	1	1	1	1	1	1	1	1	1	1	1	1	1	1	1	1	1	1	1	1	1	1	

Примечание. 20 анализов гипербазитов занесены из работы Г. В. Плакуса, Ю. Н. Колесника (1966; материалы М. И. Юлдана), остальные — наши, химические анализы — ИГиГ СОАН СССР, для последних колонки — по данным В. Н. Требенищевой, К. К. Кутакова и др.

Таблица 31

## Химические анализы минералов из

Оксид и катион	325				130*		338		343-2*		1123*		109*				
	Ол	Рп	Мп	Хр	Рп	Ол	Ди	(Амф)	(Сл)	(Серп)	Гр*						
SiO <sub>2</sub>	41,80	57,5	54,7	—	53,20	40,9	53,7	55,37	50,87	42,42	37,92						
TiO <sub>2</sub>	—	0,0	0,11	0,04	0,10	—	—	0,13	0,25	0,05	0,44						
Al <sub>2</sub> O <sub>3</sub>	—	2,31	3,28	22,37	2,22	—	1,31	1,78	25,64	1,61	9,79						
Fe <sub>2</sub> O <sub>3</sub>	—	—	—	3,55	3,01	—	—	1,24	0,76	2,16	17,02						
FeO	9,08	4,84	5,46	16,1	4,20	10,5	2,06	5,34	0,86	4,02	0,95						
MnO	0,15	0,11	0,18	0,38	0,13	0,35	0,09	0,14	0,05	0,085	0,35						
MgO	42,3	33,9	20,9	12,96	33,60	48,9	17,4	19,98	5,01	37,06	0,12	BaO					
CaO	0,17	1,02	12,0	—	1,79	0,01	23,8	7,23	0,50	0,05	32,93						
Na <sub>2</sub> O	—	0,07	0,57	—	—	—	0,03	5,88	0,37	—	—						
K <sub>2</sub> O	—	—	—	—	—	—	—	0,58	10,55	—	—						
H <sub>2</sub> O	—	—	—	—	1,48	—	—	1,34	4,90	12,12	0,51						
Cr <sub>2</sub> O <sub>3</sub>	—	1,01	1,12	43,83	—	0,06	0,66	0,40	—	0,23	—						
<b>Сумма</b>	<b>100,34</b>	<b>100,76</b>	<b>98,29</b>	<b>99,03</b>	<b>99,73</b>	<b>100,72</b>	<b>99,05</b>	<b>100,11</b>	<b>99,76</b>	<b>99,66</b>	<b>100,03</b>						
<i>f, %</i>	9,5	8,9	45,5	8,3	11,0	8,0	15,2	19,7	8,5	—							
Si	1,01	1,98	—	1,909	0,999	1,976	7,80	3,40	4,10	3,04							
Ti	—	0,003	0,001	0,004	—	—	0,01	0,01	—	0,05							
Al	—	0,14	0,83	0,095	—	0,057	0,31	2,02	0,18	0,93							
Fe <sup>3+</sup>	—	0,08	0,041	—	—	—	0,12	0,06	0,16	1,02							
Fe <sup>2+</sup>	0,18	0,17	0,42	0,125	0,21	0,064	0,62	0,05	0,33	0,06							
Mn	0,003	0,005	0,01	0,004	0,007	0,002	0,02	—	—	0,24							
Mg	1,78	1,13	0,61	1,797	1,78	0,955	4,20	0,50	5,32	0,015							
Ca	—	0,46	—	0,069	0,0004	0,937	1,09	0,04	—	2,83							
Na	—	0,04	—	—	—	0,004	1,61	0,05	—	—							
K	—	—	—	—	—	—	0,10	0,89	—	—							
Cr	—	0,03	1,09	—	—	—	0,01	—	0,01								
<b>Сумма</b>	<b>2,97</b>				<b>4,044</b>	<b>1,988</b>	<b>4,01</b>				<b>6,97</b>						

\* Химические анализы. Остальные выполнены на микрозонде под руководством Ю. Г. Лав. Примечание. Образцы 74, 76, 36, 43 — жадеитовые пироксены (1, 1а, 2, 2а — зоны из работы Н. Л. Добрецова (1963), химлаборатория ИГиГ СО АН СССР, 130 — из работы Г. В. Питров.

мингтониты содержащие антигоритовые серпентиниты. Средние составы этих пород приведены в табл. 30. Гарцбургиты тяготеют к нижним частям массива, имеющего на значительном протяжении грубосинклинальное строение, поскольку это можно судить по элементам планпараллельной структуры в гарцбургитах (см. рис. 41 и 42). В северо-восточной части хр. Борус намечается антиклинальное строение массива, в ядре которого обнажается полосчатый комплекс с жилообразными полосами энстатитов и броунитов. Субмеридиональная ориентировка полосчатости в этом ядре несогласна с общим простиранием и тектоническим ограничением массива. Краевые и верхние (?) части массива интенсивно серпентинизированы, в частности, почти полностью серпентинизированы лерцолиты, поэтому их распространение показано на карте несколько условно.

Обычные гарцбургиты, по-видимому, преобладали в Борусском массиве, но из-за своего краевого положения интенсивно серпентинизированы.

## опиолитов Борусского пояса

245 В	Эг		Жд			74			76			36			43	
						1	2а	2	2*	2	2а	1	1a*	2*	2а	
	2	2а	1a	1												
51,6	52,1	—	60,1	59,3	—	59,2	55,6	54,7	56,65	56,5	56,2	59,4	58,9	56,6	57,5	
—	—	—	—	—	—	—	—	—	—	—	—	—	—	—	—	—
1,0	2,7	20,4	23,8	19,4	11,0	8,10	10,0	10,2	11,0	24,4	21,6	13,7	11,2	—	—	—
5,2	11,4	3,90	1,50	1,80	2,20	3,20	5,52	5,05	4,30	0,40	1,44	2,35	2,70	—	—	—
15,8	8,1	0,15	—	—	2,00	3,20	2,66	1,10	0,80	0,30	0,45	1,35	0,80	—	—	—
0,0	—	—	—	0,08	0,04	0,04	0,16	0,23	—	0,01	0,10	0,23	0,75	0,23	—	—
4,35	4,37	0,44	0,13	2,90	7,60	8,9	6,37	7,00	7,40	0,12	1,66	6,75	8,30	—	—	—
18,6	13,9	0,80	0,26	4,10	12,8	15,0	10,15	12,2	11,6	0,40	2,77	10,3	12,4	—	—	—
2,9	6,1	14,2	14,2	13,1	7,65	6,2	7,82	8,30	8,70	14,9	12,8	8,77	7,73	—	—	—
—	—	—	—	0,00	0,20	0,19	—	—	—	—	—	—	—	—	—	—
—	—	—	—	—	—	—	—	—	—	—	—	—	—	—	—	—
99,45	96,67	99,99	99,19	100,58	98,89	99,34	99,58	100,63	100,38	99,92	100,05	100,12	100,89			
72,3	70,0	79,0	80,0	—	—	—	—	—	—	—	—	—	—	—	—	—
2,045	2,06(?)	2,07	2,02	2,01	2,00	2,00	2,01	2,00	1,99	2,01	2,00	1,99	2,01	2,00	1,99	2,01
—	—	—	—	—	—	—	—	—	—	—	—	—	—	—	—	—
0,05	0,13	0,84	0,96	0,78	0,47	0,35	0,43	0,43	0,46	0,97	0,87	0,57	0,46	—	—	—
0,16	0,31	0,10	0,04	0,05	0,06	0,09	0,15	0,14	0,12	0,01	0,04	0,06	0,07	—	—	—
0,52	0,29	0,01	—	0,55	0,07	0,10	0,09	0,04	0,03	0,01	0,02	0,04	0,03	—	—	—
0,26	0,26	0,03	0,01	0,15	0,40	0,49	0,34	0,35	0,39	0,01	0,08	0,36	0,43	—	—	—
0,75	0,59	0,03	0,015	0,15	0,49	0,58	0,40	0,46	0,44	0,02	0,10	0,39	0,43	—	—	—
0,22	0,46	0,95	0,95	0,86	0,53	0,4	0,56	0,57	0,59	0,98	0,85	0,60	0,53	—	—	—
4,045	4,10	4,02	4,005	4,005	4,02	4,05	3,98	3,99	4,02	4,01	3,98	4,01	3,96			

рентьева. В образце 343-2 (вес. %): FeO=0,59; NiO=0,11, в образце 1123 BaO=0,42. Минералы, соприкасающиеся и находящиеся в равновесии: 343-2, 1123, 109, 245 В (Гр), 36(1a), 43(2) — писса и Ю. Н. Колесника (1960), остальные — наши материалы; 325 — новый анализ, материал авторов.

Состоят из реликтового оливина с железистостью 9—11% по оптическим свойствам  $N_g = 1,690$ — $1,693$ , замещаемого петельчатым лизардитом и (или) антигоритом, ромбического пироксена с железистостью 11—12,5% ( $N_g = 1,679$ — $1,681$ ), замещаемого тальком или баститом, и редких зерен хромита. В менее серпентинизированных гипербазитах хорошо заметна интенсивная деформация зерен оливина. В ромбическом пироксене встречаются структуры распада твердого раствора — микроскопические линзовидные параллельные вrostки моноклинного пироксена, иногда более крупные неправильные вrostки этого минерала. Эти данные указывают на высокотемпературность орто-пироксена (900—1000°C), как и энстатитов, анализы которых приведены в табл. 31. В породах без признаков катаклаза пироксен образует более крупные, чем оливин, в целом ксеноморфные зерна. Эти зерна характеризуются струйчато-полосчатым расположением, подчеркнутым серпентинизацией и рассланцеванием, что

обуславливает отчетливые пластикаралельные структуры в гардбургитах.

Средние составы гардбургитов близки к таковым в Куртубибинском поясе (см. табл. 23), некоторые отличия намечаются по  $\text{Al}_2\text{O}_3$ ,  $\text{CaO}$  и степени окисления.

Полосчатые гардбургиты с жилами бронзитов обнаруживаются в осевой части хр. Борус. Междужильные породы, жилы и линзы бронзитов (мощностью 1—5 см, редко больше) состоят из тех же минералов, но оливин в жилах составляет лишь 5—10% породы. В виде примеси (~ 5%) присутствует также моноклинный пироксен. В участках сближенных параллельных жил бронзититов порода, расположенная между жилами, обеднена пироксеном и переходит в дунит. По простиранию жилы образуют прерывистую цепочку линз и отдельные скопления и цепочки зерен пироксена, аналогичные таковым в обычных гардбургитах.

Взаимоотношения минералов из полосчатого образца (325 в табл. 31) обычно реакционные. Железистость оливина и ортопироксена (см. также обр. 130 в табл. 31) сходны с таковыми в обычных гардбургитах, только в энстатитах наблюдаются большие пределы колебаний. Судя по примеси  $\text{Ca}$  в ортопироксene и особенно по составу клинопироксена (обр. 325), эти минералы и породы образовались при очень высоких температурах. Отношение  $\text{Ca}/(\text{Ca} + \text{Mg})$  в клинопироксene (0,29) соответствует (по термометру Бойда) температуре 1500°C.

Эти полосчатые породы были описаны М. И. Юдиным (1959) под названием «дуниты» и рассматривались им как результат сложного метасоматического замещения серпентинитов, происходившего с привносом магния. В первую стадию процесса (во фронтальной части метасоматической колонны) образовались жилы пироксенитов в серпентините, а затем произошло замещение и тех и других оливиновой породой. Один из авторов в статье о Борусском массиве (Добрецов, 1963) критически рассмотрел эту гипотезу и пришел к выводу, что ее нельзя признать убедительной. Новые факты о высокотемпературности пироксенов подтверждают эту критику. Однако и без этих данных достаточно очевидно, что жилы бронзитов возникли в перидотитах, а не серпентинитах, бронзит жил замещает, как правило, оливин, а не наоборот, и линзовидные выделения его представляют не «плитки-ксенолиты», как думал М. И. Юдин, а жилы в начальную стадию сегрегации. В полосчатых гипербазитах серпентин развивается явно позже оливина. Но взаимоотношения их осложнены наличием различных по форме «псевдожилок» и «псевдокристаллов» оливина, которые М. И. Юдин рассматривал как метасоматические жилки оливина в серпентинитах. Особую роль в образовании этих псевдожилок играют деформация, спайность и ориентированное расположение зерен оливина, благодаря чему агрегаты и лизардита, и антигорита развиваются ориентированно.

Интенсивная деформация зерен оливина установлена нами во всем массиве и проявляется в линейчатом погасании (обусловленном субмикроскопическим двойникованием), отчетливой спайности по (010), изогнутости и дроблении кристаллов, возникновении мелкозернистых агрегатов и катакластических структур, а также в отчетливой тектонической ориентировке оливина. Последнее установлено на основании статических замеров ориентировки кристаллов оливина и пироксена и построения микроструктурных диаграмм по слегка видоизмененному методу А. Б. Вистелиуса (1948). Наконец, установлены складчатые жилы бронзитов, которые встречаются не только вблизи контактов, как описано М. И. Юдиным (1959), но и в центре массива.

Таким образом, в настоящем виде перидотиты, в том числе обычные и полосчатые гипербазиты, являются тектоническими, а история формирования полосчатого комплекса включает высокотемпературную магматическую стадию (точнее, с участием высокотемпературного расплава) и последующую деформацию и пластическое течение еще горячих пород,

согласно той интерпретации, которую дает А. Николя и Ф. Будье (Nikolas, Boudier, 1975; Nikolas, Boudier, Boullier, 1973; Nikolas, Bouchet, 1972) на основании детального петроструктурного и экспериментального изучения ориентированных структур перидотитов (см. гл. 7). Эти особенности, а также описанные ниже куммингтонизированные лерцолиты аналогичны метаморфическим процессам, описанным в гипербазитах олиолитовых поясов Полярного Урала, особенно в массивах Сыум-Кей и Рай-Из. Данные анализов гипербазитов, приведенные в табл. 30, наиболее сходны с данными по гипербазитам массива Рай-Из, включая вторичные дуниты и энстатититы (точнее бронзититы, как и в Борусском массиве).

Лерцолиты (подчищенные верлиты) отличаются от гардбургитов более светлой или красноватой выветрелой коркой, наличием двух широкомощью псевдоморфоз амфибола и серпентина по моноклинному пироксену. Так же, как и гардбургиты, лерцолиты нередко характеризуются струйчатым или цепочечным расположением зерен пироксена, особенно отчетливым при выветривании. Однако пироксен мономинеральных жил никогда не образует. Лерцолиты, как правило, сильно изменены, состоят из реликтов оливина, серпентина (преимущественно хризотила), псевдоморфоз по моноклинному пироксену (обр. 338 в табл. 31), реже бастита, а также вторичных тонкозернистых агрегатов куммингтонита по ортопироксену (фото 14). Количество пироксена в слабо измененных породах доходит до 25%, однако такие породы редки, реликты ромбического пироксена сохраняются еще реже, поэтому трудно различать лерцолиты и верлиты и закартировывать их распространение, особенно если баститовые псевдоморфозы перекристаллизованы. Судя по среднему составу пород (см. табл. 30), преобладают лерцолиты, бедные клинопироксеном (10—15%), но богатые серпентином и амфиболом (70—80%).

Оливин существенно не отличается от такового в гардбургитах ( $f \approx 10—11\%$ , обр. 338 в табл. 31). Моноклинный пироксен представлен хром-диопсидом с содержанием 0,6—0,9%  $\text{Cr}_2\text{O}_3$  (обр. 338) и железистостью 8—10%. В отличие от свежих пород (обр. 325) диопсид в сильно измененных лерцолитах и верлитах, как правило, содержит много  $\text{Ca}$ , т. е. является метаморфизованным (низкотемпературным).

## ПРОЦЕССЫ МЕТАМОРФИЗМА

Процессы метаморфизма в гипербазитах Борусского пояса проявлены сильнее, чем в гипербазитах Куртубибинского.

Амфиболизация. В лерцолитах (верлатах), особенно в приенисейской части массива, широко распространены своеобразные явления амфиболизации:

1. Развитие вышеупомянутых псевдоморфоз по пироксену, которые обычно представлены волокнистым агрегатом амфибола и серпентина с пылевидным магнетитом и реликтами моноклинного пироксена, в проходящем свете окрашенными в буроватый цвет хорошо выделяющимися в шлифе.

2. Кроме этих псевдоморфоз, по-видимому, в более измененных породах формируются буроватые микрозернистые (чаще волокнистые или игольчатые) агрегаты в виде «мутти» и ватовидных скоплений. Часто такое явление наблюдалось отчетливо не только по диопсиду, но и по оливину (вдоль трещин и по краям зерен). Этот процесс тесно переплетается с серпентинизацией оливина, так что нередко образуется «сетчатое» или «перистое» переплетение буроватых амфиболовых агрегатов, промежутки между которыми сложены серпентином. Взаимоотношения серпентина и амфиболового агрегата недостаточно ясны, во всяком случае фактов,

позволяющих категорически утверждать более раннее образование амфибола, не имеется.

3. Микрзернистые плохо диагностируемые агрегаты амфибола переходят в отчетливо кристаллические, образующие пятна и гнезда, которые сливаются в «полосы» и «лизы», состоящие из сплошного мозаичного агрегата изометричных зерен амфибола, вторичного оливина, насыщенных пылевидным магнетитом и с примесью антигорита. Реликтовые минералы и структуры первичных пород исчезают.

Амфибол по оптическим свойствам и химическому составу амфиболизированных лерцолитов сильно отличается от tremolита. Довольно слабый, но отчетливый буроватый оттенок, положительный угол оптических осей ( $2V = 82-88^\circ$ ) и большое двупреломление при  $N_g = 1,654-1,656$  позволяют диагностировать амфибол как магнезиальный куммингтонит с необычно большими углами погасания  $cNg$  ( $19-25^\circ$ ). Химические анализы амфиболовой породы (с примесью диопсида, серпентина и магнетитовой «пыли») показывают лишь небольшую примесь CaO (1-2%).

В приенисейской части пояса (см. рис. 42) намечается метаморфическая зональность. В центре ее обнажается полоса регенерированных перидотитов с округлыми зернами оливина, пронизанного магнетитом, примесью диопсида, куммингтонита, антигорита. Вокруг них развиты амфиболизированные перидотиты (нередко с карбонатом) и серпентиниты.

Генезис куммингтонита в перидотитах не вполне ясен. В целом описанные куммингтонит-антигоритовые ( $\pm$  диопсид и вторичный оливин, магнетит) породы сходны с аналогичными породами Полярного Урала, особенно массива Рай-Из, где они связываются с процессами регионального метаморфизма гипербазитов. Определенной корреляции указанной минерализации с гранитоидами не наблюдалось. В достоверных гардбургитах и дунитах амфибол отмечался лишь в единичных случаях. Однако возможно, что развитие его почти исключительно в верлитах (лерцолитах) объясняется пространственным совпадением приуроченности к верхней зоне массива.

Кроме куммингтонита, в одном шлифе, взятом на левобережье р. Енисей, встречен антофиллит. Антофиллитовый агрегат с примесью серпентина и талька образует полосчатые (светло-серые в изломе) образования в серпентинизированном дуните (светло-серые в изломе) в отличие от куммингтонита в верлите. Оптические свойства его:  $N_g = 1,659$ ;  $N_p = 1,640$ ;  $2V_{N_p} = 84-86^\circ$ ;  $cNg = 0-5^\circ$ .

Специфической формой метаморфизма и метасоматоза является образование тел жадеититов и альбититов в отличие от родингитов и нефритов в Куртубибинском поясе. Эти тела будут описаны ниже в связи с зонами меланжа.

**Серпентинизация и серпентиниты.** Описанный М. И. Юдиным (1959) контакт «дунитов» и серпентинитов примерно соответствует по положению и форме контакту гардбургитов и более серпентинизированных лерцолитов и к «серпентинитам», как таковым, отношения не имеет. Юго-западная и краевые части массива гипербазитов сложены преимущественно серпентинитами и сильно серпентинизированными перидотитами.

Общей особенностью серпентинитов Борусского пояса по сравнению с Куртубибинским является широкое развитие серпентинитов с магнетитом, что отражается в повышенной степени окисления всех пород.

Среди серпентинитов и прочих метаморфических пород, образовавшихся по гипербазитам Борусского массива, можно выделить:

1) вышеописанные куммингтонит-серпентиновые породы ( $\pm$  диопсид, вторичный оливин, магнетит);

2) «автометаморфические» лизардитовые и лизардит-антигоритовые (с баститом) серпентиниты с хорошо сохранившимися признаками первичных структур и реликтовыми минералами (апогардбургитовыми, апо-лерцолитовыми и др.);

3) аллометаморфические антигоритовые и хризотил-антигоритовые серпентиниты, сопровождающиеся зонами дробления и расслаивания с обильным магнетитом и многочисленными жилками магнетита, антигорита, асбеста, зональными магнетит-серпифитовыми жилками и др.;

4) крупночешуйчатые антигоритовые серпентиниты и хлорит-антигоритовые жилы, а также мелкочешуйчатые нефритоподобные серпентиниты, связанные с телами жадеитов и альбититов;

5) тальк-карбонатные, серпентин-тальковые и кварц-карбонатные породы, образовавшиеся при гидротермальной переработке гипербазитов вдоль разломов.

Устанавливается до 7-8 генераций серпентина: 1) петельчатые жилки лизардита по оливину, нередко ассоциирующиеся с тальком по бронзиту, 2) сплошные массы мелкочешуйчатого антигорита ( $\pm$  хризотил), 3) пластиники, перистые или параллельно-ориентированные агрегаты крупночешуйчатого антигорита. Среди них выделяются железистые антигориты (джекинскиты) зеленоватого (шлифе) цвета, повышенного преломления и двупреломления (до 0,015), 4) серпентин с магнетитом и карбонатом в виде тонких жилок и (или) пятен, 5-7) жилки антигорита с каемками магнетита, поперечно-волокнистого хризотил-асбеста с «волокнистым» магнетитом, изотропного или слабо двупреломляющего серпифита с магнетитом и др. По взаимному пересечению среди этих жилок устанавливается несколько генераций.

Более подробно описаны крупночешуйчатые антигоритовые серпентиниты и хлорит-антигоритовые жилы. Они развиты в районе кл. Каинкарак вблизи жадеитовых тел. Представляют зеленоватые «слюдоподобные» постепенно переходящие в «обычные» серпентиниты. Главные минералы их — антигорит, железистый антигорит (джекинскит), карбонаты, магнетит, хлорит. Джекинскит образует иногда не «слюдистый», а «зернистый» агрегат. Хлорит присутствует вблизи жадеитовых тел. Карбонат (магнезит или доломит) представляет неправильные пятна или жилки с магнетитом почти во всех образцах. Своеобразна порода, в которой он образует порфировидные зерна, выделяющиеся на темном фоне серпентинита. Этот карбонат близок к магнезит-брейнериту ( $NO = 1,720$ ).

Жилообразные тела хлорит-антигоритовых пород (см. ниже рис. 45) имеют северо-восточное простирание, согласное с рассланцовкой тел серпентинитов мощностью до 30 м и длиной до 200 м. Они характеризуются зональным строением:

1) в центре — светлый крупнопластинчатый антигорит, напоминающий мусковит, с отдельными зернами магнетита;

2) хлорит-серпентиновая зона с обильным магнетитом, спутанночешуйчатого строения, серпентин более железистый;

3) карбонато-хлоритовая зона «шестоватоподобного» сложения, выполненная клинохлором и подчиненным доломитом ( $NO = 1,680$ ), образующим также жилки;

4) мелкочешуйчатая зона, состоящая из более железистого хлорита, антигорита и карбоната. При выветривании превращается в золотисто-желтую оторочку гидрослюдь.

Мелкочешуйчатые однородные (нефритоподобные) серпентиниты, состоящие из одного антигорита с резорбированными зернами хромита, образуют каймы вокруг тел альбититов в осевой части хр. Борус.

Главные этапы метаморфизма гипербазитов Борусского массива:

1) пластические деформации и образование ориентированных структур и текстур, в определенных участках сегрегационных жил пироксенитов магматической или ранней постмагматической (высокотемпературной) стадии формирования интрузии;

2) автометаморфические постмагматические процессы (развитие талька по ромбическому пироксену, хризотила в краевых частях, меньше — в центральной части массива);

3) амфиболизация перidotитов, связанныя, возможно, с предыдущим этапом;

4) сплошная серпентинизация зон дробления с обильным выделением и частичным привносом магнетита (до 30%);

5) перекристаллизация с образованием крупночешуйчатого ориентированного агрегата антигорита и хлорит-антигоритовых жил (этапы 3—5 могли перекрывать друг друга во времени, возможно, они представляют разные стадии единого процесса регионального метаморфизма, с которым связаны также образование и диафторез жил альбититов и жадеититов; некоторые хлорит-антигоритовые породы, а также нефритоподобные серпентиниты ассоциируются с амфиболовыми оторочками);

6) образование сетки жил серпофита и хризотил-асбеста (последний установлен в осевой части хр. Борус вблизи ядра полосчатых гарцбургитов и вдали от участков карбонатизации, т. е. в ситуации, в которой осуществлялась аналогичная асbestовая минерализация Куртушибинского пояса; однако выявленные масштабы асбестоносности в Борусском поясе пока значительно скромнее);

7) образование лиственитоподобных пород вдоль зон дробления.

**Габброиды.** В метаморфических сланцах, сопоставляемых с породами акольской свиты Куртушибинского хребта, в нескольких местах встречены небольшие тела метаморфизованных габброидных пород, превращенных в габбро-амфиболиты и амфиболиты. Такие породы обнаруживаются как на юго-восточной, так и на северо-западной стороне пояса, а также на юго-западном выклинивании пояса в хр. Стан-Таскыл, где только в одном случае они соприкасаются с рассланцованными серпентинитами (см. рис. 41), а в остальных изолированы от гипербазитов, поэтому их положение в общем разрезе офиллитов неясно. По крайней мере, всегда эти породы образуют удлиненно-линиевидные тела, вытянутые по простиранию вмещающих метаморфических сланцев, но в некоторых местах обнаруживают секущие контакты. В целом интрузивные соотношения замаскированы в результате регионального метаморфизма. Наиболее крупное тело ( $5 \times 1,5$  км) обнаруживается на р. Кашутка (левобережье Енисея, см. рис. 42). В центре тела здесь сохраняются массивные слабополосчатые габбро-амфиболиты с реликтами моноклинико-цирконового меланжера на р. Кантегир и кл. Кашкара (см. ниже) встречаются также тектонические включения гранатовых амфиболитов (обр. 70М в табл. 30). Гранат-кальциевый альмандин интенсивно замещается хлоритом и стильномеланом и сохраняется только в реликтах. Остальные минералы (Рог, Аб, Эп, Хл, Мт) аналогичны таковым из безгранатовых амфиболитов.

Составы этих пород, приведенные в табл. 30, показывают, что борусские метагабброиды отличаются от куртушибинских повышенной железистостью, титанистостью и натровостью. К ним близки также кварцевые габбро Кантегирского массива (см. табл. 30), которые, в свою очередь, сходны со многими спллами и дайками чингинской свиты (см. ниже).

Кантегирский габбро-плагиогранитный массив вытянут по простиранию пояса от р. Енисей в левобережную часть р. Кантегир на расстояние 35 км. Он отчетливо прорывает гипербазиты, хотя большая часть контактов тектоническая. На р. Кантегир в контакте с гранитоидами описаны оливиновые и tremolit-оливиновые роговики, образующие kontaktовую зону мощностью около 100 м (Юдин, 1963). В гранитоидах вблизи контактов встречаются также ксенолиты амфиболовых пород, сложенные малозеленистой роговой обманкой. Породы массива представлены кварцодержащими габбро, диоритами и кварцевыми диоритами, биотит-рогово-

обманковыми гранодиоритами и плагиогранитами. По составу и степени метаморфизма они аналогичны породам майнского габбро-плагиогранитного комплекса в Северо-Саянском поясе, для которого устанавливается среднекембрийский возраст (галки гранитоидов встречаются в конгломератах арбатской свиты  $E_{2-3}$ ). Интенсивный метаморфизм кантегирских диоритов и гранитоидов выражается в интенсивной хлоритизации и эпидотизации, дроблении и катаклазе пород. Характерны эпидозиты, образующие мощные полосы и брекчиевидно-прожилковые зоны.

Кварцодержащие габбро, по данным В. Н. Гребенщикова, К. К. Кулакова и других исследователей, выделяются в юго-западной части массива. Взаимоотношения их с диоритами и гранитоидами точно не выяснены. Судя по аналогии их состава с составом метагаббро и наличию амфиболовых ксенолитов в гранодиоритах, это могут быть более ранние офиллитовые габбро, или ранняя фаза комплекса.

Преобладающие породы относятся к ряду диорит — плагиогранит. Вариации в них количественных соотношений главных минералов — андезина, кварца, микроклина (в гранодиоритах) и структурно-текстурные особенности позволяют выделить целую серию разновидностей (но на их детальной характеристике мы в данной работе не останавливаемся).

**Биотит** — густо-бурый по  $Ng$ , зеленовато-желтый по  $Np$ ;  $Ng$  от 1,641 до 1,652, что соответствует 46—56% железистого компонента по диаграмме В. С. Соболева (1950). Роговая обманка — зональная, более светлая в центре до светло-зелено-желтой (по  $Ng$ ) в краевой части. В амфиболе и биотите присутствуют крупные зерна титаномагнетита, сфена, призмы апатита. Для этих пород характерно то, что микроклин в ряде случаев отчетливо замещает плагиоклаз. Одновременно биотит тоже частично разъедает плагиоклаз и по степени идиоморфизма примерно равен микроклину. Иногда наблюдается более поздняя альбитизация. Каёмки альбита развиваются не только по плагиоклазу, но и по микроклину с образованием мирамелитов (и тогда даже, когда кислый плагиоклаз содержит примесь аортитового компонента, т. е.  $Ab_{5-10}$ ). Эти замещения характеризуют, возможно, раннюю постмагматическую стадию.

Более поздние метаморфические (?) изменения начинаются с образования ярко-зеленого хлорита по биотиту, меньше по роговой обманке, кристаллического эпидота по роговой обманке. Последняя нередко обрастает каёмками и отдельными зернами полуцелочного голубовато-зеленого амфиболя с заметной дисперсией оптических осей. Андезин деаортитизируется и замещается серпикитом и сассюритом, особенно вдоль зон дробления. Возникают также жилы кристаллического эпидота, альбита, кварца (иногда с пренитом).

### ЗОНЫ МЕЛАНКА И ТЕЛА ЖАДЕИТОВЫХ ПОРОД

Полосы серпентинитовых сланцев с обломками вмещающих и «чужих» пород были выделены одним из авторов еще в 1961—1963 гг., хотя тогда они не были названы меланаком (Добрецов, 1963). В одной из таких полос на правобережье р. Кашутка среди серпентинитовых сланцев были обнаружены «плавающие» глыбы хромита и метагаббро, на основании чего даже проводились поиски хромитовых руд. Позже такие очень протяженные и нередко изогнутые полосы серпентинитов с обломками были прослежены при геологической съемке масштаба 1 : 50 000 (В. Н. Гребенщикова, К. К. Кулаков и др.) и схематически показаны на рис. 41.

Одна из таких зон с телами жадеититов, альбититов, гранатовых амфиболитов, амфиболитов и амфиболовых сланцев, кварцитов, слюдистых и кварцевых пород прослеживается вдоль юго-восточного края гипербазитового массива по обоим берегам р. Кантегир (см. рис. 42). Часть этой зоны с телами жадеититов была закартирована нами (Добре-

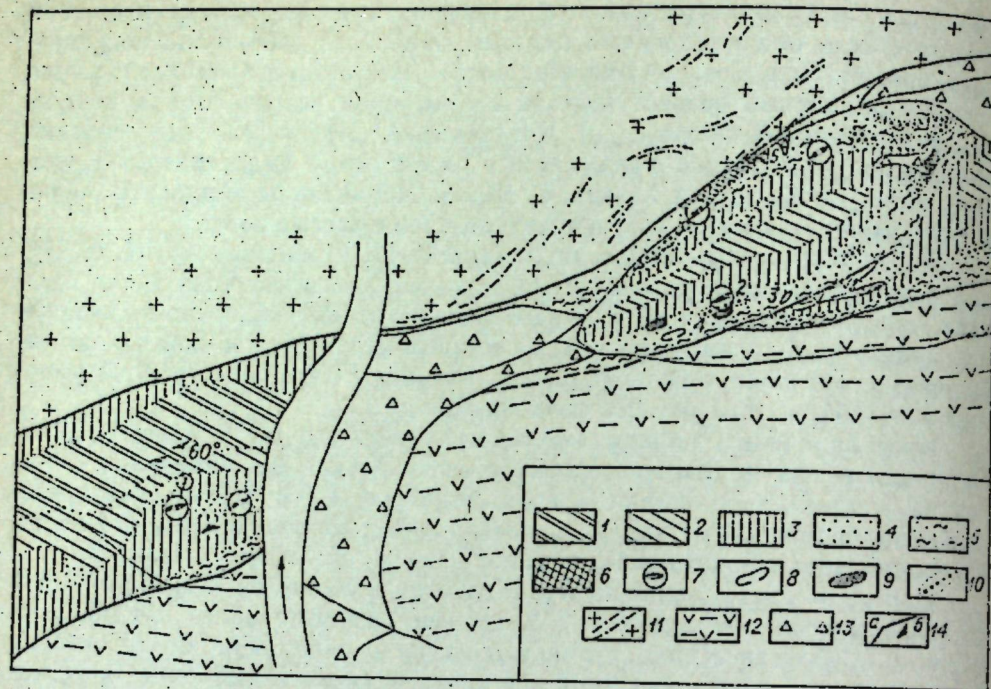


Рис. 43. Строение меланжа (участка с жадеитовыми телами) на р. Кантегир.  
1 — гарнбюргиты; 2 — массивные серпентиниты; 3 — сланцеватые серпентиниты с хлоритом; 4 — то же, с карбонатом; 5 — перстевые серпентиновые сланцы; 6 — листвениты, тела: 7 — альбититы, жадеититы, 8 — кремнистых пород, 9 — гранатовых амфиболитов; 10 — линзы хлорит-антогоритовых пород; 11 — гранитоиды; 12 — метаэфузивы; 13 — аллювий и делювий; 14 — тектонические контакты (a) и элементы сланцеватости (b) в гипербазитах.

цов, 1963) в 1960—1961 гг. и изображена на рис. 43. Все вышеупомянутые породы отсутствуют во вмещающих породах зоны, они слагают округлые тела и блоки-ксенолиты в серпентинитах и серпентиновых сланцах неоднородного полосчатого строения. После ревизии этой зоны в 1973 г. мы пришли к выводу, что она представляет меланж, как и большая часть других «полос» серпентинитовых сланцев. Зона меланжа на кл. Кашкарак подстилает главное тело гипербазитов и падает на северо-запад под углами 40—50° (см. разрез на рис. 44).

Наибольший интерес в этом меланже представляют самые глубинные породы — жадеиты и гранатовые амфиболиты. Жадеиты, в отличие от полярноуральских, представляют крупнозернистую породу, в которой зональный жадеит (обр. 36 и 74, в табл. 31) обрастает диопсид-жадеитом (обр. 76 и 43) и замещается в разной мере альбитом, канкрипитом, слюдой, аномальным анальцимом (Добрецов, 1962, 1963). Самое крупное тело (100×50 м) имеет округлую форму, в северо-восточной части сложено голубоватым диопсид-жадеитом, но четких первичных оторочек в нем нет. Другие тела жадеититов, особенно на левобережье р. Кантегир, интенсивно альбитизированы, местами содержат амфиболовую оторочку. Присутствуют также тела мелкозернистых альбититов, в центре кварцодержащих, с натровым амфиболом типа магнезиорибекита или кроссита. Актинолитовые и хлоритовые оторочки сохраняются в них только в углублениях внешнего окружного контура тела. Слюдиты и слюдянные оторочки (обр. 112з в табл. 31) представлены фенитом. Многие тела имеют зеркала скольжения, иногда отполированы до блеска. Во всех таких случаях можно думать, что они были тектонически «обкатаны», «обтерты» в меланже и первичные их оторочки в основном сорваны. Но, судя по реликтым, это были диопсид-жадеитовые и роговообманковые оторочки, замещенные актинолитом и хлоритом, аналогично полярноуральским жадеитам.

там. Гранатовые амфиболиты обнаружены в капах; они образуют округлые тела размерами в поперечнике 5—20 м.

Другая зона с телами жадеититов и альбититов располагается в водораздельной части хр. Борус на его юго-восточном склоне. Вмещающие породы — нефритоподобные серпентиниты — и здесь в большинстве случаев сильно перемяты, реже плотные (обр. 109 в табл. 31). Однако меланжевое происхождение этой зоны внутри гипербазитов проблематично. Здесь присутствуют удлиненные тела (дайки?) альбитизированных гранитоидов, за счет которых, как мы считали (Добрецов, 1963), и образовались жадеититы. Но непосредственные переходы сейчас не сохранились. Жадеитты еще больше альбитизированы, жадеит сохранился в виде реликтов только в центральной части тел. Возникающие альбитовые диафториты имеют четкую метасоматическую зональность и амфиболовую оторочку, представленную Na-актинолитом или риختеритом (обр. 343-2 в табл. 31). При диафторезе жадеититов возникают также ассоциации высоких давлений — альбититы, содержащие не только Na-амфибол, как на кл. Кашкарак, но также ассоциацию жадеитовый пироксен + кварц. В табл. 31 приведены минералы из образца 245В, в котором присутствуют альбит, кварц, зональный жадеитовый пироксен (в центре — эгириновый хлормеланит 2 и 2а, на краях — чистый жадеит 1 и 1а с вростками кварца), гроссуляр-андрадитовый гранат, Na-амфибол, анальцим и патролит. Эта ассоциация образовалась явно в несколько стадий, но если даже предположить равновесие жадеита с кварцем и цеолитами и принять температуру порядка 200°C, то и тогда давление составляет не менее 10 кбар. Альбит-жадеитовые породы и слюдиты на кл. Кашкарак могли соответствовать температуре 400—500°C и давлению 8—10 кбар, первичные крупнозернистые жадеиты — еще более высокой температуре, не менее 600°C, и давлению 10—11 кбар.

Таким образом, в Борусском пояссе ассоциации минералов высоких давлений (того же порядка, что и в Куртушибинском, — около 10 кбар присутствуют в меланже в подошве главного олиолитового тела или внутри него. В остальных зонах меланжа (серпентинитовых сланцев), т. е. к югу и юго-востоку от главного тела (см. рис. 41 и 42), такие ассоциации не обнаружены, отмечались только местные породы — углисто-кремнистые, кварциты и метабазальты чингинской свиты. Сами эти зоны разделяют отдельные пластины чингинской свиты и (или) акольской и передко смешаны вместе с ними в складки, как показано на разрезе рис. 44. В ядрах этих складок образуются расширения зон серпентинитовых сланцев с отходящими от них «апофизами» — пластинами меланжа в ядрах более мелких антиклинальных складок (см. рис. 42 и 44). Подобная интерпретация требует еще уточнений, но вместе с

Рис. 44. Разрез через Борусский олиолито-кремнистый пояс. Усл. обозн. и положение линии АБ см. на рис. 42.

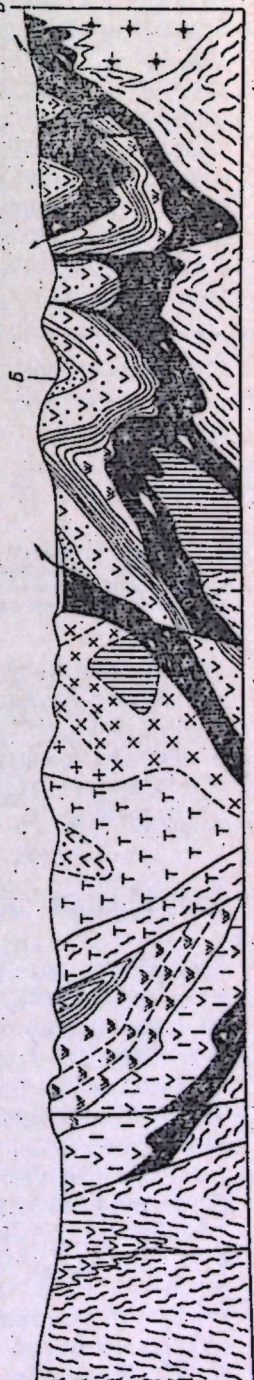


Таблица 32

## Химические анализы метаморфических сланцев и метабазитов

Оксид	Метабазиты						Карбонатные и метаграувики				
	1		2		3		4		5		
	$\bar{x}$	S	$\bar{x}$	S	$\bar{x}$	S	$\bar{x}$	S	$\bar{x}$	S	
$\text{SiO}_2$	47,91	4,33	46,90	3,49	47,95	5,69	42,84	7,66	53,39	4,66	
$\text{TiO}_2$	2,86	0,95	2,46	0,45	2,23	0,83	1,38	0,67	0,98	0,43	
$\text{Al}_2\text{O}_3$	14,34	1,50	15,74	1,89	14,37	1,71	12,00	1,88	12,87	1,57	
$\text{Fe}_2\text{O}_3$	4,62	2,08	7,06	1,94	3,39	2,04	2,64	1,48	2,95	3,13	
$\text{FeO}$	8,44	2,22	6,70	1,31	6,66	2,93	4,29	2,59	6,15	3,81	
$\text{MnO}$	0,49	0,04	0,22	0,07	0,22	0,06	0,18	0,03	0,19	0,06	
$\text{MgO}$	5,25	2,39	5,11	1,35	5,50	1,81	2,94	1,45	4,83	2,22	
$\text{CaO}$	8,50	4,43	9,35	3,06	10,15	4,33	17,04	5,77	7,70	3,31	
$\text{Na}_2\text{O}$	3,16	1,63	2,73	1,02	3,01	0,98	3,43	0,70	2,19	1,09	
$\text{K}_2\text{O}$	0,55	0,45	0,23	0,16	0,61	0,44	0,51	0,40	1,34	0,75	
$\text{P}_2\text{O}_5$	0,32	0,39	0,11	0,16	0,19	0,20	0,27	0,36	0,15	0,12	
П. п. п.	3,87	1,63	3,56	1,04	5,84	3,41	13,00	2,84	7,27	2,07	
Сумма	100,01	—	100,17	—	100,12	—	100,52	—	100,01	—	
Число анализов	10	5	12	6	6	6					

Причина 1 — метабазиты акольской (стантаскыльской) толщи приенисейской части свиты Куртушибинского хребта; 4 — хлорит-карбонатные породы; 5 — карбонатно-хлоритовые; метаграувики чингинской свиты по Усинскому тракту; чингинская свита: 10 — графитистый филлит; флюизы Северо-Саянского пояса, I тип; 15 — то же, II тип.

остальными фактами (глубинные высокобарические ксенолиты в мелапаже в подошве главного тела и др.) она предполагает иной механизм падения, чем в Куртушибинском поясе. Основной надвиг, вероятно, произошел в подошве главного гипербазитового тела, а перед его фронтом образовались вторичные «складчатые» надвиги и пластины чингинской и акольской свит.

## ЧИНГИНСКАЯ И НИЖНЕМОНОКСКАЯ СВИТЫ

Обе свиты, как и в Куртушибинском поясе, сложены преимущественно метабазальтами, метатуфами, переслаивающимися с кремнистыми породами, графитисто-кремнистыми и туфогенными сланцами. Можно предполагать, что и в Борусском поясе чингинская свита соответствует верхней части разреза офиолитов, однако здесь, как мы отмечали, псевдостратиграфические соотношения гипербазитов, габбро и чингинской свиты не реконструируются, так как пояс сильно тектонически переработан.

В составе чингинской свиты Борусского пояса выделяется несколько пачек или подсвит. В. П. Коробейников (1971) и В. М. Исаков (1974; Исаков, Коробейников, 1969, 1970) выделяют 3 подсвиты и верхнемонокскую свиту; В. Н. Гребенщикова и К. К. Кулакова, проводившие съемку масштаба 1 : 50 000 юго-западной части пояса, расчленяют 4 подсвиты. На более детальной карте приенисейской части (см. рис. 42) показаны пачки, примерно соответствующие 4 подсвитам В. Н. Гребенщикова и К. К. Кулакова. Две нижние обнажаются преимущественно вблизи от гипербазитов в хр. Стан-Таскыл и верховых р. Голубая. Они близки

## Чингинской свиты Борусского и Северо-Саянского поясов

ковые сланцы	Кварциты		Метапесчаники	Чингинская свита								
	6	7		10	11	12	13	14	15			
	$\bar{x}$	S		$\bar{x}$	S	( $\bar{x}$ )	$\bar{x}$	S	( $\bar{x}$ )	( $\bar{x}$ )	( $\bar{x}$ )	
55,23	4,48	63,0	94,02	63,25	3,65	51,00	50,10	2,42	48,02	52,06	46,10	47,6
1,79	1,31	0,48	0,21	0,60	0,27	2,86	1,87	0,76	2,73	1,27	2,86	1,07
14,94	1,96	11,23	0,71	14,43	1,98	14,30	14,71	1,01	14,72	14,70	14,30	13,40
3,37	2,55	3,31	—	1,17	1,04	5,80	3,56	2,51	5,06	2,37	2,83	2,07
5,61	1,16	2,28	1,44	4,92	1,44	5,73	6,99	1,20	7,73	6,40	9,63	8,57
0,15	0,07	0,08	0,14	0,13	0,04	0,28	0,22	0,06	0,23	0,22	0,21	0,20
3,81	1,26	3,28	—	3,60	0,99	3,70	5,63	1,84	5,23	6,13	6,09	9,84
6,83	2,90	5,27	1,87	3,12	2,81	9,65	9,59	2,09	8,56	9,71	7,51	9,56
3,52	1,36	1,73	0,10	2,61	0,60	4,50	3,52	0,62	3,53	3,51	3,76	2,86
1,17	0,59	1,86	0,18	1,50	0,49	0,75	0,75	0,50	0,36	0,90	0,82	0,85
0,27	0,37	0,11	0,32	0,05	0,07	—	0,18	0,18	0,18	0,09	0,31	0,15
3,32	1,86	6,83	0,64	4,61	2,12	1,05	3,51	1,45	4,23	3,01	5,42	3,77
100,01	—	99,46	99,82	100,08	—	99,62	100,63	—	100,48	100,37	99,84	99,94
6	2	1	8	2	10	4	6	11	6			

Борусского пояса; 2 — то же, по Усинскому тракту; 3 — зеленосланцевые метабазиты акольской свиты Куртушибинского хребта; 4 — хлорит-альбитовые (метаграувиановые) сланцы; 7 — кварцито-сланцы; 8 — кварциты; 9 — метапесчаники; 10 — хлорит-альбитовые (метаграувиановые) сланцы; 11 — метаэффузивы Борусского пояса в целом; 12 — то же, I тип; 13 — то же, II тип; 14 — метаэффузивы Северо-Саянского пояса, I тип; 15 — то же, II тип.

двум подсвитам Куртушибинского пояса. В нижней преобладают метаморфизованные, местами рассланцованные метабазальты и их туфы серо-зеленого и серого цвета, содержащие зеленосланцевые ассоциации: Акт + Аб + Эп + Хл + Сф ± Пум; Аб + Хл + соссюрит + Ми(рел.) + Сф + карбонат; Эп + Пум + Хл + Аб ± Сл. Вторая подсвита сложена графитисто-кремнистыми, кремнистыми, кварцитовидными породами (силицитами) и графитистыми филлитами с прослойями метабазитов.

Третья подсвита, вновь вулканогенная, представлена слабо метаморфизованными порфириитами (часто с разложенными фенокристаллами пластиоклаза) и их туфами, с прослойями зеленых яшм. Возможно, к этой же подсвите относятся зеленые кремнистые сланцы и силицилиты, выделяемые в качестве третьей подсвиты В. П. Коробейниковым и В. М. Исаковым в хр. Стан-Таскыл. Четвертая подсвита сложена чередующимися слабо метаморфизованными разногалечными конгломератами, туфопесчаниками и туфоалевролитами с прослойями порфириотов \* и условно сопоставляется В. М. Исаковым и В. П. Коробейниковым с верхнемонокской свитой Северо-Саянского пояса. В таком случае очень вероятно, что третья пачка соотносится с нижнемонокской свитой. Она заметно отличается по составу и степени метаморфизма (хорошо сохраняются первичные структуры, первичные пироксены и иногда реликты пластиоклаза, характерны жилки пумпеллиты и стильтиномеланы). По составу они менее железистые и типистичные, чем в нижней подсвите.

\* В бассейне р. Кантегир четвертая пачка на геологической карте В. Н. Гребенщикова, К. К. Кулакова описочно объединена с второй подсвите.

Подобная неоднородность — разделение на два типа базальтов — прослеживается и в других разрезах Борусского и Северо-Саянского поясов. Средние составы этих двух типов базальтов приведены в табл. 32. Однаковые содержания  $Al_2O_3$  и щелочей в базальтах показывают, что последние не могут быть дифференциатами одной серии. Первый тип (железистый и титанистый) совершенно аналогичен метабазальтам чингинской свиты Куртушибинского пояса, второй, менее железистый, титанистый (и более кальциевый), уклоняется в сторону нижнемонокских андезит-базальтов в Борусском поясе и океанических плагиобазальтов в Северо-Саянском поясе. Пока неясно, представляет ли эта неоднородность результат смешения чингинской и нижнемонокской свит \* или же базальты и яшмы, сходные с нижнемонокскими, появляются уже в разрезе чингинской свиты. В верхах разреза чингинской свиты в Борусской и Северо-Саянской зонах, по В. М. Исакову, присутствует фауна пизов кембрия, отмеченная еще А. Г. Сивовым на кл. Малый Кацкарет. Не исключено, как отмечает и В. М. Исаков, что эти горизонты относятся уже к нижнемонокской свите. Недаром чингинская свита в Северо-Саянском и Борусском поясах многими авторами объединялась с нижнемонокской или они считались эквивалентами (Зоненшайи, 1963; Велинский, 1968).

В любом случае в Борусском и Северо-Саянском поясах чингинская и нижнемонокская свиты связаны очень тесно, в Куртушибинском же поясе аналоги нижнемонокской свиты отсутствуют и терешкинская (акдургурская) свита (аналог верхнемонокской) залегает с размывом и, вероятно, со скрытым несогласием на чингинскую свиту и офиолиты (Зайков, Зайкова, 1969). В то же время базальты терешкинской свиты в Куртушибинском поясе, как было отмечено выше (см. табл. 25), сохраняют преемственность с базальтами чингинской свиты, а в Борусском, и особенно в Северо-Саянском поясах состав вулканитов в нижнемонокской (частично внутри чингинской свиты?) резко меняется в сторону типичных островодужных эффузивов (малотитанистых базальтов, андезит-базальтов, андезитов и кислых эффузивов). В результате зеленокаменного метаморфизма они обогащены патрием и обеднены кальцием. В соответствии с этим их называют «спилитами, кератоспилитами и кератофарами» (Велинский, 1968), хотя по остальным признакам они не отличаются от островодужных ассоциаций.

Особое положение занимают метадиабазы и метатуфы Северо-Саянского пояса, обнажающиеся по Усинскому тракту севернее рч. Собачьей. Они относились разными авторами к чингинской, нижнемонокской и коктапской толщам. По ассоциациям, в частности по наличию синезеленого амфибала типа винчита, они сходны с породами акольской свиты; по массивному облику пород и ассоциации с филлитами ближе к чингинской свите, по составу соответствуют и тем и другим (см. табл. 32). Учитывая также близость метабазитов (и части метаграувакки) акольской свиты метаэффузивам чингинской и повышенную долю метабазитов в разрезах джебашской серии, примыкающих к офиолитам (Коробейников, 1971), можно предположить, что даже акольская и чингинская свиты в Борусском и Северо-Саянском поясах связаны достаточно тесно.

В Борусском поясе (в хр. Стан-Таскыл, на р. Малый Кацкарет, в верховых р. Сизая) присутствуют отложения арбатской свиты верхнего кембрия, представленные, как и в Северо-Саянском поясе, преимущественно конгломератами, песчаниками и алевролитами. Таким образом, весь разрез кембрия в Борусском поясе сходен с Северо-Саянским и заметно отличается от Куртушибинского.

\* Выборка анализов метабазальтов чингинской свиты в табл. 32 взята из диссертации М. В. Исакова. Из нее отброшены туфогенные и сомнительные анализы, остальные разделены на две группы. В первой преобладают анализы с р. Сизая и левобережья Енисея, во второй — с р. Малая Шуль.

## МЕТАМОРФИЧЕСКИЕ СЛАНЦЫ

Как и в Куртушибинском поясе, метаморфические сланцы относятся к докембрийской джебашской серии, но обнаруживаются по обе стороны от офиолитового пояса. Часть из них, примыкающая к офиолитам и представленная преимущественно метабазитовыми сланцами, объединялась с чингинской свитой, или относилась к сютхольской свите кембрия. Впервые эти сланцы выделены в самостоятельную толщу и сопоставлены с акольской свитой джебашской серии Н. Л. Добрецовым (1963), позже под названием стантаскийская толща — В. М. Исаковым и В. П. Коробейниковым (1969). Стантаскийская толща считается верхней частью джебашской серии, т. е. тоже примерным эквивалентом акольской свиты. В остальной части джебашской серии (уртенская свита, по В. П. Коробейникову) преобладают хлорит-карбонатные и карбонат-альбит-хлоритовые сланцы. Такие же породы встречаются и в акольской (стантаскийской) свите; в уртенской отмечается метабазиты. В обеих свитах присутствуют однаковые зеленоватые и белые полосчатые кварциты, слюдистые кварцито-сланцы, прослои мраморов. Другими словами, свиты отличаются только по преобладанию метабазитов или карбонатсодержащих парагенетических и граница между ними весьма условна. В то же время, как отмечает В. П. Коробейников (1971), отложения чингинской свиты структурно тесно связаны с метаморфическими сланцами джебашской серии.

Составы главных разновидностей метаморфических сланцев в обрамлении Борусского пояса приведены в табл. 32. Из сравнения с табл. 26 хорошо видно, что аналогичные сланцы в Куртушибинском и Борусском поясах практически идентичны.

Метабазиты, судя по хорошей полосчатости и большим колебаниям состава (что отражается в высоких дисперсиях, особенно  $SiO_2$  и  $CaO$ , см. табл. 32), представляют преимущественно метаморфизованные туфогенные породы. Интересно отметить, что их средние составы близки таковым метабазальтам чингинской свиты (I типу в Борусском поясе, см. колонки 1, 3 и 12 в табл. 32 и 1, 3 и 4 в табл. 26). Значимые отличия обнаруживаются только по дисперсии  $SiO_2$ ,  $CaO$  и  $Na_2O$ . В зеленосланцевых метабазитах джебашской серии Куртушибинского хребта (колонка 3 в табл. 32) намечается также меньшая железистость.

Карбонатные, метаграувакковые сланцы и кварцито-сланцы, как и в Куртушибинском хребте, отличаются только количественными соотношениями альбита (олигоклаза), хлорита, эпидота, кальцита и кварца. Как видно из сравнения средних содержаний  $SiO_2$ ,  $CaO$  и п. п. п. ( $CO_2$ ), они образуют непрерывный ряд от карбонатных сланцев через карбонато-хлоритовые и метаграувакковые карбонато-хлорит-альбитовые сланцы к карбонатсодержащим кварцито-сланцам и далее к кварцитам. Большая часть сланцев (колонки 4—6 в табл. 32) носит отчетливый базальтоидный характер (их усредненные составы опять же близки таковым метабазальтам с добавлением ~ 10% кальцита и кварца). Граувакковые метапесчаники ишикинской свиты (колонка 9 в табл. 32) соответствуют андезитам, кварцито-сланцам джебашской серии (см. также табл. 26), отличаются только большим содержанием  $CaO$ , меньшим  $Na_2O$  и  $Al_2O_3$ ; если из содержаний (колонка 7) вычесть около 30% кремнистого вещества, получается состав, близкий базальтовому.

Таким образом, породы джебашской серии в целом представляют продукты разрушения и частичной дифференциации базальтоидов, близких к акольским или чингинским, в условиях сильной карбонатизации кальциевых силикатов. Постоянная повышенная карбонатность сланцев джебашской серии — одно из существенных отличий от чингинской свиты. Другое важное отличие — повышенная степень метаморфизма. Породы джебашской серии регионально метаморфизованы; в них не сохраняются признаки первичных структур и реликты первичных минералов и ми-

ральные ассоциации не опускаются ниже среднетемпературной субфации зеленосланцевой фации, в частности, отсутствуют цумпеллит, стильномелан, преит, обычные в породах чингинской свиты и части олиолитов. В отличие от джебашской серии Куртушибинского пояса в Борусском поясе и Джебашском выступе отсутствуют (или очень редки) ассоциации повышенных давлений и характерны относительно высокотемпературные ассоциации (*T* выше фации зеленых сланцев). Сине-зеленый амфибол типа виличита отмечался нами только по Усинскому тракту (рч. Собачья) и низовья р. Кантегир; ранее А. Г. Сивов, по-видимому, ошибочно описывал отсюда глаукофан. Винцит или кроссит был отмечен Г. М. Владимирским также на юго-восточном склоне хр. Борус, в верховье р. Березовская Сосновка. Однако даже в этих ассоциациях *P* могло быть не выше 6–7 кбар, а в большинстве пород — и меньше (ориентировочно 4–5 кбар, судя по ставролиту и отсутствию ассоциации *Por + Kum* в высокотемпературных зонах). Высокобарические ассоциации отмечены только в тектонических включениях внутри гипербазитов.

Переход от зеленосланцевой зоны к более высокотемпературным фиксируется появлением очковых порфиробластических сланцев, в которых порфиробласти сложены олигоклазом, а актинолит сменяется зелено-актиолитовой роговой обманкой, далее обычной роговой обманкой; в части метаграуваковых сланцев появляется биотит, в кварцитах — гранат, в мраморах — треполит. Такие породы были закартированы нами в юго-восточной части пояса в приенисейской части (см. рис. 42), в верховых р. Абдыр и отмечены в северо-западной части пояса — в Джебашском хребте (Коробейников, 1971) и на правобережье Енисея нами. Порфиробласти олигоклаза содержат включения слюдистых и рудных минералов, образующих линии включений S-образной формы, что доказывает рост порфиробласт одновременно с деформациями и вращением зерен (*R*-тектониты).

С этими породами, относящимися к эпидот-амфиболовой фации, пространственно сопряжены вышеописанные явления метаморфизма в гипербазитах (амфиболизация и регенерация перидотитов). В то же время устанавливаются постметаморфические нарушения, поскольку границы эпидот-амфиболовой фации в гипербазитах не прослеживаются. В когдарском комплексе (см. ниже) высокотемпературные породы контактируют непосредственно с серпентинитами, хотя здесь же отмечены гардбургиты с пойкилобластами энстатита (по-видимому, регенерированные).

В Джебашском выступе вблизи северо-восточного и юго-западного окончаний Борусского пояса (см. рис. 41) наблюдается более высокотемпературная метаморфическая зональность. Подробнее она описана на северо-востоке в когдарском метаморфическом комплексе (Коробейников, 1970, 1971). Здесь выделяются зона I (биотитовая), II (альбит-альмандин-рогообманковая), III (олигоклаз-альмандин-рогообманковая), IV (безэпидотовая, с андезитом и сине-зеленой роговой обманкой.) В отличие от вышеописанных олигоклазовых порфиробластических сланцев олигоклаз в когдарской зональности появляется после альмандинца и бурозелено-рогообманки, что вместе с широким распространением альмандиновых амфиболовидов свидетельствует о повышенных давлениях (7–8 кбар?).

В осевой части зоны IV находится мигматит-плагиогранитный комплекс, в котором для амфибол-плагиоклазового гнейса известна цифра 671 млн. лет (K-Ag метод, по породе; Коробейников, 1971). В. П. Коробейников считает часть мигматитов догоипербазитовыми, часть — послегипербазитовыми. Однако доказательства первого варианта, по нашему мнению, неоднозначны. Более вероятно, что весь зональный метаморфизм постгипербазитовый, накладывался на гипербазиты с образованием амфиболизированных и регенерированных перидотитов. В таком случае, если учесть цифры 671 млн. лет, 557–583 млн. лет в тот факт, что фаунистиче-

ские остатки раннего венда присутствуют в верхней части чингинской свиты, можно заключить, что олиолиты, включая чингинскую свиту, в основном были сформированы в начале или в середине венда.

Начало их формирования можно в какой-то степени сопоставлять с наиболее древними цифрами в джебашской серии (1100–930 млн. лет), если допустить изохронность хотя бы части джебашской серии и олиолитов и то, что рубеж около 1100 млн. лет является очень существенным во всей Урало-Монгольской области (Добрецов, 1974а). В вендское время (670?, 580? млн. лет) сформировался зональный метаморфический комплекс, с которым была, вероятно, связана первая стадия воздымания джебашского выступа (или, скорее, валообразного поднятия, ось которого совпадала примерно с зональными метаморфическими комплексами). Дальнейшее его развитие привело к образованию в раннекембрийское время островной дуги, режим которой просуществовал весь кембрий и, возможно, нижний ордовик. Рост поднятия и первые надвиги вывели олиолиты всех поясов Западного Саяна на эрозионную поверхность уже в раннем кембрии (обломки олиолитов в конгломератах терешкинской, верхнемонокской (?) и арбатской свит). Не исключено, что Борусский и Северо-Саянский пояс представляют чешуй фундамента, которые сползли с центральной части растущего поднятия. Возможны и другие варианты; можно предположить, что борусские гипербазиты представляют пластину более древнего фундамента, подстилающего джебашские метаморфические сланцы.

В любом случае очевидно, что борусские олиолиты представляют тектонически сильно нарушенные «разрезы» по сравнению с куртушибинскими, надвигались в основном с север-северо-запада на юго-восток, судя по тому, что чешуи и зоны меланжа сформировались перед фронтом движения. При этом они могли перекрыть зону с глаукофановыми сланцами и жадеитовыми породами, обломки которых вытащены в зоны меланжа. Начиная с раннего кембрия, условия осадконакопления и вулканизма в Борусском и Северо-Саянском поясах существенно не отличались и соответствовали режиму островной дуги, в котором происходило внедрение гранитоидов майского комплекса.

По всем основным признакам Куртушибинский пояс отличался от Борусского. Возможно, он с самого начала представлял особое вулканическое поднятие типа срединно-океанического хребта (или центрального поднятия в крупном рифте типа Аденского), о чем свидетельствуют наличие дайкового комплекса (непрерывное расширение!), высокие температуры в гипербазитах и габбро (поднятие астеносферы) и другие признаки (см. гл. 7). Это поднятие развило в специфическую островную дугу типа выдвинутых (Изу-Бонинской и др.), так как в нем отсутствуют гранитоиды и слабо проявлен кислый вулканизм.

Конечно, в этих интерпретациях остается много дискуссионных моментов. Одна из главных проблем, как мы отмечали, — это возраст и происхождение джебашской серии и зон глаукофановых сланцев. Джебашская серия сходна по составу и особенностям метаморфизма с «блестящими сланцами» Пепинской зоны Альп и многих других олиолитовых поясов (многие положения в этом отношении общие). В связи с интересующей нас проблемой в Западном Саяне возможно несколько вариантов.

Наиболее вероятно, что джебашская серия хотя бы частично одновозрастная с олиолитами и чингинской свитой; последняя начала формироваться на гребне глубоководного вулканического хребта позже нижней части джебашской серии (захолающейся в удалении от хребта) и примерно одновременно с акольской свитой, которая образовалась на месте желоба у основания растущего поднятия и превратилась в глаукофан-сланцевый пояс; при последующем надвигании этот пояс был частично перекрыт «осевыми» олиолитами. Сходная картина намечается и для Борусского и Северо-Саянского поясов, с тем только отличием, как нам представляется, что это были внешние поднятия у края древнего континента.

## Глава 7

### ОБЩИЕ ОСОБЕННОСТИ ОФИОЛИТОВ ПОЛЯРНОГО УРАЛА И ЗАПАДНОГО САЙНА И УСЛОВИЯ ИХ ФОРМИРОВАНИЯ

Эта глава написана Н. Л. Добрецовым и отражает в основном его точку зрения. Другие авторы согласны с частью общих принципиальных моментов о субслоистом строении офиолитов, о необходимости их типизации, аналогиях с океанической корой и т. д. Но, конечно, многие вопросы остались дискуссионными. Главные из них оговорены в тексте или в примечаниях.

#### СУБСЛОИСТОЕ СТРОЕНИЕ

При новой интерпретации офиолитов как вероятного разреза фундамента эвгеосинклинальных зон и как аналога коры океанического типа важное значение приобретает субслоистое строение (псевдостратификация) типичных офиолитов в относительно ненарушенном залегании. До недавнего времени все габбро-гипербазитовые ассоциации складчатых областей, в том числе на Полярном Урале и в Западном Саяне, трактовались как субвертикальные, последовательно сформированные тела в зонах глубинных разломов. Предполагается, что первоначально образовались интрузии (или протрузии) гипербазитов, затем интрузии габброидов с широким метасоматическим ореолом (или полностью метасоматической «габбронизацией»). Такая точка зрения имеет активных сторонников и в настоящее время (Велинский, 1976; Пинус, 1974; Леснов, 1972; Suzuki, 1967, 1972; Misar, 1974; и др.).

Однако результаты детального изучения в 1968—1971 гг. строения многих — притом крупнейших — офиолитовых (габбро-гипербазитовых) комплексов в Омане (Reinhardt, 1969; Reinhardt e. a., 1974), в Калифорнии (Beiley e. a., 1970), в Новой Гвинее (Davies, 1971), на Кипре (Moores, Vine, 1971; Lappierre, Rossi, 1967) и в других местах (см. обзоры: Thayer, 1969; Coleman, 1971) привели исследователей к единодушному мнению о субслоистом, или псевдостратифицированном, строении этих комплексов. Внизу повсеместно залегают гипербазиты, в средней части — габброиды (отделяясь от гипербазитов «переходной», преимущественно пироксенитовой, зоной), вверху — базальтоидные вулканиты и глубоководные (как правило) осадки. Эти разрезы хорошо сопоставлялись с гипотетическим разрезом океанической коры, полученным задолго до нас (см., например: Hess, 1964) на основании геофизических материалов и драгирования срединно-океанических хребтов. Один из первых обзоров этой проблемы Тейер (Thayer, 1969) так и назвал: «перидотит-габброидные комплексы как ключ к петрологии срединно-океанических хребтов».

В результате на Пенроузской конференции по офиолитам (Penrose conference..., 1972) и на Международном симпозиуме по офиолитам в Москве в 1973 г. наметилась тенденция использовать термин «офиолиты» к массам, показывающим отчетливую стратификацию. «Упрощенная модель страти-

графии офиолитовой ассоциации, широко принятая в геологических кругах, сводится к следующему: в основании залегают интенсивно деформированные ультрабазиты, сменяющиеся слоистыми габбро, трондемитами, дайками диабазов, а в верхней части разреза — подушечными лавами. Разрез перекрывается типичными пелагическими осадками, преимущественно радиоляритами» («Научная программа...», 1974, с. 1). На Пенроузской конференции предлагалось даже наличие комплекса параллельных даек включить в определение офиолитов.

Однако многие авторы показали существенные отклонения от этой схемы как в океанических хребтах (Hekinian, 1974; и др.), так и в офиолитах складчатых областей (Miyashiro, 1973, 1975a, б; Добрецов, 1974б; Rossi e. a., 1975). Многие авторы, учитывая сложную тектоническую позицию офиолитовых комплексов, возражали против такого суждения термина офиолитов, и фактически остается в силе традиционное представление об офиолитах как о пространственной тесной ассоциации гипербазитов, габбро и кремнисто-базальтоидных толщ.

В программе Международного проекта «Офиолиты континентов» («Научная программа...», 1974) и в работах многих исследователей (Пейве, 1969; Пейве и др., 1972, 1973; и др.) подчеркивается проблема вторичного залегания офиолитов, их тектонического перемещения и последующей переработки передко с полным нарушением первичных соотношений. Особенно характерно это для мелких тел, а также областей, испытавших неоднократную тектоническую переработку, внедрение гранитоидов и блоковую тектонику. Тем не менее, во многих относительно ненарушенных и — что важно еще раз подчеркнуть — крупнейших массах субслоистое строение офиолитов не вызывает сомнения ни у одного исследователя. Особенно отчетлива стратификация (а также плашпараллельные структуры гипербазитов и габбро) в типе офиолитов, который выделен ниже как тип I. Ненарушенные разрезы, естественно, лучше всего сохраняются в молодых складчатых областях.

При специальном изучении относительно ненарушенные разрезы можно найти и в древних областях, в частности, в докембрийских структурах Лабрадорского трога (Dimroth, 1971, 1972) и, как показано в нашей книге, в рифейско-нижнепалеозойских структурах Алтае-Саянской и Уральской областей.

Субслоистое строение (стратификация) офиолитов отчетливо видно в офиолитах Полярного Урала и Куртушибинского пояса Западного Саяна. Оно устанавливается на основании детального картирования, изучения структур, контактов и сопоставления их с геофизическими материалами. На представленных картах (см. рис. 2, 9, 19, 20, 33—35) достаточно детально (на основе съемок масштаба 1 : 50 000 и крупнее) закартированы узкие параллельные полосы гипербазитов, пироксенитов «переходного слоя», габброидов, дайкового комплекса, протягивающиеся на большие расстояния подобно свитам осадочных пород; они смыты передко в складки вместе с вышележащими вулканитами. Так, в восточной части Войкаро-Сыньинского массива (см. рис. 19) и в Куртушибинском поясе (см. рис. 33 и 34) узкие (до 1—2 км шириной) полосы названных комплексов прослеживаются непрерывно на расстояние 200—250 км. На всем этом протяжении наблюдаются выдержаный характер, устойчивая повторяемость разреза, хотя и осложненная местами тектоническими разрывами и складками. Падение контактов передко пологое, но в среднем около 40—50°, что хорошо коррелируется и с геофизическими материалами (Молдаванцев, Берлянд, Казак, 1976; Савельев, 1974; и др.) элементы внутренней структуры (слоистость и др.) габброидного и «переходного» комплексов в целом располагаются параллельно контактам.

Благодаря разрывам и дополнительным складкам, картируемым и внутри слоистых комплексов гипербазитов и габброидов, падение контактов очень часто крутое, но это не должно вводить в заблуждение. Гонконтактов

раздо важнее вышеназванные параллельность узких протяженных полос, устойчивость разреза, общее падение пластин по геофизическим данным, отдельные пологие или субгоризонтальные контакты.

## ПОРОДНЫЕ АССОЦИАЦИИ, СТРУКТУРНЫЕ ЕДИНИЦЫ И ВЗАИМООТНОШЕНИЯ МЕЖДУ НИМИ

В изученных разрезах офиолитов Полярного Урала и Западного Саяна, как и в ненарушенных разрезах всего Мира, отчетливо выделяются одни и те же породные ассоциации (комплексы), составляющие «триединую» последовательность офиолитов:

I. Гипербазиты (чаще всего деформированные гарцбургиты и серпентиниты);

II. Габброиды (пироксенит-габброидный комплекс):

а. Дунит-пироксенитовая или пироксенитовая «переходная» зона,  
б. Габброиды (часто слоистые),

в. «Верхние» лейкократовые габбро, диориты;

III. Гипабиссальные породы и вулканиты:

а. Дайковый комплекс,

б. Вулканиты (чаще всего пиллоу-лавы) и осадочные породы.

Нередко эти комплексы метаморфизованы; группы пород IIa и IIIa присутствуют не во всех разрезах. Кроме того, некоторые разрезы дополняются комплексом тоналит-плагиогранитов, который может занимать место между ассоциациями II и III или внутри ассоциации III. Как будет показано ниже, составы пород внутри ассоциации также варьируют в разных типах офиолитов. Таким образом, общим и наиболее устойчивым признаком всех офиолитов является тесная пространственная и генетическая взаимосвязанность (часто в едином разрезе) ассоциаций I, II и III, тогда как группировка и составы пород внутри этих ассоциаций, а также характер и степень метаморфизма могут заметно варьировать.

В то же время часто устанавливаются дискордантность и перерыв между временем образования комплексов I, II и III, т.е. они выступают и как самостоятельные структурные единицы или формации (см. гл. 4—6). Так, в массивах Рай-Из и Войкаро-Сынгинском внутренние структуры гипербазитов (мульдо- и валообразные складки и др.) срезаются границами пироксенит-габброидных формаций. В Куртушибинском поясе намечается подобное же структурное несогласие и устанавливаются многочисленные угловатые блоки-ксенолиты перidotитов и дунитов в переходном пироксенитовом слое. Доказательства перерыва и структурного несогласия между «комплексами» I и II имеются в десятках других массивов во многих складчатых областях.

Сам переходный слой имеет различный характер. Четкие ксенолиты лежащих гарцбургитов и дунитов, как в Куртушибинском поясе — довольно редкий случай. В большинстве случаев реакционные соотношения дунитов с верлитами и пироксенитами менее отчетливые, угловатые ксенолиты отсутствуют и взаимоотношения нередко трактуются как метасоматические (см. гл. 3). В некоторых случаях, как удалось наблюдать автору и другим участникам экскурсии в октябре 1975 г. в районе Сабзавар и Иране, переходная зона почти отсутствует, габбро непосредственно контактируют с деформированными перidotитами, образуют в них вблизи контакта «бахрому» жил (часто пегматоидных габбро) с узкими оторочками вестеритов. Сходная ситуация описана местами в массиве Тродос и Келлаки (Lapierre, Rocci, 1967). Наоборот, в ряде офиолитовых массивов в Иране (район Эсфандаге — Sabzehei, 1970), в Турции и других местах Альпийского пояса доказываются постепенный переход между габбро и гипербазитами, наличие переслаивания дунитов и пироксенитов без реакционных соотношений, слоистых хромитовых руд с градацией

слоистостью в дунитах и т. д. По-видимому, в этих случаях переходная зона более мощная и включает нижнюю «кумулятивную» часть габброидов. Формационная граница проходит внутри гипербазитов — между «кумулятивами» и тектонизированными перidotитами, и определить ее, как подчеркивал Т. Тейер (Thayer, 1969), значительно труднее.

В гипербазитах устанавливаются интенсивные деформации и признаки пластического течения, которые, как правило, отсутствуют в габброидах и вышележащих породах. Наиболее детально деформации и их происхождение в альпинотипных гипербазитах изучены французскими петрологами под руководством А. Николя. Материалом для этого послужило детальное структурное исследование перidotитов Ланцо и других гипербазитовых массивов в Альпах и Испании (Nikolas, 1974; Nikolas et al., 1971; Nikolas, Jackson, 1972; Nikolas, Bouchez, Boudier, 1972; Darot, Boudier, 1975; Nikolas, Boudier, 1975), структур глубинных включений в базальтах и кимберлитах (Boullier, Nikolas, 1974) и экспериментальное изучение деформаций (Nikolas, Boudier, Boullier, 1973). В перidotитах массива Ланцо, расположенного на границе Альпийских структур и палеозойского кристаллического фундамента зоны Ивера, было проведено систематическое изучение и измерение элементов залегания плоскостей слоистости и сланцеватости, линейности по энстатиту и шпинели, интенсивности и углов дробления и деформаций в оливинах, величины зерен в породах. Все эти признаки аналогичны таковым в других альпинотипных гарцбургитах (не перidotитах, см. фото 1—6). Теоретический анализ фактов позволил заключить, что деформация в альпинотипных перidotитах есть результат пластического течения в горячем состоянии. Складки пироксенитовых слоев, осевые линии и плоскости которых приблизительно параллельны линейности и плоскости сланцеватости, трактуемым как линии и плоскости течения, могут быть объяснены либо вращением в направлении линии течения, либо прямым возникновением неплоского течения (Nikolas, Boudier, 1975).

В массиве Ланцо сжатые изоклинальные складки, аналогичные наблюдаемым в Войкаро-Сынгинском массиве, ограничены простирациями региональных структур; V-образные открытые складки большого масштаба накладываются на ранние изоклинальные (что хорошо видно в замковой части складок), в результате чего возникает большой угол между слоями (жилами) пироксенитов и направлением линейности и сланцеватости (см. материалы по Войкаро-Сынгинскому массиву).

В альпинотипных гипербазитах, как и в полярноуральских и западносаянских перidotитах, линейность фиксируется преимущественно цепочками отдельных зерен и агрегатов хромшипелидов и энстатита, а также ориентировкой таблитчатых и пластиначатых зерен энстатита. Первые два типа линейности (хромшипели и энстатита) параллельны длиной оси эллипса деформаций и представляют проекцию направления течения на плоскости сланцеватости (foliation plane). Ориентировка таблитчатого энстатита первенствует на плоскости сланцеватости, совпадает со второй осью эллипса деформаций и возникает в результате вращения первичных кристаллов энстатита, ориентированных определенным образом, в направлении течения (Darot, Boudier, 1975).

Вышеописанные пластические деформации осуществляются в высокотемпературных условиях в результате внутриструктурального скольжения и частичной перекристаллизации в оливине и энстатите. В частности, при низкотемпературной деформации серпентинизированных перidotитов ориентировка оливина и энстатита не возникает, но может возникнуть ориентировка агрегатов хромита и магнетита (Darot, Boudier, 1975). Эти закономерности были подтверждены экспериментально при  $T = 1250-1300^{\circ}\text{C}$  и  $P = 13-14$  кбар (Nikolas, Boudier, Boullier, 1973). На первой стадии деформации происходит вращение анизометрических кристаллов. На второй (при степени сжимающей деформации свыше 30%) оно сменяется

скольжением в оливине, причем главной системой скольжения является [100] (001), что подтверждает ранее полученные экспериментальные результаты (Carter, Ave'Lallent, 1970). При степени деформации выше 40% становится значительной перекристаллизация наиболее деформированных участков соприкосновения кристаллов.

Тектоническая ориентировка оливина и энстатита, плоскости трансляции в оливине (двойникование, спайность и др.), как мы видим, являются общей особенностью всех офиолитов Полярного Урала и Западного Саяна, особенно Войкаро-Сынгийского и Борусского поясов, где она впервые была описана в работе Л. Г. Пономаревой и Н. Л. Добрецовым (1965).

Предполагается, что высокотемпературные деформации в альпинотипных перидотитах происходят при их выдавливании в твердом состоянии (протрузии) или надвигании из мантии.

Соответствующая схема для массива Ланцо, который, как предполагается, является выступом мантии, показана на рис. 45. На ней показано также частичное плавление в верхней мантии — образуются лерцолитовые массивы другого типа (Бальдиссеро, Балмуссио), в которых высокотемпературные пластические деформации не фиксируются, поскольку в момент внедрения они находились в расплавленном состоянии. Признаки частичного плавления перидотитов (точнее, выплавления габбро из лерцолитов с образованием остаточных дунитов и гардбургитов) устанавливаются и в массиве Ланцо (Boudier, Nikolas, 1972; см. также ниже). В то же время деформированные перидотиты со структурами, аналогичными альпинотипным, найдены во многих глубинных включениях в базальтах и кимберлитах (Nikolas, Boudier, Bouchez, 1973; Глубинные ксенолиты..., 1975). Поэтому правомерна и другая интерпретация: деформации и пластические (или «полужидкие») течения возможны в са-

мой мантии, например при образовании срединно-океанических хребтов, что обуславливает здесь, по предположению Т. Фрэнсиса (Frangis, 1969), анизотропию мантии.

Такая мантия, которая существовала под срединно-океаническими хребтами или даже служила фундаментом для любой океанической коры, должна иметь гардбургитовый состав, согласно наиболее распространенному составу альпинотипных гипербазитов (Nikolas, Jackson, 1972; Nikolas, Boudier, Bouchez, 1973) и наличию гардбургитов в рифтовых долинах срединно-океанических хребтов (Дмитриев, 1973). Деформированные лерцолиты типа массива Ланцо считаются верхней мантией, которая подстилала кору континентального типа (Nikolas, Jackson, 1972).

Всего можно выделить четыре типа перидотитов, которые могли быть породами верхней мантии и «фундаментом» офиолитов: 1) деформированные лерцолиты (типа Ланцо); 2) слабо деформированные лерцолиты (типа Бальдиссеро); 3) деформированные дунит-гардбургиты (типа войкаро-сынгийских); 4) слабо деформированные гардбургиты (типа куртушибинских). Как увидим ниже, все эти типы встречаются в разных структурах и не могут характеризовать соответственно континентальную и океаническую мантии. Следует подчеркнуть, что среди глубинных включений в базальтах континентов, островных дуг и океанических островов преобладают лерцолитовые включения, гардбургитовые встречаются очень редко (Глубинные ксенолиты..., 1975). Лишь среди наиболее глубинных включений в кимберлитах, соответствующих коэситовой и алмазной фации, по-видимому, преобладают дунит-гардбургитовые (Н. В. Соболев, 1974; Глубинные ксенолиты..., 1975). Другими словами, дунит-гардбургитовая мантия встречается и под океанами, и под континентами, но лишь в специфической обстановке, во всяком случае, она не может характеризовать единую первичную дунитовую мантию, как считает А. А. Ефимов (Ефимов, Ефимова, 1969). Все глубинные включения систематически отличаются по ряду компонентов от альпинотипных перидотитов (Шейнман, 1973; Н. В. Соболев, 1974; Глубинные ксенолиты..., 1975; и др.). Если учесть также наличие в мантии плагиоклавасодержащих перидотитов, пироксенитов и эклогитов, то получим гораздо большее разнообразие типов верхней мантии. Всего их выделяется не менее восьми (Н. С. Соболев, Добрецов, Н. В. Соболев, 1972; Глубинные ксенолиты..., 1975). В складчатых областях преобладают, по-видимому, пироксенитовая и лерцолитовая мантии, не соответствующие альпинотипным гипербазитам.

Таким образом, прямое сопоставление гипербазитового члена офиолитовых серий с верхней мантией в общем случае не корректно. Можно лишь предположить, что это переработанная верхняя мантия и что переработка ее происходила вместе с формированием габброидного и базальтоидного членов офиолитов и продолжалась при их тектоническом перемещении. О тесной связи этих процессов свидетельствуют дайки габброидов в гипербазитах, частичное выплавление около них (Boudier, Nikolas, 1972), разнообразные процессы метаморфизма в гипербазитах и т. д. Детали этих связей и роль магматического процесса в них мы обсудим ниже. Здесь важно подчеркнуть саму связь состава и строения гипербазитового «фундамента» с формированием остальных членов офиолитовых серий, и особенно — с габброидами, возраст которых примерно соответствует возрасту последних высокотемпературных процессов в гипербазитах. Тесную взаимосвязь гипербазитов и габброидных членов офиолитовых серий признают практически все исследователи самых разных направлений, хотя трактуют ее по-разному.

Связь габброидного и базальтоидного членов офиолитовых серий еще более проблематична, передко высказываются взаимоисключающие точки зрения. Сторонники интрузивного происхождения габброидов (Пинус, Кузнецов, Волохов, 1958; Пинус и др., 1973; Велинский, 1976) считают их более молодыми, чем вмещающие кремнисто-базальтоидные толщи, и уж

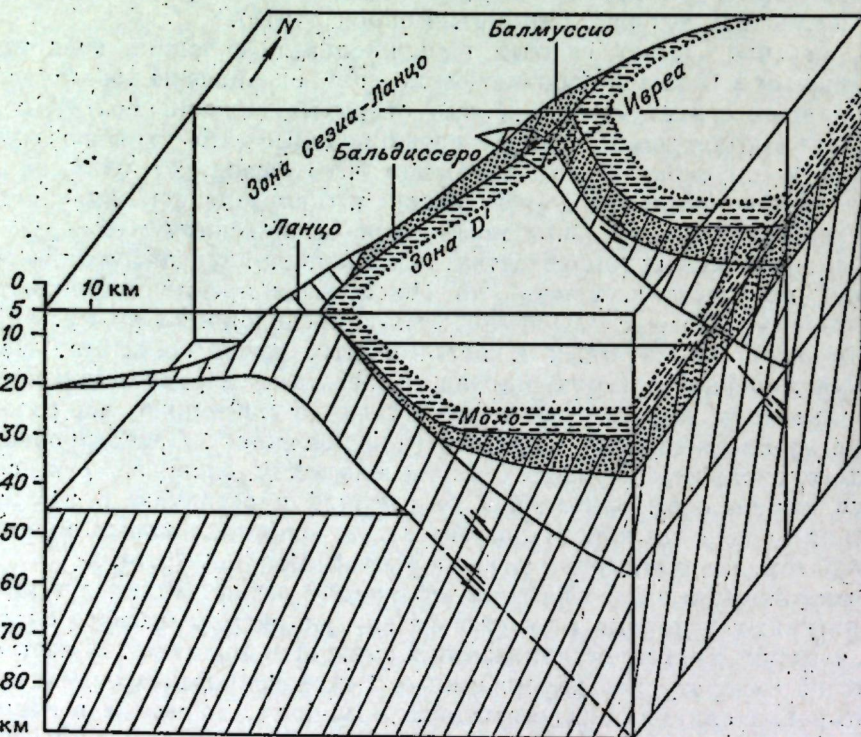


Рис. 45. Теоретическая схема, показывающая взаимоотношения ультраосновных массивов, мантии и коры зоны Ивеа (Nikolas, Bouchez, Boudier, 1972).

Наклонная штриховка — мантия, точки — зона частичного плавления, пунктир — границы зоны Ивеа, белое — континентальная кора.

во всяком случае не признают их верхним членом оливинового разреза. Среди тектонистов, наоборот, распространялась тенденция отрывать по возрасту и способу формирования кремнисто-базальтоидные толщи от габбро-гипербазитового «фундамента», считать, что между формированием «фундамента» и более молодых (!) кремнисто-базальтоидных толщ может существовать значительный перерыв (Пейве, 1973, 1975; Книппер, 1975; Богданов, 1975; Марков, 1975; и др.). Такой же точки зрения придерживается часть авторов настоящей книги (Г. Н. и А. А. Савельевы).

Очень важным связующим звеном между габброидными и базальтоидными членами, не позволяющим значительно отрывать их друг от друга, является комплекс параллельных даек. Как видим, в Войкаро-Сынинском массиве и Куртушибинском поясе наблюдается тесное переплетение габбро и диабазовых даек \*. В большинстве случаев дайки отчетливо пересекают габбро, но, как правило, не выходят за пределы габброидного «слоя», очень редко (и не во всех массивах) встречаются в гипербазитах. В дайковом комплексе присутствуют ксенолиты разных членов пироксенит-габброидного комплекса — пироксениты, троктолиты, габбро, лейкогаббро. В то же время часть даек, особенно в нижней части «разреза», пересекается и резорбируется габбро и более молодыми дайками (см. рис. 38, 39). На Южном Маккуори описаны также случаи (Varne, Rubenach, 1973), когда дайки, проникающие в слоистые габбро, изгибаются параллельно их слоистости, резорбируются («буднируются») и растворяются в них. Резкую нижнюю границу дайкового комплекса, которая является характерной его особенностью в большинстве комплексов, можно объяснить именно «съеданием» магматическим габброидным расплавом ранних даек, так что только дайки регressive этапа, этапа остывания, когда габбро уже застыло, пересекают габбро, причем густота регressive даек, как и следовало ожидать, возрастает от гипербазитов к верхней части габброидов.

Связь дайкового комплекса с вышележащими пиллоу-лавами и базальтами еще более отчетливая. Дайки пересекают, по крайней мере, нижнюю часть кремнисто-базальтоидного разреза, содержат ксенолиты туфов и кремнистых пород (выделить ксенолиты базальтоидов, естественно, трудно). По составу дайки тесно связаны с вышележащими вулканитами. В Куртушибинском поясе их составы варьируют от близких к габброидным до составов, аналогичных вышележащим пиллоу-лавам. В разрезах, где базальтоидные толщи не содержат кислых эфузивов, кислые дайки, как в Куртушибинском и Войкаро-Сынинском массиве, также редки. В массиве Тродос, где перекрывающие вулканиты содержат кислые эфузивы, в дайковом комплексе присутствуют и кислые эфузивы, причем поля составов вулканитов и даек почти полностью перекрываются (Moores, Vine, 1971; Miyashiro, 1975 б).

Большинство даек, вероятно, является подводящим каналом для вышележащих вулканитов. При этом дайки обнаруживают передко большие вариации составов, чем вулканиты, например, Куртушибинского пояса, где базальты чиприйской свиты слабо дифференцированы. Это отражает большее разнообразие условий формирования даек — их взаимодействие с горячими габброидами или расплавом или их дифференциацию при высоком температурном градиенте по мере движения от габбро к холодным породам. Подогрев за счет вышележащих габбро объясняет, по мнению некоторых исследователей (Varne, Rubenach, 1973; Добрецов, Попомарева, 1976), и специфический метаморфизм верхней части габбро и дайкового комплекса. Для него характерна низкая давление, псевдоморфизацией без деформаций,

В Войкаро-Сынинском массиве габбро, встречающиеся в дайковом комплексе, по мнению А. А. и Г. Н. Савельевых, отличаются от подстилающих габбро, но это не меняет принципиально ситуацию.

хорошая сохранность первичных структур и части минералов. Эти особенности соответствуют метаморфизму, промежуточному между автометаморфизмом и kontaktовым метаморфизмом.

Однако во многих случаях контакт между дайковым комплексом и вышележащими вулканитами тектонически сорван; в зоне контакта развиты бластомилониты и т. д. Во многих оливинитах дайковый комплекс вообще отсутствует. В этих случаях, естественно, затрудняется интерпретация взаимоотношений габбро и вулканитов.

Другая важная проблема, связанная с дайковым комплексом, — доказательство непрерывного расширения коры океанического (?) типа при формировании дайкового комплекса. Практически для всех дайковых комплексов оливиниты (как в Куртушибинском и Войкаро-Сынинском поясах) характерны следующие три важные особенности, наиболее четко выраженные в их верхних частях: 1) дайки параллельны друг другу и простираются региональных структур (чем и объясняется термин «sheeted (sheeted)» — параллельный комплекс; 2) дайки плотно прилегают друг к другу и составляют 90—95% комплекса; 3) закаленные контакты в дайках встречаются передко только с одной стороны (см., например, рис. 39), что интерпретируется как внедрение даек на контакте с еще горячей дайкой. Эти особенности позволяют Е. Мурзу (Moores, Vine, 1971) и другим исследователям категорически отвергнуть аналогию с радиально- или концентрически расположенным дайками вулканитов и вулкано-плутонических комплексов, какие были описаны в Японии (Nakamura, 1969; Kuno, 1964) и в других районах. Правда, А. Миширо (Miyashiro, 1973а, 1975в) в дискуссии о происхождении оливинитов массива Тродос допускает две другие возможности происхождения дайкового комплекса, которые фактически сводятся к тому, что длительное расширение, подобное срединно-океаническим хребтам, может существовать и в глубинной части островных дуг, независимо или в связи с расширением окраинных морей.

Таким образом, три выделенные члены оливинитов — гипербазитовый, габброидный и кремнисто-базальтоидный — обнаруживают доказательства как взаимосвязанности и общности происхождения, так и известной автономности, что определяется последовательным их формированием, а в ряде случаев — и перерывами между ними. Взаимосвязь между гипербазитами и габбро наиболее отчетливо выражена в признаках высокотемпературности и участии расплава в формировании тех и других (см. также ниже), а также в особенностях жил габбро и переходного слоя, которые заметно различаются в разных оливинитах. Общность габбро и базальтоидных вулканитов наиболее отчетливо выявляется и тогда, когда присутствует комплекс параллельных даек, наличие которого также служит одним из главных доказательств условий непрерывного расширения коры при формировании оливинитов.

## ТИПИЗАЦИЯ ОЛИВИНИТОВ

Итак, мы выяснили варьирующие взаимоотношения между членами оливинитовой ассоциации, в частности, разный характер «переходной зоны», наличие или отсутствие дайкового комплекса, плагиогранитов и т. д. Еще более важными оказываются различия в составе однотипных членов оливинитовой ассоциации. Выше отмечались различия в составе гипербазитов (лерцолиты или гарцбургиты). Различия в составе габброидов и вулканитов еще более отчетливы. В частности, пестрый и неустойчивый состав ассоциирующих кремнисто-терригено-вулканических толщ послужил для некоторых исследователей основанием вообще не включать эти толщи в оливиниты или гипербазитовые (габбро-гипербазитовые) пояса (Зимин, 1973), другим, наоборот, предпочтительнее называть оливинитами кремнисто-базальтоидные толщи без учета особенностей ассоциирующих

ющих габбро и гипербазитов (Gnibidenko e. a., 1974). Однако только в последнее время выяснилось, что изменения состава и особенностей строения разных членов офиолитовой ассоциации происходят закономерно и сопряжено.

Как это часто бывает, первые упрощенные представления усложняются и развиваются, и только тогда удается строить модели их формирования, близкие к природным объектам. В настоящее время никакие упрощенные модели строения офиолитов (на уровне обобщенных групп «гипербазиты — габбро-базальты») и их формальные сопоставления с океанической корой не могут считаться корректными, тем более что сама «океаническая кора» оказывается сборным понятием. Прежде чем сопоставлять и строить модели, необходимо типизировать «офиолиты» и «океаническую кору» на основании имеющихся фактов — и чем точнее мы это сделаем, тем лучше и полнее будут развиваемые на их основе генетические представления. В противном случае возникают малоэффективные дискуссии, примером которых служит дискуссия о происхождении офиолитового массива Тродос на Кипре — это мезозойская океаническая кора или фундамент островной дуги, или ни то, ни другое (Moore, Vine, 1971; Miyashiro, 1973a; Nunes, 1975; Gass e. a., 1975; Miyashiro, 1975a). Эта дискуссия привела А. Миширо (Miyashiro, 1975a) к необходимости эмпирической классификации офиолитов.

Еще раньше необходимость такой классификации была высказана автором\* в выступлении на Международном симпозиуме по офиолитам в мае 1973 г. в Москве (Добрецов, 1974б). Эти представления автора отражены в табл. 33, а классификация Миширо приводится в табл. 34. Хотя автор больше подчеркивал различия в составе габброидов и характере метаморфизма всех членов офиолитовой ассоциации, а Миширо акцентировал внимание на различиях в составе вулканитов, обе классификации оказались очень сходны. В классификации автора выделены три типа, в классификации Миширо — три класса. Первый тип больше всего соответствует обычному определению офиолитов, цитированному в начале статьи, так как, по-видимому, это наиболее распространенный тип в складчатых областях. Для этого типа характерно наличие дайкового комплекса, метаморфизм низких давлений и эвкритовый состав габброидов, которые по минералогии и составу сходны также с включениями в нещелочных базальтах островных дуг типа Курил и Камчатки (Глубинные ксенолиты..., 1975). Состав вулканитов также сходен с таковым базальтов многих островных дуг. Как подчеркивает Миширо (Miyashiro, 1975a, б), характерны широкие вариации состава от типичной кальциево-известковой до типично толеитовой серии, примером чего является тот же массив Тродос (см. табл. 34). По мнению Миширо, для этого типа характерны лишь слабые зеленокаменные изменения, хотя на том же массиве Тродос описаны более высокотемпературные изменения в габброидах и дайковом комплексе.

Почти одновременно на основе обобщения материалов по офиолитам Альпийского пояса были показан их дуализм и выделены два типа офиолитов (Rossi e. a., 1975). В представленной классификации (табл. 35), как видно, II тип сопоставляется с I типом автора, или I классом, по Миширо, а тип I — с II типом (классом). Кроме изменения нумерации, в классификации проф. Рокси большое внимание уделено также различию в составе гипербазитов и переходной зоны. Во II типе (I типе, по автору) характерны гардбургиты и пироксенитовая переходная зона, в I — лерцолиты и троктолиты переходной зоны, редки или отсутствуют тоналиты.

В дальнейшем I тип автора, I класс Миширо и II тип Рокси и других мы будем называть первым типом; II тип автора, II класс Миширо, I тип Рокси и других — вторым; III тип (III класс, по Миширо) проф.

Таблица 33

Три типа офиолитов (Добрецов, 1973, 1974б)

Принцип	I тип	II тип	III тип	Общий разрез офиолитов		
				Состав габброидов	Особенности метаморфизма	Исходный тектонический локализация
Состав вулканитов	Перидотиты (в том числе с плагиоклазом); пироксениты, троктолиты; эвкритовые габбро±тоналиты; дайковый комплекс; вулканиты	Шпинельсодержащие перидотиты; пебстериты (в том числе с гранатом); габбро-нориты; эклогитоподобные породы; метавулканиты	Габбро-поритовый (более железистый и титанистый, чем при типе I)	Обычные базальты (плагиобазальты, иногда андезит-базальты)	Средних давлений (гранат-амфиболитовые)	Кальциевый и натриевый типы
Особенности метаморфизма	Эвкритовый (кальциево-глиноzemистый), сходен с включениями в островных дугах	Часто сходен с составом островных дуг	Слабый или низких давлений (куммингтонит-амфиболовый)	Средних давлений (гранат-амфиболитовые)	Фундамент ограциальных морей (или переходных зон между типами I и II)	Западное обрамление ВойкароСаппинского массива и малых комплексов, Полярный Урал; Мисабу (?), Япония
Исходный тектонический локализация	Фундамент островных дуг (или вулканических поднятий в рифтах)	Фундамент вулканитов	Кальциевый тип (редингиты)	Натриевый тип (кадениты, альбиты и др.)	Фундамент глубоководных желобов (или красных частей асимметричных рифтов)	Марун-Коу, Поларный Урал; максютовский, Южный Урал; Францискан, Исландия; Санбогава и Калупитан, Япония

Примеры комплексов

\* Автор пишет А. Миширо о предлагаемых им типах офиолитов в конце 1973 г.

Таблица 34

Классификация офиолитов по Миширо (Miyashiro, 1974, 1975b)

Примак	Стратиграфия	Метаморфизм	Приимеры комплексов	Исходная тектоническая позиция	Хорошая	Пetroхимические серии вулканических серий (и габбро)	Широкие вариации состава от типично мальцево-известковой до типично толеитовой серии	Слабые зеленокаменные изменения	Лабрадорский трог, Канада; острова Ян, Филиппины; Бермуджа, Пуэрто-Рико	Метаморфизм умеренных давлений	Толеитовая серия с уклоном в сторону железистых (не окантовочных) толеитов	Часто тектонически нарушенна	Отсутствует или представляет особый симметричный тип (Микабу)	Ультрабазиты, метагаббро-амфиболиты, амфиболиты и зеленые сланцы (с повышенной железистостью); габбро, метагаббро, эклогиты, метавулканиты	Перидотиты, дуниты, серпентиниты (с повышенной железистостью); габбро, метагаббро, эклогиты, метавулканиты

Таблица 35  
Классификация офиолитов Альпийского пояса (Rocci e. a., 1975)

Комплекс	Последовательность	II тип	I тип
1	Тектониты (гипербазиты) Кумулятивные перидотиты Переходная зона	Гарцбургиты Лерцолиты, верлиты; дуниты, хромиты Пироксениты	Лерцолиты Плагиоклазодержащие гарцбургиты, лерцолиты Тротолиты
2	Габбро Троидемиты	Нориты и оливиновые габбро, диориты Тоналиты, передко гранофирь	Клиноштоксеновое феррогаббро (эвлитиды) Редко
3	Гипабиссальные (дайковые) породы	Дайковый щит-комплекс с Ca-Al тенденцией	Обычно массивные долериты толеитового состава
4	Лавы	Кварцевые толеиты $\pm$ андезиты	Оливиновые толеиты
	Распространение	Восточная часть Альпийского пояса (Тродос, Вурниос, Анатолия, Иран)	Западная часть Альпийского пояса (Корсика, Альпы, Югославия)

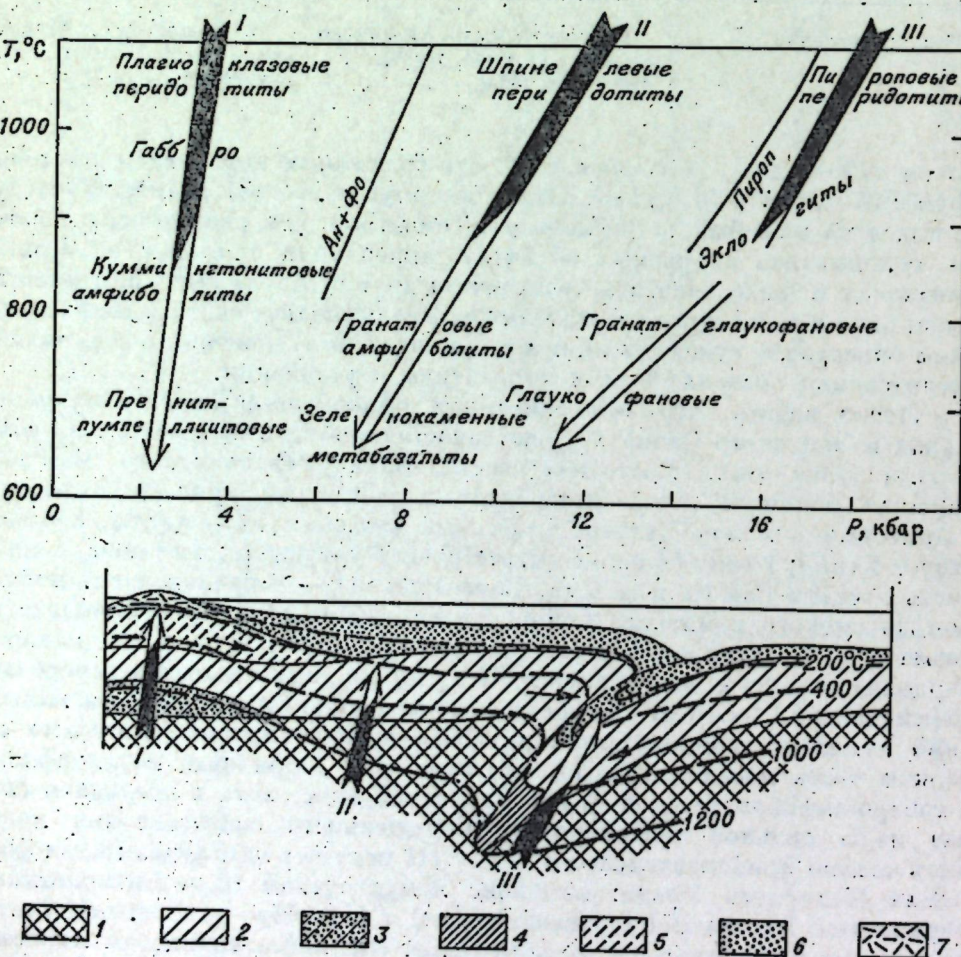
Рокси не выделяет, но соглашается, что гранатовые перидотиты и ассоциирующие эклогиты (в Альпах, Силезии и других местах), возможно, следует выделять в особый тип офиолитов. Таким образом, разные исследователи, основываясь на разных объектах, акцентируя внимание на разных признаках и, надо полагать, независимо друг от друга выделили практически одни и те же три типа офиолитов. Это позволяет считать выделенные типы объективно существующими в природе, хотя, конечно, последующие исследования позволят внести корректировки и уточнения.

Легко видеть, что вышеописанные офиолитовые пояса Полярного Урала и Западного Саяна хорошо сопоставляются с выделенными тремя типами офиолитов. Восточная часть Войкаро-Сыньинского массива, включая большую часть гипербазитов, восточный дунит-верлит-пироксенитовый комплекс, габбро, дайковый комплекс и тоналиты, соответствует I типу; I типу близко соответствуют Куртушибинский пояс, южная часть массива Рай-Из и массив Харче-Руз, II — западная часть Войкаро-Сыньинского комплекса (лерцолит-метагаббро-норитовый комплекс и, возможно, часть гипербазитов, учитывая различия в Cr и Ni, наличие лерцолитов, зону с жадеититами). К этому же типу относится гипербазитовый массив Сым-Кеу (во всяком случае, большая его часть) и малыкский комплекс габбро-поритов и габбро-гнейсов, предположительно северная часть массива Рай-Из, включая зону вторичного метаморфизма с габбро-амфиболитами, а также Борусский пояс, хотя в последнем случае из-за сильной тектонической нарушенности сопоставления могут быть только приблизительными. Типу III отвечает метаофиолитовая формация Полярного Урала: комплекс маруикеуский (гранитизированные перидотиты, эклогиты I (тротолитового) и II (габбро-диабазового) типов, гранатовые амфиболиты и вышележащая глаукофан-сланцевая яровейская свита; отдельные члены этой метаофиолитовой ассоциации III типа присутствуют также в зонах меланжа к западу и северо-западу от массива Рай-Из и в западном контакте Войкаро-Сыньинского массива. К этому

же типу близок максютовский комплекс на Южном Урале, атбашинская серия в восточной части Южного Тянь-Шаня и некоторые другие рифейские офиолиты Урало-Тяньшанского пояса.

Из сопоставления табл. 33—35 и вышеупомянутых примеров видно также, что не все признаки коррелируются в равной мере. Так, в массивах Вуринос (Греция), Рай-Из, Харче-Руз (Полярный Урал) и многих других, относимых по большинству признаков к I типу, отсутствует дайковый комплекс. Возможно, в ряде случаев он просто не выделен, в других его нет из-за тектонических контактов. В Куртушибинском поясе, относимом также к I типу, отсутствуют плагиограниты; вулканиты соответствуют ближе не I, а II типу. Учитывая разную степень деформированности гипербазитов, разное содержание дунитов, возможно, следует выделить здесь подтип Ia (Тродос) и подтип Ib (куртушибинский).

Аналогично во II типе по степени «лерцолитости», деформированности и выплавления (см. ниже), а также наличию или отсутствию плагиоклазсодержащих гарнбургитов и массивных гипабиссальных долеритов можно выделить подтипы Ia (Инцекка, Корсика) и Ib (малыкский, Полярный Урал). В Сым-Кеу и малыкском комплексе лерцолиты — лишь подчиненные породы; плагиоклазсодержащие перidotиты хотя и отмечаются, но отчетливо эклогитизируются и большей частью, по-видимому, не сохранились; в таких комплексах также трудно отделить метаморфизованные долериты и метагаббро.



*Рис. 46.* Три типа охиолитов (Добрецов, 1974).  
— гранатовые амфиболиты; 3 — габбро; 4 — эклогиты; 5 — куммингтонитовые  
енокаменные и глекофановые метабазальты и осадки; 7 — преснит-пумпеллити-  
товые вулканиты. Другие объяснения в тексте.

Еще труднее выделять детали строения и взаимоотношения комплексов в III типе оливинитов из-за их наибольшего сильного метаморфизма и тектонической нарушенности. Автор предполагает, что повышенные давления во II типе и высокие давления в III существовали уже на магматической стадии, т. е. при их исходной тектонической позиции; соответствующие давления сохранялись и при метаморфизме в условиях понижения температуры. В этом случае логично предположить и разную глубину залегания оливинитового фундамента. На рис. 46 и в табл. 33 показана исходная тектоническая позиция в разных тектонических зонах для разных типов оливинитов, а именно: в фундаменте островной дуги (или другого вулканического поднятия) для I типа, в промежуточной зоне — для II и в глубоководном желобе — для III. Сходные представления сформулированы Мияширо (см. табл. 34), хотя в сравниваемых табл. 33 и 34 имеются расхождения и альтернативные варианты, например, I тип (по автору) может быть фундаментом любого вулканического поднятия на океанической коре (дуги типа Курил или Изу-Бонинской, или срединно-океанические хребты, или центральные поднятия в рифтах типа Аденского). Мияширо допускает такую альтернативу для типа II. Прежде чем обсуждать в деталях предполагаемые варианты, необходимо рассмотреть физико-химические условия формирования оливинитов (см. следующий раздел).

Здесь же важно подчеркнуть, что разные давления (т. е. разная глубина), очевидно, являются одной из причин, объясняющей и разную встречаемость олиголитов разных типов на поверхности (максимальную у I типа), и разную степень тектонической нарушенности (при прочих равных условиях). В вышеупомянутых сопоставлениях мы имели в виду относительно полные и по возможности слабо нарушенные разрезы олиголитов. Конечно, при последующих тектонических перемещениях, особенно в полициклических областях, степень нарушенности в каждом типе может быть самая разная. В частности, П. П. Кузнецов (1976) выделил по степени нарушенности три разновидности разрезов олиголитов в Алтайско-Саянской области: 1) относительно слабо нарушенный четырехчленный — Куртушибинский пояс; 2) сильнее нарушенный двучленный (гипербазиты и вулканиты, почти без габбро) — Борусский пояс; 3) очень сильно нарушенный, где гипербазиты и габбро образуют только тектонические включения в кремнисто-базальтоидной и более молодых толщах, своего рода макромеланж — Чаган-Узун в Горном Алтае.

## УЧАСТИЕ МАГМАТИЧЕСКОГО РАСПЛАВА В ФОРМИРОВАНИИ ГИПЕРБАЗИТОВ И ГАББРО В ОФИОЛИТАХ

Магматическое происхождение дайкового комплекса и базальтов не вызывает сомнения. Проблема здесь заключается только в том, насколько связан расплав, давший дайки и базальты, с нижележащими габбро и перидотитами и какова причина различий в их составах и резкой щикней границы комплекса даек.

В отношении магматического происхождения оphiолитовых периодитов и габброидов многие авторы высказывают различные сомнения. Вероятно, все они согласны, что это — не простая кристаллизационная дифференциация однородного базальтового (или пикритового) расплава, как в расслоенных интрузиях типа Стилуотера и Бушвельда. В отличие от расслоенных интрузий, в типичных оphiолитах расслоенность менее выраженная и ритмичная и обычно прослеживается только в нижней части габбро и в переходном слое, и то не всегда (см. гл. 4,5). Даже в слоистой части отсутствуют заметные количества ортоциркосенитов, характерных для Стилуотера и Бушвельда; во многих оphiолитах характерна постоян-

но высокая основность плагиоклаза и магнезиальность оливина во всем разрезе перidotитов и габбро; отсутствуют закаленные краевые фации и четкие интрузивные контакты с вмещающими породами, за исключением особых случаев (например, в Эсфандаге в Иране).

По вопросу происхождения офиолитов, особенно габброидов и части перidotитов, высказаны две главные гипотезы — кумулятивная и метасоматическая. Как отметил Т. Тайер (1973, с. 9), существует «фундаментальное отличие между европейско-американской школой, признающей кумулятивную природу офиолитов, и русской, стоящей на признании их метасоматической природы, считающей, что офиолиты образуются *in situ* «внутренним путем». Под «русской школой» подразумеваются прежде всего уральские петрографы и геологи, которые развивали представления о метасоматическом происхождении гипербазитов (Успенский, 1952; Москалев, 1974) и о метасоматической «габброризации» гипербазитов (Морковкина, 1967; Ефимов, Ефимова, 1967). Метасоматическую габброризацию и амфиболизацию считают главным процессом при образовании «базальтового» слоя коры в островных дугах М. С. Марков (1975) и другие исследователи. Некоторые из настоящей книги признают, хотя бы частично, метасоматическое происхождение некоторых габброидов, в частности, многих жил в гипербазитах (см. гл. 3 и 4), хотя, конечно, все мы никогда не стояли на позициях чисто метасоматических представлений и неоднократно критиковали их (Добрецов, 1963, 1964; Молдаванцев, 1973).

Поэтому большой интерес представляет получить и обсудить прямые данные о магматическом происхождении офиолитов, особенно тех пород, которые традиционно считаются метасоматическими. К их числу относятся пегматоидные габбро, образующие участки и жилы в перidotитах и габбро, и не имеющие, как правило, кумулятивных структур. Обычно плагиоклаз в них разложен, что затрудняет исследования. Однако в иракских офиолитах в районах Сабзевар, Найн, Эсфандаге автору вместе с другими участниками Рабочей группы по проекту «Офиолиты» удалось видеть пегматоидные габбро с очень свежим плагиоклазом. Собранные образцы были переданы доктору И. Т. Бакуменко (ИГиГ СО АН СССР) и детально исследованы на предмет обнаружения расплавленных включений. В двух из них обнаружены стекловатые включения с очень высокой температурой гомогенизации (1450—1300°C) (Бакуменко, Добрецов, 1976). Первичные включения обнаружены в крупных блоках (до 15 см) грубо сдвойникованного аортита из пород наиболее проблематичного генезиса эвкритоподобных габбро-пегматитов.

Изучавшиеся образцы (см. 259 в табл. 36) габбро-пегматитов, обычно считающихся метасоматическими, собраны в Иране в районе Сабзевар, около кишлака Табаш. Они образуют шлиры и жилы среди свежих неравномерно-зернистых эвкритовых габбро, в которых, как отмечено в решении Рабочей группы проекта «Офиолиты», отсутствуют четкие кумулятивные структуры и слоистость. Габбро представляют крупный блок среди серпентинитов.

Вопреки представлениям о метасоматической природе габбро-пегматитов, все обнаруженные в аортите включения относятся к типу включений силикатных расплавов. Газово-жидкие включения отсутствуют. Преобладают первичные зональные, рассеянные равномерно по всему объему аортитовых блоков. Размер их 0,005—0,02 мм, форма изометрическая. В пластинках, параллельных (001), они имеют очертания прямоугольников и квадратов.

Большинство расплавных включений полностью раскристаллизовано на небольшое число кристаллических фаз. Стекловатая фаза лишь изредка сохраняется в интерстициях продуктов раскристаллизации. Газовая заметна также не во всех включениях. По-видимому, в большинстве включений раскристаллизация расплава началась до обособления газовой фазы, которая распределена в интерстициях раскристаллизованной массы,

и поэтому не видна даже при подсветке включений с помощью линзы Лазо. Во всех включениях присутствуют относительно крупные кристаллы клинопироксена, имеющие слегка зеленоватый оттенок и округлые или слегка удлиненные очертания. Клинопироксен является типичным минералом-узником, так как полное плавление этой фазы при нагревании серии сингенетических включений наблюдается при одинаковой температуре. Во всех включениях клинопироксен — наиболее идиоморфная фаза, плавится позже других кристаллов. В разновозрастных сериях включений эта температура колеблется от 1100 до 1240°C. Остальные фазы ксеноморфного плавления клинопироксена. Таким образом, раскристаллизация расплава во включениях начиналась с выделения клинопироксена, а затем кристаллизовались остальные минералы (плагиоклаз и амфибол?). Значительное количество аортита отлагалось на стенках включения, поскольку при экспериментальном нагревании объем полости включений заметно возрастал, причем включения приобретали более четкую прямоугольную форму.

Температуры полной гомогенизации включений (исчезновение газовой фазы) обычно выше температур плавления фазы клинопироксена на 40—280°C, и этот интервал увеличивается для более высокотемпературных включений. Температуры гомогенизации неодинаковы для разных зон аортитовых блоков. Наиболее ранние ядерные части блоков аортита содержат первичные расплавные включения, гомогенизирующиеся при 1435—1380°C. В более поздних периферических участках включения гомогенизируются при 1350—1280°C. Вторичные (точнее, мимовторичные) включения гомогенизируются при 1280—1260°C, но возможно, есть и более высокотемпературные, так как одиночные мимовторичные включения трудно отличить от азональных первичных.

Эти данные однозначно свидетельствуют о магматическом, а не о метасоматическом происхождении офиолитовых габбро-пегматитов, причем кристаллизация плагиоклаза осуществлялась при довольно высокой температуре.

Важно отметить петрохимическое и минералогическое сходство офиолитовых габброидов с ксенолитами крупнозернистых аортитовых троктолитов и габбро из островодужных базальтов Курило-Камчатской провинции. Изучение включений в аортите из таких ксенолитов, выпесенных лавами ряда вулканов Южной Камчатки (форелленштейны Ильинского вулкана и ружмонтиты Желтовского вулкана), показало, что они тоже близки (Бакуменко, Добрецов, 1976). В этих породах протокристаллы аортита также начинали кристаллизоваться при высоких температурах (выше 1300°C): в форелленштейнах — первичные включения при 1375—1225°C, вторичные — до 1145°C, в ружмонтитах — первичные включения при 1320—1240°C. Интеркумулятивный клинопироксен ружмонтитов кристаллизовался позже аортита при 1185—1120°C. Главное отличие протокристаллов аортита из ксенолитов состоит в том, что в них обнаружены сингенетические с расплавами включениями первичные газовые включения азотно-водной смеси, которые были захвачены при кипении базальтоидного расплава. Захват этих включений осуществлялся при невысоком давлении (1,6—1,7 кбар). Но, возможно, это лишь кажущееся отличие, так как сравниваемых материалов еще недостаточно. Таким образом, доказано магматическое происхождение и, очевидно, сходство офиолитовых аортитовых габбро-пегматитов и аортитодержащих ксенолитов, выпесенных лавами из фундамента вулканов островных дуг, т. е. подтверждается первое предположение о том, что офиолиты I типа являются фундаментом «островных дуг» («вулканических подиий»).

Другим доказательством магматического происхождения офиолитовых габброидов и гипербазитов являются высокие температуры в минералах габбро и гипербазитов, полученные на основании двупироксенового

термометра (Boyd, 1973 — соотношения  $\text{Ca}/(\text{Ca}+\text{Mg})$ ) в клинопироксene, равновесном с ортопироксеном (табл. 36). Правомочность его использования подтверждается тем, что клинопироксен из образца 259, в котором исследовались также включения силикатных расплавов, показывает температуру  $1430^\circ\text{C}$ , равную наиболее высокой температуре гомогенизации включений. Аналогичные температуры установлены нами с помощью двупироксенового термометра в габбро и гипербазитах из офиолитов Западных Саян, причем в зональных пироксенах габбро интервал температур лишь несколько больше, чем определен по расплавным включениям в аортитах офиолитовых габбро и глубинных ксенолитов (около  $1500^\circ\text{C}$  в центре и  $1330^\circ\text{C}$  по периферии). Другие малокальциевые клинопироксены, соответствующие температурам  $1100—1300^\circ\text{C}$ , были приведены в тексте (гл. 4, 5).

Для последних интересно отметить, что самые высокие температуры получены в породах, которые считались как раз метасоматическими, например в «дунитах» с жилами бронзититов в хр. Борус (гл. 6); описаны они М. И. Юдиным (1959) как метасоматические. Это лишний раз свидетельствует о том, что признаки глубинной магматической кристаллизации сильно отличаются от обычных признаков приповерхностной кристаллизации и могут вводить в заблуждение. Высокие температуры в альпинотипных гипербазитах (во всяком случае выше  $1000^\circ\text{C}$ ) получены и другими методами — по деформациям оливина (см. выше), по содержанию Al в ортопироксene, Ni в оливине, по порядку кристаллизации (в сопоставлении с экспериментальными). Все они не очень точные, но в целом подтверждают высокие температуры разных стадий образования и деформации гипербазитов. Автор подчеркивал это еще в 1963—1964 гг. (Добреполов, 1964).

Конечно, признаки этих высоких температур сохраняются только в относительно свежих породах, не претерпевших наложенного метаморфизма и перекристаллизации (кроме автометаморфизма). В противном

Таблица 36  
Высокотемпературные клинопироксены в офиолитах, равновесные с ортопироксеном

Оксид	259	52		325
		край	центр	
$\text{SiO}_2$	51,7	53,9	53,9	54,7
$\text{TiO}_2$	0,15	0,27	0,13	0,11
$\text{Al}_2\text{O}_3$	4,16	5,20	3,17	3,28
$\text{FeO}$	10,0	8,30	6,61	5,46
$\text{MnO}$	0,20	0,20	0,11	0,18
$\text{MgO}$	20,5	17,6	21,3	20,9
$\text{CaO}$	12,2	12,5	11,9	12,0
$\text{Na}_2\text{O}$	0,69	1,22	0,64	0,59
$\text{K}_2\text{O}$	—	0,01	—	—
$\text{Cr}_2\text{O}_3$	0,23	0,13	0,61	1,12
Сумма . . .	99,83	99,93	98,37	98,29
$\text{Ca}/(\text{Ca}+\text{Mg})$	0,30	0,34	0,28	0,29
T, $^\circ\text{C}$	1430	1330	1500	1480

При мечани с. Образец 259 — габбро-пегматит, Иран, Сабзвар; 52 — неодиородное габбро, Куртушибинский массив; 325 — полосчатый перидотит, Борусский пояс, Западный Сайн.

случае получаются любые другие более низкие температуры, что вместе с тектоническими kontaktами принималось за доказательства низкотемпературисты альпинотипных гипербазитов и габброидов (Пинус, Кузнецова, Волохов, 1958; Ефимов, Ефимова, 1967, 1969).

Высокие температуры порядка  $1400—1500^\circ\text{C}$  и обнаружение стекловатых включений несомненно доказывают участие магматического расплава при образовании и габброидов, и перидотитов. Однако для тех и других существуют дополнительные трудности, в частности вышепомянутые отличия от расслоенных интрузий свидетельствуют о невозможности получить перидотиты и габбро путем простой кристаллизационной дифференциации базальтоидной или пикритовой магмы. Для габброидов кумулятивная гипотеза в какой-то степени еще объясняет их происхождение (во всяком случае части пород с отчетливой кумулятивной структурой). Но в общем случае и этот процесс более сложный. В частности, слоистые габбро в офиолитах I типа несут признаки кумуляции или отсадки кристаллов (по-видимому, сброс неэвтектических оливина и (или) аортита, диопсида при снижении температуры, а также изменение давления и состава летучих, что влияет на состав эвтектики), признаки течения «каши» кристаллов или пластической деформации полузастигшей массы в условиях растяжения (ксенокристы пироксена, буднированные пластины пироксенитов и т. д.) и признаки кристаллизации в прослоях, обогащенных магмой (слои с градационной слоистостью; пегматоидные участки и жилы).

Особую роль играет магматический расплав в формировании перидотитового фундамента и изменение его состава от лерцолитов к гарцбургитам и дунитам. В работе (Boudier, Nicolas, 1972) приведены убедительные, на наш взгляд, доказательства частичного плавления в лерцолитах массива Ланцо в Альпах. На первой стадии (менее 14% выплавления) образуются небольшие плагиоклазодержащие жилы, которые регионально распространены и совпадают с первичной плоскостью сланцеватости (foliation). На второй, соответствующей 5% выплавления, образуются дайки диопсид-аортитового габбро. Вдоль них (или зон, насыщенных ими) происходит, по мнению вышеупомянутых авторов, выплавление 25—28% габброидного материала — образуются дунитовые и гарцбургитовые рестицы. Эти данные, с нашей точки зрения, могут иметь иную интерпретацию. При простом нагреве (в условиях, отличных от первичной кристаллизации) из лерцолитов выплавляется 4—5% материала; более полное выплавление с образованием рестиций дунитов и гарцбургитов происходит при движении возникшего (или, скорее, более глубинного) габброидного расплава в проникаемых зонах вследствие как бы растворения и отсасывания всех легкоплавких компонентов в высокотемпературный фильтрующийся расплав.

Реститовая природа дунитов и гарцбургитов подтверждается всеми петрохимическими сопоставлениями (Куно, 1964; О'Нага, 1970; Дмитриев, 1973) и данными по изучению глубинных включений (Глубинные ксенолиты..., 1975). На всех петрохимических диаграммах, построенных различными авторами, дуниты и гарцбургиты альпинотипных гипербазитов занимают крайние положения, соответствующие тугоплавкому остатку (см. также: Васильев, 1975). В качестве примера приведем диаграммы (рис. 47), построенные аналогично диаграммам X. Куно (Куно, 1964; Глубинные ксенолиты..., 1975) для наиболее характерных компонентов офиолитовых пород Полярного Урала и Западного Саяна. Изменение магнезиальности и содержания  $\text{Al}_2\text{O}_3$ , суммы щелочей (при резком преобладании  $\text{Na}_2\text{O}$ ), частично  $\text{TiO}_2$  соответствует пределам составов глубинных ксенолитов и общему направлению мантийной дифференциации вещества. При этом гипербазиты по содержанию названных компонентов отвечают полю, где перекрываются составы шпинелевых и пироповых перидотитов, и только несколько анализов из Борусского пояса уклоняются в сторону

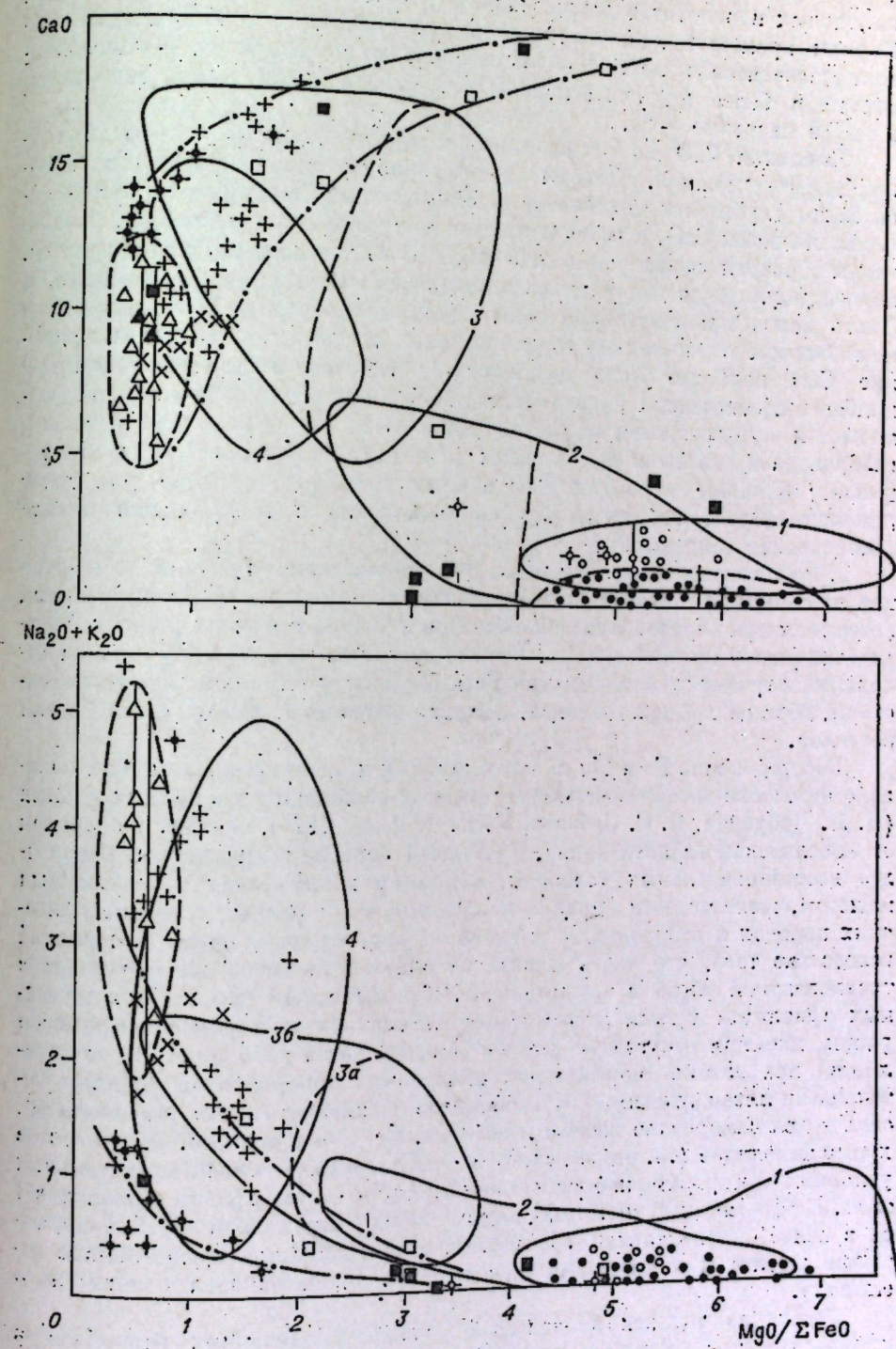
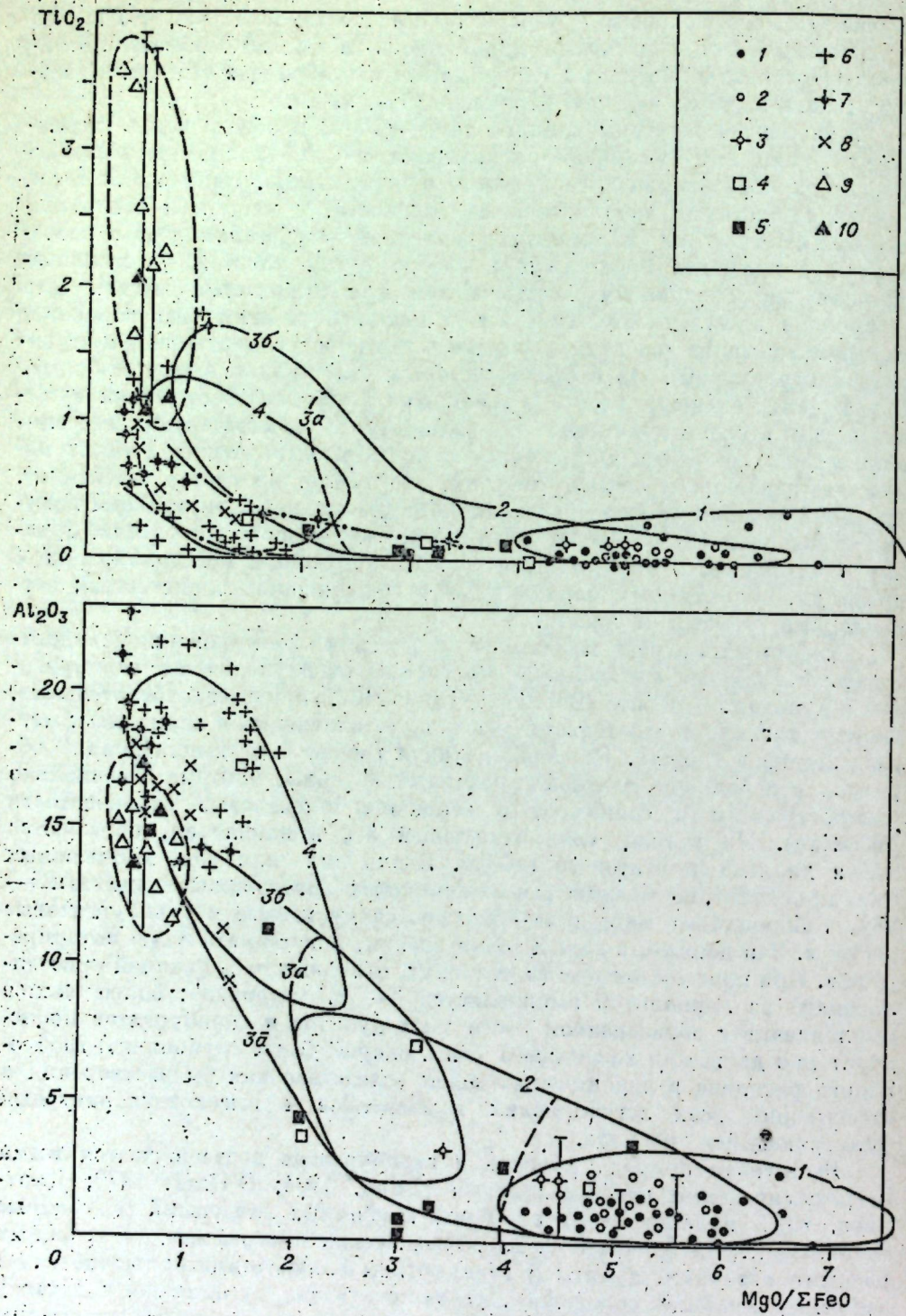


Рис. 47. Диаграммы, иллюстрирующие соотношение составов пород

1 — дуниты и гарцбургиты; 2 — лерцолиты; 3 — энстатиты и вебстериты; 4, 6 — породы переход I типа; 9 — базальты чингисинской свиты (Западный Саян); 10 — то же.

Овалы с цифрами на диаграммах — поля составов мантийных пород («Глубинные ксенолиты...»). Пунктирные линии — примерные границы полей составов; штрих-пунктир — направление диффе-

офиолитовой ассоциации (I и II типов).

Ной зоны и габбро офиолитов I типа; 5, 7 — то же, для офиолитов II типа; 8 — дайковый комплекс терешкинской и никнемонской свиты.

нтервалы средних значений.

1 — гранатовые лерцолиты; 2 — шпинелевые лерцолиты; 3 — пироксениты и гранатовые титанитистые; 4 — мантийные эклогиты.

рениации внутри габброидного комплекса по  $CaO$ ,  $TiO_2$  и  $Na_2O + K_2O$ .

широковых перidotитов (магнезиальных, но обогащенных  $TiO_2$  и  $Al_2O_3$ ). Породы промежуточной зоны и габброиды по вариациям  $TiO_2$  и сумме щелочей (относительно магнезиальности) образуют два ряда точек — менее титанистые и более щелочные породы I типа офиолитов, более титанистые и менее щелочные — II.

Вариации  $CaO$  в офиолитах не соответствуют направлению мантийной дифференциации. Породы дунит-гарцбургитовой формации относительно глубинных ксенолитов и офиолитовых лерцолитов систематически обогащены  $CaO$ , а часть пород промежуточной зоны, габбро, базальтоиды образуют на диаграмме  $CaO - MgO/\Sigma FeO$  обособленную полосу точек, перпендикулярную относительно направления мантийной дифференциации. Часть пород промежуточной зоны (дуниты и верлиты) обогащены  $CaO$  или железом относительно гарцбургитов и лерцолитов. В целом поведение  $CaO$  наиболее ярко подтверждает гипотезу о реститовой природе наиболее офиолитовых гипербазитов (особенно дунит-гарцбургитовой формации) и кумулятивном происхождении части пород переходной зоны и габброидов в условиях пониженных давлений. Габброиды I типа обнаруживают большие вариации  $CaO$  и более крутое положение ряда точек (диопсид-апортитовая тенденция) по сравнению с габброидами II типа (диопсидовая тенденция).

Кроме высокотемпературности, доказательством глубинности и участия мантийных расплавов (или флюидов) является низкий окислительный потенциал при образовании гипербазитов и габбро и при их ранних (автометаморфических) изменениях. Эту информацию можно получить на основании изучения распределения Fe и Mg между оливином и ортопироксеном, состава хромшипелидов, наличия магнетита, самородного Fe или когенита.

Распределение Fe и Mg между оливином и ортопироксеном, как показано на основе экспериментальных работ и обобщения природных данных (Н. Л. Добрецов, В. С. Соболев, Н. В. Соболев, 1974), зависит в основном от окислительного потенциала, в меньшей мере от температуры. В наиболее восстановительных условиях, например в метафитах с самородным железом, железистости оливина и ортопироксена равны, в метаморфических породах и габброидах с магнетитом ортопироксен более железистый вследствие того, что часть железа из оливина, окисляясь, переходит в трехвалентной форме в ортопироксен. Как мы видели (гл. 3—5), в изученных офиолитах I типа железистости оливина и ортопироксена примерно равны, магнетит отсутствует даже в большей части габброидов и не появляется при автометаморфических изменениях гипербазитов (рациия петельчатая лизардитизация) и габброидов (безмагнетитовые амфиболиты), отмечается самородное железо и когенит. Все эти признаки, как и состав хромшипелидов (см. ниже), свидетельствуют о сильно восстановительных условиях при формировании и ранней стадии метаморфизма офиолитов I типа. В офиолитах II типа габброиды и породы переходной зоны образуются в более окислительной обстановке, о чем свидетельствуют обилие титаномагнетита и повышенная железистость ортопироксена относительно оливина.

Одним из важных показателей условий образования гипербазитов является состав хромшипелида. Как видно из рис. 48, большинство акцессорных хромшипелидов изученных офиолитов занимают промежуточное положение между глиноземистыми шпинелями и чистыми хромитами и не содержат существенной примеси  $Fe^{+3}$  (магнетитового компонента) и  $Ti$ . Об этом говорит их концентрация в узкой полосе. Вне этой полосы располагаются «вторичные» хромиты из поля 3, обогащенного магнетитовым компонентом (до 10—12%), а также глубинные хромшипелиды из полей 7 и 8, содержащие повышенное количество  $TiO_2$  (1,5—6,0 вес. % и более). Глиноземистые шпинели 5 и 6 характерны для мантийных ксенолитов шпинелевых лерцолитов (5) и пироксенитов (6), являясь надежным инди-

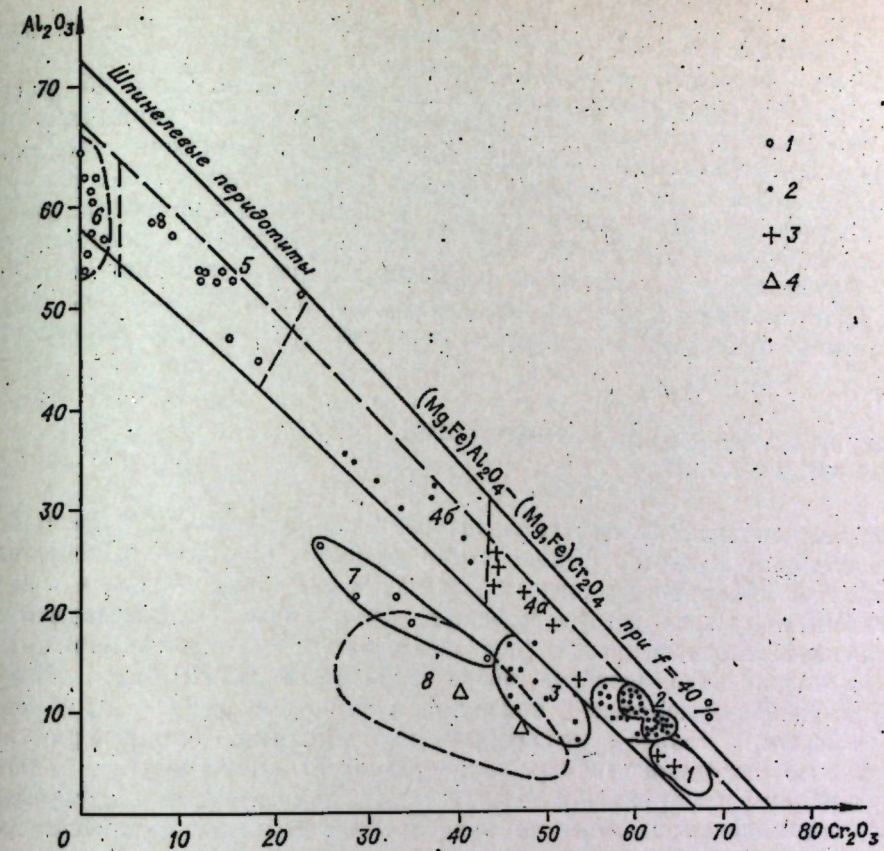


Рис. 48. Хромшипелиды из альшинотипных гипербазитов и глубинных включений.

1 — из глубинных включений в базальтах, 2 — из уральских, 3 — из западно-салкинских офиолитов, 4 — из катаклизированных перidotитов в кимберлитах; 1—8 на диаграмме — поля, см. текст.

катором фации В, или фации шпинелевых перidotитов (Глубинные ксенолиты, 1975). Вместе с Fe-Mg гранатом такие шпинели не встречаются. Хромистые шпинели, содержащие менее 40%  $Al_2O_3$ , устойчивы в широком интервале давления: от поля устойчивости алмаза (поля 1), пиропового граната (поля 4а и 7, 8) до давления менее 6 кбар, где устойчива ассоциация Ол+Аи (несколько хромшипелиды поля 3). Однако среди этих хромшипелидов устанавливаются отчетливые тенденции.

В поле алмазных хромитов (1) попадают и некоторые акцессорные хромиты из дунитов Куртшибинского хребта (см. табл. 24). Примыкающие к ним хромиты из массивных руд и дунитов Кимберсайского массива отличаются повышенной железистостью ( $f=50-70\%$  вместо 20—48% в поле 1). По-видимому, общими для всех них являются бедность среды глиноземом и высокий восстановительный потенциал (отсутствие  $Fe_2O_3$ ) при переменных  $P$  и  $T$ . Поле 1 соответствует высоким  $P$  и  $T$ , поле 2 — при заниженным и низким. Вторичные хромиты поля 3, возникающие при метаморфических и метасоматических преобразованиях дунитов и гарцбургитов, отличаются, как отмечалось, повышенной примесью  $Fe_2O_3$ . Характерно, что многие хромиты регенерированных дунитов — гарцбургитов, оклорудных дунитов и дунит-верлитов дунит-верлит-клинопироксенит-габброидного комплекса — сходны между собой и попадают в поле 3. Дальнейшее развитие метаморфизма (куммингтониты) содержит перidotиты, войкариты) и переход к пироксенитам и габбро сопровождаются появлением магнетита. Все это может свидетельствовать о сходстве условиями образования магнетита.

вий и генетической связи процессов метаморфизма, оруденения и формирования верлитов, клинопироксенитов, габбро.

Преобладающие акцессорные хромшпинелиды полей 4а и 4б могут формироваться в поле как шпинелевых, так и гранатовых перидотитов; с пироповым гранатом и при высоких температурах образуются хромшпинелиды полей 7 и 8, отличающиеся высоким содержанием  $TiO_2$ . Колебания состава хромшпинелидов в полях 4а и 4б связаны с колебаниями содержаний  $Al_2O_3$  и  $Cr_2O_3$  в породах, а также, частично, с колебаниями  $P-T$  условий. Так, хромиты в гипербазитах Западного Саяна (поле 4а) при одинаковых содержаниях  $Al_2O_3$  и  $Cr_2O_3$  в породах обеднены  $Al_2O_3$  (возможно, вследствие повышенных давлений при их формировании).

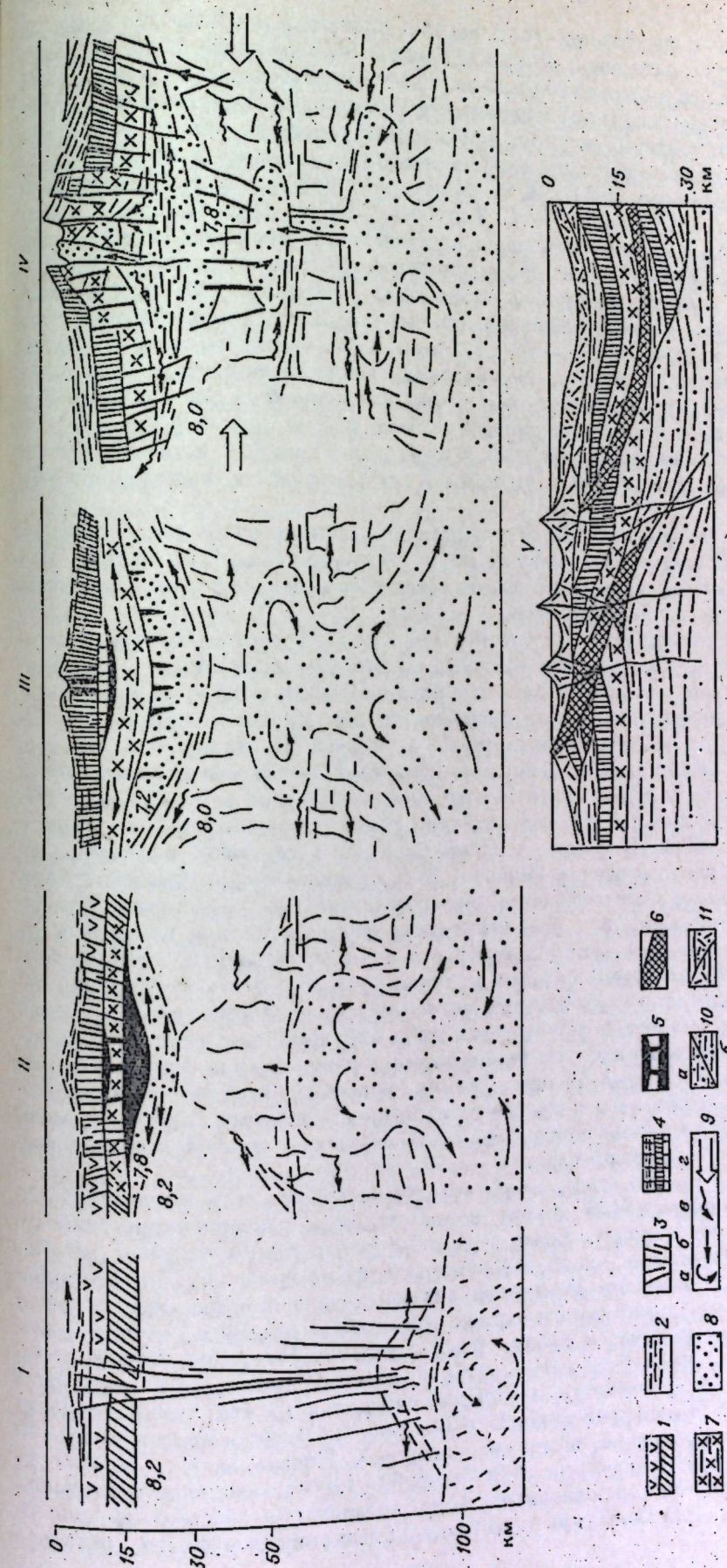
### ПРЕДЛАГАЕМАЯ МОДЕЛЬ ФОРМИРОВАНИЯ ОФИОЛИТОВ I ТИПА

На основании вышеизложенных фактов и обобщений попытаемся построить петрологическую модель формирования офиолитов. Среди выделенных трех типов офиолитов наиболее обоснованно это можно сделать сейчас для офиолитов I типа, которые содержат дайковый комплекс (доказательство непрерывного расширения), наиболее отчетливо стратифицированы и имеют, как правило, слоистые габбро эвкритового (Ca-Al) типа, причем габбро, дайковый комплекс и пиллоу-лавы слабо деформированы и метаморфизованы, и только в условиях низких давлений. Учтем также повсеместную деформированность гарцбургитового «фундамента», точнее, доказательства пластического течения в них, доказательства магматического выплавления («истощения») гарцбургитов и магматического происхождения габброидов с одновременной кумуляцией и течением кащеобразной массы.

Учет этих факторов приводит нас к ретроспективной динамической модели, схематически показанной в виде последовательных стадий I—V на рис. 49. Она близка к модели, сформулированной Канном (Cann, 1969, 1971) и использованной Варном (Varne, Rubenach, 1973) при интерпретации офиолитов о. Маккуори, относящихся к I типу (см. табл. 33), поэтому на рис. 49 профили коры I—IV показаны приблизительно такими, как в океанических островах и цепях островов (I, II) и в разных стадиях срединно-оceanического активного хребта (III, IV). Но эта модель может быть легко приспособлена и к островным дугам, выдвинутым в океан (типа Изу-Бонинской) и к центральным поднятиям рифтов. На стадии V показано начало нового этапа, когда на сдвоенной и утолщенной коре начинает развиваться дуга с андезитами нормального (курильского) типа.

В отличие от модели Канна, мы попытались увязать процессы в коре и верхней части мантии с процессами в астеносфере. Идея здесь заключается в том, что астеносфера служит главным преобразователем любых (вертикальных или иных) движений в подастеносферном слое в горизонтальные или комбинированные в астеносфере, которые сопровождаются растяжением коры. Поэтому для геологических целей достаточно моделировать системы в объеме «астеносфера — кора», тем более что подастеносферные слои геологическими методами не могут быть изучены. Общее развитие Земли определяется ее стремлением к гравитационному равновесию, и гравитационная дифференциация должна приводить преимущественно к периодическим перемещениям расплавов (блоков?) в глубоких частях мантии. Однако обсуждение этих вопросов выходит за рамки нашей дискуссии.

Любые процессы в подастеносферном слое вызывают изменение теплового потока на нижней границе астеносферы. Возрастание теплового потока приводит к утолщению астеносферного слоя частичного плавления. Если даже сначала это утолщение происходит преимущественно



вниз (при определенном соотношении кривых плавления и вариаций температуры в системе), то затем, начиная с некоторого момента, когда толщина слоя и степень плавления достигают необходимой величины для начала конвекции, конвективная составляющая приводит к росту утолщения астеносферы вверх и, кроме того, усилиению теплового потока. Дальнейшее развитие конвективной ячейки, согласно идеям и расчетам Шимозу (Shimazu, 1961), В. А. Магницкого (1965), А. А. Ярошевского (1964), В. Н. Шаранова, В. С. Голубева (1976) и других, приводит к ее усиливанию с проявлением мантии, постепенным уменьшением ее объема, изменением состава расплава, возможным отрывом от астеносферы и затуханием (это конвекционное вселывание в нашей литературе неточно было названо «зонной плавкой»). Разные стадии этого процесса в мантии показаны на рис. 52 (II—IV), при этом учтена также неоднородность состава верхней мантии и возможность возникновения дополнительных или промежуточных очагов плавления. Особенно большое значение имеет такая зона на границе коры и мантии.

Рассмотрим теперь процессы в коре и на границе с мантией, вызванные вышеизложенными событиями в астеносфере и в подастеносферном слое.

На I стадии начинается изливание глубинных слабо дифференцированных астеносферных магм — пикритов и щелочных базальтов. При дальнейшем развитии процесса эти ранние продукты и первичная океаническая кора не сохраняются.

На II стадии в результате подъема астеносферного диапира, прогрева мантии и усиления базальтового магматизма на границе коры и мантии возникает вторичный очаг габброидной магмы и происходит размягчение верхней мантии под ней (слой частичного плавления и пластического течения). Эта стадия напоминает современную стадию байкальского рифта, но возникла в условиях не континентальной, а тонкой океанической коры. Поэтому кровля вторичного очага, включая кащеобразные габброидные кумуляты, тонкая, сложена ранее излившимися базальтами и частично габбро. В условиях растяжения она трескается, и трещины непрерывно заполняются расплавом. Так начинает формироваться дайковый комплекс, нижняя граница которого срезается габброидным расплавом (или «кашой»), который непрерывно растекается под кровлей в условиях растяжения. Эти условия растяжения, создаваемые астеносферными течениями и астеносферным диапиром, реализуются в дифференциальных горизонтальных движениях во всем надастеносферном слое: холодная «корка» трескается, и формируется дайковый комплекс; расплав и кащеобразная смесь кристаллов растекаются; в размягченной верхней мантии осуществляются пластические течения, наиболее интенсивные ниже габброидного расплава и в кровле астеносферного диапира. Таким образом, уже на II стадии возникает слоистый «пирог» — зачаток будущей субслоистой офиолитовой серии.

На III стадии его формирование продолжается и достигает кульминации. Астеносферный диапир в эту стадию характеризуется наиболее высоким положением. Выше него образуется гардбургитовая мантия, из которой выплавляются все легкоплавкие компоненты. Дифференциация в астеносферном диапире и снижение давления (за счет подъема) приводят к формированию оливин-толеитового расплава, который просачивается, как через губку, через истощенный гардбургитовый слой, почти не взаимодействуя с ним. При снижении давления большую роль играет инконгруэнтность плавления минералов вблизи линий расположения пиропа и появления аортита (Соболев, 1964). Формирование оливин-толеитового расплава, по предположению Х. Иодера, может происходить в промежуточных камерах на глубинах 60—100 км, однако наличие таких камер на глубине маловероятно. Автор предполагает обоснление оливин-толеитового расплава при фильтрации высокотемпературного расплава

через пористую среду, пористость которой возрастает с увеличением степени плавления. В верхней части гардбургитовой «губки» могут внедряться габброидные дайки. В габброидном слое вследствие снижения избыточных относительно пироксен-плагиоклазовой котектики, которая формирует дайковый комплекс и покровы базальтов. Специфика их состава определяется наличием двойного сита — «гардбургитовой губки» и оливин-аортитовой «каши».

Как видно из вышеупомянутых оценок, температура расплава в гардбургитовой губке около 1450—1500°C, в «каше» снижается до 1350—1400°C, в остаточном базальтовом расплаве она составляет 1280—1300°C. Количество расплава в габброидной «каше» в общем случае невелико и зависит от соотношения скоростей фильтрации расплава из астеносферного диапира, растекания «каши» и теплоотвода (мощности кровли); как показывает опыт изучения габброидных комплексов офиолитов I типа, в них преобладают оливин-аортитовые и дюнит-аортитовые кумуляты (т. е. «каша»). Сочетание кумулятивных процессов, отделение более низкотемпературных толеитовых остатков, их кристаллизация в участках обогащения расплавом в верхней части камеры, а также в дайках, течение «каши» и пластическая деформация ранее застывших прослоев или участков (блоков) подошвы и кровли определяют сложное строение габброидного комплекса. Во внешних частях растекающегося габброидного «пирога» или на регressiveйной стадии его формирования габброидный расплав может реагировать с более холодными блоками гардбургитового «фундамента». В кровле осевого утолщения начинает формироваться рифтовая долина.

IV стадия (см. рис. 49) соответствует зрелому осевому поднятию с рифтовой долиной, которые формируются, по-видимому, вследствие начавшегося остывания и утолщения «холодной» кровли. На этой начавшейся регressiveйной стадии габброидный промежуточный очаг, или «каша», исчерпывается, и дайки базальтоидного расплава, продолжающиеся поступать из остаточных астеносферных очагов, пересекают габброидный слой. Нижележащая гардбургитовая «губка» сохраняет свою пластичность и может продолжать растекаться либо в условиях смены расширения на сжатие давать протрузии и обнажаться на океаническом дне. Такая ситуация, а также многочисленные глубоко проникающие разломы, возникающие на этой стадии, способствуют наиболее активному проникновению морской воды в глубь офиолитов и взаимодействию ее с еще горячими породами. Это приводит к ранее относительно равномерной лизардитовой серпентинизации в условиях низкого  $P_{CO_2}$  и  $P_{O_2}$ , а также псевдоморфной амфиболизации и зеленокаменному изменению габбро, дайкового комплекса и части базальтоидов. Максимум этих изменений, естественно, приходится на контакты гипербазитов и габбро, дайкового комплекса с габброидами или вышележащими базальтоидами, вдоль которых уже в это время начинают формироваться межформационные срывы.

Проникновение даек габбро и диабазов в уже серпентинизированные гардбургиты и измененные габброиды вызывает их дегидратацию и зональный метаморфизм с формированием регенерированных свежих или (?) амфиболизированных перidotитов, жил пироксенитов и т. д. Однако процессы метаморфизма могут сопровождать весь цикл формирования офиолитов и продолжаться при вторичных тектонических перемещениях и надвигах (стадия V). Поэтому расшифровать всю историю метаморфических преобразований оказывается очень трудно (см. дискуссию и гл. 4). Единственное, на чем, пожалуй, можно настаивать, — главным источником воды при метаморфизме не может быть сама магма (ее высокотемпературность указывает на ее сухость). Остается допустить, что это морская вода, проникающая на стадии рифтообразования и протрузий в офиолиты (стадия IV), или вода из вмещающих пород (стадия V).

Дальнейшее сжатие (стадия V) приводит к крупным надвигам и тектоническому скучиванию, вследствие которых разрезы офиолитов выводятся на дневную поверхность, мощность коры увеличивается, и она переходит к качественно новому этапу развития. На этой стадии формируются зоны меланжа, рассланцевания в серпентинитах, а также, вероятно, позднотемпературные метаморфические зоны типа войкаритов в глубинных частях надвигов. Сама смена расширения на сжатие фиксируется на основании геологических наблюдений и тектонических реконструкций. В пределах предложенной модели она определяется остыанием, уменьшением и исчезновением астеносферного диапира, что может быть одновременным с ростом такого диапира в соседней зоне. Неравномерные усиления и ослабления теплового потока в подастеносферном слое и медленные течения в его пределах в общем случае приводят к чередующимся разогреванию (расширению) и охлаждению (сжатию) в даниом участке коры. Конкретные следствия и тектонический их механизм зависят от длительности и мощности этих процессов, а также от состояния, мощности коры и истощенности верхней мантии, достигнутых к соответствующему моменту. Формирование мощных офиолитов I типа возможно лишь в условиях тонкой океанической коры и неистощенной мантии. Модели формирования офиолитов II и III типов должны быть обсуждены отдельно, но в настоящее время для этого данных недостаточно.

Предложенная модель по необходимости изложена схематически и кратко. Дальнейшие исследования должны быть направлены на количественную проверку ее, улучшение и модификацию с увязкой в единую систему глобальной петрологии на основе данных по глубинным ксенолитам, метаморфизму, магматизму, а также геофизики и сравнительной планетологии.

### ГЛАУКОФАН-СЛАНЦЕВЫЕ ПОЯСА И III ТИП ОФИОЛИТОВ

В III типе офиолитов, которые выделены выше в табл. 33 и 34, базальтовый член разреза, как правило, метаморфизован в глаукофан-сланцевой фации, габброиды превращены в эклогиты или эклогитоподобные породы, а гипербазиты — в пироповые перидотиты или серпентиниты, содержащие нередко тела эклогитов, жадеитовых пород и т. д. К этому типу, как отмечалось, относится метаофиолитовая формация западной метаморфической полосы Полярного Урала, а также часть пород максютовского комплекса на Южном Урале (Добрецов, 1974а). Из этих двух примеров, как и в других аналогичных случаях в Калифорнии, Японии, Новой Кaledонии, Альпах и других местах, хорошо видно, что породы III типа офиолитов отличаются не только по степени метаморфизма, но и по составу (Добрецов, 1974а, б; Miyashiro, 1975). Метабазальты наиболее высокотитанистые и натровые, с переменной железистостью, по составу варьируют от щелочных базальтов до толеитов гавайского типа (титанистых, но магнезиальных); как правило, они отличаются от I типа, хотя и обнаруживают переходы ко II. Для них особенно характерны реликты титанавгита. Метагаббро (эклогиты, эклогитоподобные породы) — экстремально титанистые и железистые (см., например, табл. 21).

Глаукофановые толщи, конечно, не сводятся к офиолитам III типа. Последние составляют только часть глаукофан-сланцевых поясов. Например, в максютовском комплексе — это только 15—20% объема толщи, в пояссе Сарабогава метаофиолитовые комплексы Хигаши-Акаиши и Мицуби составляют тоже около 15—20% и т. д. Во многих глаукофан-сланцевых поясах эклогиты и гипербазиты отсутствуют, сохраняются только метабазальты и кремнистые породы, которые можно сопоставлять с базальтоидной частью офиолитов. Даже в тех глаукофан-сланцевых поясах,

где имеются все три компонента офиолитов (гипербазиты, метагаббро и метабазальты), не нарушенные «разрезы» и прямые доказательства субслоистого строения офиолитов отсутствуют.

Однако и в этих случаях авторы полагают, что офиолиты (особенно гипербазиты и эклогиты) представляют «фундамент» тех толщ, которые затем подверглись глаукофановому метаморфизму. Эти толщи характеризуются специфическими особенностями состава и строения (преобладание плохослоистых базальтоидных граувакк и туфов, наличие кремнистых пород и метабазальтов океанического типа, отсутствие ритмичных чередований и т. д.); в соответствии с этими особенностями они, возможно, отлагались в глубоководных желобах, заполнявшихся осадками вследствие продольных течений, как это наблюдалось и в некоторых современных желобах (Scholl e. a., 1970; Bogdanov, 1973). Литология таких толщ наиболее детально изучена в Калифорнии (Bailey e. a., 1964; Sinha, Davis, 1971; и др.); вывод об отложении здесь осадков в глубоководных океанических желобах выглядит наиболее правдоподобным.

Для офиолитов III типа и ассоциирующихся глаукофан-сланцевых толщ характерны высокобарические ассоциации — пироповые перидотиты, эклогиты (в том числе с дистеном), лавсонит-глаукофановые сланцы (в том числе ассоциации с жадеитом и кварцем). Оценки давлений во всех этих породах (Добрецов, 1974а) достигают примерно одинаковой величины — 12—14 кбар, хотя температура колеблется в широких пределах (см. рис. 46, III). На составах разных глаукофан-сланцевых толщ сильно отражены окислительно-восстановительные условия (рис. 50), а также величина давления и характер метаморфической зональности (рис. 51).

В изученных глаукофан-сланцевых толщах Полярного Урала и Западного Саяна условия метаморфизма оказались сходными. Ряд натровых амфиболов (см. рис. 50) занимает промежуточное положение между рядом глаукофан — рибекит, характерным для Пензинского пояса и Калифорнии, и рядом ферроглаукофан-магнезиорибекит, характерным для пояса Сарабогава и других толщ, богатых графитистыми сланцами. Судя по распространению гематита и других окислов, первый ряд возникает в окислительных условиях, второй — в восстановительных. В изученных толщах Полярного Урала и Западного Саяна характерны промежуточные условия. По давлению условия метаморфизма также промежуточные — 8—10 кбар (см. гл. 4 и 6), в частности, поле устойчивости жадеита с кварцем не достигается. Зональность неотчетливая, возможно, близка к стрелке «и» на рис. 51, только на участке рек Акол и Урбун закартирована метаморфическая зональность, сходная с пензинским типом (стрелка «п» на рис. 51).

Специфический метаморфизм (высокие давления при низких температурах) в настоящее время чаще всего объясняется в рамках модели

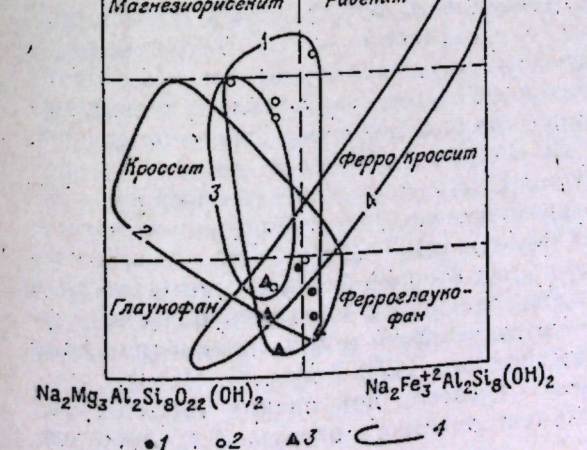


Рис. 50. Глаукофани из глаукофан-сланцевых толщ офиолитовых поясов.

Западный Сайн: 1 — лавсонит-глаукофановая зона, 2 — глаукофан-сланцевая; 3 — Пензинский Урал; 4 — пояс глаукофана из толщ Западного Саяна и Полярного Урала (1), Сарабогава (2), Южного Тиань-Шаня (3), Пензинского (4).

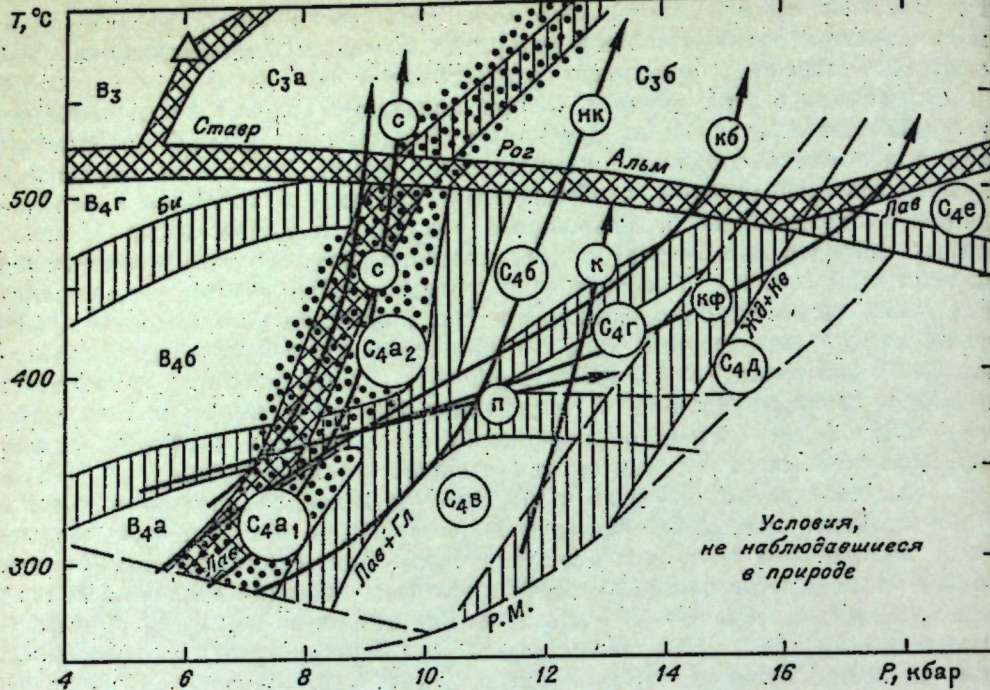


Рис. 51. Схема субфаций зеленосланцевой ( $B_4$ - $a$ — $g$ ) и глаукофан-сланцевой ( $C_4$ - $a$ — $e$ ) фаций.

Р. М. — вероятная низкотемпературная граница регионального метаморфизма.  $C_3$  $a$  и  $C_3$  $b$  — пограничные фации. Типы зональности, показанные стрелками: с — сусунайский, ии — новокаледонийский, иб — Коту-Бизань, Санбогава, п — пекинский, кф — калифорнийский,  $\Delta$  — тройная точка амандолит — дистен — силиманит. Точками показаны переходные условия между фациями  $B_4$  и  $C_4$ , штриховкой — границы фаций и субфаций.

субдукции. Осадки желоба вместе с прилегающими океаническими осадками затягиваются на глубину по мере погружения океанической литосферной плиты под островодужную (или континентальную) кору вдоль зоны глубокофокусных землетрясений — зоны Бениоффа — Заварецкого. Быстрые погружения со скоростью 4—12 см в год обеспечивают низкие температуры (плита не успевает прогреться) и высокие давления (10—12 кбар достигаются на глубине 40—60 км). На большей глубине или при большей скорости нагрева базальты и габброиды превращаются в эклогиты, которые, благодаря своему высокому удельному весу, способствуют погружению литосферной плиты, а их плавление при дальнейшем погружении (на глубинах 100—120 км) обеспечивает андезитовый вулканализм островных дуг. С разными вариациями эта модель принимается сейчас большинством сторонников глобальной тектоники (Ernst, 1970; Ernst e. a., 1970; Miyashiro, 1967, 1972; Dewey, Bird, 1970; Ушаков, 1974; и др.).

Согласно другому варианту, глаукофановые сланцы образуются во время «обдукции» (надвигания) пластин со стороны континента в сторону желоба или «обдукции» двух океанических плит, а высокие давления возникают вследствие чисто тектонических причин под сложной поверхностью надвига (Bailey e. a., 1970; Coleman, 1971).

Возникли и более сложные варианты с участием субдукции — обдукции. Например, для Альп предположена очень быстрая последовательность субдукции и обдукции (в течение 10—12 млн. лет) с выведением на втором этапе жадеит-глаукофановых сланцев близко к поверхности и сменой термодинамического режима, что может объяснить полиметаморфический характер этих сланцев и сохранность в них высокобарических ассоциаций (Dal Piaz e. a., 1972; Hunziker, 1974; Frey e. a., 1974).

Во всех этих моделях высокое давление при низких температурах создается за счет либо быстрого тектонического погружения, либо тек-

тонического стресса при надвигах, либо комбинации обеих причин. Обе причины остаются умозрительными и противоречат целому ряду фактов. К их числу относятся слабая деформированность многих толщ с высокобарическими ассоциациями (недеформированные миндалины и кристаллы плагиоклаза, замещенные Жд + Кв; жилы с радиально-лучистым жадеитом; массивные породы с неориентированными кристаллами и первичными структурами); несоответствие метаморфической зональности контурам предполагаемой плиты или поверхности надвига; полиметаморфический характер глаукофан-сланцевых толщ и донадвиговое образование глаукофановых сланцев. Последнее хорошо видно и в изученных поясах Полярного Урала и Западного Саяна: глаукофановые сланцы отделены от вышележащих тектонических пластин зонами диафторитов и нередко сохраняются в диафторитах только в виде реликтов; характер и зональность метаморфизма в вышележащих пластинах не соответствуют таковым в нижележащих глаукофановых блоках глаукофановых сланцев, эклогитов и жадеитовых пород присутствуют в меланже и т. д.

Поэтому автору кажется более приемлемой модель, в которой главная роль отводится флюидному буферному сверхдавлению, возникающему при быстрой дегидратации предварительно спилитизированных (зеленокаменноизмененных) толщ (Добрецов, 1974а, 1975; Dobretsov, Slobolev, 1975). В этом случае устраются противоречия, связанные с особым характером деформированности глаукофан-сланцевых толщ, поскольку рассланцовка и интенсивные деформации прекращают действие буферного флюидного сверхдавления. Во-вторых сохраняется эмпирическая трактовка глаукофановых поясов как корневых частей древних океанических желобов. Именно в корневых частях таких желобов создаются наиболее благоприятные условия для механизма буферного флюидного сверхдавления: глубоководные условия обеспечивают образование хлорита, пумпеллиита и других высоководных минералов во время осадконакопления и вулканизма (на глубинах менее 4 км паровая подушка препятствует реакции с морской водой); быстрый прогрев под довольно мощной покрышкой осадков ( $\pm$  надвиги офиолитов) обеспечивает буферный флюидный режим; последующая быстрая субдукция и надвиги обуславливают «закалку» и сохранность высокобарических ассоциаций. В-третьих, становится понятной тесная ассоциация глаукофан-сланцевых толщ с офиолитами III типа, в которых эклогиты и гранатовые перидотиты не обнаруживаются заметной ориентировкой, различных высокобарических минералов и отличаются по составу от других офиолитов.

Как мы отмечали, офиолиты III типа могут представлять фундамент глубоководных желобов, в котором ассоциации высоких давлений возникли *in situ* до деформаций и надвигов; высокие давления создавались частично в связи с залеганием на глубине 10—15 км, частично за счет флюидного сверхдавления в покрытии метаморфизуемых осадков и базальтов.

Мы заметили здесь контуры проблемы, связанный с глаукофан-сланцевыми поясами и офиолитами III типа. Механизм возникновения буферного флюидного сверхдавления, приведенный в цитированных выше работах, требует дальнейшего обсуждения и количественных расчетов. Необходимо также более детальное изучение офиолитов II и III типов, структуры и термобарометрии глаукофан-сланцевых поясов и т. д.

Таким образом, главной задачей настоящей главы, завершающей коллективную монографию, явились эмпирическое обобщение и предварительная систематизация накопленного материала, в частности, типизация офиолитов с тем, чтобы заметить на качественном уровне условия и модели их формирования и перейти в дальнейшем к количественной их оценке.

## CONCLUSION

Two ophiolitic belts, Khadatinsk (northern) and Voikar-Sun'insk (southern) have been delineated in the Arctic Urals (fig. 1), extending to more than 600 km. Two types of rock associations were found to occur in the belt areas. The greater part of ophiolites represents the well stratified rock sequence (dunites and harzburgites; banded dunite-pyroxenite-gabbro, partly altered to amphibolite; dykes-diabase complex; tonalites and plagiogranites). The green-rocks of Ordovician — Lower Devonian depressions (Shchuchinsk in the north, Voikarsk in the south) are underlain by the rock sequence of ophiolites. Another (western) part of ophiolites is distinguished by a complex structural and compositional relations being associated with the metamorphic rock series, which (in the Marunkeu and Kharbey anticlinorium) belongs to the Precambrian basement of the Paleozoic miogeosyncline (tables 1, 2). The eclogite-glaucophane-schist belt may be traced here.

The Khadatinsk belt comprises 4 massifs. The ultramafic rocks (harzburgite-lehrzomite, dunite-harzburgite, transitional dunite-pyroxenite association (table 3)) have been found in the largest Syum-Kjeu Massif as well as Malyk complex of gabbro-gneisses with lenses of spinel and garnet-bearing ultrabasic rocks (figs. 4—8). The early stage of metamorphism of the Malyk complex corresponds to granulite facies, while the later ones correspond to epidote-amphibolite (blue-green hornblende, garnet, zoisite) and greenschist facies. The green rocks of Shchuchinsk synclinorium are underlain by the Malyk complex. The ultramafic rock plate (1.0—1.5 km thick) was overthrusted on the metamorphic rock series including the eclogite-bearing Marun-Kjeu and glaucophane Njaroveisk Formations (figs. 2, 3).

The Rai-Iz Massif (380 sq. km) and Voikar-Syn'insk Massif (2100 sq. km) of ultramafics are the largest of the Voikar-Syn'insk Belt. The Rai-Iz Massif (fig. 9) described earlier by A. N. Zavaritsky (1932) has tectonic contacts: these are thrust over in the north with serpentinite melange zone (fig. 10) containing the plates of glaucophane schists and blocks of jadeitites, pyrope pyroxenites, rhodingites, etc. The time sequence of the rock origin is as follows: a) latticed-banded dunite-harzburgite association with coarse-grained dunites (table 4, fig. 12), b) banded dunite-clinopyroxenite-gabbro complex (fig. 13), c) deformed and amphibolized gabbroids (figs. 14, 15) associated with the zone of later metamorphism (secondary harzburgites, enstatite and corundum rock bodies (figs. 16—18)); d) an-

tihoritized harzburgites. Dunitic rocks, accessory and ore chromites are in abundance here as compared to Khadatinsk belt area.

The ophiolitic rocks of Voikar-Syn'insk Massif make up 3 largescale nappes (fig. 19). These are underlain by the nappes composed of metamorphosed schists and volcanic sedimentary rock series of Ordovician-Devonian. The lowermost metagabbroic rocks, metamorphic schists and Paleozoic rocks have tectonic contacts. The gabbro from the western nappe differ from eastern ones (fig. 20, table 5).

The sequence of ophiolitic origin of the upper nappe is as follows: a) formation of deformed harzburgites («restites») (figs. 21, 22, table 5); b) the banded rock complex and gabbroic rocks; c) early metamorphism of gabbroids and harzburgites (figs. 23, 26) terminating by the total serpentinitization, d) formation of parallel diabase dyke complex, e) regional metamorphism possibly associated with the deep-seated overthrusting to generate plagiogranites and tonalites. The compositional peculiarities and the properties of ultrabasites and gabbroic rocks are specified by the profiling (fig. 25, tables 6—8).

By the general petrographic and mineralogical description, the ophiolitic rocks may be subdivided into the following groups: 1) dunite-harzburgitic association (tables 10—14, figs. 26—28): harzburgites, dunites and metamorphic rocks (pegmatoidal dunites, secondary harzburgites (table 15), cummingtonite-bearing harzburgites, antihorite-olivine schists (table 16); 2) dunite-wehrlite-clinopyroxenite-gabbro rock series, including the transitional banded rock series and gabbro of eucritic type, rare troctolites and anorthosites, 3) gabbro-diabase dykes and plagiogranitic-tonalitic rock series (in the Voikar-Syn'insk Massif); 4) dunite-lherzolite-websterite-metagabbro-norite association (Malyk complex, tables 17, 18); metagabbro from Khul'ginsk nappe (table 19); metasomatic jadeitites, vesuvianites, etc. (table 20, fig. 29); 5) western metamorphic belt and eclogite-bearing Precambrian metaophiolite association (figs. 30, 31, table 21). The discussion on the genesis of these associations includes three different hypotheses, which are reported at the concluding part of Chapters 4.

In West Sayan area ophiolitic rocks form three belts: North Sayanian, Borus and Kurtushibinsk (fig. 32). These comprise the Dzebash metamorphics and ophiolitic series of the Upper Precambrian age as well as volcanic-flyschoid rock series of Cambrian age. Three zones were distinguished in the Kurtushibinsk Belt: the main ophiolite body, metabasite Chinginsk Formation with lenses of melange, and metamorphic schists with a discontinuous glaucophane-schists belt (figs. 33—35). The full ophiolite section may be seen in the main body (fig. 36, tables 23, 24): a) dunite-harzburgite association, b) transitional pyroxenite zone of brecciated-banded structure (fig. 37), c) banded-tacsite eucritic gabbroids of variable amphibolitization, d) gabbro-diabase dyke complex. The peculiarities in serpentinitization (according to the  $\text{CO}_2$  potential) are compared with generation of rhodingites and prehnitic metagabbroic rocks. Metabasites, metagrauwackes and siliceous rocks of Chinginsk Formation (table 25) terminate ophiolitic section being overlain by the Lower Cambrian rocks with disconformity. The generation of ophilitic rocks was probably synchronous with the meta-

morphic schists of the Precambrian age of the greenschist (table 26) and glaucophane schist facies, among which one finds the zonal rock complex of Akol river (fig. 40, tables 27–29).

The Borus ophiolitic belt (fig. 41) has undergone more tectonical reworking. The main ophiolite plate is composed presumably of ultrabasites: banded dunite-enstatite-harzburgite association, also lherzolites (tables 30, 31), variable serpentinites and cummingtonite-bearing rocks with metamorphic zonation (fig. 42). The small isolated bodies of gabbro-amphibolites are present. In the area of melange (figs. 43, 44) and tectonic zones inside the ultrabasics there occur jadeite rocks and garnet amphibolites. The main ophiolite plate is underlain by a siliceous-metabasitic rock series (Chinginsk Formation) and metamorphic schists of Precambrian Dzebach rock series (table 32).

The genesis of ophiolitic rocks is discussed in Chapter 7: their sublaminar structure and typical sections as well as the nappe-like occurrence as a contrast to the model of vertical intrusions of the ultramafics and gabbroid rocks in the «deep fault» zones; the formation of the ultramafic tectonites as compared to Lantz Massif (fig. 45); some of the structural unconformities and heterogeneity of various members of ophiolitic «section».

Based on the melt inclusion studies in gabbro and two-pyroxene data (table 36) is the evidence on the participation of high-temperature magmatic melt in generation of ultrabasites and gabbro of ophiolite series. The restite nature of dunites and harzburgites has been petrochemically confirmed (fig. 47) as well as by peculiarities in the chromespinelide compositions (fig. 48). Three types of ophiolitic rocks delineated by various authors (Dobretsov, 1974; Miyashiro, 1975; Rocci e. a., 1975) (tables 33–35, fig. 46) are correlated with ophiolites from the Arctic Urals and West Sayan area.

A hypothetical model for generation of most widespread ophiolitic rocks of the I-st type (fig. 49) is suggested for the zones of the oceanic crust spreading. Some hypotheses are concerned with the genesis of glaucophane-schist belts and ophiolite rocks of the III-rd type (figs. 50, 51).

## ЛИТЕРАТУРА

- Алешков А. И. Дунито-перидотитовые массивы Полярного Урала.— В кн.: Материалы Комиссии экспедиционных исследований АН СССР. Вып. 18. М., 1929. 120 с.
- Бакуменко И. Г., Добретцов И. Л. Магматическое происхождение оphiолитовых габбро.— «Докл. АН СССР», 1976, т. 230, № 6, с. 1425–1428.
- Белоусов А. Ф., Добретцов И. Л., Додонова Т. А., Филатова Л. И., Антонюк Р. И., Захаров И. Л., Полякова З. Г. Вулканогенные ассоциации докембрия Урало-Монгольской провинции. Новосибирск, «Наука», 1976. 90 с.
- Блейк М. К., Джонс Д. Л. Происхождение францисканского меланжа Северной Калифорнии.— «Геотектоника», 1974, № 6, с. 15–28.
- Богданов И. А. Палеозойские геосинклинали обрамления Тихого океана. М., «Наука», 1975. 259 с.
- Буртман В. Б., Молдаванцев Ю. Е., Перфильев А. С., Шульц С. С. (мл.). Океаническая кора варисцид Урала и Тянь-Шаня.— «Сов. геология», 1974, № 3, с. 23–36.
- Бутин В. В. Зависимость химического состава амфиболов метаморфических пород Харбейского антиклиниория от термодинамического режима метаморфизма.— В кн.: Геология метаморфических комплексов Урала. Вып. 108 (III). Свердловск, 1974, с. 137–149.
- Бутин В. В. Метаморфизм гипербазитов зоны глубинного разлома восточного ограничения Харбейского антиклиниория.— В кн.: Геология метаморфических комплексов Урала. Вып. 110. Свердловск, 1975, с. 74–79.
- Васильев Ю. Р. Специфика вещественного состава и петрогенезис ультраосновных пород севера Сибирской платформы.— «Геол. и геофизика», 1975, № 11, с. 65–73.
- Велинский В. В. Кембрейский вулканализм Западного Саяна. Новосибирск, «Наука», 1968. 154 с.
- Велинский В. В. Алмапотинные гипербазиты переходных зон океан–континент. Новосибирск, «Наука», 1978. 250 с.
- Виноградская В. М. Дунит-пегматиты ультраосновной формации на Урале.— «Докл. АН СССР», 1959, т. 97, № 5, с. 899–902.
- Виноградская В. М. Некоторые жильные образования Войкаро-Сынгинского перidotитового массива на Урале.— В кн.: Минералогический сборник. Л., 1961, вып. 45, № 2, с. 15–36.
- Вистенius А. Б. Мера связи между членами парагенезиса и метод ее изучения. «Зап. ВМО», 1948, ч. 77, вып. 2, с. 147–155.
- Войновский-Кригер К. Г. Каменноугольные отложения Лемвийской фациально-структурной зоны. «Бюл. МОИП», 1933, т. 38 № 2, с. 19–24.
- Войновский-Кригер К. Г. Диаг комплекса палеозоя на западном склоне Полярного Урала.— «Сов. геология», 1945, № 6, с. 5–14.
- Войновский-Кригер К. Г. Очерки тектоники Лемвийской фациально-структурной зоны (западный склон Полярного Урала).— «Бюл. МОИП», 1967, т. 42, вып. 3, с. 5–26.
- Волков С. И. Эйфельские конгломераты восточного склона Приполярного Урала.— В кн.: Материалы ВСЕГЕИ. Общая серия. Вып. 8. М., 1948, с. 73–87.
- Волков С. И. Средний палеозой северной окраины Нижне-Тагильского синклиниория.— В кн.: Труды геологического музея АН СССР. Вып. IV. М.–Л., Изд-во АН СССР, 1960, с. 89–93.
- Волович Е. В., Дембовский В. И. Хараматолууский разлом.— В кн.: Материалы по геологии и полезным ископаемым Северо-Востока европейской части СССР. Сб. 7. Сыктывкар, 1972, с. 210–214.
- Воробьева О. А., Самойлова И. В., Свешникова Е. В. Габбро-широксенит-дунитовый пояс Среднего Урала. М., Изд-во АН СССР, 1962. 319 с.
- Глубинные ксенолиты и верхняяmantия. Новосибирск, «Наука», 1975. 271 с.
- Дергунов А. Б., Ефимов А. А., Молдаванцев Е. Ю., Перфильев А. С., Савельева Г. И., Савельев А. А. Основные черты строения и структурное положение габбро-гипербазитовых массивов Полярного Урала.— В кн.: Магматизм, метаморфизм и оруденение в геологической истории Урала. Вып. 2. Свердловск, 1974, с. 10–13.

- Дергунов А. Б., Казак А. П., Молдаванцев Ю. Е. Серпентинитовый меланж и структурное положение гипербазитов массива Рай-Из (Полярный Урал). — «Геотектоника», 1975, № 1, с. 28—34.
- Де Ровер В. П. Некоторые проблемы образования глаукофана и лавсонита. — В кн.: Проблемы петрологии и генетической минералогии. М., «Наука», 1970, с. 41—53.
- Дмитриев Л. В. Геохимия и петрология коренных пород срединных океанических хребтов. Автореф. докт. дис. М., 1973. 43 с.
- Добрецов Н. Л. О пределах смесимости средних составов жадеитовых широксенинов. — «Докл. АН СССР», 1962, т. 146, № 3, с. 676—679.
- Добрецов Н. Л. Минералогия, петрография и генезис гипербазитов, жадеитов и альбитов хр. Борус (Западный Саян). — В кн.: Материалы по генетической и экспериментальной минералогии. Вып. 15. Новосибирск, 1963, с. 242—316.
- Добрецов Н. Л. Жадеитовые породы как индикаторы высоких давлений в земной коре. — В кн.: Петрографические формации и проблемы петрогенезиса. М., «Наука», 1964а, с. 137—150.
- Добрецов Н. Л. К проблеме генезиса гипербазитов. — «Геол. и геофизика», 1964б, № 3, с. 3—20.
- Добрецов Н. Л. Глаукофансланцевые и эклогит-глаукофансланцевые комплексы СССР. Новосибирск, «Наука», 1974а. 429 с.
- Добрецов Н. Л. Глаукофауновый метаморфизм и три типа офиолитовых комплексов. — «Докл. АН СССР», 1974б, т. 216, № 6, с. 1383—1386.
- Добрецов Н. Л. Пetroхимические особенности океанических и радиогеосинклинальных базальтов. — «Геол. и геофизика», 1975, № 2, с. 11—25.
- Добрецов Н. Л., Лаврентьев Ю. Г., Пономарева Л. Г., Поспелова Л. И. Особенности минералогии глаукофановых сланцев Пензенского пояса. — «Геол. и геофизика», 1973, № 8, с. 25—35.
- Добрецов Н. Л., Лепезин Г. Г., Пушкинская О. С. Глаукофаповые сланцы Алтай-Саянской области. — «Докл. АН СССР», 1972, т. 206, № 1, с. 200—203.
- Добрецов Н. Л., Пономарева Л. Г. Парагенетические типы и зависимости состава метаморфических цирконастов от состава и условий образования вмещающих их пород. — «Сов. геология», 1964, № 12, с. 39—57.
- Добрецов Н. Л., Пономарева Л. Г. Сравнительная характеристика полярноуральских и прибалханских жадеитовых и ассоциирующихся с ними пород. — В кн.: Материалы по генетической и экспериментальной минералогии. Вып. 31. Новосибирск, «Наука», 1965, с. 178—244.
- Добрецов Н. Л., Пономарева Л. Г. Офиолиты и ассоциирующие глаукофаповые сланцы Куртшшибинского хребта (Западный Саян). — «Геол. и геофизика», 1976, № 2, с. 40—53.
- Добрецов Н. Л., Соболев В. С., Соболев Н. В. Фации регионального метаморфизма высоких давлений. М., «Недра», 1974. 328 с.
- Еремеев В. П., Мерников Б. Я., Петров В. П., Соколова А. А. Хризотил-асбестовые месторождения как одна из форм kontaktового взаимодействия гранитоидов на ультраосновные породы. — В кн.: Труды ИГЕМ АН СССР. Вып. 31. М., 1969, с. 127—133.
- Еремеев В. П., Павлов Н. В., Сибилев А. К. Хромитовая минерализация гипербазитовых полей Тувы. — «Изв. АН СССР. Серия геол.», 1968, № 6, с. 45—56.
- Еремеев В. П., Сибилев А. К. Иджимский гипербазитовый pluton (Западный Саян). — «Изв. АН СССР. Серия геол.», 1969, № 8, с. 14—24.
- Еремеев В. П., Сибилев А. К. Серпентинизация в Иджимском гипербазитовом plutone и место самородного ортогоита и маухерита в этом процессе. — «Изв. АН СССР. Серия геол.», 1970, № 6, с. 91—100.
- Еремеев В. П., Сибилев А. К. Саяно-Тувинский гипербазитовый пояс и связанная с ним металлогения. — В кн.: Актуальные вопросы современной петрологии. М., «Наука», 1974, с. 340—343.
- Ефимов А. А. Об основных мигматитах (кытымитах) Кытымского платиноносного массива. — «Сов. геология», 1963, № 2, с. 45—57.
- Ефимов А. А., Ефимова Л. П. Кытымский платиноносный массив. М., «Недра», 1967, 336 с.
- Ефимов А. А., Ефимова Л. П. Степень равновесности габброидных пород и ее генетическое значение. — В кн.: Магматические формации, метаморфизм, металлогения Урала. Т. 2. Свердловск, 1969.
- Ефимов А. А., Царицян Е. И. Образование трапповых амфиболитов по оливиновым габброидам в контактовой зоне Кимберайского гипербазитового массива. — В кн.: Геология метаморфических комплексов Урала. Вып. 116. Свердловск, 1975, с. 26—35.
- Заварицкий А. Н. Перидотитовый массив Рай-Из в Полярном Урале. М., ГОНТ ГРИ, 1932. 221 с.
- Зайков В. В., Зайкова Е. В. О возрасте актовракского комплекса и перерыве в нижнем кембрии Тувы. — «Геол. и геофизика», 1969, № 7, с. 121—125.
- Зимин С. С. Парагенезисы офиолитов и верхняя мантия. М., «Наука», 1973. 251 с.
- Зоненштайн Л. П. Тектоника Западного Саяна. М., Госгеолтехиздат, 1963. 112 с.
- Иванов С. Н., Ефимова А. А., Молдаванцев Ю. Е. К происхождению офиолитов Урала. — В кн.: Симпозиум «Офиолиты в земной коре». М., «Наука», 1973, с. 49—53.
- Исааков В. М. Западный Саян в позднем рифе — раннем кембрии. Автореф. канд. дис. Томск, 1974. 23 с.
- Исааков В. М., Коробейников В. П. Разрезы докембра и кембра Борусского грабен-синклиниория в Западном Саяне. — В кн.: Труды СНИИГГиМСа. Вып. 84. Новосибирск, 1969, с. 71—87.
- Исааков В. М., Коробейников В. П. Новые данные о стратиграфии древних толщ Новосибирск, 1970, с. 63—81.
- Казак А. П. К вопросу о природе некоторых гранулитов Колского полуострова. — В кн.: Проблемы геологии докембра Балтийского щита и покрова Русской платформы. — В кн.: Труды ВСЕГЕИ. Т. 175. М., «Недра», 1971, с. 187—198.
- Казак А. П., Добрецов Н. Л., Молдаванцев Ю. Е. Глаукофановые сланцы, жадеиты, нефриты, везувианиты массива Рай-Из на Полярном Урале. — «Геол. и геофизика», 1976, № 2, с. 60—66.
- Казаков И. И. Очерк геологического строения Западного Саяна. — В кн.: Материалы по региональной геологии Алтая-Саянской складчатой области. Т. 58. М., Госгеолтехиздат, 1961, с. 61—104.
- Кашинцев Г. Л., Кузнецов И. Е. Генетические типы хромитовых руд ультраосновного массива Рай-Из на Полярном Урале. — «Геол. руды. месторожд.», 1973, т. XV, № 5, с. 99—104.
- Кашинцев Г. Л., Кузнецов И. Е., Рудник Г. Б. Некоторые аспекты генезиса ультрабазитов Урала (на примере массива Рай-Из). — В кн.: Тезисы докладов V научной конференции геологического факультета МГУ. М., 1970, с. 28—29.
- Кашинцев Г. Л., Кузнецов И. Е., Рудник Г. Б. О механизме формирования альбиноитовых гипербазитовых plutонов (автореф. докл.). — «Бюл. МОИП», 1970, т. 45, вып. 3, с. 143.
- Кашинцев Г. Л., Кузнецов И. Е., Рудник Г. Б. Типы пространственной ориентировки оливинов в гипербазитах массива Рай-Из (Полярный Урал). — «Вестн. Моск. гос. ун-та», 1971, № 2, с. 105—109.
- Кашинцев Г. Л., Кузнецов И. Е., Рудник Г. Б. Закономерности локализации и прогнозная оценка хромитовых руд в гипербазитовых массивах северной части Полярного Урала. — В кн.: Хромиты Урала, Казахстана, Сибири и Дальнего Востока. М., «Недра», 1974.
- Кейльман Г. А., Бутин В. В. Геологические условия образования глаукофаповых сланцев и эклогитов Урала. — В кн.: Геология метаморфических комплексов Урала. Вып. 116. Свердловск, 1975, с. 5—14.
- Кейльман Г. А., Бутин В. В., Подескова Л. Л., Попомарев В. А. К вопросу о геологическом строении осевой зоны Полярного Урала. — В кн.: Геология метаморфических комплексов Урала. Свердловск, 1973, с. 5—10.
- Кенеинискас К. Б., Лепезин Г. Г., Хлестов В. В., Тимофеев Б. В., Хильтова В. Я. Новые данные о времени осадконакопления метаморфических комплексов Горного Алтая и Западного Саяна. — «Геол. и геофизика», 1975, № 11, с. 143—146.
- Киннипер А. Л. Габбройды офиолитовой «формации» в разрезе океанической коры. — «Геотектоника», 1970, № 2, с. 13—18.
- Киннипер А. Л. Океаническая кора в структуре альшийской складчатой области. М., «Наука», 1975. 208 с.
- Колбанцев Р. В., Шитов В. А., Бондарева О. С., Ильинский М. М., Савельева Г. И., Кузнецов В. И., Молдаванцев Ю. Е., Шмелева К. Л. О связи между величиной сверхпериода антигорита и его химическим составом. — «Зап. ВМО», 1975, ч. 104, с. 351—353.
- Козмаров А. Г., Молдаванцев Ю. Е., Печасова А. А., Шмелева К. Л. Физические свойства (намагниченность и плотность) горных пород некоторых изверженческих и метаморфических комплексов севера Урала как дополнительный критерий для суждения об особенностях их вещественного состава, формационной принадлежности, возрасте и генезисе. — В кн.: Тезисы докладов 2-го Уральского петрографического совещания. Т. 7. Свердловск, 1966, с. 29—31.
- Коробейников В. П. Соотношение стратиграфических поверхностей и тектонических форм с изоградами прогрессивного метаморфизма в Джебашском выступе Западного Саяна. — В кн.: Труды СНИИГГиМСа. Вып. 10. Новосибирск, 1970, с. 76—81.
- Коробейников В. П. Джебашский метаморфический комплекс Западного Саяна. (Автореф. канд. дис.). Томск, 1971. 23 с.
- Крылов Р. А., Бутин В. В. Эклогиты салдыкского метаморфического комплекса Урала. — В кн.: Труды Свердловского горного института. Вып. 116. Свердловск, 1975, с. 23—25.
- Кузнецов И. П. Зависимость состава и структуры офиолитовых комплексов Алтай-Саянской складчатой области от особенностей их тектонической переработки. — «Геол. и геофизика», 1976, № 8, с. 26—34.
- Леснов Ф. П. Геология и петрология Чайского габбро-перидотит-дувитового никеленосного plutona (Северное Прибалханье). Новосибирск, «Наука», 1972а. 227 с.

Леснов Ф. П. К петрографии и минералогии регенерированных оливиновых пород. — В кн.: Проблемы петрологии ультраосновных и основных пород. М., «Наука», 1972б, с. 173—198.

Леснов Ф. П., Пинус Г. В., Велинский В. В. Взаимоотношения ультраосновных пород и ассоциирующих с ними габбронитов в складчатых областях. — В кн.: Проблемы петрологии гипербазитов складчатых областей. Новосибирск, 1973, с. 44—56.

Луциanova Р. П., Маркин В. В. Зеленокаменные толщи Собско-Войкарского синклиниория. — В кн.: Труды геологического музея АН СССР. Вып. XII. М., «Наука», 1964, с. 168—171.

Магницкий В. А. Внутреннее строение и физика Земли. М., «Недра», 1965. 379 с.

Маракушев А. А. Серпентинизация гарцбургитов. — «Изв. АН СССР. Серия геол.», 1975, № 7, с. 5—20.

Марков М. С. Метаморфические комплексы и «базальтовый» слой земной коры островных дуг. М., «Наука», 1975. 232 с.

Миасиро А., Сидо Ф., Юнинг М. Метаморфизм в пределах Срединно-Атлантического хребта близ 24° и 30° с. ш. — В кн.: Петрология изверженных и метаморфических пород дна океана. М., «Мир», 1973, с. 34—51.

Молдавацев Е. И. Тектоника Северного и Полярного Урала. — В кн.: Геология СССР. Т. XII. Урал. Ч. I. М., Госгеотехиздат, 1944, с. 198—201.

Молдавацев Ю. Е. Особенности проявления интрузивного магматизма на Полярном Урале. (Пример длительно существующей унаследованной глубинной зоны магматической активности). — В кн.: Магматизм и связь с ним полезных ископаемых. М., Госгеотехиздат, 1960, с. 412—415.

Молдавацев Ю. Е. Особенности петрологии гранитоидов Харбейского антиклиниория (Полярный Урал). — В кн.: Тезисы докладов 2-го Уральского петрографического совещания. Т. 4. Свердловск, 1966, с. 47—48.

Молдавацев Ю. Е. Закономерности распределения ассоциаций плутонических и метаморфических горных пород Главного Уральского глубинного разлома в связи с проблемой формирования земной коры. — В кн.: Материалы IV Всесоюзного петрографического совещания. Баку, 1969.

Молдавацев Ю. Е. Особенности петрологии гранитоидов Харбейского антиклиниория (Полярный Урал). — В кн.: Магматические формации, метаморфизм, металлогенesis Урала. Т. 4. Свердловск, 1971, с. 269—274.

Молдавацев Ю. Е. Ассоциации изверженных и метаморфических горных пород варисцской эвгесинклиниали севера Урала и проблемы ее тектономагматической эволюции. — В кн.: Магматизм, метаморфизм и металлогенез севера Урала. Сыктывкар, 1972, с. 19—27.

Молдавацев Ю. Е. Ассоциации плутонитов и метаморфитов зоны Главного Уральского глубинного разлома в связи с проблемой формирования земной коры. — В кн.: Проблемы петрологии Урала. Вып. 100. Киев, 1973, с. 3—18.

Молдавацев Ю. Е., Берлинд И. Г., Казак А. П. Разрез земной коры Полярного Урала по геофизическим данным. — В кн.: Труды ВСЕГЕИ. Л., 1976.

Молдавацев Ю. Е., Перфильев А. С. Проявление метаморфизма в связи с глубинными разломами на Полярном Урале. — «Изв. АН СССР. Серия геол.», 1962, № 4, с. 50—55.

Молдавацев Ю. Е., Перфильев А. С. Связь магматизма с тектоникой на севере Урала. — В кн.: Магматизм, метаморфизм и металлогенез Урала. — В кн.: Труды I Уральского петрографического совещания. Т. 1. Свердловск, 1963, с. 121—137.

Молдавацев Ю. Е., Перфильев А. С., Херасков И. П. Закономерности размещения магматизма и метаморфизма севера Урала в связи с тектоническими структурами. — В кн.: Петрографические провинции, изверженные и метаморфические горные породы. М., Изд-во АН СССР, 1960, с. 235—239.

Морковкина В. Ф. Метасоматические преобразования гипербазитов Полярного Урала. — В кн.: Труды ИГЕМ АН СССР. Вып. 77. М., 1962, с. 180—224.

Морковкина В. Ф. Метасоматические преобразования гипербазитов в связи с зонами глубинных разломов. — В кн.: Петрографические формации и проблемы петrogenезиса. М., «Наука», 1964, с. 66—76.

Морковкина В. Ф. Габбро-перидотитовая формация Полярного Урала. — М., «Наука», 1967. 280 с.

Морковкина В. Ф., Гаврилова С. И. Пироксениты краевых зон Хараматалоуско-Войкарского гипербазитового массива и их петрографические особенности (Полярный Урал). — В кн.: Соотношение магматизма и метаморфизма в генезисе ультрабазитов. М., «Наука», 1965, с. 7—67.

Москалев С. В. Региональные и локальные закономерности размещения хромитовых месторождений. — В кн.: Материалы к совещанию «Основы научного прогноза месторождений рудных и неорудных ископаемых». Вып. 7. Л., «Недра», 1971, с. 219—223.

Москалев С. В. Гипербазиты и их хромитопосность. Л., «Недра», 1974. 279 с.

Научная программа работы по проекту «Офиолиты континентов и сравнимые с ними породы океанов». Международная программа геологической корреляции. М., 1974. 30 с.

Никитчин И. А. О находке ультраосновных вулканитов в западной части Алтайско-Саянской складчатой области. — В кн.: Краткие тезисы III конференции по магматизму и металлогению Алтая-Саянской складчатой области. Новосибирск, 1972, с. 31—32.

Охотников В. И. Древний вулканизм северной части Полярного Урала. — «Сов. геология», 1968, № 2, с. 75—88.

Охотников В. И. Геология рудных образований Полярного Урала. Л., «Наука», 1975. 174 с.

Павлов И. В., Кравченко Г. Г., Чупришина И. И. Хромиты Кемперейского плютона. М., «Наука», 1968. 127 с.

Падалка Г. Л. Перидотитовый массив Пай-Ер на Полярном Урале. — В кн.: Труды Арктического института. Т. 47. М., 1936. 200 с.

Падалка Г. Л. Западная полоса габбро-перидотитовой формации Урала. — В кн.: Петрография СССР. Вып. 7. М.—Л., 1937, с. 55—140.

Пейве В. А. Океаническая кора геологического прошлого. — «Геотектоника», 1969, № 4, с. 5—24.

Пейве В. А. Тектоника и развитие Урала и Андипалачей — сравнение. — «Геотектоника», 1973, № 3, с. 3—13.

Пейве А. В. Офиолиты и земная кора. — «Природа», 1974, № 2, с. 5—13.

Пейве А. В. Тектоника Срединно-Атлантического хребта. — «Геотектоника», 1975, № 5, с. 3—17.

Пейве А. В., Перфильев А. С., Руженцев С. В. Геотектоническая природа офиолитовых ассоциаций. — В кн.: Тезисы симпозиума «Офиолиты в земной коре». М., «Наука», 1973.

Пейве А. В., Штрейс И. А., Кинппер А. Л., Марков М. С., Богданов И. А., Перфильев А. С., Руженцев С. В. Океаны и геосинклинальный процесс. — «Докл. АН СССР», 1971а, т. 196, № 3, с. 657—659.

Пейве А. В., Штрейс И. А., Перфильев А. С., Постолов И. И., Руженцев С. В., Самыгин С. Г. Структурные положения гипербазитов на западном склоне Южного Урала. — В кн.: Проблемы теоретической и региональной тектоники. М., «Наука», 1971б, с. 9—24.

Пейве А. В., Штрейс И. А., Перфильев А. С., Самыгин С. Г. Палеозоиды и некоторые вопросы эволюции геосинклинального процесса. — «Сов. геология», 1972, № 12, с. 7—25.

Перфильев А. С. Особенности тектоники севера Урала. — В кн.: Труды ГИН АН СССР. Вып. 132. М., «Наука», 1968. 223 с.

Перфильев А. С., Руженцев С. В. Структурное положение габбро-гипербазитовых комплексов в складчатых поясах. — «Геотектоника», 1973, № 3, с. 14—26.

Пинус Г. В. О взаимоотношениях габбронитов в офиолитовых сериях. — «Геол. и геофизика», 1974, № 5, с. 139—143.

Пинус Г. В., Велинский В. В. Альпинотипные гипербазитовые пояса западной части Тихоокеанского складчатого обрамления. — «Геол. и геофизика», 1967, № 10, с. 122—134.

Пинус Г. В., Велинский В. В., Леснов Ф. В., Баников О. Л., Агафонов Л. В. Альпинотипные гипербазиты Анадырско-Корякской складчатой системы. Новосибирск, «Наука», 1973. 320 с.

Пинус Г. В., Колесник Ю. И. Альпинотипные гипербазиты юга Сибири. М., «Наука», 1966. 211 с.

Пинус Г. В., Кузнецов В. А., Волохов И. М. Гипербазиты Алтая-Саянской складчатой области. М., Изд-во АН СССР, 1958. 295 с.

Пономарева Л. Г., Добрцов И. Л. Ориентировка оливина в гипербазитах массива Борусского (Западный Саян) и Пай-Ер (Полярный Урал). — «Геол. и геофизика», 1965, № 5, с. 136—143.

Пономарева Л. Г., Добрцов И. Л. Жадеитодержащие и другие миндалины в метаффузивах Северо-Западной Камчатки. — «Докл. АН СССР», 1966, т. 167, № 3, с. 659—662.

Пучков В. И. Находки конодонтов в палеозое севера Урала и их стратиграфическое значение. — «Докл. АН СССР», 1973, т. 209, № 3, с. 668—670.

Пучков В. И. Леминская зона Полярного Урала и ее гомологи. — В кн.: Тектоника Восточно-Европейской платформы и ее обрамления. М., «Наука», 1975, с. 75—97.

Рудник Г. Б., Кашинцев Г. Л., Кузнецов И. Е. Геологическое строение и хромитопосность массива Рай-Из. — В кн.: Материалы совещания по составлению прогнозно-металлогенических карт на хромиты. М., «Наука», 1971, с. 174—188.

Румянцева И. А., Калайтан М. Г., Кузнецов В. И., Льнов Б. К., Мазина Е. А., Молдавацев Ю. Е., Сергиенский В. М., Смирнов Ю. Д. Опыт составления Уральского масштаба карты магматических формаций СССР. — В кн.: Тезисы 2-го Уральского петрографического совещания. Вып. 1. Свердловск, 1966, с. 36—38.

Савельев А. А. Геология и хромитопосность гипербазитов Войкар-Сынинского массива (Полярный Урал). (Автореф. канд. дис.). Свердловск, 1974. 22 с.

Савельев А. А., Савельева Г. П. Петрология и хромитопосность гипербазитов Войкар-Сынинского массива. — В кн.: Магматические формации, метаморфизм и металлогенез Урала. Свердловск, 1969, с. 134—139.

Савельева Г. И. Железо и магний в существующих минералах гипербазитов.— В кн.: Магматизм, метаморфизм и металлогенesis Урала. Сыктывкар, 1972а, с. 18—23.

Савельева Г. И. Пегматоидные магнезиальные дуниты Войкаро-Сынинского массива.— В кн.: Материалы по геологии и полезным ископаемым Северо-Востока европейской части СССР. Сб. 7. Сыктывкар, 1972б, с. 180—183.

Савельева Г. И. Серпентинизация гипербазитов Войкаро-Сынинского массива.— В кн.: Неметаллические полезные ископаемые гипербазитов. М., «Наука», 1973а, с. 37—54.

Савельева Г. И. Геология и петрология гипербазитов Войкаро-Сынинского массива (Полярный Урал). (Автореф. канд. дис.). Свердловск, 1973б, 31 с.

Савельева Г. И. Метаморфическая зона в ассоциации с гипербазитами Войкаро-Сынинского массива.— В кн.: Магматизм, метаморфизм и оруденение в геологической истории Урала. Т. II. Свердловск, 1974, с. 13—17.

Савельева Г. И., Кисленко Д. А., Кабанцев Ю. Т. О находке аварита (никелистого железа) на Полярном Урале.— В кн.: Материалы по геологии и полезным ископаемым Северо-Востока европейской части СССР. Сб. 6. Сыктывкар, 1970, с. 259—261.

Савельева Г. И., Савельев А. А. Хромиты Войкаро-Сынинской ультраосновной интрузии.— В кн.: Материалы совещания по составлению прогнозно-металлогенических карт на хромиты. М., 1971, с. 149—156.

Савельева Г. И., Шляхова Х. Г. Плагиограниты Войкаро-Сынинского массива.— В кн.: Материалы по геологии и полезным ископаемым Северо-Востока Европейской части СССР. Сб. 6. Сыктывкар, 1970, с. 222—231.

Салоп Л. И. Общая стратиграфическая шкала докембрия. Л., «Недра», 1973, 309 с.

Сергиевский В. М., Молдавацев Ю. Е. Уральская складчатая система. Ордовикско-триасовый (герцинский) тектономагматический цикл. Эвгесинклинальная область.— В кн.: Геологическое строение СССР. Т. III. М., «Недра», 1968, с. 394—430.

Сибilev A. K., Еремеев B. P. Саянское месторождение хризотил-асбеста.— «Геол. рудн. месторожд.», 1968, № 3, с. 21—27.

Сивов А. Г. Нижний кембрий Западного Саяна.— «Изв. Томского политехнич. ин-та», 1953, т. 74, вып. 2.

Соболев В. С. Значение железистости фемических минералов и вспомогательные диаграммы для определения состава биотитов, роговых обманок и ромбических пироксенов.— «Минерал. сб. Львовского геол. об-ва», 1950, № 4, с. 3—19.

Соболев В. С. Об иконоизвестности плавления минералов, образующихся при изменении давления.— «Докл. АН СССР», 1964, Т. 156, № 2, с. 341—344.

Соболев В. С., Добропольев И. Л., Соболев И. В. Классификация глубинных ксенолитов и типы верхней мантии.— «Геол. и геофизика», 1972, № 12, с. 37—42.

Соболев И. Д. О гранитных формациях Урала.— В кн.: Труды I Уральского петрографического совещания. Т. 3. Свердловск, 1963, с. 5—10.

Соболев И. В. Глубинные включения в кимберлитах и проблема состава верхней мантии. Новосибирск, «Наука», 1974, 264 с.

Соболев С. Ф. Габбро-тоналитовый комплекс Полярного Урала. М., «Наука», 1965, 163 с.

Софронов Г. П. Протерозой и нижний палеозой Полярного Урала.— В кн.: Совещание по унификации стратиграфических схем Урала и соотношению древних свит Урала и Русской платформы. Свердловск, 1956, с. 87—93.

Тайер Г. Введение к некоторым проблемам офиолитов континентов и океанов.— В кн.: Труды ГИН АН СССР. М., «Наука», 1973, с. 23—68.

Тимофеев А. И., Тимофеева В. В. О физических свойствах дунита.— В кн.: Труды Горно-геологического института УФ АН СССР. Вып. 35. Свердловск, 1960.

Удовкина И. Г. Эклогиты Полярного Урала. Особенности их вещественного состава и генезис. (Автореф. канд. дис.). М., 1966, 27 с.

Удовкина И. Г. Эклогиты Полярного Урала на примере южной части хр. Марун-Кей. М., «Наука», 1971, 191 с.

Успенский Н. М. О генезисе конфокальных ультраосновных массивов Урала.— В кн.: Труды ВСЕГЕИ. М., 1952, с. 54—78.

Ушаков С. А. Физика Земли. Т. 1. М., ВИНИТИ, 1974, 270 с.

Херасков И. И. Формации и стадии геосинклинального развития Западного Саяна.— «Геотектоника», 1975, № 1, с. 35—58.

Херасков И. П. Геосинклинальные формации уралид западного склона Урала.— В кн.: Тектоника и формации. Избр. тр. М., «Наука», 1967, 404 с.

Херасков И. П., Перфильев А. С. Основные особенности геосинклинальных структур Урала.— В кн.: Труды ГИН АН СССР. Вып. 92. М., 1963, с. 35—63.

Черноморский М. А. К вопросу о расщеплении протерозойских метаморфических толщ юга Алтая-Саянской области.— «Докл. АН СССР», 1965, т. 162, № 4, с. 893—896.

Черноморский М. А. К стратиграфии докембрийских метаморфических комплексов Западной Тувы, Западного Саяна, Горного Алтая.— В кн.: Материалы по геологии Саяно-Алтайской складчатой области. Т. 120. М., 1967, с. 82—91.

Шалагинов В. В. Глаукофансодержащие сланцы восточного склона Северного Урала.— В кн.: Труды Свердловского горного института. Вып. 116. Свердловск, 1975, с. 15—22.

Шарапов В. И., Голубев В. С. Динамика взаимодействия магмы с породами. Новосибирск, «Наука», 1976, 218 с.

Шейнман Ю. М. Очерки глубинной геологии. М., «Недра», 1968, 230 с.

Шейнман Ю. М. Новая глобальная тектоника и действительность.— «Бюл. МОИП», 1973, № 5, с. 5—28.

Шляхова Х. Т. Интрузии г. Шлем.— В кн.: Материалы по геологии и полезным ископаемым Северо-Востока Европейской части СССР. Сб. 51. Сыктывкар, 1965, с. 84—89.

Щеглов А. П. Опыт генетической классификации прогибов как основы тектонического районирования центральной части Саяно-Алтайской складчатой области.— В кн.: Труды СНИИГГиМСа. Вып. 57. Новосибирск, 1967, с. 81—87.

Щеглов А. П. Основные типы разрезов кембрийских отложений Тувы и их тектоническая позиция.— В кн.: Труды СНИИГГиМСа. Вып. 84. Новосибирск, 1969, с. 32—40.

Щербакова С. В. Минералогия рубинсодержащих метасоматитов Полярного Урала. (Автореф. канд. дис.). Л., 1975, 28 с.

Юдин М. И. Дуниты хребта Борус и их происхождение.— «Изв. АН СССР. Серия геол.», 1959, № 2, с. 59—77.

Юдин М. И. Жадеитовые и патролитовые породы в гипербазитах хребта Борус (Западный Саян) и их происхождение.— «Изв. АН СССР. Серия геол.», 1963, № 4, с. 78—98.

Яроневич В. М. О верхнем докембрии Западного Саяна.— «Геол. и геофизика», 1971, № 7, с. 122—124.

Яроневский А. А. Принцип зонной плавки и его применение при решении некоторых геохимических вопросов.— В кн.: Химия земной коры. Т. II. М., «Наука», 1964, с. 53—62.

Bailey E. H., Blake M. C. Major chemical characteristics of mesozoic coast range ophiolite in California.— «J. Res. U. S. Geol. Surv.», 1974, v. 2, N 6.

Bailey E. H., M. C. Blake, Jr. and D. L. Jones. On-land Mesozoic oceanic crust in California Coast ranges.— «U. S. Geol. Surv. Prof. Pap. 700-C», 1970, p. 70—81.

Bailey E. H., Irwin W. R., Jones D. L. Franciscan and related rocks and their significance in the geology of W. California.— «Calif. Div. Mines and Geol. Bull.», 1964, v. 183, p. 177.

Bogdanov N. A. Tectonic development of trenches in the Western Pacific.— In: The Western Pacific. Ed. P. J. Coleman. Univ. Western Austr. Press, 1973, p. 327—333.

Boudier F., Nicolas A. Fusion partielle gabbroique dans la lherzolite de Lanzo.— «Bull. Suisse Mineral et Pet.», 1972, v. 52/1, p. 39—55.

Boyd F. R. The pyroxene geotherm.— «Geoch. Cosm. Acta», 1973, N 12, p. 173.

Boullier A. M., Nicolas A. Classification of textures and fabrics of peridotite xenoliths from South African kimberlites.— In: Physics and Chemistry of the Earth.— «Proc. Internat. Conf. on kimberlites», Oxford, Pergamon Press, 1974, v. 9, p. 97—105.

Brock P. W. G. The sheeted dyke layer of the Betts Cove ophiolite complex does not represent spreading.— «Canad. J. Earth. Sci.», 1974, v. 11, p. 208.

Brunn L. H. Mise en place et différenciation de l'association plutovolcanique du cortege ophiolitique.— «Rev. Geogr. Phys. Geol. Dyn.», 1960, v. 3, p. 115—132.

Cann J. R. Spilites from the Carlsberg Ridge, Indian Ocean.— «J. Petrol.», 1969, v. 10, p. 1—19.

Cann J. R. New model for the structure of the ocean Crust.— «Nature», 1970, v. 226, p. 928—930.

Cann J. R. Petrology of basement rocks from Palmer Ridge, N.-E. Atlantic.— «Philos. Trans. Roy. Soc. London», 1971, A268, N 1192.

Carter N. L., Ave'Lallemand H. G. High-temperature flow of dunite and peridotite.— «Geol. Soc. Am. Bull.», 1970, v. 81, p. 2181—2202.

Coleman R. G. Plate tectonic emplacement of upper mantle peridotites along continental edges.— «J. Geophys. Res.», 1971, v. 76, p. 1212—1222.

Coleman R. G., Peterman Z. E. Oceanic Plagiogranite.— «J. Geophys. Res.», 1975, v. 80, N 8, p. 1099—1108.

Coombs D. S. Some recent work on the lower grades of metamorphism.— «Austr. J. Sci.», 1961, v. 24, p. 203—215.

Dal Piaz G. V., Hunziker J. C., Martinotti G. La Zone Sesia—Lanzo e l'evoluzione tettonico anorfica delle Alpi Nordoccidentali interne.— «Mem. Soc. Geol. It.», 1972, c. 11, p. 433—466.

Darot M., Boudier F. Mineral lineations in deformed peridotites: kinematic meaning.— «Petrologie», 1975, v. 1, N 3, p. 225—236.

Davies H. L. Peridotite-gabbro-basalt complex in eastern Papua: An overthrust plate of oceanic mantle and crust.— «Bur. Min. Res. Austr. Bull.», 1971, v. 128, p. 48.

Dewey J. F., Bird J. M. Mountain belts and the new global tectonics.— «J. Geophys. Res.», 1970, v. 75, N 14.

Dimroth E. The evolution of the central segment of the Labrador geosyncline. II. The ophiolitic suite.— «Neues Jahrb. Geol. und Paleont. Abh.», 1971, v. 137, p. 209—248.

Dimroth E. The Labrador geosyncline revisited.— «Am. J. Sci.», 1972, v. 272, p. 467—506.

- Dobretsov N. L., Sobolev V. S. Eclogite-glaucophane schist complex of the USSR and their bearing on the genesis of blueschist terranes.— «Geol. Soc. Am. Spec. Pap. 151», 1975, p. 145—155.
- Ernst W. G. Tectonic contact between the franciscan melange and the Great Valley sequence — crustal expression of a late Mesozoic Benioff zone.— «J. Geophys. Res.», 1970, v. 75, N 5, p. 886—901.
- Ernst W. G., Seki Y., Onuki H., Gilbert M. C. Comparative study of low-grade metamorphism in the California Coast Ranges and the Outer Metamorphic belt of Japan.— «Geol. Soc. Amer. Mem. 124», 1970, p. 276.
- Ewart A., Bryan W. B. Petrology and geochemistry of the igneous rocks from Eus, Tongan Island.— «Geol. Soc. Am. Bull.», 1972, v. 83, p. 3281.
- Francis G. H. The serpentinite mass in Glen Urquhart, Invernesshire, Scotland.— «Am. J. Sci.», 1956, v. 254.
- Fransis T. J. G. Generation of seismic anisotropy in the Upper Mantle along the Mid-Oceanic Ridges.— «Nature», 1969, v. 221, p. 162.
- Frey M., Hunziker J. C. et al. Alpine metamorphism of the Alps. A Review.— «Schweiz. Min. Petrogr. Mitt.», 1974, v. 54, p. 247—290.
- Gass J. G., Neary C. R., Plant J., Robinson A. M. F., Simonian K. O., Smewing J. D., Spooner E. T. C., Wilson R. A. M. Comments on the Troodos ophiolitic complex was probably formed in an island arc by A. Miyashiro and subsequent correspondence by A. Mynes and A. Miyashiro.— «Earth Planet. Sci. Lett.», 1975, v. 25.
- Gass J. G., Smewing J. D. Intrusion, extrusion and metamorphism at constructive margins: evidence from the Troodos massif, Cyprus.— «Nature», 1973, v. 242, N 26.
- Gnibidenko H. S., Gorbachev S. Z., Lebedev M. M., Marachanov V. J. Geology and deep structure of Kamchatka Peninsula. «Pacific Geol.», 1974, v. 7, p. 1—32.
- Goslin J., Beuzart P., Francheteau J., Le Pichon X. Thickness of the oceanic layer in the Pacific Ocean.— «Mar. Geophys. Res.», 1972, v. 1, p. 418.
- Green D. H., Ringwood A. E. Fractionation of basalt magmas at high pressures.— «Nature», 1964, v. 201, N 4926, p. 1276.
- Hekinian R. Petrology of the Ninety East Ridge (Indian Ocean) compared to other aseismic ridges.— «Contrib. Min. Petrol.», 1974, v. 43, p. 125.
- Hess H. H. Seismic anisotropy of the uppermost mantle under the oceans.— «Nature», 1964, v. 203, p. 629.
- Hess H. H. In: Submarine Geology and Geophysics.— «Colston Pap. 17». London, Butterworth, 1965.
- Hunziker J. Ch. Rb-Sr and K-Ar age determination and the Alpine tectonic history of the Western Alps. Padova, 1974, 56 p.
- Hynes A. Comment on the Troodos ophiolitic complex was probably formed in an island arc, by A. Miyashiro.— «Earth Planet. Sci. Lett.», 1975, v. 25, p. 213.
- Karig D. E. Origin and development of marginal basins in the Western Pacific.— «J. Geophys. Res.», 1971, v. 76, p. 2452.
- Kuno H. Dike swarm in Hakone Volcano.— «Bull. Volcanol. Ser. 2», 1964, v. 27, p. 1.
- Lapierre H., Rocci G. Le massif plutovolcanique basique de Kellaki (Chypre). Etude petrographique et structural.— «Sci. terre», 1967, v. 12, № 3.
- Laurent R. Occurrences and Origin of the Ophiolites of Southern Quebec, Northern Appalachians.— «Can. J. Earth. Sci.», 1975, v. 12, p. 443—455.
- Miyashiro A. Orogeny, regional metamorphism and magmatism in the Japanese Islands.— «Dansk. Geol. For. Medd.», 1967, v. 17, p. 390—446.
- Miyashiro A. Metamorphism and related magmatism in plate tectonics.— «Am. J. Sci.», 1972, v. 272, p. 629—656.
- Miyashiro A. The Troodos ophiolitic complex was probably formed in an island arc.— «Earth Planet. Sci. Lett.», 1973a, v. 19, p. 218.
- Miyashiro A. Metamorphism and metamorphic belts. Allen and Unwin, London, Wiley, N. Y., 1973b, 473 p.
- Miyashiro A. Volcanic rock series in island arcs and active continental margins.— «Am. J. Sci.», 1974, v. 274, p. 321.
- Miyashiro A. Classification, characteristics and origin of ophiolites.— «J. Geol.», 1975a, v. 83, p. 249—291.
- Miyashiro A. Origin of the Troodos and other ophiolites. A reply to Moores.— «Earth Planet. Sci. Lett.», 1975b, v. 25, p. 227—235.
- Misar Z. The Raneko gabbro-peridotite massif and its mineralization. Univ. Karlova-Praha, 1974. 215 p.
- Moores E. M. Petrology and structure of the Vourinos ophiolitic complex of northern Greece.— «Geol. Soc. Am. Spec. Pap.», 1969, p. 118.
- Moores E. M. Vine F. J. Troodos massif, Cyprus and other ophiolites as oceanic crustal evaluation and implications.— «Phil. Trans. Roy. Soc. London», 1971, Ser. B, v. 26, p. 443.
- Nakamura K. Arrangement of parasitic cones as a possible key to regional stress field. Kazan, 1969, v. 14, 8p.
- Nicolas A. Mise en place des peridotites de Lanzo (Alps piemontaises). Relation avec tectonique et métamorphisme alpins. Conséquences géodynamiques.— «Bull. Suisse Mineral et Petr.», 1974, v. 54, N 2/3, p. 449—460.
- Nicolas A., Boudier F. Kinematic interpretation of folds in alpine-type peridotites.— «Tectonophysics», 1975, v. 25, p. 233—260.
- Nicolas A., Boudier F., Boullier A. M. Mechanisms of flow in naturally and experimentally deformed peridotites.— «Am. J. Sci.», 1973, v. 273, p. 853—876.
- Nicolas A., Bouchez J. L., Boudier F. Interprétation cinématique des déformations plastiques dans le massif de lherzolite de Lanzo (Alpes piemontaises)—comparaison avec d'autres massifs.— «Tectonophysics», 1972, p. 143—171.
- Nicolas A., Bouchez J. L., Boudier F., Mercier J. C. Textures, structures and fabrics due to solid-state flow in some European Lherzolites.— «Tectonophysics», 1971, N 12, p. 55—68.
- Nicolas A., Jackson E. D. Repartition su deux provinces des péridotites des chaînes alpines le long de la Méditerranée: implications géotectoniques.— «Bull. Suisse de Mineral. et Petrol.», 1972, v. 52/3, p. 481—495.
- O'Hara M. J. Upper Mantle composition inferred from Laboratory Experiments and observations on volcanic products.— «Phys. Earth Planet. Inter.», 1970, v. 3, p. 236—245.
- Penrose conference participants, Ophiolites.— «Geotimes», 1972, v. 17, p. 24.
- Reinhardt B. M. On the genesis and emplacement of ophiolites in the Oman Mountains geosyncline.— «Schweiz Min. Petrol. Mitt.», 1969, v. 49, p. 1—30.
- Reinhardt B. M. et al. Geology of Oman Mountains. V. 1—2. Amsterdam, 1974. 833 p.
- Rocci G., Ohnenstetter D., Ohnenstetter M. La dualité des ophiolites tethysiens. Duality of tethyan ophiolites.— «Petrologie», 1975, t. 1, N 2, p. 172—174.
- Roever, de W. R. Sind die alpinotipen Peridotitmassen vielleicht tectonisch, verfrachtete Bruchstücke der Peridotit-schall.— «Geol. Rundschau», 1957, Bd 46, N 1.
- Sabzehei M. Les mélanges ophiolitique de la région d'Esfandaghen (Iran méridional). Etude petrologique et structurale. Interprétation dans le Cadre Iranien. Doctorat d'Etat d'enregistrement au C. N. R. S., A. O., 9753, 1970.
- Scholl D. W., Christensen M. N., von Huene R., Marlow M. S. «Geol. Soc. Amer. Bull. 81», 1970, N 5, p. 1339—1360.
- Shido F., Miyashiro A. Compositional variation in pillow lavas from the Mid-Atlantic Ridge.— «Marine Geol.», 1974a, v. 16, p. 117—190.
- Shido F., Miyashiro A. Basalts and serpentinite from the Puerto Rico Trench.— «Marine Geol.», 1974b, v. 16, p. 191—203.
- Shimazu Y. A geophysical study of regional metamorphism.— «Jap. J. Geophys.», 1961, v. 2, p. 135—176.
- Shiraki K. Metamorphic basement rocks of Yap Islands, W. Pacific. Possible oceanic crust beneath an island arc.— «Earth Planet. Sci. Lett.», 1971, v. 13, p. 167—174.
- Sinha A. K., Davis T. E. Geochemistry of Franciscan volcanic and sedimentary rock from California.— «Carn. Inst. Washington Year Book 69», 1971, p. 394—400.
- Smith R. E. Redistribution of major elements in the alteration of some basic lavas during burial metamorphism.— «J. Petrol.», 1968, v. 9, p. 191.
- Suzuki T. The Mikabu green rocks in Shikoku.— «J. Geol. Soc. Jap.», 1967, v. 73, p. 207—216.
- Suzuki T. Volcanism and metamorphism of the Mikabu green rocks in central and western Shikoku.— «Kochi Univ. Sci. Rept.», 1972, v. 21, p. 39—62.
- Steinmann G. Geologischen Beobachtungen in den Alpen. II. Die Schwärdische Übersättigungstheorie und die geologische Bedeutung der Tiefseabsätze und der ophiolitischen Massengesteine.— «Freib. naturf. Gesell. Berichts», 1906, B16.
- Thayer T. P. Chemical and structural relation of Ultramafic and feldspathic rocks in alpine intrusive complexes.— In: Ultramafic and related rocks. Ed. P. J. Wyllie. J. Wiley, N. Y., 1967, p. 222—239.
- Thayer T. P. Peridotite-gabbro complexes as keys to petrology of mid-oceanic ridges.— «Geol. Soc. Am. Bull.», 1969, v. 80, p. 1515—1522.
- Varne R., Gee R. D., Quilty P. G. J. Macquarie Island and the cause of oceanic linear magnetic anomalies.— «Science», 1969, v. 166, p. 230—233.
- Varne R., Rubenach M. J. Geology of Macquarie Island and its relationship to oceanic crust. In: Antarctic research series. Ed. Hayes E. D. V. 19. Antarctic Oceanology-II. Am. Geophys. Union, 1972, p. 251—266.
- Varne R., Rubenach M. J. Geology of Macquarie Island in relation to tectonic environment.— In: The Western Pacific. Ed. Coleman R. J. Univ. Western Austr. Press, 1973.
- Vine F. J., Hess H. H. — In: The sea. N. Y., London, 1970.
- Williams H., Smith W. R. Metamorphic aureoles beneath ophiolite suites and alpine peridotites. Tectonic implications with West Newfoundland examples.— «Am. J. Sci.», 1973, v. 273, p. 594—621.
- Williams H., Stevens R. K. The ancient continental margin of eastern North America.— In: Geol. of Cont. Margins. Springer-Berlag, N. Y., 1974, p. 781—796.
- Wilson J. T. Mantle plumes and plate tectonic motions.— «Tectonophysics», 1973, v. 19, p. 149—164.

## CONTENTS

Preface (N. L. Dobretsov) . . . . .	5
-------------------------------------	---

### Part I. Arctic Urals

<b>Chapter 1. Structural position of ophiolitic massifs in Arctic Urals ([Yu. E. Moldavantsev], A. P. Kazak)</b> . . . . .	8
--	---

<b>Chapter 2. Khadatinsk ophiolitic belt ([Yu. E. Moldavantsev], A. P. Kazak)</b> . . . . .	17
---	----

Sium-Kjeu massif . . . . .	17
Nature of contacts between the massif and the host rocks . . . . .	19
Malyk gneiss-gabbro-norite assemblage . . . . .	24
Inner structure of Sium-Kjeu massif . . . . .	32
Kharche-Ruz massif . . . . .	36

<b>Chapter 3. Voikar-Syn'insk ophiolitic belt</b> . . . . .	38
---	----

Rai-Iz massif ([Yu. E. Moldavantsev], A. P. Kazak) . . . . .	38
Nature of contacts between the ultrabasites and the host rocks of the massif . . . . .	39
Peculiarities in the inner structure of ultrabasites of the Rai-Iz massif . . . . .	45
Schlier-banded dunite-clinopyroxenite-gabbroid complex . . . . .	48
Superposed later-stage metamorphism in Central Rai-Iz massif zone . . . . .	53
Voikar-Syn'insk massif (A. A. Savel'yev, G. N. Savel'yeva) . . . . .	60
Structure of ophiolitic nappes . . . . .	62
Khulga nappe . . . . .	62
Payer nappe . . . . .	67
Lagorta nappe . . . . .	89

<b>Chapter 4. Correlation and Petrographic — Mineralogic Characteristics of Ophiolites and Metamorphic Rocks of Arctic Urals (N. L. Dobretsov, A. P. Kazak, [Yu. E. Moldavantsev], G. N. Savel'yeva, A. A. Savel'yev)</b> . . . . .	92
---	----

Ophiolitic Rock Complexes . . . . .	92
Dunite — Harzburgite Rock Series . . . . .	94
Metamorphosed Dunite — Harzburgite Rock Series . . . . .	97
Dunite-Wehrlite-Clinopyroxene-Gabbroic Rock Series . . . . .	107
Dunite-Lehrzolite-Websterite-Metagabbroid-Norite Rock Series . . . . .	109
Western Metamorphic Belt and Metaophiolitic Rock Series . . . . .	117

### Part II. West Sayan

<b>Chapter 5. Ophiolites, Glauconphane Schists in West Sayan and Kurtushibinsk Belt (N. L. Dobretsov, L. G. Ponomareva)</b> . . . . .	128
---	-----

General Characteristics . . . . .	128
Kurtushibin Belt . . . . .	130
Main Ophiolite Body . . . . .	134
Melange Zone . . . . .	144
Chynginsk and Tereshkinsk Formations . . . . .	144
Glauconphane and Associating Metamorphic Schists . . . . .	153

<b>Chapter 6. Borus Ophiolitic Belt (N. L. Dobretsov, L. G. Ponomareva)</b>	157
Ultrabasites . . . . .	158
Metamorphic Processes . . . . .	163
Melange Zones and Jadeitic Rock Bodies . . . . .	167
Chinginsk and Lower Monoksk Formations . . . . .	170
Metamorphic Schists . . . . .	173

<b>Chapter 7. General Peculiarities of Ophiolites in Arctic Urals and West Sayan in the Light of Conditions of Their Formation (N. L. Dobretsov)</b> . . . . .	176
Sublaminar Structure . . . . .	176
Rock Associations, Structural Units and Their Interrelation . . . . .	178
Typization of Ophiolites . . . . .	183
Role of Magmatic Melt in Generation of Hyperbasites and Gabbroid Rocks in Ophiolites . . . . .	189
The Proposed Model for Ophiolite Generation of the I-Type Glauconphane-Schist Belts with Reference to the III Type of Ophiolites . . . . .	198
Conclusion . . . . .	202
References . . . . .	206

## ОГЛАВЛЕНИЕ

Предисловие (И. Л. Добрецов)	5
Список сокращений, принятых в книге	6
<b>Часть I. Полярный Урал</b>	
Глава 1. Структурная позиция офиолитовых массивов Полярного Урала (Ю. Е. Молдаванцев, А. П. Казак)	8
Глава 2. Хадатинский офиолитовый пояс (Ю. Е. Молдаванцев, А. П. Казак)	17
Массив Сымум-Кеу	17
Характер контактов массива с вмещающими породами	19
Малыкский комплекс гнейсо-габбро-поритов	24
Внутреннее строение массива Сымум-Кеу	32
Массив Харче-Рузь	36
Глава 3. Войкаро-Сынынинский офиолитовый пояс (А. П. Казак, Ю. Е. Молдаванцев)	38
Массив Рай-Из	38
Характер контактов гипербазитов массива с вмещающими породами	39
Особенности внутреннего строения гипербазитового массива Рай-Из	45
Шлирово-полосчатый дунит-клиношироксенит-габброидный комплекс	48
Зона наложенного метаморфизма центральной части массива Рай-Из	53
Войкаро-Сынынинский массив (А. А. Савельев, Г. Н. Савельева)	60
Строение офиолитовых покровов	62
Хулгинский покров	62
Пайерский покров	67
Лагоргинский покров	89
Глава 4. Сопоставление и петрографо-минералогическая характеристика офиолитов и метаморфических пород Полярного Урала (И. Л. Добрецов, А. П. Казак, Ю. Е. Молдаванцев, Г. Н. Савельева, А. А. Савельев)	92
Офиолитовые комплексы пород	92
Дунит-гарибургитовая формация	94
Метаморфизованные породы дунит-гарибургитовой формации	97
Дунит-перлит-клиношироксенит-габброритовая формация	107
Дунит-лерцолит-вебстерит-метагаббро-поритовая формация	109
Западный метаморфический пояс и метаофиолитовая формация	117
<b>Часть II. Западный Саян</b>	
Глава 5. Офиолиты и глаукофановые сланцы Западного Саяна и Куртушибинского пояса (И. Л. Добрецов, Л. Г. Пономарева)	128
Общая характеристика	128
Куртушибинский пояс	130
Главное тело офиолитов	134
Зоны мелапика	144
Чингинская и терешкинская свиты	144
Глаукофановые и ассоциирующие метаморфические сланцы	147

## Глава 6. Борусский офиолитовый пояс (И. Л. Добрецов, Л. Г. Пономарева)

Гипербазиты	157
Процессы метаморфизма	158
Зоны мелапика и тела жадеитовых пород	163
Чингинская и нижнемонюкская свиты	167
Метаморфические сланцы	170
	173
<b>Глава 7. Общие особенности офиолитов Полярного Урала и Западного Саяна и условия их формирования (И. Л. Добрецов)</b>	176
Субслоистое строение	176
Породные ассоциации, структурные единицы и взаимоотношения между ними	178
Тицизация офиолитов	183
Участие магматического расплава в формировании гипербазитов и габбро в офиолитах	189
Предлагаемая модель формирования офиолитов I типа	198
Глаукофан-сланцевые пояса и III тип офиолитов	202
	206
<b>Conclusion</b>	209
<b>Литература</b>	209

Для получения книг почтой заказы направлять по адресу:  
117464 Москва В-464, Мичуринский проспект, 12, магазин  
«Книга — почтой» Центральной конторы «Академкнига»,  
197110 Ленинград П-110, Петрозаводская ул. 7, магазин «Кни-  
га — почтой» Северо-Западной конторы «Академкнига» или в  
ближайший магазин «Академкнига»:

Адреса магазинов «Академкнига»:

- 480391 Алма-Ата, ул. Фурманова, 91/97;  
370005 Баку, ул. Джапаридзе, 13;  
320005 Днепропетровск, проспект Гагарина, 24;  
734001 Душанбе, проспект Ленина, 95;  
375009 Ереван, ул. Туманяна, 31;  
664033 Иркутск, ул. Лермонтова, 303;  
252030 Киев, ул. Ленина, 42;  
277012 Кишинев, ул. Пушкина, 31;  
443002 Куйбышев, проспект Ленина, 2;  
192104 Ленинград Д-120, Литейный проспект, 57;  
191164 Ленинград, Менделеевская линия, 1;  
199004 Ленинград, 9, линия, 16;  
103009 Москва, ул. Горького, 8;  
117312 Москва, ул. Вавилова, 55/7;  
630076 Новосибирск, Красный проспект, 51;  
630090 Новосибирск, Академгородок, Морской проспект, 22;  
620151 Свердловск, ул. Мамина-Сибиряка, 137;  
700029 Ташкент, ул. Ленина, 73;  
700100 Ташкент, ул. Шота Руставели, 43;  
634050 Томск, наб. реки Ушайки, 18;  
450075 Уфа, проспект Октября, 129;  
720001 Фрунзе, бульвар Дзержинского, 42;  
310003 Харьков, Уфимский пер., 4/6.

Николай Леонтьевич Добрецов, Юрий Евграфович Молдаванцев,  
Анатолий Порфирьевич Казак, Людмила Георгиевна Пономарева,  
Галина Николаевна Савельева, Александр Александрович Савельев

ПЕТРОЛОГИЯ И МЕТАМОРФИЗМ  
ДРЕВНИХ ОФИОЛИТОВ:  
(НА ПРИМЕРЕ ПОЛЯРНОГО УРАЛА И ЗАПАДНОГО САЯНА)

Ответственные редакторы

Владимир Степанович Соболев,  
Николай Леонтьевич Добрецов

Редакторы Т. Н. Сконечных, Н. Г. Рязанова  
Художественный редактор М. Ф. Глазырина

Художник Е. Ф. Новиков

Технический редактор Г. Я. Герасимчук

Корректоры И. Г. Примогенова, Л. П. Паршина

Сдано в набор 10 марта 1977 г. Подписано в печати 21 октября 1977 г. МН 01565.  
Формат 70×108<sup>1/4</sup>. Бумага типографская № 2. 14 печ. л. 19,6 усл.-печ. л.+4 вкл.  
20 уч.-изд. л. Тираж 1000 экз. Заказ № 461. Цена 2 руб.

Издательство «Наука», Сибирское отделение, 630099, Новосибирск, 99, Совет-  
ская, 18.  
4-я типография издательства «Наука», 630077, Новосибирск, 77, Станислав-  
ского, 25.

СИБИРСКОЕ ОТДЕЛЕНИЕ  
ИЗДАТЕЛЬСТВА «НАУКА»

готовит к выпуску следующие книги:

Поисковые критерии сульфидных руд иорильского типа.

Проблемы генезиса железорудных месторождений Сибири.

Проблемы петрологии земной коры и верхней мантии.

Дымкин А. М., Сараев С. В., Махнач А. С. Особенности формирования железорудных месторождений гранулитовой фации метаморфизма.

*Книги высылаются наложенным платежом. Заказы направляйте по адресу: 630090, Новосибирск, 90, Морской проспект, 22. Магазин «Наука».*